



# วิทยานิพนธ์

การตอบสนองต่อความเครียดจากเกลือของหม่อน

SALT-STRESS RESPONSE OF MULBERRY, *Morus rotundifolia*

นางสาวเนตรนภา ฉิ่งกิตติ

บัณฑิตวิทยาลัย มหาวิทยาลัยเกษตรศาสตร์

พ.ศ. 2551



## ใบรับรองวิทยานิพนธ์

บัณฑิตวิทยาลัย มหาวิทยาลัยเกษตรศาสตร์

วิทยาศาสตร์สหบัญชี (ชีวเคมี)

ปริญญา

ชีวเคมี

ชีวเคมี

สาขา

ภาควิชา

เรื่อง การตอบสนองต่อความเครียดจากเกลือของหม่อน

Salt-Stress Response of Mulberry, *Morus rotundifolia*

นามผู้วิจัย นางสาวเนตรนภา ฉั่งกิตติ

ได้พิจารณาหนึ่งรอบโดย

ประธานกรรมการ

( ผู้ช่วยศาสตราจารย์อมรรัตน์ พรหมบุญ, Ph.D. )

กรรมการ

( รองศาสตราจารย์สุนันทา รัตนากิจ, Ph.D. )

กรรมการ

( อารย์ศิทธิรักษ์ รอยตระกูล, Ph.D. )

กรรมการ

( รองศาสตราจารย์เลิศถักษณ์ เงินคริริ, Ph.D. )

หัวหน้าภาควิชา

( รองศาสตราจารย์สุนันทา รัตนากิจ, Ph.D. )

บัณฑิตวิทยาลัย มหาวิทยาลัยเกษตรศาสตร์รับรองแล้ว

( รองศาสตราจารย์กัญจนा ชีระกุล, D.Agr. )

คณบดีบัณฑิตวิทยาลัย

วันที่ ..... เดือน ..... พ.ศ. ....

วิทยานิพนธ์

เรื่อง

การตอบสนองต่อความเครียดจากเกลือของหม่อน

Salt-Stress Response of Mulberry, *Morus rotundifolia*

โดย

นางสาวเนตรนภา ฉิงกิตติ

เสนอ

บัณฑิตวิทยาลัย มหาวิทยาลัยเกษตรศาสตร์  
เพื่อความสมบูรณ์แห่งปริญญาวิทยาศาสตร์มหาบัณฑิต (ชีวเคมี)

พ.ศ. 2551

เนตรนภา นิ่งกิตติ 2551: การตอบสนองต่อความเครียดจากเกลือของหม่อน ปริญญาวิทยาศาสตร์  
มหาบัณฑิต (ชีวเคมี) สาขาวิชาเคมี ภาควิชาชีวเคมี ประธานกรรมการที่ปรึกษา: ผู้ช่วยศาสตราจารย์  
อมรรัตน์ พรหมบุญ, Ph.D. 172 หน้า

การศึกษากลไกการตอบสนองต่อความเครียดจากเกลือของหม่อนพันธุ์พื้นเมืองสายพันธุ์หม่อนน้อย (*Morus rotundifolia* Koidz.) โดยใช้เทคนิคเพาะเลี้ยงเนื้อเยื่อ ในหม่อนอายุ 3 สัปดาห์ ควบคุมให้ได้รับแสง 16 ชั่วโมงที่ความเข้ม  $150 \mu\text{mol m}^{-2} \text{ s}^{-1}$  อุณหภูมิ  $25^\circ\text{C}$  ความชื้น 70-80 % ทำการซักน้ำเกิดความเครียด โดยการเติมเกลือเกลือที่มีความเข้มข้นต่างๆ นาน 7 วัน จากนั้นเก็บตัวอย่างใบและรากที่เวลาต่างๆ มาวิเคราะห์กิจกรรมของเอนไซม์ น้ำตาล และตรวจสอบการแสดงออกของยีนบางชนิดในระดับ RNA ศรีษะปั๊น

การวิเคราะห์กิจกรรมของเอนไซม์ 4 ชนิด ได้แก่ ATPases, glucosidase, glutathione-S-transferase และ peroxidases พบร่วมกิจกรรมของเอนไซม์ที่ความเข้มข้นเกลือ 300 และ 500 มิลลิโนมาร์ที่สูงกว่าในชุดควบคุม ในขณะที่กิจกรรมของเอนไซม์ที่ความเข้มข้นเกลือ 100 และ 600 มิลลิโนมาร์มีค่าใกล้เคียงกับชุดควบคุม กิจกรรมของเอนไซม์ ATPase ในใบและราก เพิ่มขึ้น 3.5 และ 5.5 เท่าตามลำดับที่ความเข้มข้นเกลือ 500 มิลลิโนมาร์ กิจกรรมของเอนไซม์ glucosidase ในใบ เพิ่มสูงขึ้น 3 เท่าที่ความเข้มข้นเกลือ 300 และ 500 มิลลิโนมาร์ ส่วน กิจกรรมของเอนไซม์ glutathione-S-transferase ใกล้เคียงกันทั้งในใบและราก มีกิจกรรมเพิ่มสูงขึ้น 3 - 4 เท่าที่ความเข้มข้นเกลือ 300 และ 500 มิลลิโนมาร์ตามลำดับเมื่อเทียบกับชุดควบคุม และกิจกรรมของเอนไซม์ neutral peroxidase ในใบเพิ่มขึ้น 3.5 เท่าที่ความเข้มข้นเกลือ 300 และ 500 มิลลิโนมาร์ ซึ่งมีค่าสูงกว่ากิจกรรมของเอนไซม์ acidic และ basidic peroxidases

การวิเคราะห์ปริมาณน้ำตาลในใบและรากด้วยเทคนิค HPLC พบน้ำตาลอาย่างน้อย 4 ชนิด ได้แก่ ฟрукโตส กลูโคส แมมนิทออล และซูโครสเพิ่มขึ้นเฉพาะใบใน แต่ไม่พบในราก

การตรวจสอบการแสดงออกของยีนที่เกี่ยวข้องกับความเค็มบางชนิดด้วย RT-PCR พบร่วมกับผลดินนี้ การแสดงออกเพิ่มขึ้นและลดลงเมื่อได้รับเกลือ 50 และ 100 มิลลิโนมาร์ ตามลำดับ ในขณะที่ยังไม่พบในชุดของการตั้งครรภ์ที่น้ำตาลคือ fructose 1,6-bisphosphatase gene (FBP) และยังไม่พบในชุดของการสร้างโพลีเอ็นกีโนวี pyrroline-5-carboxylase synthetase gene (P5CS) มีการแสดงออกเพิ่มขึ้น แต่ pyrroline-5-carboxylase reductase gene (P5CR) มีการแสดงออกลดลง

จากข้อมูลการทดลองคาดคะယว่าหม่อนใช้กลไก antoxidation, detoxification และ osmoprotection ในใบ ในขณะที่รากอาจเลือกใช้กลไกในการปั๊มไอออนเพื่อรักษาสมดุลของแรงดันอสโนมิกไว้

Netnapa Chingkitti 2008: Salt-Stress Response of Mulberry, *Morus Rotundifolia*. Master of Science (Biochemistry), Major Field: Biochemistry, Department of Biochemistry. Thesis Advisor: Assistant Professor Amornrat Promboon, Ph.D. 172 pages.

Investigation of biochemical mechanisms against salt stress in a local mulberry, *Morus rotundifolia* Koidz, namely mon noi, was performed by tissue culture techniques. The plants were grown for 3 weeks under 16 h photoperiod of  $150 \mu\text{mol m}^{-2} \text{s}^{-1}$  at  $25^\circ\text{C}$  with relative humidity of 70-80 %. After treated the plant cultures with various concentrations of sodium chloride for 1 week, leaf and root samples were collected at various time for determining of some enzyme activities, sugar and selected genes at transcriptional level.

After treated plant's cultures with NaCl at 300 and 500 mM, the enzymes including, ATPases, glucosidase, glutathione-S-transferase and peroxidases gave higher activities than the control sample. However, the cultures treated with NaCl at 100 and 600 mM showed the same level of enzyme activities. ATPase showed activity in leaf and root 3.5 and 5.5. times respectively, higher than in the control sample at 500 mM NaCl. Glucosidase gave 3 times higher than in leaf at 300 and 500 mM NaCl. Glutathione-S-transferase demonstrated the same activities of 3-4 times of the control sample at 300 and 500 mM NaCl. The neutral peroxidase in leaf gave 3.5 times higher than the control sample at 300 and 500 mM NaCl and higher than in the acidic and basic peroxidase enzymes.

Determination of some selected sugars in both leaf and root samples were performed by HPLC. At least four kinds of sugars, namely fructose, glucose, mannitol and sucrose were greatly observed in leaf but not found in root tissue.

Some selected responsive genes were determined by RT-PCR. Mulberry leaf lectin gene gave higher and lower transcripts than control sample at 50 and 100 mM NaCl, respectively. Whereas responsive genes for sugar synthesis namely, fructose 1,6-bisphosphatase gene (FBP) and responsive gene for proline synthesis namely pyrroline-5-carboxylate synthetase gene (P5CS) gave higher activities, and pyrroline-5-carboxylate reductase gene (P5CR) gave lower activity than in the control sample.

These data suggested that mulberry plant has mechanisms for antioxidation, detoxification, and osmoprotection in leaf whereas ion pump may be used to maintain osmotic pressure in root tissue.

---

Student's signature

---

Thesis Advisor's signature

/ /

## กิตติกรรมประกาศ

ข้าพเจ้าขอกราบขอบพระคุณ พศ.ดร.อมรรัตน์ พรหมบุญ ประธานกรรมการที่ปรึกษาที่  
กรุณาให้คำแนะนำ ข้อคิดเห็น ข้อเสนอแนะการแก้ไขปัญหาต่างๆ อันเป็นประโยชน์ในการวิจัย  
และการเขียนวิทยานิพนธ์เป็นอย่างยิ่ง ขอกราบขอบพระคุณ รศ.ดร.สุนันทา รัตนาโก กรรมการ  
สาขาวิชาเอกที่ได้ช่วยให้คำแนะนำ และชี้แนะแนวทางในการแก้ไขปัญหาต่างๆ ขอกราบขอบพระคุณ  
อาจารย์สิติธิรักษ์ รอยตระกูล กรรมการสาขาวิชาเอกอีกท่านที่ได้ให้ความช่วยเหลือ ตลอดจนชี้นำ  
แนวทางในการทำแบบ และอธิบายขั้นตอนการทำงานให้เข้าใจได้ง่ายขึ้น นอกจากนั้นยังให้ความ  
อนุเคราะห์ในการใช้เครื่องมือต่างๆ ให้สามารถทำงานได้สะดวกขึ้น และขอกราบขอบพระคุณ  
 พศ.ดร.เลิกลักษณ์ เงินศิริ กรรมการสาขาวิชารอง ที่สามารถให้ความช่วยเหลือได้ตลอดเวลาในยาม  
ที่มีปัญหา

ขอกราบขอบพระคุณคณาจารย์ และเจ้าหน้าที่ในภาควิชาชีวเคมีทุกท่านที่ให้ความรู้และให้  
ความช่วยเหลือในการศึกษาตลอดมา

ขอขอบคุณศูนย์พันธุวิศวกรรมและเทคโนโลยีชีวภาพแห่งชาติ (BIOTEC) ภายใต้  
สำนักงานพัฒนาวิทยาศาสตร์และเทคโนโลยีแห่งชาติ (สวทช.) และเพื่อนๆ พี่น้องผู้ช่วยนักวิจัยที่มี  
มิตร ไม่ครึ ให้ความช่วยเหลือและคุ้มครองขณะที่ทำวิจัยอยู่ด้วยกัน รวมทั้งสอนการใช้เครื่องมือต่างๆ

ขอขอบคุณทุนวิจัยมหาบัณฑิตของสำนักงานกองทุนสนับสนุนงานวิจัย (สกว.) สาขา  
วิทยาศาสตร์และเทคโนโลยี และคณะวิทยาศาสตร์ (Window II) ปี พ.ศ. 2549 และทุนสนับสนุน  
มหาบัณฑิตของบัณฑิตวิทยาลัย มหาวิทยาลัยเกษตรศาสตร์ ปี พ.ศ. 2549 ที่ได้ให้เงินทุนสนับสนุน  
การวิจัยในครั้งนี้เป็นอย่างสูง

สุดท้ายนี้ขอขอบพระคุณคุณพ่อ คุณแม่ พี่ชายและญาติๆ ที่เคยให้กำลังใจ ส่งเสริม  
สนับสนุน และสามาถติดตามการทำงานมาโดยตลอด รวมทั้งเพื่อนๆ พี่ๆ น้องๆ ที่รู้จักในภาคและ  
นอกภาควิชา โดยเฉพาะอย่างยิ่งเพื่อนๆ ในห้องแล็บที่รักทุกคน

เนตรนภา นิ่งกิตติ

เมษายน 2551

## สารบัญ

หน้า

สารบัญ	(1)
สารบัญตาราง	(2)
สารบัญภาพ	(3)
คำอธิบายสัญลักษณ์และคำย่อ	(9)
คำนำ	1
วัตถุประสงค์	3
การตรวจสอบสาร	4
อุปกรณ์และวิธีการ	39
อุปกรณ์	39
วิธีการ	43
ผลและวิจารณ์	54
ผล	54
วิจารณ์	90
สรุปและข้อเสนอแนะ	95
สรุป	95
ข้อเสนอแนะ	97
เอกสารและสิ่งอ้างอิง	98
ภาคผนวก	110
ภาคผนวก ก การเตรียมอาหารเพาะเลี้ยงเนื้อเยื่อและสารเคมี	111
ภาคผนวก ข วิธีการวิเคราะห์	117
ประวัติการศึกษาและการทำงาน	172

## สารบัญตาราง

ตารางที่		หน้า
1	การตอบสนองต่อระดับความคิ่มของพืชโดยทั่วไป	17
2	การคัดเลือกกลุ่มพืชในเดินเรือน	18
3	การเปลี่ยนแปลงของการใบไชเครตในการตอบสนองต่อความเครียดจากเกลือ	28
4	ผลของการความเครียดจากเกลือต่อ กิจกรรมของ plasma membrane H <sup>+</sup> -ATPase ในพืช	29
5	คู่ไฟรเมอร์และลำดับเบสที่ใช้ตราชสอปการแสดงออกของยีนต่างๆ	53
6	ค่าเฉลี่ยของการจำเพาะของเอนไซม์ (specific activity) ในใบ	70
7	ค่าเฉลี่ยของการจำเพาะของเอนไซม์ (specific activity) ในราก	71
8	ปริมาณและคุณภาพของ RNA ทั้งหมดที่สักดูจากใบหม่อนน้อยที่ได้รับเกลือโซเดียมคลอไรด์ที่ความเข้มข้น 0, 300 และ 500 mM ในเวลาต่างๆ	85

## ตารางภาคผนวกที่

ข1	ปริมาณโปรตีนและค่าความจำเพาะของเอนไซม์ ATPase ในใบ	120
ข2	ปริมาณโปรตีนและค่าความจำเพาะของเอนไซม์ ATPase ในราก	122
ข3	ปริมาณโปรตีนและค่าความจำเพาะของเอนไซม์ glucosidase ในใบ	124
ข4	ปริมาณโปรตีนและค่าความจำเพาะของเอนไซม์ glucosidase ในราก	126
ข5	ปริมาณโปรตีนและค่าความจำเพาะของเอนไซม์ GST ในใบ	128
ข6	ปริมาณโปรตีนและค่าความจำเพาะของเอนไซม์ GST ในราก	130
ข7	ปริมาณโปรตีนและค่าความจำเพาะของเอนไซม์ acidic peroxidase ในใบ	132
ข8	ปริมาณโปรตีนและค่าความจำเพาะของเอนไซม์ acidic peroxidase ในราก	134
ข9	ปริมาณโปรตีนและค่าความจำเพาะของเอนไซม์ basidic peroxidase ในใบ	136
ข10	ปริมาณโปรตีนและค่าความจำเพาะของเอนไซม์ basidic peroxidase ในราก	138
ข11	ปริมาณโปรตีนและค่าความจำเพาะของเอนไซม์ neutral peroxidase ในใบ	140
ข12	ปริมาณโปรตีนและค่าความจำเพาะของเอนไซม์ neutral peroxidase ในราก	142

## สารบัญภาพ

ภาพที่	หน้า
1 แสดงไออกอนที่มีการสะสมบริเวณภายในเซลล์	23
2 ความเครียดจากเกลือโซเดียมคลอไรด์ทำให้พืชที่ได้รับเกิดความเสียหายสองอย่าง	24
3 กลไกการกำจัด reactive oxygen species (ROS) ในเซลล์พืชโดยใช้และไม่ใช้เอนไซม์	34
4 การเร่งปฏิกิริยาของเอนไซม์ glutathione-S-Transferase (GST) ในการกำจัดสารพิษออกนอกเซลล์	35
5 กลไกการผลิตและสลายของโพรีลิน	36
6 กลไกการสลายตัวของน้ำตาล 4 ชนิดที่สัมพันธ์กัน	37
7 กลไกการสังเคราะห์เม็นนิโฟลจากฟรอกโடส	38
8 กลไกการรักษาสมดุลไออกอนในเซลล์พืช การปั๊มไออกอนให้ผ่านเข้าออกทางเยื่อหุ้มเซลล์โดยได้รับพลังงานจากการสลาย ATP ไปเป็น PP <sub>i</sub>	38
9 ผลของปริมาณน้ำตาลซูโครัส (A) และน้ำตาลทรารยท้องตลาดยึ้ห้อมิตรผล (B) ต่อความสูงของต้นหม่อนในเวลา 1 เดือน	58
10 ผลของปริมาณน้ำตาลซูโครัส (A) และน้ำตาลทรารยท้องตลาดยึ้ห้อมิตรผล (B) ต่อจำนวนใบของต้นหม่อนในเวลา 1 เดือน	59
11 ผลของปริมาณน้ำตาลซูโครัส (A) และน้ำตาลทรารยท้องตลาดยึ้ห้อมิตรผล (B) ต่อจำนวนยอดของต้นหม่อนในเวลา 1 เดือน	60
12 ผลของปริมาณ BAP ในอาหารที่ใช้น้ำตาลซูโครัส (A) และน้ำตาลท้องตลาดยึ้ห้อมิตรผล (B) ต่อความสูงของต้นหม่อนในเวลา 1 เดือน	61
13 ผลของปริมาณ BAP ในอาหารที่ใช้น้ำตาลซูโครัส (A) และน้ำตาลท้องตลาดยึ้ห้อมิตรผล (B) ต่อจำนวนใบของต้นหม่อนในเวลา 1 เดือน	62
14 ผลของปริมาณ BAP ในอาหารที่ใช้น้ำตาลซูโครัส (A) และน้ำตาลท้องตลาดยึ้ห้อมิตรผล (B) ต่อจำนวนยอดของต้นหม่อนในเวลา 1 เดือน	63

## สารบัญภาพ (ต่อ)

ภาพที่	หน้า
15 ลักษณะทางกายภาพของต้นหม่อนหลังขยับกลูตินอาหารที่มีความเข้มข้นของเกลือโซเดียมคลอไรด์ 0, 100, 300, 500 และ 600 mM ที่เวลาต่างๆ ดังนี้ 0 (A), 1 (B), 3 (C), 6 (D), 12 (E), 24 (F), 72 (G), 120 (H) และ 168 (I) ชั่วโมง	64
16 กิจกรรมของเอนไซม์ ATPase ที่สัมฤทธิ์ในเซลล์ที่ใบ (A) และราก (B) หลังจากได้รับความเครียดจากเกลือโซเดียมคลอไรด์ที่ความเข้มข้นต่างๆ เป็นเวลา 7 วัน	70
17 กิจกรรมของเอนไซม์ ATPase ในแนวคิวโอลในใบ (A) และราก (B) หลังจากได้รับความเครียดจากเกลือโซเดียมคลอไรด์ที่ความเข้มข้นต่างๆ เป็นเวลา 7 วัน	71
18 กิจกรรมของเอนไซม์ Glucosidase ที่ใบ (A) และราก (B) หลังจากได้รับความเครียดจากเกลือโซเดียมคลอไรด์ที่ความเข้มข้นต่างๆ เป็นเวลา 7 วัน	72
19 กิจกรรมของเอนไซม์ GST ที่ใบ (A) และราก (B) หลังจากได้รับความเครียดจากเกลือโซเดียมคลอไรด์ที่ความเข้มข้นต่างๆ เป็นเวลา 7 วัน	73
20 กิจกรรมของเอนไซม์ acidic peroxidase ที่ใบ (A) และราก (B) หลังจากได้รับความเครียดจากเกลือโซเดียมคลอไรด์ที่ความเข้มข้นต่างๆ เป็นเวลา 7 วัน	74
21 กิจกรรมของเอนไซม์ neutral peroxidase ที่ใบ (A) และราก (B) หลังจากได้รับความเครียดจากเกลือโซเดียมคลอไรด์ที่ความเข้มข้นต่างๆ เป็นเวลา 7 วัน	75
22 กิจกรรมของเอนไซม์ basidic peroxidase ที่ใบ (A) และราก (B) หลังจากได้รับความเครียดจากเกลือโซเดียมคลอไรด์ที่ความเข้มข้นต่างๆ เป็นเวลา 7 วัน	76
23 โครงสร้างเคมีของน้ำตาลมาตรฐาน 4 ชนิด คือ น้ำตาลฟรุกโตส (A) น้ำตาลmannitol และกลูโคส (B) และน้ำตาลซูโคส (C)	82
24 ปริมาณน้ำตาลฟรุกโตส (A) น้ำตาลซูโคส (B) น้ำตาลmannitol และกลูโคส (B) ในใบหม่อนเมื่อได้รับความเครียดจากเกลือโซเดียมคลอไรด์ที่ความเข้มข้นต่างๆ เป็นเวลา 7 วัน	83

### สารบัญภาพ (ต่อ)

ภาพที่	หน้า
25 ตัวอย่าง total RNA เมื่อแยกด้วยเทคนิคオリีกโทร ไฟฟ์ซิส โดยใช้ total RNA ที่สกัดจากใบหม่อนน้อย ( <i>M. rotundifolia</i> ) 10 ไมโครกรัม ใน 1% อะกาโรสเจลที่มี MOPS buffer ที่ 100 โวลต์ 30 นาที และข้อมด้วยอัลเดียมไบร์ ไม่ต์ 84	
26 การแสดงออกของต่างๆ ในใบหม่อนไಡ้แก่ ยีนแลคติน (A), pyrroline-5-carboxylase synthetase gene (P5CS) (B), pyrroline-5-carboxylase reductase gene (P5CR) (C) และ fructose 1,6-bisphosphatase gene (FBP) (D) หลังจากได้รับความเครียดจากเกลือโซเดียมคลอไรด์ในเวลาต่างๆ โดยเปรียบเทียบกับยีน 26S rRNA (E) เป็นชุดควบคุม 88	
27 การแสดงออกของยีนแลคตินในใบหม่อนเมื่อได้รับเกลือที่ความเข้มข้นต่างๆ เป็นเวลา 48 ชั่วโมง 89	

## สารบัญภาพ (ต่อ)

ภาพนวนกที่	หน้า
ช1  กราฟมาตราฐานของ bovine serum albumin	119
ช2  กราฟมาตราฐานของสารละลายน้ำตาล KH <sub>2</sub> PO <sub>4</sub> ชุดที่ 1	146
ช3  กราฟมาตราฐานของสารละลายน้ำตาล KH <sub>2</sub> PO <sub>4</sub> ชุดที่ 2	146
ช4  กราฟมาตราฐานของสารละลายน้ำตาลฟรอกโตก	148
ช5  กราฟมาตราฐานของสารละลายน้ำตาลซูโกรส	148
ช6  กราฟมาตราฐานของสารละลายน้ำตาลแม่นนิทอลและกลูโคส	149
ช7  โคมามาโตแกรมของน้ำตาลในใบหมู่อนชุดควบคุม (0 mM NaCl) ที่เวลา 0 ชั่วโมง	149
ช8  โคมามาโตแกรมของน้ำตาลในใบหมู่อนชุดควบคุม (0 mM NaCl) ที่เวลา 1 ชั่วโมง	150
ช9  โคมามาโตแกรมของน้ำตาลในใบหมู่อนชุดควบคุม (0 mM NaCl) ที่เวลา 3 ชั่วโมง	150
ช10  โคมามาโตแกรมของน้ำตาลในใบหมู่อนชุดควบคุม (0 mM NaCl) ที่เวลา 6 ชั่วโมง	151
ช11  โคมามาโตแกรมของน้ำตาลในใบหมู่อนชุดควบคุม (0 mM NaCl) ที่เวลา 12 ชั่วโมง	151
ช12  โคอมามาโตแกรมของน้ำตาลในใบหมู่อนชุดควบคุม (0 mM NaCl) ที่เวลา 24 ชั่วโมง	152
ช13  โคอมามาโตแกรมของน้ำตาลในใบหมู่อนชุดควบคุม (0 mM NaCl) ที่เวลา 3 วัน	152
ช14  โคอมามาโตแกรมของน้ำตาลในใบหมู่อนชุดควบคุม (0 mM NaCl) ที่เวลา 5 วัน	153
ช15  โคอมามาโตแกรมของน้ำตาลในใบหมู่อนชุดควบคุม (0 mM NaCl) ที่เวลา 7 วัน	153
ช16  โคอมามาโตแกรมของน้ำตาลในใบหมู่อนเมื่อได้รับเกลือ 100 mM ที่เวลา 0 ชั่วโมง	154
ช17  โคอมามาโตแกรมของน้ำตาลในใบหมู่อนเมื่อได้รับเกลือ 100 mM ที่เวลา 1 ชั่วโมง	154
ช18  โคอมามาโตแกรมของน้ำตาลในใบหมู่อนเมื่อได้รับเกลือ 100 mM ที่เวลา 3 ชั่วโมง	155
ช19  โคอมามาโตแกรมของน้ำตาลในใบหมู่อนเมื่อได้รับเกลือ 100 mM ที่เวลา 6 ชั่วโมง	155
ช20  โคอมามาโตแกรมของน้ำตาลในใบหมู่อนเมื่อได้รับเกลือ 100 mM ที่เวลา 12 ชั่วโมง	156
ช21  โคอมามาโตแกรมของน้ำตาลในใบหมู่อนเมื่อได้รับเกลือ 100 mM ที่เวลา 24 ชั่วโมง	156
ช22  โคอมามาโตแกรมของน้ำตาลในใบหมู่อนเมื่อได้รับเกลือ 100 mM ที่เวลา 3 วัน	157
ช23  โคอมามาโตแกรมของน้ำตาลในใบหมู่อนเมื่อได้รับเกลือ 100 mM ที่เวลา 5 วัน	157
ช24  โคอมามาโตแกรมของน้ำตาลในใบหมู่อนเมื่อได้รับเกลือ 100 mM ที่เวลา 7 วัน	158
ช25  โคอมามาโตแกรมของน้ำตาลในใบหมู่อนเมื่อได้รับเกลือ 300 mM ที่เวลา 0 ชั่วโมง	158

สารบัญภาพ (ต่อ)

(8)

### สารบัญภาพ (ต่อ)

ภาพผนวกที่ หน้า

ข51 โคมาร์ตแกรมของน้ำตาลในใบหม่อนเมื่อได้รับเกลือ 600 mM ที่เวลา 7 วัน 171

### คำอธิบายสัญลักษณ์และคำย่อ

ATP	=	adenosine triphosphate
BAP	=	6-Benzylaminopurine
BADH	=	betain aldehyde dehydrogenase
bp	=	base pair
°C	=	degree Celsius
cDNA	=	complementary deoxyribonucleic acid
d	=	day
DDW	=	double distilled water
dNTP	=	deoxynucleotide-5'-triphosphate
EDTA	=	ethylenediamine tetraacetic acid
FBP	=	fructose 1,6-bisphosphatase
GST	=	glutathione-S-transferase
h	=	hour
HPLC	=	High Performance Liquid Chromatography
Inv	=	invertase
kb	=	kilo base pairs
l	=	liter
LEA	=	putative late-embryogenesis-abundant
ManD	=	D-manitol dehydrogenase
mg	=	milligram
min	=	minute
mM	=	millimolar
MOPS	=	3-(N-morpholino) propane sulfonic acid
mRNA	=	messenger ribonucleic acid
MS medium	=	Murashige and Skoog medium
NaOH	=	sodium hydroxide
PCR	=	Polymerase chain reaction
P5CR	=	pyrroline-5-carboxylase reductase

(10)

### ការអនិបាយស័ស្ថុតាកមណ៍នៃការកំរើអំពីភាគី (ពេទ្យ)

P5CS	=	pyrroline-5-carboxylase synthetase
PX	=	peroxidase
RNA	=	ribonucleic acid
rRNA	=	ribosomal ribonucleic acid
ROS	=	reactive oxygen species
RT-PCR	=	Reverse transcription polymerase chain reaction
s	=	second
TAE	=	Tris-acetate-EDTA electrophoresis buffer solution
$\mu\text{g}$	=	microgram
$\mu\text{l}$	=	microliter
%	=	percentage

## การตอบสนองต่อความเครียดจากเกลือของหม่อน

### **Salt-Stress Response of Mulberry, *Morus rotundifolia***

#### คำนำ

ประเทศไทยเป็นประเทศเกษตรกรรม ประชากรส่วนใหญ่ประกอบอาชีพทำการเกษตร เช่นปลูกพืช และเลี้ยงสัตว์ ดังนั้นทรัพยากรธรรมชาติที่สำคัญเหล่านี้จึงมีความจำเป็นต่อการ ดำรงชีวิต และการเจริญเติบโตทางด้านเศรษฐกิจของประเทศไทย ในภาวะปัจจุบันประเทศไทยกำลัง ประสบปัญหาทางด้านเศรษฐกิจ ทำให้มีผู้ว่างงานจำนวนมาก อาชีพการปลูกหม่อนเลี้ยงไห่มอาจ เป็นอาชีพหนึ่งที่รองรับปัญหาผู้ว่างงานได้ ดังนั้นเพื่อให้ประสบความสำเร็จในการปลูกหม่อนเลี้ยง ไห่มเชิงพาณิชย์ ถึงหนึ่งที่ต้องคำนึงถึงกีดีผลตอบแทนซึ่งขึ้นกับปัจจัยต่าง ๆ หลายประการ ได้แก่ คุณภาพของใบหม่อนและเส้นไห่ม จากการศึกษาพบว่าปัญหาอย่างหนึ่งที่พบในการปลูกหม่อน เลี้ยงไห่มกีดี การขาดแคลนหม่อนพันธุ์ดีซึ่งแข็งแรง ต้านทานโรคและให้ผลผลิตใบสูง

หม่อนเป็นอาหารเพียงชนิดเดียวของหนองไห่ม โปรตีนในใบหม่อนมีประโยชน์ต่อการ สร้างเส้นใยของหนองไห่ม พนว่าประมาณ 70 % ของโปรตีนในเส้นใยไห่มมาจากโปรตีนในใบ หม่อน ดังนั้นคุณภาพของใบหม่อนจึงมีบทบาทสำคัญ โดยตรงต่อคุณภาพ และปริมาณของรังไห่ม (Maji and Qadri, 1999) นอกจากนี้ในปัจจุบันได้มีการนำหม่อนไปแปรรูปเป็นสินค้าประเภทอาหาร สมุนไพร และเครื่องสำอาง มีการนำไปหม่อนมาประกอบเป็นอาหารที่มีคุณค่าทางโภชนาการ ใน ประเทศไทยนี้ รวมทั้งประเทศไทยได้นำใบหม่อนมาทำเป็นชาเครื่องดื่มเพื่อสุขภาพ เนื่องจากมี สรรพคุณเป็นยาสมุนไพรได้ (Shimizu *et al.*, 1992)

ปัจจุบันได้มีการคัดเลือกพันธุ์หม่อน และพยาختปรับปรุงพันธุ์ให้ได้หม่อนที่มีลักษณะดี เช่นให้ผลผลิตต่อไร่สูง มีการเจริญเติบโตดี แตกกิ่งเร็ว ขนาดใบใหญ่หนา อ่อนนุ่ม ไม่เหี่ยวย่าย มี สารอาหารสูง มีความต้านทานโรคต่าง ๆ ได้ดี อย่างไรก็ตามปัญหาที่ยังคงพบในการปลูกหม่อน ได้แก่ การเกิดโรคต่าง ๆ ซึ่งมีสาเหตุมาจากเชื้อแบคทีเรีย ไวรัส และพอกหนอนตัวกลมเป็นต้น โรค ที่มักแพร่ระบาดในหม่อนได้แก่ โรครากรเน่า (Root-Rot disease) และโรคใบไหม้ (Bacterial blight disease) โดยเฉพาะโรคใบไหม้มักมีสาเหตุมาจากเชื้อแบคทีเรีย *Pseudomonas syringae* pv. *mori* ซึ่งจะทำให้ใบมีคุณภาพต่ำและผลผลิตลดจำนวนลง หากเลี้ยงไห่มด้วยใบที่มีคุณภาพต่ำเหล่านี้จะทำ

ให้การผลิตรังไหเมลดลง และได้เส้นใยที่มีคุณภาพไม่ดีด้วย แม้ว่าหม่อนจะเป็นทรัพยากรธรรมชาติที่สำคัญ แต่ก็ยังขาดความจริงจังในการทำการศึกษาวิจัย ทำให้ยังไม่มีความรู้ความเข้าใจทางด้านชีววิทยา ชีวเคมีมากนัก ดังนั้นเพื่อเป็นการพัฒนาอุตสาหกรรมการปลูกหม่อนเลี้ยงไหเมของไทย การปรับปรุงพันธุ์และพัฒนาคุณภาพของต้นหม่อน จึงเป็นสิ่งสำคัญประการหนึ่ง จากการศึกษาที่ผ่านมาได้มีรายงานการวิจัยเกี่ยวกับเลคตินในพืชมากนัย เลคตินเป็นโปรตีนหรือไกโลโปรตีนที่มีความสามารถในการจับกับคาร์บอยเดรตอย่างจำเพาะ ซึ่งคาร์บอยเดรตนี้อาจอยู่บนผิวเซลล์ของคน สัตว์ รวมทั้งจุลชีพชนิดต่าง ๆ ดังนั้นเลคตินจึงมีสมบัติในการทำให้เซลล์เกิดการจับกลุ่ม ตกละколน (agglutination) เรายสามารถพบเลคตินกระจายอยู่ทั่วไปในทุกเนื้อเยื่อของพืชและมีอยู่ทั่วไปในอาณาจักรพืช ดังนั้นแสดงว่าเลคตินนี้ต้องเป็นโปรตีนที่มีบทบาทสำคัญ ซึ่งบทบาทหนึ่งที่เป็นไปได้ในทางสรีรวิทยาคือ บทบาทของ carbohydrate-binding protein ใน การป้องกันต่อต้าน biotic stress ได้แก่ บทบาทในด้านการต่อต้านเชื้อก่อโรค (phytopathogenic) บทบาทในด้านการต่อต้านเชื้อจุลินทรีย์ (microorganisms) บทบาทในด้านการต่อต้านแมลงศัตรูพืช (phytophagous insects and plant-eating animals) (Chrispeels and Raikhel, 1991) และ abiotic stress เช่นระดับความเข้มข้นของเกลือ (salinity) (Zhang *et al.*, 2000)

นอกจากนี้คืนเคิ่มขังเป็นปัญหาอย่างหนึ่งที่สำคัญ ที่มีผลต่อการเจริญเติบโตของหม่อนเนื่องจากพื้นที่ทางภาคตะวันออกเฉียงเหนือของไทยซึ่งเป็นพื้นที่ที่มีการปลูกหม่อนเลี้ยงไหเมมากที่สุดในประเทศไทย มีพื้นที่ที่เป็นคืนเคิ่มอยู่ถึง 17.8 ล้านไร่ ดังนั้นการศึกษากลไกการทำงานเคิ่มในหม่อน จะทำให้เข้าใจถึงกลไกการปรับตัวของหม่อนต่อความเครียดจากเกลือ ได้มากขึ้น เพื่อประโยชน์ในการปรับปรุงพันธุ์หม่อนทันเคิ่มต่อไปในอนาคต

## วัตถุประสงค์

1. เพื่อหาสูตรอาหารที่เหมาะสมในการเพาะเลี้ยงและเพิ่มจำนวนเนื้อยื่อหมื่น
2. เพื่อศึกษาการแสวงขอของยีนเลกตินในการตอบสนองต่อความเครียด
3. เพื่อศึกษากลไกการตอบสนองของหมื่นต่อความเครียดจากเกลือ

## การตรวจสอบสาร

### 1. หม่อน

หม่อน (*Morus sp.*) เป็นพืชที่อยู่ในวงศ์ (family) Moraceae สกุล (genus) *Morus* มีหลาย สปีชีส์ (species) ได้แก่ *Morus alba*, *Morus nigra*, *Morus indica*, *Morus leavigata*, *Morus bombycis* และ *Morus rotundifolia* เป็นต้น ลักษณะทั่วไปเป็นไม้ยืนต้นประเภทไม้พุ่มในเขตหนาว เขตถ่อมร้อน และเขตหนาว ลักษณะสำคัญของพืชตระกูลนี้คือ มียาง ขน และเส้นใย ในมีรูปร่าง แตกต่างกัน มีทั้งที่เป็นแฉกและไม่เป็นแฉก หม่อนแต่ละต้นจะมีเพียงเพศเดียว คือเพศผู้หรือเพศเมีย ด้วยเหตุนี้จึงทำให้หม่อนเป็นพืชที่สามารถผสมข้ามพันธุ์ได้ ในจำนวนหม่อนหลายสปีชีส์นั้นพบว่า พาก diploid เช่น *M. alba* เป็นสปีชีส์ที่มีการปลูกกันแพร่หลาย ส่วนพาก polyploidy จะให้ผลผลิต จำนวนมาก และในมีคุณภาพสูง ในหม่อนสายพันธุ์ต่างๆ จะให้ผลผลิตและคุณภาพของใบที่แตกต่างกัน หม่อนเจริญได้ดีในดินเกือบทุกชนิด โดยต้องการความชุ่มชื้นเล็กน้อยระยะเริ่มต้น ในหม่อนจะมียาง สีขาวที่เต็มไปด้วย sugar-mimic alkaloids, 1,4-dideoxy-1,4-imino-D-arabinitol (D-AB1) และ 1-deoxynojirimycin (DNJ) ไอลซิมอกโนมา ซึ่งสามารถป้องกันแมลงที่เป็นศัตรูพืชได้ sugar-mimic alkaloids จะไปขับยั้ง sugar-metabolizing enzymes และเป็นพิษต่อหนอนไหมอิริ (Eri silkworm), *Samia ricini* และศัตรูพืชทั่วไปแต่จะไม่มีผลต่อหนอนไหมบ้าน *Bombyx mori* (Hirayama et al., 2007)

หม่อนน้อย (*M. rotundifolia*) เป็นหม่อนพันธุ์พื้นเมืองที่ให้ดอกเป็นเพศผู้ ช่อดอกจะมีดอก 1-2 朵 กะนิยมปลูกเพื่อใช้เลี้ยงไหม ลำต้นมีลักษณะ และ propane กลิ่น มีขดนาดใหญ่ มี lenticle รูปร่าง กลมหรือค่อนข้างกลม ตาเป็นสีเขียวอ่อนน้ำตาลอ่อนรูปทรงสามเหลี่ยมมีขดนาดใหญ่ มีตามากโดย แบบติดแนบอยู่กับกิ่ง ในใหญ่ ลักษณะคล้ายรูปหัวใจยาว (long heart) ปลายใบแหลม ขอบใบเว้า เป็นแฉกดีน ๆ ประมาณ 1-2 แฉกเท่านั้น ยอดชี้ตรง ในหนานาเป็นมันสีเขียวมันวาว ตามใบมีขนน้อย มากไม่รู้สึกว่าสามารถเมื่อถูกทิ่ง (Ratanachata, 1972) ขยายพันธุ์ได้ง่าย โดยใช้ท่อพันธุ์ปักชำใน แปลงโดยตรง ทนทานต่อสภาพแวดล้อมที่แห้งแล้งได้ดี (Iwata, 1972) สามารถเจริญเติบโตได้ดีใน ดินที่มีความอุดมสมบูรณ์ค่อนข้างต่ำ จนถึงดินที่มีความอุดมสมบูรณ์สูงเป็นพันธุ์ที่มีการ เจริญเติบโตดี หม่อนพันธุ์นี้มีข้อเสียคือเป็นโรคกรานเน่ได้ง่าย (Itoi and Boonnab, 1974) ในแก่เมื่อการ สะสมของสารโภคธาตุ เส้นใยและเก้ามากกว่าในใบอ่อน ในการทรงกันข้ามใบอ่อนจะมีโปรตีน ไขมันและในโตรเจนสะสมมากกว่าในใบแก่ (Chinchiem, 1975)

## 2. การเพาะเลี้ยงเนื้อเยื่อ

ในปัจจุบันมีการนำเทคนิคการเพาะเลี้ยงเนื้อเยื่อมาใช้โดยน้ำเซลล์เนื้อเยื่อหรือวัช温情ส่วนที่เป็นเนื้อเยื่อเจริญของพืชมาเลี้ยงในอาหารสังเคราะห์ ในสภาพปลอดเชื้อ (aseptic condition) ภายใต้การควบคุมสภาวะแวดล้อมที่เหมาะสม ได้แก่ อุณหภูมิ แสงสว่าง และความชื้น เป็นต้น โดยทั่วไปการเพาะเลี้ยงเนื้อเยื่อนิยมนำเนื้อเยื่อจากต้นอ่อนที่ได้จากการเพาะเมล็ดแบบปลอดเชื้อ เพราะทุกชิ้นส่วนของต้นอ่อนสามารถนำมาใช้เป็นเนื้อเยื่อตั้งต้นในการเพาะเลี้ยงเนื้อเยื่อ ส่วนเนื้อเยื่อหรือชิ้นส่วนต่างๆ ที่ได้จากพืชต้องนำมาฆ่าเชื้อที่บริเวณผิวต่อกันสำหรับเพาะเลี้ยงเนื้อเยื่อ การเพาะเลี้ยงเนื้อเยื่อสามารถทำให้บนอาหารร่วนกึ่งแข็ง (agar medium) และในอาหารเหลว (liquid medium) ซึ่งในอาหารเหล่านี้นิยมทำบนเครื่องเบียร์ เพื่อเพิ่มอوكซิเจนให้แก่เซลล์ หลังจากเลี้ยงเนื้อเยื่อไปได้ระยะหนึ่งต้องทำการถ่ายเนื้อเยื่อลงบนอาหารใหม่ (subculturing) เนื่องจากอาหารเดิมลดน้อยลงและของเสียที่เซลล์ขับออกมากขึ้น

การเพาะเลี้ยงเนื้อเยื่อพืชอาศัยหลักการ totipotency ที่ว่า เซลล์พืชเดียว ๆ (single cells) ทุกเซลล์มีลักษณะและองค์ประกอบทางพันธุกรรมสมบูรณ์เหมือนต้นแม่ ซึ่งสามารถเจริญและพัฒนาเป็นต้นพืชทั้งต้นได้ เซลล์พืชเหล่านี้ไม่ว่าจะเป็นเซลล์ที่เจริญเติบโต (mature cell) หรือเนื้อเยื่อที่มีการเปลี่ยนแปลงไปทำหน้าที่เฉพาะอย่าง (differentiated tissue) ได้แก่ เนื้อเยื่อใบ สามารถเจริญและแบ่งตัวเป็นแคลลัส (callus) หรือพัฒนาเป็นวัช温情 (organ) เช่น ยอดอ่อน (shoot) และราก (root) ซึ่งสามารถเจริญต่อไปเป็นต้นพืชทั้งต้น ได้ แคลลัสซึ่งเป็นก้อนของกลุ่มนี้อพื่นฐานของพืชที่ประกอบด้วยเซลล์ที่มีผนังบาง (parenchyma cells) ซึ่งบ้างไม่มีการเปลี่ยนแปลงไปทำหน้าที่เฉพาะเจาะจง (undifferentiated cells) สามารถเจริญและแบ่งตัวเป็นแคลลัส หรือพัฒนาเป็นยอดอ่อน และรากซึ่งกับการกระตุ้นของตัวควบคุมการเจริญเติบโตที่เหมาะสม (Caponetti *et al.*, 1996)

จากหลักการนี้ได้มีการประยุกต์เทคนิคการเพาะเลี้ยงเนื้อเยื่อไปใช้ประโยชน์ในทางเกษตรกรรมต่าง ๆ อาทิเช่น

1. ใช้ในการขยายพันธุ์พืช (micropropagation) โดยเฉพาะพืชที่มีค่าทางเศรษฐกิจ พืชที่มีปัญหาด้านการเพาะปลูกเนื่องจากสภาพแวดล้อมไม่เหมาะสม
2. สามารถนำต้นพืชที่พัฒนาจากการเพาะเลี้ยงเนื้อเยื่อที่เจริญในสภาวะปลอดเชื้อไปใช้ในการผลิตพืชที่ปลอดโรค ซึ่งเป็นการกำจัดโรคไวรัสและแบคทีเรียในพืช

### 3. เลคตินในพืช

เลคตินเป็นโปรตีน หรือ ไกโอลิโคโปรตีนที่มีความสามารถในการจับกับการ์โนไไซเดรตอย่างจำเพาะ โดยการโนไไซเดรตนี้อาจอยู่บนผิวเซลล์ของคน สัตว์รวมทั้งจุลชีพชนิดต่างๆ เนื่องจาก เลคตินมีสมบัติในการทำให้เซลล์เกิดการจับกลุ่มตกตะกอน (agglutination) จึงเรียกเลคตินอีกอย่าง หนึ่งว่า แอ็อกกลูติน (agglutinin) นอกจากนี้การที่เลคตินสามารถทำให้เซลล์เม็ดเลือดแดงของสัตว์ หลายชนิดจับกลุ่มตกตะกอนได้ จึงเรียกเลคตินได้อีกอย่างว่าฮีมแอ็อกกลูติน (hemagglutinin) เลคตินสามารถพบได้ทั่วไปในธรรมชาติ เช่น ในไวนัส ผนังเซลล์และไซโตพลาสซึมของแบคทีเรีย โครงสร้างส่วนผิวของเชื้อรา ยีสต์และโพรโตซัว ส่วนในสัตว์สามารถพบเลคตินได้ทั้งในสัตว์ไม่มี กระดูกสันหลัง เช่นแมลง กุ้ง ปู และในสัตว์มีกระดูกสันหลัง เช่นน้ำในเลือดของปลา พิยู ในสัตว์ ปีกจะพบเลคตินในไข่น้ำเลือดและเนื้อเยื่อส่วนต่างๆ ในสัตว์เลี้ยงลูกด้วยนมจะพบในไข่ เม็ดเลือด ขาว สเปร์ม และเนื้อเยื่อต่างๆ ในพืชใบเลี้ยงเดี่ยวและใบเลี้ยงคู่จะพบเลคตินในส่วนต่างๆ ของ ลำต้น

#### 3.1 การจำแนกชนิดของเลคตินในพืช

3.1.1 การจำแนกเลคตินโดยอาศัยความจำเพาะกับการ์โนไไซเดรต (Goldstein and Poretz, 1986)

เลคตินจำแนกตามความจำเพาะกับการ์โนไไซเดรตได้เป็น 5 ประเภทคือ

3.1.1.1 Glucose/Mannose-binding lectins เลคตินชนิดนี้สามารถจับกับน้ำตาล กูลูโคลสหรือแม่นโน๊ตได้ เช่น เลคตินที่พบใน *Vicia faba* (Fava bean), *Canavalia ensiformis* (Jack bean), *Galanthus nivalis*, *Pisum sativum* (Pea) เลคตินกลุ่มนี้ต้องการไอออนโลหะ,  $Mn^{2+}$ ,  $Ca^{2+}$  ใน การจับอย่างจำเพาะกับน้ำตาลแม่นโน๊ตหรือกูลูโคลส

3.1.1.2 Galactose/N-Acetylglucosamine-binding lectins เลคตินชนิดนี้สามารถ จับกับน้ำตาล N-Acetylglucosamine และน้ำตาล Galactose เช่น เลคตินที่พบใน *Psophocarpus tetragonolobus*, *Dolichos biflorus*, *Phaseolus vulgaris*, *Ricinus communis*

3.1.1.3 N-Acetylglucosamine-binding lectins เลคตินชนิดนี้สามารถจับกับน้ำตาล N-Acetylglucosamine เช่น เลคตินที่พบใน *Solanum tuberosum*, *Datura stramonium*, *Oryza sativa*

3.1.1.4 L-fucose-binding lectins เลคตินชนิดนี้สามารถจับกับน้ำตาล fucose เช่น เลคตินที่พบใน *Locus tetragonolobus*, *Ulex europaeus* เลคตินกลุ่มนี้มักถูกนำไปใช้ประโยชน์ทางด้านเชรุ่มวิทยา

3.1.1.5 Sialic acid-binding lectins เลคตินชนิดนี้ไม่ค่อยพบในพืช แต่มีพืชบางชนิดที่พบเลคตินนี้ได้แก่ *Maackia amurensis* และ *Sambucus nigra* โดยมากจะพบ sialic acid อยู่ที่ปลายสายของไกโลโคคอนญูเกตในเซลล์และเนื้อเยื่อ

3.1.2 การจำแนกเลคตินโดยอาศัยโครงสร้างโมเลกุล, ลำดับกรดอะมิโนในสายโพลีเปปไทด์และลักษณะทางชีวเคมี

เลคตินสามารถจำแนกตามวิวัฒนาการของโปรตีนได้เป็น 7 กลุ่ม คือ

3.1.2.1 Legume lectins (Sharon and Lis, 1990) เป็น homologous protein ที่พบในพืชวงศ์ leguminosae มักจะพบเลคตินชนิดนี้ตามราศี ในลำต้นหรือเปลือกไม้ของพืช legume lectins มีความแตกต่างจากเลคตินกลุ่มอื่นๆ ตรงที่มีความสามารถในการจับกับคาร์โบไฮเดรตได้อย่างจำเพาะ พวก legume lectins ส่วนใหญ่มักจะเป็นพวก glucose/mannose-binding lectins ซึ่งได้แก่ *Canavalia ensiformis* lectin, *Pisum sativum* lectin และพวก galactose/N-Acetylgalactosamine-binding lectins ซึ่งได้แก่ *Arachis hypogaea* lectin, *Sophora japonica* lectin

นอกจากนี้ยังมี legume lectins ที่มีความจำเพาะกับคาร์โบไฮเดรตอื่น เช่น จำเพาะกับ L-fucose ได้แก่ *Ulex europaeus* lectin จำเพาะกับ chitobiose ได้แก่ *Cytisus sessilifolius* lectin, จำเพาะกับ N-Acetylneuraminic acid α (2,3) Galactose/N-Acetylgalactosamine ได้แก่ *Maackia amurensis* lectin และยังมี legume lectins บางชนิดที่ไม่จับกับน้ำตาลโมเลกุลเดียวแต่จะจับกับน้ำตาลพวกโอลิโกลิโคแซคคาไรด์ ได้แก่ *Phaseolus vulgaris* lectin

3.1.2.2 Chitin-binding lectins containing hevein domains (Raikhel *et al.*, 1993) มักประกอบด้วย hevein domains 1 โดยเมนหรือมากกว่า ส่วนใหญ่เลคตินชนิดนี้มักจะจับกับ N-acetylglucosamine (GlcNAc), GlcNAc-oligomer และ N-acetylneuraminic acids เราสามารถพบ เลคตินชนิดนี้ได้ในพืชหลายสกุล ได้แก่ Gramineae, Solanaceae, Papaveraceae, Urticaceae, Euphorbiaceae, Phytolaccaceae และ Viscaceae

3.1.2.3 Type 2 ribosome inactivating protein (RIP) (Barbieri *et al.*, 1993) เลคตินประเภทนี้จัดเป็น cytotoxic agents ที่มีความเป็นพิษต่อสิ่งมีชีวิตพากย์คาวิโอต เลคตินนี้ ประกอบด้วยหน่วยย่อยที่เหมือนกันจำนวน 1, 2 หรือ 4 หน่วยย่อย แต่ละหน่วยย่อยประกอบด้วย สายโพลีเปปไทด์ 2 สายซึ่งมีโครงสร้างและหน้าที่ต่างกัน คือสาย A และสาย B โน阴谋ลของน้ำตาล บนสาย B จะจับเกาะกับ glycoconjugate receptor บนผิวเซลล์ การจับเกาะนี้จะเหนี่ยวแน่น้ำให้สาย A ผ่านเข้าไปในเซลล์ แล้วสาย A จะเร่งการยับยั้ง RNA โน阴谋ของยูคาวิโอต

3.1.2.4 Monocot mannose-binding lectins (Van Damme *et al.*, 1995) เป็น เลคตินชนิดแรกที่พบในส่วนหัวของต้น snowdrop (*Galanthus nivalis*) เนื่องจากความจำเพาะ ของเลคตินชนิดนี้ในการจับกับน้ำตาล mannose ในพืช monocotyledon จึงเรียกเลคตินชนิดนี้ว่า monocot mannose-binding lectins

3.1.2.5 Cucurbitaceae phloem lectins (Subnis *et al.*, 1978) เป็น dimeric chitin-binding lectin ที่พบใน phloem sap ของ *Cucurbita* sp. เลคตินชนิดนี้มีความจำเพาะกับ oligomer ของ GlcNAc และมีความสามารถในการจดจำโน阴谋ล N-acetylglucosamine

3.1.2.6 Amaranthin (Rinderle *et al.*, 1989) เป็นเลคตินที่พบในเมล็ดของพืช Amaranthus เลคตินชนิดนี้ส่วนใหญ่ประกอบด้วยกรดอะมิโนชนิด acidic และ cuminat amino acids amaranthin สามารถยับยั้งโดย GalNAc

3.1.2.7 Jacalin-related lectins (Sastry *et al.*, 1986) เลคตินในกลุ่มนี้แบ่งออกได้อีกเป็น 2 ประเภท คือเลคตินที่มีความจำเพาะกับ galactose และเลคตินที่มีความจำเพาะกับ mannose

เลกตินกลุ่ม Jacalin-related lectins เป็นเลกตินที่ได้รับความสนใจอย่างมาก เนื่องจาก เลกตินในกลุ่มนี้สามารถพบได้ทั่วไปในพืชชั้นสูง และอาจเกี่ยวข้องกับการทำหน้าที่เป็นโมเลกุล ป้องกันในพืชด้วย เลกตินชนิดนี้พบครั้งแรกในพืชจำพวกขนุน (*Artocarpus integrifolia*) โดยพบ ในส่วนเมล็ดขนุน (Jack fruit seeds) หรือว่า Jacalin (Yang and Czapla, 1993; Zhang et al., 2000; Van Damme et al., 1999; Peumans et al., 2000) นอกจากนี้ยังพบใน *Artocarpus* สปีชีส์อื่น รวมทั้ง พวง Osage orange (*Maclura pomifera*) ซึ่งเป็นพืชในวงศ์ Moraceae สำหรับ *Artocarpus* lectins ทุกชนิด และ *Maclura pomifera agglutinin* มีโครงสร้างระดับโมเลกุลเหมือนกัน มีความจำเพาะกับ น้ำตาล Gal β 1-3 GaNAc และมีลำดับเบสที่เหมือนกันมาก นอกจากนี้ยังพบเลกตินชนิดนี้ในพืช วงศ์อื่นด้วย จากการศึกษาลำดับกรดอะมิโนของเลกตินชนิดนี้พบว่าเลกตินพวงนี้มีลำดับการ จัดเรียงของกรดอะมิโนคล้ายคลึงกับ Jacalin จึงเรียกเลกตินกลุ่มนี้ว่า Jacalin-related lectin ได้แก่ เลกตินที่พบในราบทอง hedge bindweed (*Calystegia sepium*) อยู่ในวงศ์ Convolvulaceae (Van Damme et al., 1996) เลกตินชนิดนี้เป็น mannose/maltose-specific lectin และยังพบในส่วนหัวของ Jerusalem artichoke (*Helianthus tuberosus*) อยู่ในวงศ์ Asteraceae (Bourne et al., 1999) ในผล กด้วย (*Musa acuminata*) วงศ์ Musaceae ที่พบเลกตินที่จัดในกลุ่มนี้ เช่นกัน (Peumans et al., 2000) เลกติน 2 ชนิดหลังนี้มีความจำเพาะกับน้ำตาลmannose และ glucose ไม่สามารถรับประทานได้

#### 4. บทบาททางสรีรวิทยาของเลกตินในพืช

จากการที่เลกตินสามารถจับจำและจับกับคาร์โบไฮเดรต ได้อย่างจำเพาะ จึงได้มีสมมุติฐาน หลายแนวทางในการนำเสนอบบทบาทของเลกติน โดยกล่าวว่า เลกตินที่พบภายในพืชนั้นมี ความสามารถในการจับกับคาร์โบไฮเดรตภายในพืชนั้นเอง เชื่อว่าเลกตินเหล่านี้จะมีความสำคัญใน ด้านต่าง ๆ เช่น การขนส่งน้ำตาล เป็นโปรตีนสะสม ควบคุมการแบ่งเซลล์ เป็นต้น ส่วนเลกตินที่มี ความสามารถจับกับคาร์โบไฮเดรตที่อยู่ภายนอกพืชนั้น ได้แก่ เลกตินที่จับกับกรดเชียลิก ซึ่งมักจะ พบเป็นน้ำตาลที่อยู่ปลายของไกโลโคคอนญูเกต เลกตินพวงนี้อาจทำหน้าที่เกี่ยวกับการเป็นโมเลกุล ป้องกัน สามารถป้องกันการรุกรานของไวรัส แบคทีเรีย เชื้อร้าย รวมทั้งแมลงศัตรูพืช จากรายงาน การวิจัยเกี่ยวกับเลกตินในพืชมากมายต่างเสนอบทบาทของเลกตินในแง่ของการเป็นโมเลกุล ป้องกัน ดังนั้นเลกตินที่พบในใบหม่อนอาจเกี่ยวข้องกับหน้าที่นี้ด้วย เนื่องจากเลกตินมี ความสามารถในการจับอย่างจำเพาะกับส่วนคาร์โบไฮเดรตของไกโลโคคอนญูเกต (glycoconjugate) ที่พบบนผิวน้ำของจุลินทรีย์ เช่น ไวรัส แบคทีเรีย เชื้อร้าย หรือพูบนผิวน้ำระบบทางเดินอาหาร ในแมลง รวมทั้งสัตว์กินพืชชนิดต่าง ๆ ดังนั้นเลกตินจึงอาจทำหน้าที่เป็นโมเลกุลจดจำ (recognition

molecules) ภายในเซลล์ ระหว่างเซลล์ หรือระหว่างลิ่มมีชีวิต เลคตินถูกพบในพืชหลายสปีชีส์ ในเนื้อเยื่อต่าง ๆ กัน (Chrispeels and Raikhel, 1991) เลคตินจากพืชต่างสปีชีส์มักมีความแตกต่างกัน ในโครงสร้างของโมเลกุล และความจำเพาะในการจับกับน้ำตาล (Peumans and Van Damme, 1995) นอกจากเลคตินในพืชจะสามารถจับกับน้ำตาล โมเลกุลเดี่ยว เช่น กลูโคส แม่น โนน ส และ กากแลคโทสแล้ว เลคตินยังสามารถจับกับ โอลิโกแซกคาร์ไรด์ที่มักไม่พบในพืชเอง ดังนั้นเลคตินจึง น่าจะมีบทบาทสำคัญทางชีวภาพในด้านการเป็นโมเลกุลที่ทำหน้าที่ต่อต้านการรุกรานของจุลินทรีย์ แมลง และสัตว์กินพืชชนิดต่าง ๆ

#### 4.1 บทบาทในด้านการต่อต้านเชื้อรา

เลคตินประภากนีมีความจำเพาะกับไคติน (poly N-acetylglucosamine) จึงสามารถ ป้องกันพืชจากเชื้อราบางชนิดได้ Brockaert (1989) ได้ทำการศึกษาในหลอดทดลองพบว่าเลคติน จาก stinging nettle (*Urtica dioica*) สามารถขับยึงฤทธิ์ของเชื้อราหลายชนิดที่ก่อให้เกิดโรคได้ ต่อมมา Does *et al.* (1999) ได้ใช้เทคนิคทางพันธุวิศวกรรมทำ transgenic plant โดยฝ่ากถ่ายยีนที่ กำหนดการสร้างเลคติน *Urtica dioica agglutinin* (UDA) เข้าไปในต้นยาสูบ (*tobacco, Nicotiana tabacum*) พบว่าเลคตินที่สกัดได้จากต้นยาสูบมี biological activity เมื่อมีอนกับเลคตินที่สกัดได้จาก stinging nettle จากการศึกษามนบัติการต่อต้านเชื้อราในหลอดทดลองพบว่า UDA สามารถขับยึง การเจริญเติบโตในระยะจำเพาะบางระยะของเชื้อราจำพวก *Botrytis cinerea* *Treichoderma viride* และ *Colletotrichum lindemuthianum* นอกจากนี้ยังมีการศึกษานบทบาทในการต่อต้านเชื้อราของ เลคตินในเมล็ดข้าวสาลี (wheat germ agglutinin, WGA) พบว่าสามารถขับยึงการเจริญเติบโตของ เชื้อรากสปีชีส์ *Fusarium* ได้แก่ *F. graminearum* และ *F. oxysporum* (Ciopraga *et al.*, 1999)

#### 4.2 บทบาทในด้านการต่อต้านเชื้อแบคทีเรีย

Brockaert and Peumans (1989) ได้ทำการศึกษาสมบัติของเลคตินจากเมล็ดของ thorn apple (*Datura stramonium*) ซึ่งเป็น Chitin-binding lectins พบว่าเลคตินชนิดนี้สามารถขับยึงการ เจริญเติบโต และการเคลื่อนที่ของแบคทีเรียที่อยู่ระหว่างน้ำกับอากาศ (air-water interface) จึงทำให้ สามารถป้องกันการบุกรุกของแบคทีเรียต่อมel็ดทึ่งองกรากได้ ต่อมมา Moreno *et al.*, (1997) ได้ทำการ สกัดแยกเลคตินจากมะเขือเทศแล้วทำให้บรรทุก (*Cyphomandra betacea* Sendt) พบว่าเลคติน ชนิดนี้เป็น chitin-binding lectins มีสมบัติขับยึงการเจริญของแบคทีเรียที่ก่อให้เกิดโรคในพืชได้

#### 4.3 บทบาทในด้านการต่อต้านแมลง

เลคตินในพืชบางชนิดมีบทบาทสำคัญเกี่ยวกับการป้องกันการรุกรานจากแมลงที่เป็นศัตรูพืช ตัวอย่างเช่น wheat germ agglutinin สามารถป้องกันการรุกรานจาก cowpea weevil (*Callosobruchus cuminate*) รวมทั้งแมลงที่เป็นศัตรูของข้าวโพด ได้แก่ European corn borer (*Ostrinia nubilalis*) และ Southern corn rootworm (*Diabrotica undecimpunctata*) (Murdock et al., 1990) นอกจากนี้ยังพบว่าเลคตินจาก wheat germ มันฝรั่ง เมล็ดถั่วลิสิง thorn apple และ Osage orange (*Maclura pomifera*) มีฤทธิ์ในการขับยั้งการพัฒนาเป็นตัวอ่อนของแมลง *Cowpea weevil* ได้ด้วยเช่นเดียวกัน (Peumans and Van Damme, 1995)

#### 4.4 บทบาทในด้านการเกิดพิษต่อสัตว์ชั้นสูง

เลคตินในเมล็ดถั่ว common bean (*Phaseolus vulgaris*) จะมีผลทำให้เกิดพิษต่อสัตว์ หลายชนิดเมื่อกินถ้วนที่เป็นอาหารขณะที่ยังคงทำให้เกิดความผิดปกติของลำไส้เล็ก (Pusztai et al., 1990) มีการศึกษาเลคตินในพืชชนิดอื่นเช่น black locust (*Robinia pseudoacacia*) และ elderberry (*Sambucus nigra*) พบว่ามีผลทำให้สัตว์เกิดอาการเป็นพิษเหมือนกับการเกิดพิษจาก Phytohemagglutinin, PHA ซึ่งเป็นเลคตินจากเมล็ดถั่ว common bean (*Phaseolus vulgaris*) มีผลทำให้เกิดความผิดปกติของลำไส้เล็ก (Peumans and Van Damme, 1995)

### 5. เลคตินในหม่อน

Ratanapo et al. (1998) ได้ค้นพบเลคตินจากใบหม่อน (mulberry leaf lectin, MLL) เป็นครั้งแรก จากการสกัดเลคตินจากใบหม่อนให้บริสุทธิ์พบว่ามี 2 ชนิดคือ MLL1 และ MLL2 ซึ่งสามารถจับกับน้ำตาล *N*-glycolylneuramic acid ซึ่งเป็นอนุพันธุ์ตัวหนึ่งของกรดเชียลิก ได้อย่างจำเพาะ MLL1 และ MLL2 มีน้ำหนักโมเลกุลเท่ากันประมาณ 51,000 แต่ประกอบด้วยน้ำตาล 8.8 และ 40% ตามลำดับ โดยทั่วไปเลคตินในพืชมีส่วนน้อยเท่านั้นที่จับอย่างจำเพาะกับกรดเชียลิกที่เป็นโมเลกุลเดียว กรดเชียลิกเป็นน้ำตาลที่ไม่พบในพืชดังนั้นเลคตินจากใบหม่อนจึงไม่น่ามีบทบาทในการเป็นโปรดีนสะสมหรือโมเลกุลจำใบพืช แต่คาดว่าจะมีบทบาทหน้าที่ที่เป็นไปได้อย่างหนึ่งคือทำหน้าที่ในการเป็นโมเลกุลป้องกันต่อต้านการรุกรานของจุลชีพและไวรัสที่เป็นสาเหตุทำให้เกิดโรคในหม่อน และอาจมีบทบาทต่อหนอนไห่มคือมีผลต่อการกินใบหม่อนและการ

เจริญเติบโตของหนอนไห่ม ซึ่งมีรายงานผลของเลคตินจากพืชต่ออัตราการ咬อยและการดูดซึมอาหารของสัตว์ชั้นสูงโดยไปยับยั้งเอนไซม์ที่เกี่ยวข้อง

Ratanapo *et al.* (2001) ได้ศึกษาบทบาทของเลคตินที่สักดับริสุทธิ์พบว่า MLL1 สามารถตัดตอนแบคทีเรีย *Pseudomonas syringae* pv. *mori* ซึ่งทำให้เกิดโรคใบไห่มในหม่อน (Bacterial blight disease) ได้ ในขณะที่ MLL2 ยังไม่ทราบบทบาทที่แน่นชัด การที่เลคติน MLL1 สามารถจับกลุ่มตัดตอนเชือดแบคทีเรีย *Pseudomonas syringae* pv. *mori* เป็นการสนับสนุนบทบาทที่เป็นไปได้ของเลคตินในการทำหน้าที่เป็นโมเลกุลป้องกันที่ต่อต้านการรุกรานของจุลชีพที่เป็นสาเหตุทำให้เกิดโรคในหม่อน จากการรายงานการศึกษาการจับของ legume lectin ที่มีความจำเพาะกับน้ำตาลแต่ต่างกันสามารถจับกับ muramic acid, N-acetylmuramic acid และ muramyl dipeptide ในส่วนของผนังเซลล์ของแบคทีเรียได้ เลคตินจากใบหม่อนก็อาจจะไม่ได้จับกับน้ำตาล N-glycolylneuraminic acid ในส่วนของผนังเซลล์ของแบคทีเรียพึงชนิดเดียว แต่จะจับกับน้ำตาล N-acetylneuraminic acid และ galactose องค์ประกอบอื่นๆ ที่เกี่ยวข้องในผนังเซลล์ของแบคทีเรียด้วย การจะอธิบายการจับอย่างจำเพาะระหว่าง MLL1 และ เชือดแบคทีเรีย *Pseudomonas syringae* pv. *mori* จะต้องศึกษาถึงการใบไห่มเดรตที่เป็นองค์ประกอบในผนังเซลล์เพิ่มเติม

Van Damme *et al.* (2002) พบว่าในเปลือกไม้ของ *M. nigra* ประกอบด้วยเลคตินในปริมาณสูงมาก 2 ชนิด ซึ่งจัดอยู่ในกลุ่ม jacalin-related lectin แต่มีความจำเพาะแตกต่างกันคือ galactose-specific (MornigaG) และ mannose-specific (MornigaM) jacalin-related lectins นอกจากนี้ยังพบว่าเลคตินทั้ง 2 ชนิดนี้มีโครงสร้างโมเลกุลและมีลำดับเบสคล้ายคลึงกันสูงมาก

Kankamol (2003) ได้ทำการโคลนยืนเลคตินจากใบหม่อนตลอดสาย และพบว่ายืนเลคตินนี้มีอย่างน้อย 4 isoforms ประกอบด้วยนิวคลีโอไทด์ 895 bp ซึ่งประกอบด้วย 648 bp ORF เมื่อเปลี่ยนลำดับนิวคลีโอไทด์เป็นกรดอะมิโนพบว่าประกอบด้วยกรดอะมิโน 216 เรซิดิวซ์ จากการตรวจสอบความเหมือนของลำดับนิวคลีโอไทด์กับเลคตินอื่นๆ ในฐานข้อมูลพบว่าเลคตินในใบหม่อนเหมือนกับ *Morus nigra* galactose-binding lectin, *Maculura pomifera* agglutinin, jacalin, *Artocarpus integrifolia* mannose-binding lectin, *Morus nigra* mannose-binding lectin, *Musa cuminate*, และ *Oryza sativa* mannose-binding lectin ร้อยละ 95, 78, 76, 57, 55, 35, และ 17 ตามลำดับ จากการวิเคราะห์ด้วยเทคนิค northern blot พบว่ามีระดับการแสดงออกของยืนเลคตินในยอดสูง และจะพบน้อยลงในรากและดอก แต่จะไม่พบในเปลือกและใบแก่ นอกจากนี้สายพันธุ์

หมู่อนที่ต่างกันจะมีการแสดงออกของยีนเลคตินที่ต่างกันด้วย โดยพันธุ์คุณไฟ พันธุ์บูรีรัมย์ 60 พันธุ์บูรีรัมย์ 4/2 จะมีระดับการแสดงออกสูง ข้อมูลของยีนเลคติน MLL1 รวมกับข้อมูลอื่นๆ จากฐานข้อมูลเลคตินนำมาใช้ในการระบุสายพันธุ์หมู่อนที่ต่างกัน 40 ชนิด ด้วยเทคนิค PCR และ RFLP จากการทำ PCR marker จะให้แบบของ polymorphism 28 แอบน จัดเป็น 5 กลุ่ม ผลจากการทำ PCR-RFLP ให้ผลการตัดด้วย.enz ไซม์ตัดจำเพาะ *Dra*I ออกมา 6 แบบ จาก 2 วิธีพบว่าพันธุ์ผลใหญ่กว่า 2 และบ้านหลวงมีความใกล้เคียงทางสายพันธุ์จากการทำ RFLP แบ่งได้เป็น 7 แบบจากหมู่อน 18 ชนิด

Hossain (2004) พบ galactose-binding lectins ในส่วนของเมล็ดหมู่อน (*M. alba* L.) จากการสกัดเลคตินจากเมล็ดหมู่อนให้บริสุทธิ์พบว่ามี 3 ชนิดคือ MSL-1, MSL-2 และ MSL-3 มีขนาดประมาณ 175, 120 และ 89 kDa ตามลำดับ ประกอบด้วยน้ำตาล 5.6, 5.3 และ 4.5 % ตามลำดับ ใน MSL-1 พบว่า มี 2 subunit ในชรร์มชาติจับกันด้วยพันธะ ไดซัลไฟด์ มีน้ำตาลกลูโคสและmannonois เป็นองค์ประกอบ ส่วน MSL-2 และ MSL-3 มี 4 non-identical subunit ในชรร์มชาติ จับกันด้วยพันธะ nonionic hydrophobic interaction มีน้ำตาลกาแลค โตสเป็นองค์ประกอบ

Ratanapo *et al.* (2005) รายงานผลของเลคตินจากใบหมู่อนต่อเอนไซม์โปรตีอสในระบบย่อยอาหารของหนอนไห่ม โดยทำการสกัดเอนไซม์โปรตีอสจากน้ำย่อยของหนอนไห่มพันธุ์นางลายได้ 6 ชนิด เรียก P1-P6 โดย proteolytic activity จะถูกยับยั้งด้วย trypsin inhibitor จากการศึกษาผลของเลคตินจากใบหมู่อน MLL1 และ MLL2 ต่อ proteolytic activity ของเอนไซม์โปรตีอสพบว่า P4, P5 และ P6 ทำให้อัตราการเกิด proteolytic activity ลดลง แต่จะไม่พบรการยับยั้งใน MLL ที่มีการจับกันน้ำตาล N-glycolylneuraminic และ N-acetylneuraminic acid จากผลที่ได้คาดว่าการยับยั้งการทำงานของเอนไซม์โปรตีอสโดยเลคตินในพืช ไม่เกี่ยวข้องกับการจับของตำแหน่งการจับกันน้ำตาลของเลคติน แต่น่าจะเกี่ยวกับการเกิดโครงสร้างเชิงซ้อนระหว่างเลคตินและเอนไซม์ โปรตีอสจากน้ำย่อย การศึกษากลไกเพิ่มเติมจะสามารถนำมาอธิบายชนิดของตัวยับยั้งเอนไซม์ได้ ผลการยับยั้ง proteolytic activity จะเกิดขึ้นก่อนที่หนอนไห่มจะย่อยโปรตีนในอาหาร การที่เลคตินในใบหมู่อนลดการทำงานของเอนไซม์โปรตีอสอาจเป็นสาเหตุให้หนอนไห่มมีขนาดเล็ก ผลิตเส้นใยได้น้อย

Chingkitti *et al.* (2006) สามารถหาตำแหน่งอินทรอนบันจีในมิกเดี้ยนเอบนยีนเลกตินในใบหม่อนน้อย โดยออกแบบไพรเมอร์ที่มีความจำเพาะต่อหม่อน 5 คู่ จาก cDNA ของยีนเลกตินในใบหม่อนน้อยให้มีลำดับเบสที่เขื่อมความเกี่ยวกัน พบร่วางในยีนเลกตินมีอินทรอนอย่างน้อย 2 ตำแหน่ง คือในตำแหน่งที่ 1-132 และมากกว่า 564 จากการออกแบบไพรเมอร์ที่ตำแหน่ง 334-693 สามารถนำไปใช้จำแนกความแตกต่างระหว่างสายพันธุ์ที่จัดอยู่ใน 5 กลุ่มใหญ่ ได้แก่หม่อนพันธุ์พื้นเมือง หม่อนพันธุ์รับรอง หม่อนพันธุ์ต่างประเทศ หม่อนพันธุ์ลูกผสม และหม่อนป่า โดยจำแนกตามขนาดของแถบดีเอ็นเอที่ปรากฏ คือขนาด 800, 700 และ 600 คู่เบส นอกจากนี้ยังพบว่าไพรเมอร์นี้มีความจำเพาะต่อหม่อนเท่านั้น เนื่องจากไม่สามารถใช้กับพืชตระกูลอื่นที่อยู่ในวงศ์ Moraceae เช่น กร่าง และป้อสา ได้

Getsang *et al.*, (2006) ได้ศึกษาโครงสร้างสามมิติของเลกตินจากใบหม่อนโดยใช้ลำดับกรดอะมิโนของ MLL ที่ได้จากการโคลนยีน และศึกษา binding site ของ MLL พบร่วางกิດจากลำดับกรดอะมิโนที่อยู่บริเวณ loop 46-52, 76-82, 122-125 และ N-terminas ของ  $\alpha$ -chain (Gly1) และข้อมูลจาก molecular dynamic simulations พบร่วาง MLL จับกับ N-glycolylneuraminic acid (Neu5Gc) ซึ่งเป็นอนุพันธุ์ของกรดเชียลิกได้ดีกว่า N-acetyl- $\beta$ -D-galactosamine (GalNac) และ galactose (Gal) ตามลำดับ ซึ่งสอดคล้องกับเลกตินที่ได้จากการทำให้บริสุทธิ์ (Ratanapo *et al.*, 1998) และนอกจากนี้ได้ทำการแสดงออกยีนเลกตินจากใบหม่อนในเซลล์เจ้าบ้านแบบที่เรียก *Escherichia coli* BL21 (DE3) ให้ผลิตโปรตีนที่ต้องการและนำไปทำให้บริสุทธิ์โดยใช้ DEAE-ion exchange และ  $Ni^{2+}$ -NTA affinity column chromatography และไม่พบ hemagglutination activity ของ recombinant MLL (Getsang, 2007)

## 6. พืชภายในความเครียด

Larcher (2003) กล่าวว่าความเครียดในพืชคือการทำให้พืชอยู่ในสภาพที่ถูกเบี่ยงเบนไปจากสภาพที่เหมาะสมต่อการดำรงชีวิต ความเครียดทำให้เกิดการเปลี่ยนแปลงและตอบสนองในทุกอวัยวะของพืชในระดับเดียวกัน การเปลี่ยนแปลงและตอบสนองของพืชอาจเกิดขึ้นเพียงชั่วคราว แต่บางครั้งก็สามารถเกิดขึ้นได้อย่างถาวร ปัจจัยที่ทำให้เกิดความเครียดในพืชสามารถแบ่งได้ 2 กลุ่ม คือ ความเครียดจากสิ่งมีชีวิต (biotic stress) และความเครียดจากสิ่งไม่มีชีวิต (abiotic stress)

### 6.1 ความเครียดจากสิ่งมีชีวิต สามารถแบ่งกลุ่มได้ 4 กลุ่มคือ

- ความเครียดที่เกิดจากพืช เช่น ความหนาแน่นของต้นพืช ความต้านทานโรคและพืชที่เป็นภัย

- ความเครียดที่เกิดจากจุลชีพ เช่น ไวรัส แบคทีเรียและรา
- ความเครียดที่เกิดจากสัตว์ เช่น การเลี้ยงปศุสัตว์และการเหยียบยำ
- ความเครียดที่เกิดจากคน เช่น ผลกระทบ สารเคมีการเกษตร การอัดดิน การเผาไฟ

### 6.2 ความเครียดจากสิ่งไม่มีชีวิต สามารถแบ่งกลุ่มได้ 5 กลุ่มดังนี้

- ความเครียดที่เกิดจากแสงอาทิตย์ เช่นการได้รับแสงสว่างมากหรือน้อยเกินไป และรังสีต่าง ๆ
- ความเครียดที่เกิดจากอุณหภูมิ เช่น ความเย็น ความร้อน
- ความเครียดที่เกิดจากน้ำ เช่น อากาศแห้ง ดินแห้ง และน้ำท่วม
- ความเครียดที่เกิดจากแก๊ส เช่น การขาดออกซิเจน และแก๊สจากภูเขาไฟ
- ความเครียดที่เกิดจากแร่ธาตุ เช่น การขาดแร่ธาตุ ความไม่สมดุลของแร่ธาตุ เกลือ โอละหนัก ความเป็นกรด และความเป็นเบส

การตอบสนองต่อความเครียดของพืชเมื่อมีความเครียดเกิดขึ้น เช่นลักษณะพืชจะมีการตอบสนองและปรับตัวต่อความเครียดที่เกิดขึ้นเพื่อความอยู่รอด ทุกครั้งที่มีความเครียดเกิดขึ้น พืชจะมีการตอบสนองในขั้นแรกโดยการแสดงออกของยีนจำเพาะต่อการเหนี่ยวแน่นให้เกิดความเครียด (specific stress-induced genes) ตามด้วยปฏิกิริยาที่จำเพาะทางชีวเคมีและสรีรวิทยาของพืช ผลผลิตของยีนที่ถูกเหนี่ยวแน่นด้วยความเครียดนี้สามารถแบ่งกลุ่มได้ 2 กลุ่ม คือกลุ่มที่ป้องกันและต่อต้านสิ่งแวดล้อมที่ทำให้เกิดความเครียด ซึ่งประกอบด้วยโปรตีนที่ทำหน้าที่ในการป้องกันเชลด์จากการสูญเสียน้ำ เช่นเอนไซม์ที่จำเป็นสำหรับสังเคราะห์สารในกลุ่ม osmoprotectants, late embryogenesis abundant (LEA) proteins, antifreeze proteins, chaperones และเอนไซม์ที่ช่วยในการกำจัดพิษ (detoxification) ส่วนกลุ่มที่สองคือกลุ่มที่ควบคุมการแสดงออกของยีนและการส่งสัญญาณในการตอบสนองต่อความเครียด ประกอบด้วย transcription factor, protein kinase และเอนไซม์ที่เกี่ยวข้องในกระบวนการสันดาปของฟอสโฟอินโนซิไทด์ (Hirt, 2004)

## 7. ดินเค็ม

ดินเค็ม (saline soil) หมายถึง ดินที่มีปริมาณเกลือที่ละลายน้ำในดินมากเกินไปจนมีผลต่อการเจริญเติบโตและผลผลิตของพืช ทำให้ผลผลิตของพืชลดลง ทั้งนี้เนื่องจากความเค็มทำให้พืชเกิดอาการขาดน้ำและการสะสมไออกอนของพืชมากเกินไป นอกจากนี้แล้วยังทำให้เกิดความสมดุลของชาต้อาหารพืชด้วย (สมศรี, 2539) การตรวจสอบว่าดินบริเวณใดเป็นดินเค็มน้ำที่ได้โดยการนำไปวัดค่าการนำไฟฟ้า (electrical conductivity) ของสารละลายน้ำในดินที่อิ่มตัวด้วยน้ำ (saturation extract) ที่อุณหภูมิ  $25^{\circ}\text{C}$  ซึ่งจะมีค่าสูงกว่า 4 เดซิซิเมตรต่อมเมตร ( $\text{dS}/\text{m}$ ) เกลือที่สามารถละลายน้ำได้คืนน้ำมีอยู่หลายชนิด ส่วนใหญ่จะเป็นเกลือของโซเดียม แคลเซียม โพแทสเซียม โดยจะอยู่ในรูปคลอไรด์ ซัลเฟต คาร์บอนเนต และไนเตรต ค่าที่ได้จากการวัดการนำไฟฟ้าของสารละลายน้ำในดินน้ำสามารถนำมาใช้ประเมินปริมาณเกลือและอิทธิพลของเกลือในดินต่อการเจริญเติบโตและผลผลิตของพืช

ปัจจุบันปัญหาดินเค็มก็พบเพิ่มขึ้นในส่วนต่างๆ ของโลก พบว่ากว่า 10% ของพื้นที่ที่ทำการเกษตรมีปัญหาดินเค็ม โดยเฉพาะอย่างยิ่งบริเวณอาหาศร้อนชื้น ปัจจุบันนี้พื้นที่เกษตรชลประทานในโลกเกิดปัญหาดินเค็มเพิ่มปีละ 10 ล้านเฮกตาร์ ประเทศไทยก็ประสบปัญหานี้เช่นกัน โดยเฉพาะพื้นที่ภาคตะวันออกเฉียงเหนือซึ่งมีการปลูกหม่อนเลี้ยงไห่มากที่สุดในประเทศไทยและมีดินเค็มประมาณ 17.8 ล้านไร่ หรือคิดเป็นร้อยละ 17 ของพื้นที่ภาค และยังมีพื้นที่ที่มีโอกาสจะเป็นดินเค็มอีกประมาณ 19.4 ล้านไร่ นอกจากนี้ก็ยังมีพื้นที่ปลูกข้าว ซึ่งเป็นที่ทราบกันดีอยู่แล้วว่าดินเค็มจะทำให้ผลผลิตลดน้อยลง เนื่องจากเกิดความเป็นพิษของไออกอน เกิดแรงคันอสโนติก หรือทำให้เกิดการเปลี่ยนแปลงคุณสมบัติทางกายภาพของดิน ยิ่งไปกว่านั้นหากพืชไม่สามารถเจริญเติบโตได้ก็จะเกิดความแห้งแล้งแพร่กระจายเพิ่มขึ้นได้ นอกจากนี้ก็พบว่ามีน้ำที่เป็นตัวการสำคัญในการก่อให้เกิดดินเค็ม แต่จากรายงานของกรมพัฒนาที่ดินพบว่าการปลูกป่าจะสามารถลดปัญหาดินเค็มลงได้ (Lanka, 2001)

**ตารางที่ 1 การตอบสนองต่อระดับความเค็มของพืชโดยทั่วไป**

ECE (dS/m)	เกลือในดิน (%)	ระดับความเค็มของดิน	อิทธิพลต่อพืช
2	< 0.1	ไม่เค็ม	ไม่มีผลต่อการเจริญเติบโตและผลผลิตของพืช
2-4	0.1-0.2	เค็มน้อย	มีผลต่อพืชที่ไม่ทนเค็ม
4-8	0.2-0.4	เค็มปานกลาง	มีผลต่อพืชหลายชนิด
8-16	0.4-0.8	เค็มมาก	พืชทนเค็มเท่านั้นที่ยังเจริญเติบโตได้ดี
16	> 0.8	เค็มจัด	พืชทนเค็มน้อยชนิดและพืชที่ใช้เกลือในการเจริญเติบโตเท่านั้นที่เจริญเติบโตได้ดี

**ที่มา:** United States Salinity Laboratory Staff (1954)

**ตารางที่ 2 การคัดเลือกปลูกพืชในดินเค็ม**

ค่าการนำไฟฟ้า (dS/m)						
2 - 4		4 - 8			8 - 16	
เค็มน้อย		เค็มปานกลาง			เค็มมาก	
ถั่วฝักยาว	ผักกาด	บัวบาน	กะหล่ำปลอก	ผักโภค	ชะคราม	หนามแดง
คั้นล่าย	พริกไทย	นำเต้า	กะหล่ำปลี	พริกขี้เกจ	กะนา	หน่อไม้ฝรั่ง
แตงร้าน	แตงไทย	อุ่น	หอมใหญ่	มะเขือเทศ	กะเพรา	สะเม็ด
		ผักชี	ผักกาดหอม	ผักกาดหัว	ผักบูรĝีน	ชะอม
		ถั่วฟูม	กระเทียม	หอมแดง	โงก娼	แสม
		แตงโม	แคนตาลูป	สับปะรด		
		มันฝรั่ง	ถั่วลันเตา	ข้าวโพดหวาน		
เยอบีร่า		กุหลาบ			บานบุรี	คุณนายตื่นสาย
					เล็บมือนาง	บานไม้รูริ
					เกียวหมื่นปี	แพรเชียงไช
					เพื่องฟ้า	ชบา
						เพิ่ม
ถั่วเขียว	ถั่วเหลือง	ข้าว	โซนอินเดีย	ฝ้าย	หญ้านานาชนิด	
ถั่วถิง	ถั่วแดง	ป่าน	โซนพื้นเมือง	โซนคงกอก	หญ้าแพรอก	
ถั่วแขก	ถั่วคำ	ทานตะวัน	ปอแก้ว	โซนอัฟริกัน	หญ้าแห้วหมู	
ถั่วปากอ้า	ชา	ข้าวโพด	หม่อน	ข้าวทนเค็ม	หญ้ากินนี	
		ข้าวฟ้าง	หญ้าเจ้าซู	คำฟอย	หญ้าชันอากาศ	
		ถั่วอัญชัน	มันสำปะหลัง	มันเทศ	ป่านศรนารายณ์	
		ถั่วกำพร้า			หญ้าขัน	หญ้าไชบริดเนบิร์
อาโวคาโด	กล้วย	ทับทิม	ปาล์มน้ำมัน	บีหลีก	ละมุด	ฝรั่ง
ลิ้นจี่	มะนาว	ชมพู่	มะกอก	พุทรา	มะยม	มะขาม
ส้ม	มะม่วง	แค		มะรุม	มะพร้าว	สะเดา
				มะม่วงหิมพานต์	มะขามเทศ	

**ที่มา:** กลุ่มสื่อส่งเสริมการเกษตร ส่วนส่งเสริมการเกษตร สำนักพัฒนาการถ่ายทอดเทคโนโลยี (2549)

## 8. กลไกการตอบสนองต่อความเครียดจากเกลือของพืช

ความคื้นของดินเป็นความเครียดหลักในพืชที่เกิดจากสิ่งไม่มีชีวิต ซึ่งส่งผลกระทบต่อการผลิตและคุณภาพของพืช ระดับความเข้มข้นของเกลือมีผลต่อการเจริญเติบโตของพืช คือจะควบคุมสารอาหาร โดยลดการดูดซึมฟอสฟอรัส โพแทสเซียม ใน terrestrial และแคลเซียม ทำให้อ่อนเป็นพิษต่ำเซลล์ และการดูดซึมน้ำ ดังรูปที่ 1 และ 2 ความเครียดจากเกลือทำให้เกิดการเปลี่ยนแปลงรูปแบบการสังเคราะห์โปรตีน เป็นไปได้ว่าอาจมีการลดหรือสูงขึ้นตามความต้องการ หรืออ่อนน้อยที่สุดก็ทำให้ผลผลิตของยืนยาวเพิ่มขึ้นได้ (Hopkins, 1999) เมื่อพืชได้รับความเครียดจากความเค็ม (salt stress) พบว่ามีผลต่อกระบวนการเมtabolism ของพืชในหลายลักษณะ เช่น ในใบユーカลิปตัส (*Eucalyptus globulus*) เมื่อได้รับความเครียดจากความเค็มผลคือ ปากใบปิดทำให้การดูดซึมคาร์บอนไดออกไซด์จากภายนอกเข้าสู่เซลล์ไม่ได้มีผลทำให้การสังเคราะห์แสงลดลง (Loreto and Delfine, 2000) และยังพบว่าในผัก-spinach ก็มีลักษณะเช่นเดียวกัน (Robinson et al., 1983; Delfine et al., 1999) นอกจากนี้ยังมีผลต่อกรรม (activity) และคุณสมบัติของเอนไซม์หลายชนิด (Greenway and Munns, 1980) เช่น ใน *Mesembryanthemum crystallinum* พบว่าเมื่อได้รับความเครียดจากความเค็มกิจกรรมของเอนไซม์ phosphoenolpyruvate carboxylase เพิ่มขึ้นจากตัวควบคุมสูงถึง 4 เท่า (Thomas et al., 1992) ผลของความเค็มที่มีต่อพืชในลักษณะดังกล่าวจะทำให้พืชมีการเจริญที่ผิดปกติ และให้ผลผลิตลดลงไป หรือ บางครั้งอาจจะรุนแรงจนทำให้พืชตายได้ Walia (2005) พบว่าศึกษาขึ้นที่มีการแสดงออกภายใต้สภาวะที่มีความเครียดจากเกลือในข้าวบาร์เลย์ (*Hordeum vulgare L.*) ในระยะต้นอ่อน โดยใช้เทคนิค microarray พบว่ามีการตอบสนองอย่างเด่นชัดต่อเกลือในการเหน็บยาน้ำขึ้นที่เกี่ยวข้องกับการสังเคราะห์กรดจัสโนนิก

พืชที่สามารถเจริญเติบโตในสภาพพื้นที่ที่เป็นดินเค็มได้นั้นจะต้องมีกลไกบางอย่างที่จะบรรเทาความเป็นพิษของเกลือได้ โดยพืชจะมีการปรับตัวให้เข้ากับสภาพแวดล้อมที่มีความเค็มเพื่อความอยู่รอด ในพืชแต่ละชนิดอาจจะมีกลไกในการตอบสนองที่แตกต่างกันไป ซึ่งอาจจะเป็นกลไกเดียวหรือ หลายๆ กลไกรวมกันทำให้เกิดความสามารถในการปรับตัวของพืช พืชสามารถที่จะบรรเทาความเป็นพิษของเกลือโดยใช้กลไกต่างๆ แบ่งออกเป็นกลุ่มใหญ่ๆ ดังนี้ คือ การควบคุมสมดุลของไอออนและนำ การสะสมสารเมtabolite (metabolite) เพื่อลดความเป็นพิษของ reactive oxygen species (ROS) และการควบคุมอัตราการเจริญเติบโต

ความทนเค็มของพืชมีความแตกต่างกันขึ้นอยู่กับระดับความเข้มข้นของเกลือในดินและชนิดของพืชว่าสามารถปรับตัวโดยใช้กลไกต่างๆ ที่หลากหลายทางชีวเคมีซึ่งประกอบด้วย (1) การสังเคราะห์สารพาก compatible solutes (2) ควบคุมการขนส่งไอออนจากரากไปยังใบ (3) การเก็บไอออนไว้เซลล์หรือเวคิวโอล (compartmentalization of ions) (4) การเลือกเก็บสะสมไอออน (exclusion of ions) (5) การสร้างเอนไซม์ต่อต้านการเกิดออกซิเดชัน (6) การสร้างฮอร์โมนพืช (Parida and Das, 2005)

### 8.1 การควบคุมสมดุลไอออน

พืชเมื่อยูในสภาพดินที่มีสารละลายของเกลือสูงจะมีการเคลื่อนย้ายไอออนของ  $\text{Na}^+$  และ  $\text{Cl}^-$  หรือ ไอออนอื่นๆ เช่น  $\text{K}^+$  และ  $\text{Ca}^{++}$  ระหว่างสารละลายดินกับเซลล์พืช (Binzel *et al.*, 1988) การปรับสมดุลของ  $\text{Na}^+$  และ  $\text{Cl}^-$  จะมีการปรับสมดุลใน apoplastic ในสภาพสารละลายดินที่มีเกลือสูงทำให้ osmotic stress สูง เกิดสภาพไอออนไม่สมดุลและเกิดความเป็นพิษ ทำให้พืชจำเป็นต้องสร้างสมดุลไอออนในเซลล์ เพื่อที่จะทำการปรับเปลี่ยนให้มีความเหมาะสมในการเกิดปฏิกิริยาต่างๆและการเจริญเติบโตภายใต้สภาพในเซลล์ เพื่อให้อัตราอุดมคุณภาพในเซลล์สูงกว่าในดินน้ำจากการเคลื่อนย้ายไอออนที่อยู่ในเซลล์จะเกิดขึ้นเนื่องจากความต่างศักย์ของพัฒนาการทางชีวภาพ ความต่างศักย์ไฟฟ้า ความต่างศักย์ของ electrochemical gradient หรือ ความต่างของความเข้มข้นของสารละลาย (Nobel, 1991) การเคลื่อนที่ของไอออนโดยทั่วไปจะมีโปรตีนเป็นตัวควบคุมการเคลื่อนย้ายไอออน เช่น เป็นตัวปั๊ม (pump) เป็นพาหะ (carrier) และเป็นช่องให้ไอออนผ่านเข้าออก (channel) (Sussma และ Harper, 1989)

### 8.2 การลดความเป็นพิษของ Reactive oxygen species (ROS)

ROS คือผลผลิตของกระบวนการเมแทบoliซึมภายในเซลล์ของสิ่งมีชีวิตที่ใช้ออกซิเจนในการดำรงชีวิต ในระบบของสิ่งมีชีวิตที่ใช้ออกซิเจนจะมีการสะสมและเคลื่อนย้าย ROS สำหรับในพืชกระบวนการสังเคราะห์แสงจะให้ผลผลิตของ ROS เพิ่มขึ้นและจะส่งผลให้เกิดออกซิเจนรูปแบบเดียวกัน เช่น superoxide radical, hydrogen peroxide และ hydroxyl radical ซึ่งออกซิเจนรูปแบบเดียวกันที่เกิดขึ้นนี้จะมีผลในการทำลายโปรตีนและการขับยักษ์การทำงานของเอนไซม์ในวัฏจักรเคลวิน (Kerb's cycle) เป็นต้นและน้ำตาลในสายดีเอ็นเอทำให้เกิดการแตกสลายของสายดีเอ็นเอ เกิด lipid peroxidation ทำให้เยื่อหุ้มเซลล์ในส่วนที่มีไขมันเป็นองค์ประกอบถูกทำลายไปซึ่งจะส่งผลให้เกิดอันตรายต่อเซลล์ได้ โดยทั่วไปในสภาพปกติพืชจะมีระบบเอนไซม์

หلامยชนิดที่ควบคุมกลไกเพื่อลดความเป็นพิษของ ROS เช่น superoxide dismutase, catalase, ascorbate และ glutathione (Cassells and Curry, 2001)

### 8.3 การสะสมสารอสโนไม้ໄลท์

การตอบสนองต่อความเครียดจากเกลือ โดยการผลิตและสะสมสารที่อยู่ในกลุ่มของ osmoprotective compounds ที่รู้จักกันในชื่อ compatible solutes ซึ่งเป็นโมเลกุลของสารอินทรีชีนขนาดเล็กที่ไม่มีพิษต่อกระบวนการเมแทบูลิซึม ประกอบด้วย proline, glycinebetaine, polyols, sugar alcohols และ soluble sugars โดยสาร osmolytes เหล่านี้จะช่วยรักษาสภาพของโปรตีนและโครงสร้างของเซลล์ และยังสามารถเพิ่มแรงดันอสโนไมติกในเซลล์ได้ด้วย (Yancey et al., 1982) glycinebetaine และ trehalose ทำหน้าที่รักษาโครงสร้างตุรภูมิของโปรตีนและเยื่อหุ้มเซลล์ แม่นนิทอลช่วยกำจัดสารอนุมูลอิสระ ดังนั้นสารอินทรีชีนเหล่านี้จึงได้ชื่อว่า osmoprotectants (Chen and Murata, 2000) เมื่อพืชอยู่ในสภาวะที่มีความเครียดจากความเค็มจะมีกลไกกระตุ้นให้มีการสร้างสารเพื่อรักษา osmotic pressure ของเซลล์ให้เหมาะสมโดยการสะสมสารอสโนไม้ໄลท์ ได้แก่

- น้ำตาลละลายได้
- โปรตีนละลายได้
- กรดอะมิโน
- สารประกอบของแอมโมเนียม
- โพลีเออีน
- โพลีออล

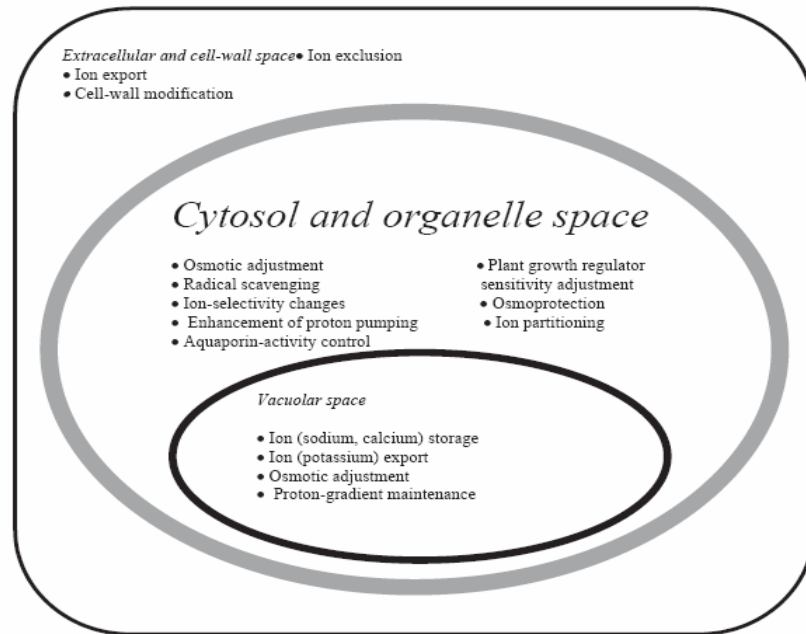
โพรลีนเป็นกรดอะมิโนที่เป็นสารประกอบในโตรเจน สร้างขึ้นเมื่อพืชได้รับ osmotic stress จากความแห้งแล้งหรือความเค็ม โพรลีนมีหน้าที่ในการป้องกันเนื้อเยื่อไม่ให้รับอันตรายจากความเครียด โดยจะเก็บไว้ในรูปสารประกอบในโตรเจน osmo-solute และป้องกันการเสียสภาพของเอนไซม์ และโครงสร้างของเซลล์ (Greenway and Munns, 1980) การสังเคราะห์โพรลีนมีสารตั้งต้นสองชนิด คือ glutamate และ ornithine การสะสมโพรลีนส่วนใหญ่เกิดจากกิจกรรมของเอนไซม์ใน glutamate pathway ดังนั้นจึงมีการศึกษาถึงกิจกรรมของเอนไซม์และการสะสมโพรลีนเพื่อเป็นแนวทางในการนำไปปรับปรุงพันธุ์พืชทันเค็ม Kishor et al., (1995) ได้ศึกษาการเพิ่มและสะสมโพรลีนโดยทดสอบการแสดงออกของเอนไซม์ Pyrroline-5-carboxylate reductase (P5CS) โดยจะตัดต่อชิ้นเข้ากับเวกเตอร์ Pbr 121 ภายใต้การควบคุมของ CaMV 35S promoter เข้าสู่

*Agrobacterium tumefaciens* แล้วทำการถ่ายยีนเข้าสู่ด้านยาสูบเพื่อตรวจคุณภาพพืชของอนไซม์ P5CS พบว่าด้านที่ได้รับยีนจะผลิตเอนไซม์มากขึ้น ทำให้การสังเคราะห์โพลีนมากกว่าชุดควบคุม 10-18 เท่า นอกจากนี้การสะสมโพลีนยังสามารถใช้เป็น marker ใน การศึกษาสภาพภาวะที่มีความเครียดจากความตึง เมื่อใน *M. crystallinum* โดยใช้เกลือโซเดียมคลอไรด์ซักนำให้เกิดการสะสมโพลีน พบว่ามีความเข้มข้นของเกลือโซเดียมคลอไรด์เพิ่มขึ้นก็จะมีการสะสมโพลีนมากขึ้นตามไปด้วย (Thomas et al., 1992)

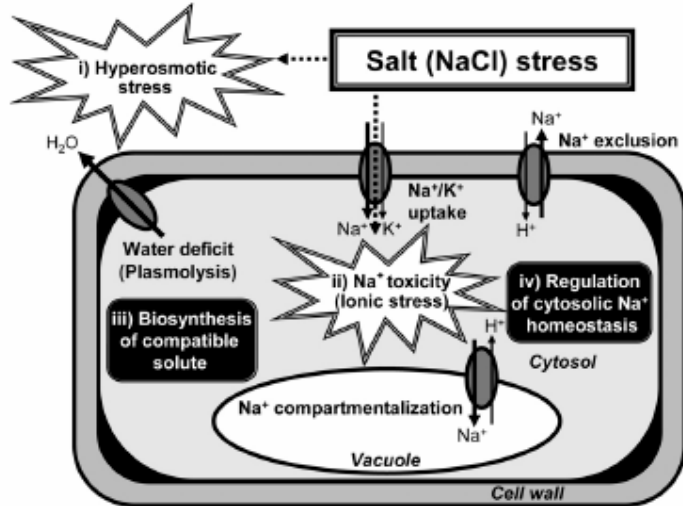
น้ำตาลไมเดกูลเดี่ยว เช่นกลูโคสและฟรอกโตสสามารถปลดปล่อย (จาก starch และ fructans ได้ตามลำดับ) ในการตอบสนองต่อความเครียด และเมื่อความเครียดหายไปน้ำตาลเหล่านี้ก็สามารถกลับคืนสู่รูปเดิม ได้ด้วยกระบวนการเริ่มต้นของเอนไซม์ไลซ์ ในขณะที่แม่นนิทอลเป็นรูปริคิวช์ของแม่นโนน โดยจะมีความเข้มข้นของแม่นโนนเพิ่มขึ้นเมื่อได้รับความเครียด ในทางตรงกันข้าม ขณะที่มีการสะสมไอกลูโคสบีเทนและแม่นนิทอลก็มีการควบคุมการใช้โดยลดอัตราการย่อยสลาย และเพาพาลามูแม่นนิทอลลง (Buchana et al., 2002)

#### 8.4 การควบคุมการเจริญเติบโต

เมื่อมีความเครียดเกิดขึ้น เชลด์ของพืชจะมีการตอบสนองและปรับตัวต่อความเครียดที่เกิดขึ้นเพื่อความอยู่รอด ทุกครั้งที่มีความเครียดเกิดขึ้น พืชจะมีการตอบสนองในขั้นแรกโดยการแสดงออกของยีนจำเพาะต่อการเห็นน้ำสำหรับความเครียด (specific stress-induced genes) ตามด้วยปฏิกิริยาที่จำเพาะทางชีวเคมีและสรีรวิทยาของพืช ผลผลิตของยีนที่ถูกเหนี่ยวนำด้วยความเครียดนี้สามารถแบ่งกลุ่มได้ 2 กลุ่ม คือกลุ่มที่ป้องกันและต่อต้านสิ่งแวดล้อมที่ทำให้เกิดความเครียด ซึ่งประกอบด้วยโปรตีนที่ทำหน้าที่ในการป้องกัน เชลด์จากการสูญเสียน้ำ เช่นเอนไซม์ที่จำเป็นสำหรับสังเคราะห์สารในกลุ่ม osmoprotectants, late-embryogenesis-abundant (LEA) proteins, antifreeze proteins, chaperones และเอนไซม์ที่ช่วยในการจัดพิษ (detoxification) ตัวนกลุ่มที่สองคือกลุ่มที่ควบคุมการแสดงออกของยีนและการส่งสัญญาณในการตอบสนองต่อความเครียด ประกอบด้วย transcription factor, protein kinase และเอนไซม์ที่เกี่ยวข้องในกระบวนการสันดาปของฟอสฟอโนนิชิทด์ (Hirt and Shinozaki, 2004)



ภาพที่ 1 แสดงไออกอนที่มีการสะสมบริเวณภายในเซลล์ (ที่มา: Parida, 2005)



ภาพที่ 2 ความเครียดจากเกลือโซเดียมคลอไรด์ทำให้พืชที่ได้รับเกิดความเสียหายสองอย่าง คือ i) การขาดน้ำซึ่งไม่ได้เป็นผลโดยตรงแต่เกิดจาก hyperosmotic stress ii) การเกิด ionic stress ซึ่งเป็นผลโดยตรงที่เกิดจากความเป็นพิษของ Na<sup>+</sup> ดังนั้นเพื่อทำให้เซลล์พืชมีความทนเค็มได้มากขึ้นจึงต้องใช้ 2 วิธีคือ iii) การผลิต compatible solute เพื่อเป็นสาร osmoprotectant และ iv) การควบคุมสมดุลของ Na<sup>+</sup> ในไซโตซอลโดยใช้โปรตีนขนส่ง Na<sup>+</sup> (Na<sup>+</sup> transporting proteins) ที่อยู่บนเยื่อหุ้มเซลล์และเยื่อหุ้มแก้วิโอล (ที่มา: Hideki *et al.*, 2005)

## 9. เลคตินกับการตอบสนองต่อความเครียดจากเกลือ

Zhang *et al.* (2000) ได้ศึกษาเลคตินในข้าว (*Oryza sativa L.*) โดยใช้ความเครียดจากเกลือหนึ่งปัจจัยให้มีการเพิ่มปริมาณเลคติน พบว่าเลคตินที่ได้มี 2 isoform ที่มีความคล้ายคลึงกันมากคือ Orysata 1 และ Orysata 2 ทั้งสอง isoform ประกอบด้วย 2 subunits ที่มีขนาด 15 kDa จัดอยู่ในกลุ่ม mannose-specific jacalin-related lectins นอกจากนี้ยังพบว่าลำดับเบสทางด้าน N-terminal ของ Orysata 1 และ Orysata 2 มีความคล้ายคลึงกับลำดับเบสของข้าวในฐานข้อมูล Genbank ที่ถอดรหัสเป็น salt-induced rice protein และ mannose-binding rice lectin (Genbank accession numbers AF001395 และ AB012605) ตามลำดับ

Hirano *et al.*, (2000) และ Zhang *et al.*, (2000) ได้พบหลักฐานที่แสดงให้เห็นว่าโปรตีน SALT มีการแสดงกิจกรรมของ mannose-binding lectin ต่อมาก Goncalo *et al.*, (2003) จึงได้ศึกษา กิจกรรมของ SALT lectin ในข้าวว่าเลคตินมีบทบาทต่อโปรตีน SALT ในการตอบสนองต่อความเครียดจากเกลือหรือไม่ และพบว่าระดับการแสดงออกของโปรตีน SALT และความไวในการตอบสนองต่อความเครียดไม่มีความสัมพันธ์กัน ซึ่งสรุปได้ว่าการแสดงออกของโปรตีน SALT ไม่ได้ถูกจำกัดในการตอบสนองต่อความเครียดจากเกลือเพียงอย่างเดียว

## 10. งานวิจัยที่เกี่ยวข้องกับกลไกการทนเครียดในพืช

พืชใช้วิธีการต่างๆ ในการปรับตัวให้ตอบสนองต่อความเครียดที่เกิดจากสิ่งไม่มีชีวิต เช่น ความเครียดจากเกลือที่มีผลต่อการเจริญเติบโตและผลผลิตของพืช ในการต้านทานความเครียดของพืช พืชมีกลไกการปรับตัวให้เข้ากับความเครียดจากเกลือที่แตกต่างกัน คือทางด้าน morphological และรูปแบบการพัฒนา เช่นทางสรีรศาสตร์และกระบวนการทางชีวเคมี การปรับตัวต่อความเครียดนี้ ต้องอาศัยการร่วมกันทำงานของสารเมแทบอไอลต์ต่างๆ หลายชนิดที่มีการสะสมในรูปของสารอินทรีย์ที่ละลายในน้ำ ได้ เช่น sugar, proline, betaines และ polyol (Flowers *et al.*, 1977) polyol ในพืชอยู่ในรูปของ acyclic forms ซึ่งได้แก่ mannositol, glycerol, sorbitol, ononitol, pinitol และ cyclic (cyclitols) forms โดยทั่วไปจะมีการสะสม polyol ไว้ในไซโทพลาซึมเพิ่มรักษาสมดุล ออสโมติกเมื่อมีความเปลี่ยนแปลงทางอนิโตรฟิลล์ในแวดวงโอลามากขึ้น นอกจากนี้ polyol ยังทำหน้าที่ในการกำจัดออกซิเจนอิสระ (oxygen radical scavenger) อีกด้วย (Ashraf and Harris, 2004) การสะสมของน้ำตาลละลายในน้ำได้ (ซูโครส, กลูโคส และฟรุกโตส) มีความสัมพันธ์กับการ

ทันคีมในพืช (Crowe *et al.*, 1993) และแพร์กระจายไปยังส่วนต่างๆ ของพืช โดยสะสมไว้ในใบ หัว รากและเมล็ด นำatalจะช่วยป้องกันเซลล์ในระหว่างที่ได้รับความเครียดจากเกลือ โดยใช้ 2 กลไก คือ หมูไอครอคิลของน้ำตาลจะไปแทนที่น้ำในการรักษา hydrophilic interaction ที่ผนังเซลล์และ โปรตีนระหว่างที่เกิดการสูญเสียน้ำ โดยน้ำตาลจะสร้างพันธะไฮโดรเจนกับเมมเบรนและ โปรตีน เพื่อป้องกันการเสียสภาพของโปรตีน (Williums and Leopold, 1989) ส่วนอีกกลไกคือ น้ำตาลจะเป็นตัวหลักที่ทำให้เกิดการกลایเป็นแก้ว (vitrification) ซึ่งเกิดจากการรวมตัวเป็นกลุ่ม ของเซลล์ที่สูญเสียน้ำในไฮโพพลาซึม น้ำตาลโดยแทนพะซูโครงสร้างสะสมในเมล็ดและเรณู ส่วน น้ำตาลอื่น เช่นกลูโคสจะเป็นชั้นสเตรตที่สำคัญในปฏิกิริยาการหายใจของเซลล์ นอกจากนี้ยังช่วย สนับสนุนการหายใจและการขนส่งอิเล็กตรอน ฟรอกแต่นอกจากเป็นคาร์บอนไฮเดรตสะสมแล้วยังมี หน้าที่หนึ่งที่สำคัญคือการควบคุมการเข้าออกของน้ำในกระบวนการเตรียมแพนอิโอล์ เมื่อมีความเครียดเกิดขึ้น และการผลิตคาร์บอนไฮเดรต เพื่อตอบสนองต่อความเครียดจากเกลือของพืชแต่ละชนิดจะแตกต่างกันกันออกไปดังตารางที่ 3

การควบคุมการขนส่งไฮอ่อนเป็นปัจจัยหนึ่งที่สำคัญในการตอบสนองต่อความเครียดจาก เกลือของพืช พืชแต่ละชนิดจะมีการตอบสนองต่อความเครียดแตกต่างกันดังตารางที่ 4 โดยโปรตีน ที่เขียวหุ่มเซลล์มีหน้าที่ในการคัดเลือกไฮอ่อนที่ผ่านเข้าออกจากเซลล์ Dupont (1992) ได้บันทึก เกี่ยวกับเขียวหุ่มโปรตีนที่ทำหน้าที่เกี่ยวกับการคัดเลือกไฮอ่อนบวก โปรตีนดังกล่าวได้แก่ (1)  $H^+$ -ATPase (2)  $Na^+/H^+$  antiports ในพลาสมามempreนสำหรับรับเข้า  $Na^+$  ที่มากเกินไปออกจากเซลล์ (3)  $Na^+/H^+$  antiports ใน tonoplast สำหรับส่ง  $Na^+$  เข้าไปในเก็บในแวรคิวโอล (4) cation channels จะ เลือกให้  $K^+$  ผ่านเข้าสู่เซลล์มากกว่า  $Na^+$  การศึกษากิจกรรมของ  $H^+$ -ATPase ของพืชหลายชนิด (ตารางที่ 4) พบว่ามีกิจกรรมของเอนไซม์เพิ่มขึ้นและลดลงแตกต่างกัน Parihar *et al.* (1990) พบว่า *Trifolium alexandrinum* ในพันธุ์ที่มีการสะสม  $Na^+$  น้อยจะมีกิจกรรมของเอนไซม์ ATPase สูงกว่า พันธุ์ที่มีการสะสม  $Na^+$  มาก ส่วนในข้าวสาลีพบว่ากิจกรรมของ plasma membrane-ATPase (PM-ATPase) ที่ใบเพิ่มสูงขึ้นในพันธุ์ที่ทนเค็ม และลดลงในพันธุ์ที่ไม่ทนเค็ม (Ayala *et al.*, 1997) ซึ่ง ตรงกันข้ามกับราบที่มีกิจกรรมของ PM-ATPase เพิ่มขึ้นในพันธุ์ที่ไม่ทนเค็ม แต่ลดลงในพันธุ์ที่ทน เค็ม ส่วนกิจกรรมของ V-ATPase (vacuole-ATPase) ในใบและรากไม่มีความแตกต่างกันในระหว่าง พันธุ์ทนเค็มและไม่ทนเค็ม และผลที่ได้นี้ยังเหมือนกับแครอทและถั่วเขียวอีกด้วย

เมื่อมีความเครียดเกิดขึ้นจะทำให้พิชมีการสร้าง active oxygen species เช่น superoxide ( $O_2^-$ ), hydrogen peroxide ( $H_2O_2$ ), hydroxyl radical ( $OH^-$ ) และ singlet oxygen ( $^1O_2$ ) ซึ่งเป็นอันตรายต่อเซลล์ แต่พืชจะมีความสามารถในการกำจัดโดยอาศัยกลไกของ antioxidant ซึ่งมีทั้งแบบที่ใช้ออนไซน์และไม่ใช้ออนไซน์ เมื่อเปรียบเทียบกลไกของ antioxidant ในข้าวพันธุ์ทนเค็มและไม่ทนเค็ม พบร่วมกิจกรรมของอนไซน์ superoxide dismutase (SOD) ลดลง แต่กิจกรรมของอนไซน์ peroxidase เพิ่มขึ้นในพันธุ์ไม่ทนเค็ม (Dionisiosese and Tobita, 1998) Turhan *et al.* (2008) ได้ศึกษากิจกรรมของออกซิเดทิฟเอนไซม์ที่เกี่ยวข้องกับการทนเค็ม คือ catalase, ascorbate peroxidase และ glutathione reductase ในสตอเบอร์รี่ 3 สายพันธุ์ พบร่วมกิจกรรมของอนไซน์ catalase ลดลง เฉพาะในพันธุ์ Tioga ในขณะที่อีกสองพันธุ์คือ Camarosa และ Chandler มีการเปลี่ยนแปลงน้อยมาก แต่จะค่อยๆ เพิ่มขึ้นอย่างช้าๆ เมื่อเวลาเพิ่มขึ้น โดยในวันที่ 30 ที่ความเข้มข้นเกลือ 34 มิลลิโตรลาร์ พันธุ์ Camarosa มีกิจกรรมของอนไซน์ catalase เพิ่มสูงขึ้น 3 เท่า ในขณะที่กิจกรรมของอนไซน์ ascorbate peroxidase ในพันธุ์ Camarosa จะเพิ่มขึ้นอย่างชัดเจน (5 เท่า) ในวันที่ 30 ที่ความเข้มข้นเกลือ 17 มิลลิโตรลาร์ พันธุ์ Tioga เพิ่มขึ้น 10 เท่าที่ความเข้มข้นเกลือ 8.5 มิลลิโตรลาร์ และพันธุ์ Chandler เพิ่มขึ้น 6 เท่าที่ความเข้มข้นเกลือ 34 มิลลิโตรลาร์ แต่กิจกรรมของอนไซน์ glutathione reductase มีเพียงพันธุ์ Camarosa เท่านั้นที่เพิ่มขึ้นอย่างชัดเจน (10 และ 8 เท่าที่ความเข้มข้นเกลือ 17 และ 34 มิลลิโตรลาร์ ตามลำดับ) ซึ่งแสดงให้เห็นว่าสตอเบอร์รี่พันธุ์ Camarosa และ Tioga เป็นพันธุ์ที่ทนเค็มโดยคุ้จากพฤติกรรมการควบคุมการปิดเปิดของปากใบ ความสามารถในการทนอยู่ในสภาวะที่มีความเครียดจากเกลือสูงและกิจกรรมของอนไซน์ต่างๆ ส่วนใหญ่ใน (*M. alba* L.)

Walia (2005) พบร่วมกับข้อมูลที่มีการแสดงออกภายในสภาวะที่มีความเครียดจากเกลือในข้าวบาร์เลี้ย (Hordeum vulgare L.) ในระยะต้นอ่อน โดยใช้เทคนิค microarray พบร่วมกับการตอบสนองต่อเกลืออย่างชัดเจนในการเหนี่ยวนำข้อมูลที่เกี่ยวข้องกับการสังเคราะห์กรดจัลสโตริก

ตารางที่ 3 การเปลี่ยนแปลงของการ์โนไไฮเดรตในการตอบสนองต่อความเครียดจากเกลือของพืช

Species	การตอบสนองต่อความเครียดจากเกลือ
<i>Vitis vinifera</i>	ซูโครสและแป้งลดลง reducing sugar เพิ่มขึ้น
<i>Cenchrus pennisetiformis</i>	ซูโครสลดลง กลูโคสและฟรุกโตสเพิ่มขึ้น
<i>Hordeum vulgare</i>	ซูโครสเพิ่มขึ้น reducing sugar ไม่เปลี่ยนแปลง
<i>Zygophyllum album</i>	ซูโครส กลูโคสและฟรุกโตสเพิ่มขึ้น
<i>Glycine max</i>	ซูโครสเพิ่มขึ้น แป้งลดลง
<i>Lepidium crassifolium</i>	Soluble sugar เพิ่มขึ้น

ที่มา: Ashraf and Harris (2004)

ตารางที่ 4 ผลของความเครียดจากเกลือต่อกิจกรรมของ plasma membrane H<sup>+</sup>-ATPase ในพืช

Species	การตอบสนองต่อความเครียดจากเกลือ
<i>Pisum sativum</i> (cultured cell)	เพิ่มขึ้น
<i>Atriplex nummularia</i> (ใบ)	เพิ่มขึ้น
<i>Zea mays</i> (ใบ)	เพิ่มขึ้น
<i>Vigna radiata</i> (ราก)	เพิ่มขึ้น
<i>Citrus sinensis</i> (ราก)	เพิ่มขึ้น
<i>Hordeum vulgare</i> (ใบ)	เพิ่มขึ้น
<i>Triticum aestivum</i>	
ราก: พันธุ์ทันเค็มและไม่ทันเค็ม	ลดลง
ใบ: พันธุ์ทันเค็ม	เพิ่มขึ้น
ใบ: พันธุ์ไม่ทันเค็ม	ลดลง
<i>Arachis hypogaea</i>	ลดลง
<i>Lycopersicon esculentum</i>	
ราก	ลดลง
ใบ	ลดลง
<i>Buchloe dactyloides</i> (ราก)	ลดลง
<i>Gossypium hirsutum</i> (ราก)	เพิ่มขึ้น

ที่มา: Ashraf and Harris (2004)

## 11. งานวิจัยที่เกี่ยวข้องกับกลไกการทนเค็มในหม่อน

Taiz and Zeiger (1991) พบว่ามีการสะสมของโพลีเปปไทด์ในระดับที่สูงในอาหารที่เลี้ยงเซลล์ tobacco (*Nicotiana tabacum*) ที่มีความเข้มข้นของ NaCl สูง

Tewary *et al.*, (2000) ศึกษาการตอบสนองของหม่อนที่ทนต่อเกลือและ osmotic stress ในหม่อน 3 สายพันธุ์ (*M. indica L.*) โดยเปรียบเทียบกับหม่อนพันธุ์ทนเค็ม (S34) และพันธุ์ทนแล้ง (S13) และพบว่าใน G4 มีการแตกหัก และมีความสูงเพิ่มขึ้นเมื่อเทียบกับ S34 เมื่อได้รับเกลือ NaCl สูงขึ้นถึง 1 % ในส่วนของการทนแล้งก็พบว่ามีปรอร์เซ็นต์การแตกยอดและสูงเพิ่มขึ้น เช่นกัน

Sudhakar *et al.*, (2001) ได้ศึกษาการเปลี่ยนแปลงของออกซิเดทีฟเอนไซม์ในหม่อน เช่น peroxidase, catalase, superoxide dismutase, glutathione reductase และ glutathione-S-transferase 2 สายพันธุ์คือ S1 และ ATP ซึ่งเป็นพันธุ์ที่ทนเค็มและไม่ทนเค็มตามลำดับภายใต้ความเครียดจากเกลือ พบว่าเมื่อหม่อนได้รับความเครียดจากเกลือจะมีการเปลี่ยนแปลงของออกซิเดทีฟเอนไซม์ เช่น ในวันที่ 12 เมื่อได้รับความเครียดจากเกลือ โซเดียมคลอไรด์กิจกรรมของเอนไซม์ glutathione reductase ในพันธุ์ S1 เพิ่มขึ้น 14 เท่า ส่วนพันธุ์ ATP เพิ่มขึ้น 9 เท่า ในขณะที่กิจกรรมของเอนไซม์ glutathione-S-transferase ในพันธุ์ S1 เพิ่มขึ้น 16 เท่า ส่วนพันธุ์ ATP เพิ่มขึ้น 13 เท่า นอกจากนี้ยังพบว่ามีการทำงานของ lipid peroxidase เพิ่มมากขึ้นในพันธุ์ ATP ในขณะที่พันธุ์ S1 กลับไม่มีการเปลี่ยนแปลง แสดงว่าใน S1 ซึ่งเป็นพันธุ์ทนเค็มมีการรักษาสภาพของเซลล์เมมเบรนไว้ได้

Vijayan *et al.* (2003) ได้คัดเลือกพันธุ์หม่อนทนเค็มที่เพาะเลี้ยงบนอาหารสูตร MS โดยใช้เกลือ NaCl ที่ความเข้มข้นต่างๆ เพื่อศึกษาการเจริญเติบโตของต้นและราก โดยพบว่าเกลือสามารถขับยับการเจริญเติบโตและการพัฒนาทั้งต้นและราก โดยมีปรอร์เซ็นต์การอยู่รอดจาก 83.7 % ของชุดควบคุม ลดลงเหลือ 6.1 % ใน 1 % NaCl จากหม่อนทั้งหมด 63 พันธุ์ มีเพียง 7 พันธุ์เท่านั้นที่สามารถเจริญได้ใน 0.3 % NaCl

Kumar *et al.* (2003) ได้ศึกษาผลของความเครียดจากเกลือต่อการสะสมของโพรลีนในหม่อนพันธุ์ทันเค็มกับไม่ทันเค็ม พบว่าการสะสมของโพรลีนที่ใบในวันที่ 12 เมื่อได้รับความเครียดจากเกลือโซเดียมคลอไรด์ 1.5 % พันธุ์ที่ทนเค็มมีการสะสมโพรลีนเพิ่มขึ้น 6 เท่าในขณะที่พันธุ์ที่ไม่ทนเค็มมีการสะสมโพรลีนเพิ่มขึ้น 4 เท่า และพบกิจกรรมของเอนไซม์ pyrroline-5-carboxylate reductase (P5CR) ในพันธุ์ที่ทนเค็มเพิ่มสูงขึ้น 4 เท่า มากกว่าพันธุ์ที่ไม่ทนเค็มที่เพิ่มขึ้น 3 เท่า ในขณะที่เอนไซม์ proline oxidase และ proline dehydrogenase จะถูกยับยั้ง โดยในพันธุ์ที่ทนเค็ม กิจกรรมของเอนไซม์ proline oxidase และ proline dehydrogenase ถูกยับยั้ง 16.88 และ 12.09 % ตามลำดับ ส่วนพันธุ์ที่ไม่ทนเค็มกิจกรรมของเอนไซม์ proline oxidase และ proline dehydrogenase ถูกยับยั้ง 35.29 และ 26.42 % ตามลำดับ

Harinasut *et al.* (2003) ศึกษาผลของความเค็มต่อเอนไซม์ที่ต่อต้านการเกิดออกซิเดชันในหม่อนพันธุ์ไฝ่ โดยพบว่าความเครียดจากเกลือสามารถเหนี่ยวนำให้มีการเปลี่ยนแปลงของเอนไซม์ที่ต่อต้านการเกิดออกซิเดชันคือ peroxidase, superoxide dismutase, ascorbate peroxidase และ glutathione reductase ได้โดยใช้ความเข้มข้นเกลือสูงสุด 150 mM นาน 12 วัน และพบว่ามีการสะสมของโพรลีนเพิ่มขึ้น 11 เท่า (Harinasut *et al.*, 2000)

กลไกในการตอบสนองต่อความเครียดจากเกลือของพืชโดยทั่วไปจะทำให้การเจริญเติบโตของพืชลดลง ทำให้เกิด ไออ่อนที่เป็นพิษ ( $\text{Na}^+$ ,  $\text{Cl}^-$ ,  $\text{SO}_4^{2-}$ ) และเกิดความเครียดจากการขาดน้ำ (osmotic stress) สารอาหารและสมดุลของกระบวนการเผาผลาญ (Zhu, 2002) และเมื่อเกิดการขาดน้ำก็จะทำให้ปากใบปิด กระบวนการหายใจและการสังเคราะห์แสงลดลงจนเกิด oxidative stress ตามมาในที่สุด (Giridarakumer *et al.*, 1999) การปิดปากใบมีผลทำให้ความเข้มข้นของสารบันดาลไดออกไซด์ในคลอโรฟลาสลดลงและทำให้  $\text{NADP}^+$  จับกับอิเล็กตรอนจาก PS I ได้น้อยลง ดังนั้นจึงทำให้ออกซิเจนที่สร้างขึ้นพร้อมกันเพื่อมารับอิเล็กตรอนเกิดเป็น reactive oxygen species (ROS) ซึ่งประกอบด้วย superoxide radicals, hydrogen peroxide ( $\text{H}_2\text{O}_2$ ) และ hydroxyl radicals ( $\text{OH}^-$ ) และ ROS นี้เองที่ทำให้เกิด oxidative damage ขึ้น โดยจะไปทำลายส่วนประกอบต่างๆ ของเซลล์ เช่น ผนังเมมเบรนที่เป็นไขมัน โปรตีน และกรดนิวคลีอิก (Halliwell and Gutteridge, 1986) เพื่อลดความเสียหายที่เกิดจาก oxidative damage พืชจะสร้าง antioxidants เช่น reduced glutathione (GSH) และเอนไซม์ต่างๆ เช่น superoxide dismutase (SOD), catalase (CAT), ascorbate peroxidase (APX), glutathione-S-transferase (GST) และ glutathione peroxidase (GPX) เพื่อกำจัด ROS ที่เกิดขึ้น (Hussain *et al.*, 2008) เอนไซม์ peroxidase พบได้มากภายในพืชชั้นสูงและมีหน้าที่สำคัญโดยเป็นส่วนหนึ่งของเอนไซม์ป้องกันที่ทำงานเกี่ยวกับกันในเซลล์ ช่วยจัดสารพิษที่อยู่ในรูป activated oxygen โดยเอนไซม์ peroxidase จะช่วยกำจัด hydrogen peroxide ส่วนเอนไซม์ที่ช่วยในการขัดสารพิษอีกชนิดคือ GST ซึ่งเชื่อมต่อโมเลกุลของตัวเองเข้ากับสารแปรกปลอมภายนอกเพื่อกำจัดออกนอกเซลล์ (Leaver *et al.*, 1992) โดย glutathione จะหน้าที่หลักในการป้องกันต่อต้านการเกิด oxidative stress โดยลดจำนวน  $\text{H}_2\text{O}_2$  ที่เกิดขึ้น (Foyer and Halliwell, 1976) ดังภาพที่ 4 ถึงแม้ว่าการศึกษาเกี่ยวกับการสร้างและสะสมสาร osmoprotectants เป็นอย่างต่ำที่ยังขาดความรู้เกี่ยวกับการส่งสัญญาณเป็นลำดับที่ไปควบคุมการสร้างสาร compatible solutes ในพืชอีกมาก ดังนั้นการศึกษาขั้นที่เกี่ยวข้องกับความเครียดจากเกลือจึงน่าจะเป็นวิธีการหนึ่งที่จะทำให้เข้าใจกลไกต่างๆ ในการตอบสนองต่อความเครียดจากเกลือได้มากขึ้น ในพืชชั้นสูงจะมีการสังเคราะห์โพลีลีนได้ 2 ทาง ที่แตกต่างกัน โดยทางแรกคือจะเปลี่ยนกوليคามาเป็น  $\Delta^1$ -pyrroline-5-carboxylate (P5C) โดยใช้เอนไซม์ pyrroline-5-carboxylase synthetase (P5CS) และ P5C จะถูกรีดิวต์เป็นโพลีลีนด้วยเอนไซม์ pyrroline-5-carboxylase reductase (P5CR) ส่วนอีกทางหนึ่ง ornithine จะถูกเปลี่ยนเป็น P5C โดยกระบวนการข้ามหมู่อะมิโนได้เป็นโพลีลีน (Jenks and Hasegawa, 2005) ดังภาพที่ 5 และมีสาร osmolytes อีกหลายชนิดเช่น glycinebetaine, polyols, sugar alcohols และ soluble sugars นอกจากกลไกข้างต้นแล้วพืชยังมีกลไกในการรักษาสมดุลของไออ่อนภายในเซลล์ เพื่อขัดไออ่อนที่มีมากเกินไปออกจากเซลล์ เนื่องจากไออ่อนเหล่านั้นจะเป็นพิษต่อเซลล์ ดังภาพที่ 6

ดังนั้นการวิจัยในนี้มีวัตถุประสงค์เพื่อศึกษากลไกในการตอบสนองต่อความเครียดจากเกลือของหม่อนน้อยดังกล่าวข้างต้น โดยเลือกศึกษากลไกที่แตกต่างกันในระดับยีน โปรตีน และเมแทบอไอลต์ดังนี้

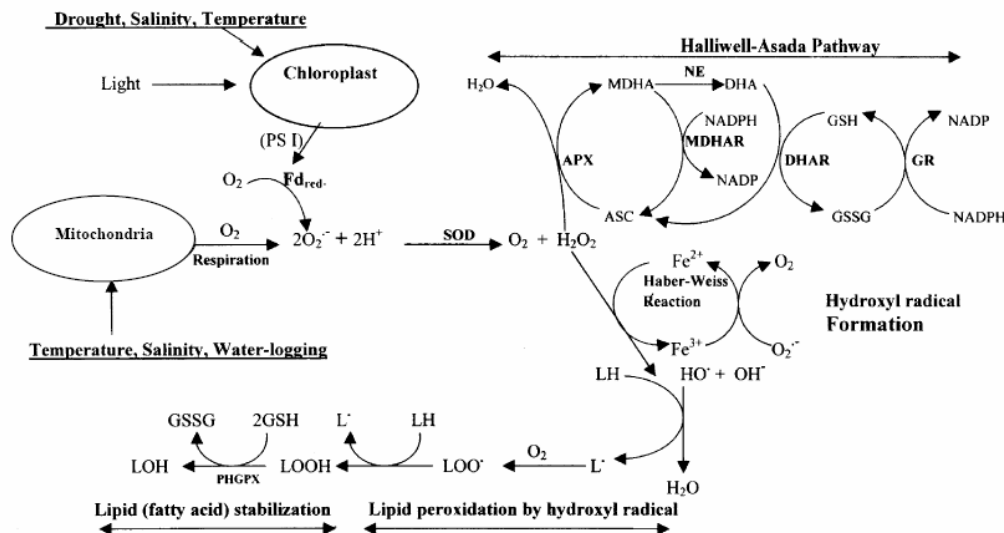
1. การศึกษาในระดับยีน เลือกยีนในกลุ่มที่เกี่ยวข้องกับ osmoprotection คือ

- Pyrroline-5-carboxylase synthetase gene (P5CS)
- Pyrroline-5-carboxylase reductase gene (P5CR)
- Fructose 1,6-bisphosphatase gene (FBP)
- Invertase gene (Inv)
- D-mannitol dehydrogenase gene (ManD)
- Betain aldehyde dehydrogenase gene (BADH)

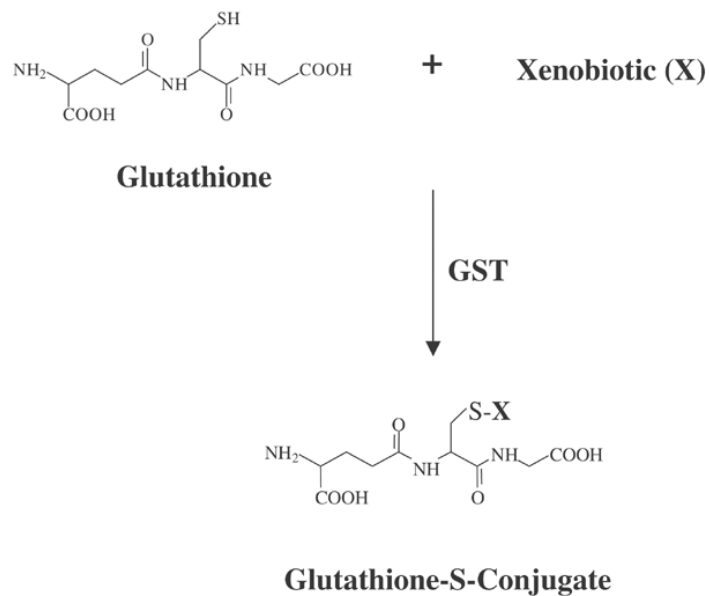
และยีนที่มีการตอบสนองต่อความเครียดจากเกลือคือ MLL gene และ Putative late-embryogenesis-abundant (LEA) gene

2. การศึกษาในระดับโปรตีน เลือกวัดกิจกรรมของเอนไซม์ที่เกี่ยวข้องกับ antioxidation คือ peroxidase (PX) และ GST เกี่ยวข้องกับ osmoprotection คือ glucosidase และเกี่ยวกับไอออนปั๊มคือ ATPase

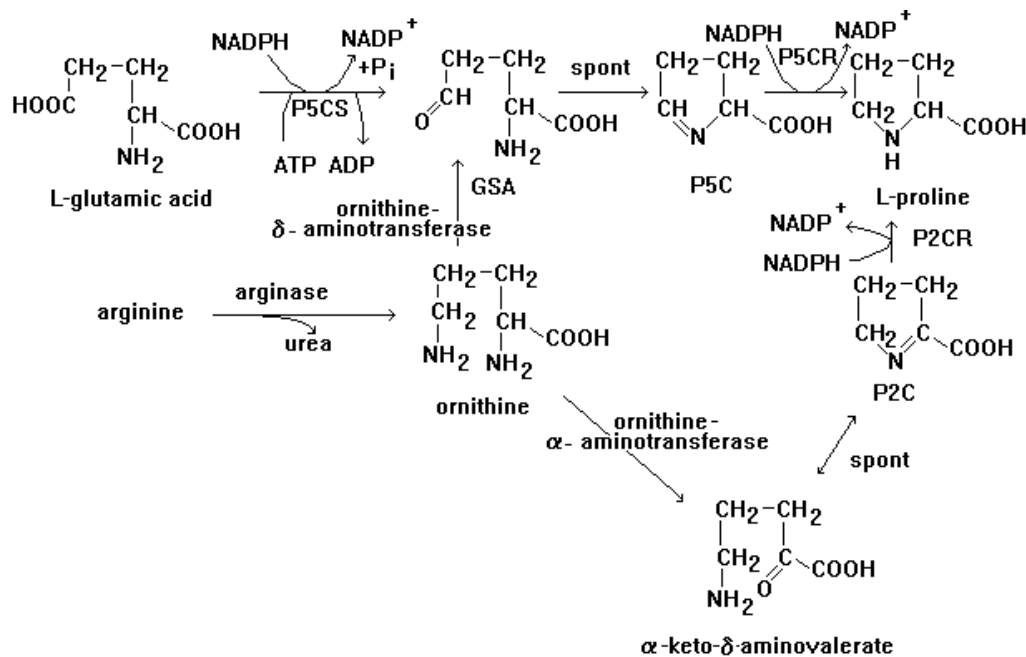
3. การศึกษาในระดับเมแทบอไอลต์ เลือกวิเคราะห์น้ำตาลที่เกี่ยวข้องกับการตอบสนองต่อความเครียดจากเกลือคือ fructose, glucose, mannitol และ sucrose โดยมีความสัมพันธ์กันดังภาพที่ 6 และ 7



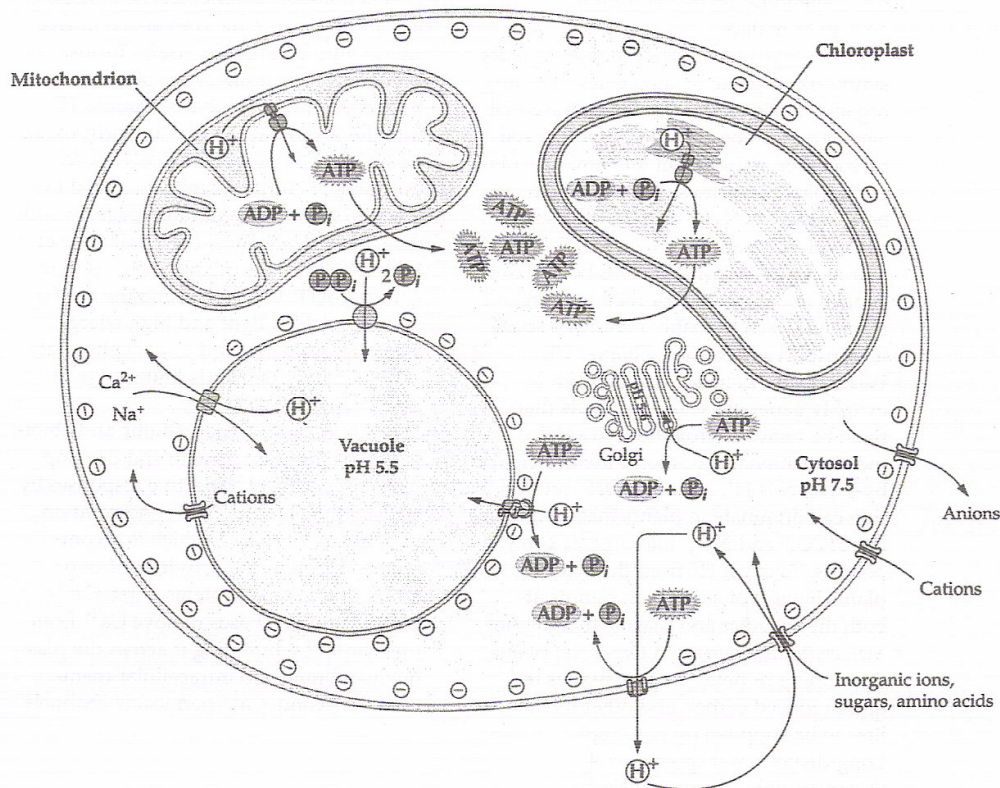
ภาพที่ 3 กลไกการกำจัด reactive oxygen species (ROS) ในเซลล์พืชโดยใช้และไม่ใช้ออนไซน์ได้แก่ ascorbate peroxidase (APX), ascorbate (ASC), dehydroascorbate (DHA), dehydroascorbate reductase (DHAR), ferredoxin (Fd), glutathione reductase (GR), reduce glutathione (GSH), oxi-glutathione (GSSG), hydroxyl radical (HO<sup>·</sup>), lipid (LH), LOO (L), LOOH , LOH, Monodehydro-ascorbate (MDHA), Mono dehydro-ascorbate reductase (MDHAR), Phospholipid-hydroperoxide glutathione peroxidase (PHGPX) และ Superoxide dismutase (SOD) (ที่มา: Sairam and Tyagi, 2004)



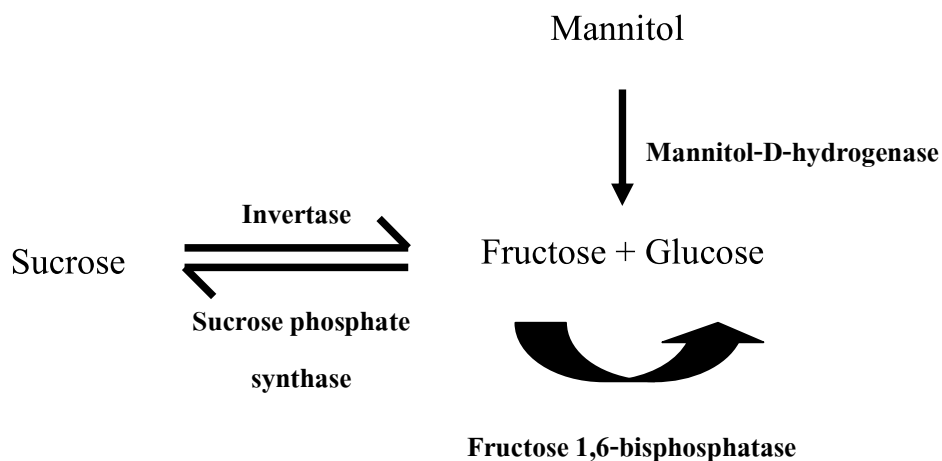
ภาพที่ 4 การเร่งปฏิกิริยาของเอนไซม์ Glutathione S-Transferase (GST) ในการกำจัดสารพิษออกนอกรีดล์



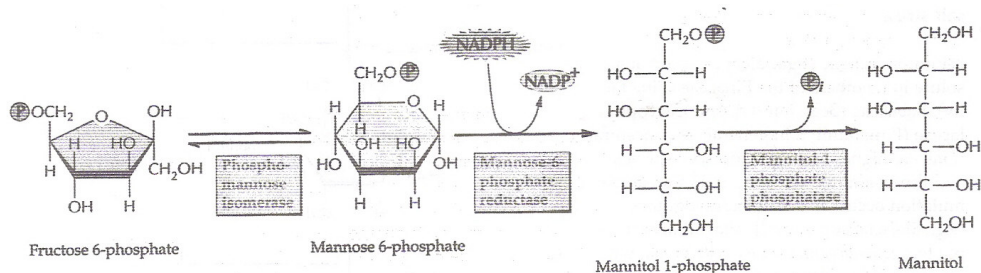
ภาพที่ 5 กลไกการผลิตและสลายของโพรลีน มี 2 ทางคือเปลี่ยนกลูตามทีเป็น  $\Delta^1$ -pyrroline-5-carboxylate (P5C) โดยใช้ออนไซม์ pyrroline-5-carboxylase synthetase (P5CS) ได้เป็น glutamate semialdehyde (GSA) ซึ่งจะเปลี่ยนไปเป็น P5C ได่อง และ P5C จะถูกเรดิวเตอร์ เป็นโพรลีนด้วยออนไซม์ pyrroline-5-carboxylase reductase (P5CR) ส่วนอีกทางหนึ่ง ornithine (Orn) จะถูกเปลี่ยนเป็น P5C ด้วยออนไซม์ Orn-delta-aminotransferase โดยกระบวนการย้ายหมู่อะมิโนได้เป็นโพรลีน (ที่มา: Delauney and Verma, 1993)



ภาพที่ 6 กลไกการรักษาสมดุล “ไอออนในเซลล์พืช การปั๊ม “ไอออนให้ผ่านเข้าออกทางเยื่อหุ้มเซลล์ โดยได้รับพลังงานจากการสลาย ATP ไปเป็น  $\text{PP}_i$  (ที่มา: Buchana *et al.*, 2002)



ภาพที่ 7 กลไกการสลายตัวของน้ำตาล 4 ชนิดที่สัมพันธ์กัน



ภาพที่ 8 กลไกการสังเคราะห์เมนนิทอลจากฟรุกโตส (ที่มา: Buchana *et al.*, 2002)

## ஆப்ரன் மற்றும் விதிகள்

### ஆப்ரன்

#### 1. தாவரங்கள்

மூன்பந்தூப்பினமீங்காய்ப்பந்தூப்மூன்நோய் (*M. rotundiloba* Koidz) தீங்குகளை பலாடு செய்து கொண்டு விதிகளை அறிய வேண்டும்.

#### 2. ஸார்கெமி

ஸார்கெமி தீங்குகளை பலாடு செய்து விதிகளை அறிய வேண்டும்.

##### 2.1 ஸார்கெமி தீங்குப் பொருள்கள்

Absolute ethanol, C<sub>2</sub>H<sub>5</sub>OH (Merck, Germany)

Dithiothreitol (DTT) (Pharmacia, USA)

Hydrochloric acid (HCl) (Merck, Germany)

Isopropanol (Merck, Germany)

Liquid nitrogen (TIG)

Polyvinylpyrrolidone (Sigma, USA)

Potassium chloride (Sigma, USA)

Sodium acetate (Merck, Germany)

Sodium chloride (Merck, Germany)

Sodium dodecyl sulfate (SDS) (Merck, Germany)

Sodium hydroxide (BDH, UK)

## 2.2 สารเคมีสำหรับการเพาะเลี้ยงเนื้อเยื่อ

- Agar powder (HIMEDIA, India)
- Ammonium nitrate (Ajax, Australia)
- 6-Benzylaminopurine (BAP)(ACROS, USA)
- Boric acid (Merck, Germany)
- Calcium chloride (Merck, Germany)
- Cobalt(II)chloride (APS, Australia)
- Copper(II)sulfate (Ajax, Australia)
- Glycine (Sigma, USA)
- Iron(II)sulfate (APS, Australia)
- Magnesium sulfate (Ajax, Australia)
- Maganese(II)sulfate (Ajax, Australia)
- Myo-inositol (Fluka, USA)
- Nicotinic acid (Himedia, India)
- Potassium dihydrogen orthophosphate (Carlo, Italy)
- Potassium iodide (Carlo, Italy)
- Potassium nitrate (APS, Australia)
- Pyridoxine hydrochloride (Himedia, India)
- Sodium molybdate (Ajax, Australia)
- Sucrose (Ajax, Australia)
- Thiamine hydrochloride (APS, Australia)
- Zinc sulfate (Ajax, Australia)

## 2.3 สารเคมีสำหรับการวัดกิจกรรมของเอนไซม์

- Glutathione (GSH) (Fluka, USA)
- Guaiacol (Carlo erba, Italy)
- Hydrogen peroxide ( $H_2O_2$ )
- p-nitrophenyl-2-D-glucopyranoside (sigma, USA)
- Sodium carbonate ( $Na_2CO_3$ ) (Ajax, Australia)
- Adenosinetriphosphate(ATP) (Fluka, USA)

Ammonium molybdate (Ajax, Australia)

Malachite green (Fluka, USA)

Perchloric acid (Fluka, USA)

Tween 20

#### 2.4 สารเคมีสำหรับตรวจส่วนการแสดงออกของยีน

Agarose (Sekem, USA)

Chloroform (Merck, Germany)

Diethyl pyrocarbohydrate (DEPC)

dATP, dCTP, dGTP, and dTTP (Promega)

DNA marker : 100 bp + 1.5 Kb DNA plus ladder (Gibco, USA)

Ethanol, absolute (Merck, Germany)

Ethidium bromide (EtBr) (Sigma, USA)

Ethylene diamine tetraacetic acid, disodium salt dihydrate (EDTA) (Merck, Germany)

Immolase DNA polymerase (Bioline, USA)

Tris-(hydroxy methyl)-aminomethane (Sigma, USA)

#### 2.5 ชุดสำเร็จรูปสำหรับการสกัด RNA

Reverse transcription system kit (Promega, USA)

TRIzol reagent (Gibco BRL, USA)

### 3. เครื่องมือและอุปกรณ์

เครื่องกวนแท่งแม่เหล็ก (Magnetic stirrer: Fisher scientific)

เครื่องชั่ง (Balance: Satorious)

เครื่องทำความร้อน (Hot plate: Fisher scientific)

เครื่องเพิ่มปริมาณดีเอ็นเอ (Thermal cycle: Thermo hybrid)

เครื่องวัดการดูดกลืนแสง (UV/Visible spectrophotometer: Beckman)

เครื่องวัดความเป็นกรดเป็นด่าง (pH meter): Denver Instrument model 215

เครื่องวิเคราะห์เจล (Gel-Documentation & analysis: Pharma Biotech)

เครื่องหมุนเหวี่ยงขนาดเล็ก (Microcentrifuge: Model Spectrafuge 16M)

เครื่องหมุนเหวี่ยงควบคุมความเย็น (Refrigerated centrifuge: Jouan, USA)

เครื่องอ่านแพลตต์ (Microplate reader: Molecular Devices)

ชุดอิเล็กโทรฟอริซิส (Electrophoresis unit: Submerged Agarose Gel Electrophoresis)

ตู้แช่แข็งอุณหภูมิ -20°C (Freezer)

ตู้แช่แข็งอุณหภูมิ -70°C (Freezer)

ตู้อบความร้อน (Hot air oven: Fisher Scientific)

ปีเปตต์อัตโนมัติ (Autopipette: Pipetteman, Gilson, France)

ไมโครเวฟ (Microwave: Turbora TRX-1980)

หม้อนึ่งความดันไอน้ำ (Autoclave: Model HA-300M)

อ่างน้ำควบคุมอุณหภูมิ (Water bath: New Brunswick Scientific)

## วิธีการ

### 1. การพัฒนาสูตรอาหารสำหรับเพาะเลี้ยงเนื้อเยื่อหม่อน

#### 1.1 การเตรียมต้นหม่อนสำหรับทำการทดลอง

การเพาะเลี้ยงหม่อนน้อยในสภาวะปลодด้วยใช้เทคนิคการเพาะเลี้ยงเนื้อเยื่อในสภาวะที่มีแสง 16 ชั่วโมง ( $150 \mu\text{mol m}^{-2} \text{ s}^{-1}$ ) อุณหภูมิ 25 °C ความชื้นสัมพัทธ์ 70-80 % ในอาหารสูตร Murashige and Skoog (MS) ที่มีฮอร์โมน BAP 1 มิลลิกรัมต่อลิตร ปริมาตร 20 มิลลิลิตร เพื่อขยายพันธุ์หม่อน ในขวดเพาะเลี้ยงเนื้อเยื่อบาดาล 120 มิลลิลิตร จำนวน 2 ต้นต่อขวด เมื่อหม่อนได้รับฮอร์โมน BAP หม่อนจะตอบสนองโดยการเร่งให้มีการแบ่งเซลล์ ทำให้มีการแตกยอดมากขึ้นจากนั้นจึงตัดยอดหม่อนไปเลี้ยงในอาหารสูตร MS ที่ไม่มีฮอร์โมน BAP เพื่อให้หม่อนเจริญเป็นต้นเดี่ยวและเต็กราก เนื่องจากหม่อนจะดูดซึมสารอาหารไปใช้ในการเจริญเติบโต จึงต้องทำการเปลี่ยนอาหารใหม่ทุก 1 เดือน

#### 1.2 การหาสภาวะที่เหมาะสมต่อการเจริญเติบโตของหม่อน

##### 1.2.1 การหาความเข้มข้นของน้ำตาลที่เหมาะสมสำหรับการเจริญของหม่อน

หาความเข้มข้นของน้ำตาลซูโครัสในอาหารที่เหมาะสมต่อการเจริญเติบโตของหม่อน โดยใช้อาหารสูตร MS ที่มีฮอร์โมน BAP 1 มิลลิกรัมต่อลิตร มีรูน 0.8 % และมีความเข้มข้นของน้ำตาลต่างกันไปตามลำดับคือ 1 %, 2 % และ 3 % จากนั้นวัดการเจริญเติบโตจากความสูงจำนวนใบและจำนวนยอดทุก 3 วัน

##### 1.2.2 การเปรียบเทียบการเจริญเติบโตเมื่อใช้น้ำตาลซูโครัสกับน้ำตาลทรายยี่ห้อมิตรผล

เปรียบเทียบการเจริญเติบโตของหม่อนเมื่อใช้น้ำตาลซูโครัสกับน้ำตาลทรายยี่ห้อมิตรผล ยี่ห้อมิตรผล ทำการทดลองเหมือนข้อ 1.2.1

### 1.2.3 การหาความเข้มข้นของชอร์โไมน BAP ที่เหมาะสมต่อการเร่งการแตกยอดหม่อน

หาความเข้มข้นของชอร์โไมน BAP ในอาหารที่เหมาะสมต่อการเจริญเติบโตของหม่อน โดยใช้อาหารสูตร MS ที่มีน้ำตาลซูโคโรส 3 % มีวุ่น 0.8 % และมีความเข้มข้นของชอร์โไมน BAP ต่างกันไปตามลำดับคือ 0, 0.1, 0.25, 0.75 และ 1 มิลลิกรัมต่อลิตร จากนั้นวัดการเจริญเติบโตจากความสูง จำนวน ใบและจำนวนยอดทุก 3 วัน

## 2. การทดสอบความเครียดของหม่อนในสภาพที่มีเกลือ

### 2.1 การเตรียมต้นหม่อนก่อนนำไปปลูกในสภาพที่มีเกลือความเข้มข้นต่างๆ กัน

นำต้นหม่อนมีอายุ 20 วัน สูงประมาณ 2 เซนติเมตร มีรากและใบประมาณ 3-5 ใบ ที่เลี้ยงในอาหารสูตร MS ที่มีน้ำตาลซูโคโรส 3 % วุ่น 0.8 % แต่ไม่มีชอร์โไมน BAP ขึ้ยมาปลูกในขาวขนาด 240 มิลลิตรที่บรรจุอาหารเหลวที่ไม่มีน้ำตาลซูโคโรส ชอร์โไมน BAP และวุ่น ปริมาตร 25 มิลลิลิตร ซึ่งมีเวอร์มิกูล ໄลท์ที่ปลูกเชื้อเป็นวัสดุคำ้ง 10 กรัมผสมรวมอยู่ด้วย ทำการปรับสภาพหม่อนให้คุ้นเคยกับสิ่งแวดล้อมก่อนทำการทดลองในอาหารที่มีเกลือ 1 สัปดาห์

### 2.2 การระยะเวลาและลักษณะทางกายภาพของหม่อนเมื่อได้รับความเครียดจากเกลือ

นำต้นหม่อนที่ปรับสภาพแวดล้อมครบ 1 สัปดาห์มาเติมเกลือโซเดียมคลอไรด์ความเข้มข้น 0, 100, 300, 500 และ 600 มิลลิโมลาร์ ความเข้มข้นละ 5 ขาว ขาดละ 2 ต้น สังเกตและบันทึกความเปลี่ยนแปลงที่เกิดขึ้นในช่วงต่างๆ เพื่อศึกษาความทนทานในหม่อนว่าสามารถทนอยู่ในสภาพที่มีเกลือได้ที่ความเข้มข้นสูงสุดคือ 600 มิลลิโมลาร์ ได้นานกี่วัน

### 2.3 การเตรียมตัวอย่างหม่อนเพื่อศึกษากลไกการตอบสนองต่อความเครียดจากเกลือ

นำต้นหม่อนที่ปรับสภาพแวดล้อมครบ 1 สัปดาห์มาเติมเกลือโซเดียมคลอไรด์ความเข้มข้น 0, 100, 300, 500 และ 600 มิลลิโมลาร์ ความเข้มข้นละ 5 ขาว ขาดละ 2 ต้น เมื่อเวลาผ่านไป 0, 1, 3, 6, 12, 24, 72, 120 และ 168 ชั่วโมง จึงเก็บตัวอย่างโดยตัดใบและราก นำมาถังให้สะอาด จากนั้นแบ่งตัวอย่างเป็น 3 ส่วนสำหรับการสกัดเอนไซม์ การวิเคราะห์น้ำตาลและการสกัด RNA

ต่อไป ถ้ายังไม่ทำการทดลองในทันทีให้แช่ในไนโตรเจนเหลวเก็บที่  $-70^{\circ}\text{C}$  ส่วนตัวอย่างที่จะนำไปสกัด RNA ให้เติม 2 % SDS ลงไปก่อนแซ่บในไตรเจนเพื่อขับยั่งการสลายตัวของ RNA

### 3. การสกัดและวัดกิจกรรมของเอนไซม์

นำตัวอย่างไปและรากหม่อนที่เลี้ยงบนอาหารที่เติมเกลือโซเดียมคลอไรด์ความเข้มข้น 0, 100, 300, 500 และ 600 มิลลิโมลาร์ แต่ละตัวอย่างน้ำหนักประมาณ 100 มิลลิกรัม บดให้ละเอียดใน 100 mM sodium phosphate buffer, pH 7.0 ที่มี 2 mM EDTA, 4 mM dithiothreitol (DTT) และ 6 มิลลิกรัม polyvinylpyrrolidone (PVP) ปริมาตร 500 ไมโครลิตร จากนั้นนำไป sonicate นาน 15 นาที เพื่อให้เซลล์แตกอย่างสมบูรณ์ และหมุนเหวี่ง 12,000 รอบต่อนาที นาน 15 นาทีเพื่อให้กาเซลล์ตกรดกอน เก็บของเหลวส่วนใสนำไปวัดปริมาณโปรตีนในสารละลายนานาชนิดด้วย Lowry *et al.* (1951) คำนวณความเข้มข้นของโปรตีนโดยเปรียบเทียบกับกราฟโปรตีนมาตรฐาน bovine serum albumin (BSA) (ภาคผนวก ข) และวัดกิจกรรมของเอนไซม์ชนิดต่างๆ ดังนี้

#### 3.1 ATPase

##### 3.1.1 กิจกรรมของเอนไซม์ ATPase ทั้งหมดในเซลล์

การวิเคราะห์กิจกรรมของเอนไซม์ ATPase ตามวิธีของ Mahuren *et al.* (2001) โดยวัดปริมาณไออกอนของฟอสเฟตที่เกิดขึ้นภายหลังการย่อย ATP ของเอนไซม์ในการทดลองใช้สารละลายน้ำ (ชุดที่ 1 คู่ภาคผนวก ข ข้อ 2.1.2) ที่มี 3 mM ATP เป็นซับสเตรต ละลายน 50 mM Tris-HCl buffer pH 6.5 ปริมาตร 50 ไมโครลิตร ทำปฏิกิริยากับ crude enzyme 5 ไมโครลิตร ใน 96-well plate ปั่นที่อุณหภูมิ  $37^{\circ}\text{C}$  เป็นเวลา 30 นาที จึงเติม color reagent (ภาคผนวก ก) 200 ไมโครลิตร วัดค่าการดูดกลืนแสงที่ 660 นาโนเมตร โดยเปรียบเทียบปริมาณกับกราฟของสารละลายนโพแทสเซียมไดไฮโดรเจนฟอสเฟตมาตรฐาน

### 3.1.2 กิจกรรมของเอนไซม์ ATPase แวนิโอล

การวิเคราะห์กิจกรรมของเอนไซม์ ATPase ในแวนิโอลใช้วิธีเดียวกับข้อ 3.1.1 แต่แตกต่างกันที่สารละลายผสม (ชุดที่ 2 คุภาคผนวก ข้อ 2.1.3) จะเพิ่ม 100 mM potassium nitrate ลงในสารละลายด้วย เนื่องจาก potassium nitrate จะไปยับยั้งการทำงานของ ATPase ที่บริเวณผนังเมมเบรนของแวนิโอล (P-ATPase) ดังนั้นมีอิทธิพลของเอนไซม์ที่ได้นี้ไปหักกลบออกจากกิจกรรมของเอนไซม์ ATPase ทั้งหมดในเซลล์จะทำให้ทราบกิจกรรมของเอนไซม์ในแวนิโอล

กำหนดให้ 1 U ของเอนไซม์ ATPase เท่ากับปริมาณของเอนไซม์ ATPase ที่สามารถย่อย ATP และเกิดไออกอนของฟอสเฟต 1 ไมโครโมล ในเวลา 1 นาที

### 3.2 Glucosidase

การวิเคราะห์กิจกรรมของเอนไซม์ glucosidase ตามวิธีของ Lymar *et al.* (1995) โดยวัดปริมาณ *p*-nitrophenol ที่เกิดขึ้นภายหลังการย่อยของเอนไซม์ ในการทดลองใช้ 1 mM *p*-nitrophenyl-2-D-glucopyranoside (PNPG) เป็นซับสเตรต (ภาชนะ ก) ที่ละลายใน 50 mM sodium acetate buffer pH 5 ปริมาตร 200 ไมโครลิตร ทำปฏิกิริยากับ crude enzyme 5 ไมโครลิตร ใน 96-well plate บ่มที่อุณหภูมิ 30 °C เป็นเวลา 10 นาที หยุดปฏิกิริยาด้วย 5 mM Na<sub>2</sub>CO<sub>3</sub> ปริมาตร 50 ไมโครลิตร วัดค่าการดูดกลืนแสงที่ 400 นาโนเมตร ( $\epsilon = 18.3 \text{ mM}^{-1}\text{cm}^{-1}$ )

กำหนดให้ 1 U ของเอนไซม์ glucosidase เท่ากับปริมาณของเอนไซม์ glucosidase ที่สามารถย่อย PNPG ไป 1 ไมโครโมล ในเวลา 1 นาที

### 3.3 Glutathione-S-Transferase (GST)

การวิเคราะห์กิจกรรมของเอนไซม์ GST ตามวิธีของ Bengt and Claes (1981) โดยวัดปริมาณ glutathione (GSH) ที่ลดลง ในการทดลองใช้สารละลายผสมที่มี 1 mM 1-chloro-2, 4-dinitrobenzene (CDNB) เป็นซับสเตรต และ 1 mM GSH (ภาชนะ ก) ที่ละลายใน 50 mM sodium phosphate buffer pH 7 ปริมาตร 200 ไมโครลิตร ทำปฏิกิริยากับ crude enzyme 5

ในโกรลิตร ใน 96-well plate วัดค่าการดูดกลืนแสงที่ 340 นาโนเมตร ( $\epsilon = 9.6 \text{ mM}^{-1} \text{ cm}^{-1}$ ) ที่เวลา 0, 30, 60, 90, 120, 150 และ 180 วินาที

กำหนดให้ 1 U ของเอนไซม์ GST เท่ากับปริมาณของเอนไซม์ GST ที่สามารถย่อย CDBN ไป 1 ไมโครโมล ในเวลา 1 นาที

### 3.4 Peroxidase

การวิเคราะห์กิจกรรมของเอนไซม์ peroxidase ตามวิธีของ Nakano and Asada (1981) โดยวัดปริมาณ  $\text{H}_2\text{O}_2$  ที่ลดลง ในการทดลองใช้สารละลายผสมที่มี guaiacol เป็นชั้บสเตรต และ 1 mM  $\text{H}_2\text{O}_2$  (ภาคผนวก ก) ที่ละลายในบัฟเฟอร์ที่ pH 5, 7 และ 10 (ภาคผนวก ก) ปริมาตร 200 ไมโครลิตร ทำปฏิกิริยากับ crude enzyme 5 ไมโครลิตร ใน 96-well plate วัดค่าการดูดกลืนแสงที่ 436 นาโนเมตร ( $\epsilon = 25.5 \text{ mM}^{-1} \text{ cm}^{-1}$ ) ที่เวลา 0, 30, 60, 90, 120, 150 และ 180 วินาที

กำหนดให้ 1 U ของเอนไซม์ peroxidase เท่ากับปริมาณของเอนไซม์ peroxidase ที่สามารถย่อย guaiacol ไป 1 ไมโครโมล ในเวลา 1 นาที

## 4. การวิเคราะห์น้ำตาลในหม่อนด้วยเทคนิค HPLC

นำตัวอย่างใบและรากหม่อนที่เลือบบนอาหารที่เติมเกลือโซเดียมคลอไรด์ความเข้มข้น 0, 100, 300, 500 และ 600 มิลลิโมลาร์ แต่ละตัวอย่างมีน้ำหนักประมาณ 50 มิลลิกรัม ตกน้ำตาลโดย การบดให้ละเอียดในน้ำ nano pure water (nano pure water) 1 มิลลิลิตร กรองผ่านแมมเบรนขนาด 0.45 ไมโครเมตร จากนั้นจึงนำไปวิเคราะห์ชนิดและปริมาณน้ำตาลด้วยเทคนิค HPLC (Wilson *et al.*, 1982) โดยใช้เครื่อง HPLC ยี่ห้อ Water รุ่น 717 plus Autosampler (Rheodyne injector), Water 600 Controller (Pump model), Water 2414 RID (Refractive index detector) และคอลัมน์ Hypersil APS-2 (5 ไมโครเมตร, 300 x 4.6 มิลลิเมตร) โดยใช้ 85% acetonitrile เป็นส่วนเคลื่อนที่ และมีอัตรา การไหล 0.5 มิลลิลิตรต่อนาที เป็นเวลา 45 นาที

## 5. การตรวจสอบการแสดงออกของยีนในระดับ RNA

การแยกและโคลนยีนจากสิ่งมีชีวิตพากย์คาริโอตโนยมโคลนจาก cDNA เพราะการใช้ genomic DNA ในสิ่งมีชีวิตพากย์คานี้มักมีส่วนอ่อนทร-noncoding มากกว่า การสังเคราะห์ cDNA จาก mRNA โดยปฏิกริยา reverse transcription ซึ่งมีเอนไซม์ reverse transcriptase เป็นตัวเร่ง cDNA ที่ลอกรหัสจาก mRNA ซึ่งเป็นผลผลิตของยีนบางยีนที่มีการแสดงออกในช่วงเวลาขณะนั้น และเป็นส่วนของยีนที่ไม่มีอ่อนทร-noncoding mRNA มีช่วงอายุสั้น จะถูกลายไปได้อย่างรวดเร็วหากมีการปนเปื้อนของเอนไซม์ RNase ปัจมัน mRNA ที่พบในเนื้อเยื่อจะมีน้อยมาก จึงทำให้ cDNA ที่สังเคราะห์ได้นั้นยังมีปริมาณน้อยลง หรืออาจได้ cDNA ไม่ครบตามชนิดของ mRNA ดังนั้นจึงมีการนำเทคนิค PCR มาใช้ในการเพิ่มปริมาณดีเอ็นเอให้มากขึ้น โดยการแยก mRNA จากเนื้อเยื่อของสิ่งมีชีวิตที่ทำการศึกษานั้นเพื่อใช้เป็น template ในการสังเคราะห์ cDNA สายแรก

ความบริสุทธิ์สะอาดของ mRNA เป็นสิ่งสำคัญเนื่องจากเป็นต้นแบบในการสังเคราะห์ cDNA หาก mRNA ที่ได้ไม่บริสุทธิ์จะทำให้ได้ cDNA ที่ไม่บริสุทธิ์ด้วย น้ำที่ใช้ในงาน RNA ต้องเป็นน้ำ deionize โดยใส่ DEPC ลงในน้ำที่กลั่น 2 ครั้ง ส่วนเครื่องแก้วแท่น้ำด้วย 0.5 M NaOH ล้างออกด้วยน้ำ deionize อบให้แห้งที่อุณหภูมิ 160-180 °C เป็นเวลา 4-9 ชั่วโมง อุปกรณ์อื่นที่เป็นพลาสติก เช่นหลอดไมโครเซนทริฟิวส์และทิปใช้รีบิงเดียวทิ้ง ใส่ถุงมือทุกครั้งเพื่อป้องกันการปนเปื้อนและสลายตัวของ RNA

### 5.1 การสกัด RNA

การสกัด RNA ทั้งหมดจากใบหม่อนน้อย (*M. rotundiloba*) โดยใช้ TRIzol reagent เก็บใบหม่อนที่เลี้ยงบนอาหารที่เติมเกลือโซเดียมคลอไรด์ที่ความเข้มข้น 0, 300 และ 500 มิลลิโนลาร์ในเวลาต่างๆ ตัวอย่างละ 100 mg นำมาบดให้ละเอียดในโกร่งโดยใช้ในโตรเจนแหล่งช่วยในการบดจนเป็นผงละเอียด เติม TRIzol reagent ลงไป 1 มิลลิลิตร บ่มที่อุณหภูมิห้อง 5 นาที เพื่อให้สารนิวเคลียโปรตีนแยกตัวออกจาก จากนั้นเติมคลอโรฟอร์ม 0.2 มิลลิลิตร เบี่ยงด้วยมืออย่างแรงประมาณ 15 วินาที บ่มที่อุณหภูมิ 15-30 °C นาน 2-3 นาที นำไปหมุนเหวี่ยงที่ 12,000 g นาน 15 นาทีที่ 4 °C สารผสมจะแยกเป็น 2 ชั้น ชั้นบนสุดเป็นชั้นน้ำที่มี RNA อยู่ ในขณะที่ชั้นล่างเป็นชั้นที่มีสีแดงเป็นชั้นของฟินอล-คลอโรฟอร์ม นำของเหลวชั้นบนที่มี RNA ใส่ในหลอดใหม่เติมโซเดียมฟอฟพาโนล 0.5 มิลลิลิตร บ่มที่อุณหภูมิ -20 °C นาน 1 ชั่วโมง เพื่อให้ RNA ทั้งหมด

ตอกตะกอน จากนั้นแยกตะกอนโดยนำไปหมุนเหวี่งที่ 12,000 รอบต่อนาที นาน 10 นาที ที่อุณหภูมิ 4 °C ล้างตะกอน RNA 2 ครั้งด้วย 75% (ปริมาตรต่อปริมาตร) เอทานอลและหมุนเหวี่งที่ 7,500 รอบต่อนาที นาน 5 นาที ที่อุณหภูมิ 4 °C นำ RNA ที่ล้างแล้ววางผึ้งให้เอทานอลระเหยจนหมดจึงนำไปปลายในน้ำที่ปราศจากไออกอนและบ่มที่อุณหภูมิ 55-60 °C นาน 10 นาทีเพื่อให้ RNA ละลาย จากนั้นจึงตรวจสอบปริมาณและคุณภาพของ RNA ที่สักด้วยเจลในและหากหม่อนน้อยและนำไปสังเคราะห์เป็น cDNA ทันที

### 5.2 การตรวจสอบคุณภาพของ RNA ด้วยเทคนิคของการสเกลอเล็ก tro ไฟรีซิส

เทคนิคของการสเกลอเล็ก tro ไฟรีซิสเป็นเทคนิคที่ใช้แยกและทำให้ DNA หรือ RNA บริสุทธิ์ขึ้น โดยใช้ 1% อะกาโรสผสมกับ MOPS buffer (ดูภาคผนวก) แล้วให้ความร้อนด้วยไมโครเวฟจนองค์การสเกลอเล็ก tro ไฟรีซิสที่มี MOPS buffer อยู่ จากนั้นจึงผสม RNA กับ 6X gel-loading buffer และใส่ลงในช่องหัวชี้ๆ จนครบ เปิดเครื่องโดยใช้ค่าความด่างศักย์ไฟฟ้า 100 โวลต์ 30 นาที และข้อมคัวบอยที่เดี่ยมโนร์ไมค์

### 5.3 การตรวจสอบปริมาณและคุณภาพของ RNA ด้วยเทคนิคสเปกโตไฟโตเมทรี

วัดความเข้มข้นของ RNA ด้วยสเปกโตไฟโตมิเตอร์ที่มีค่าการดูดกลืนแสง 260 นาโนเมตร โดย 1 หน่วยของค่าการดูดกลืนแสงที่ 260 นาโนเมตรเท่ากับ 40 ไมโครกรัมต่อมิลลิลิตร (Sambrook and Russel, 2001) ค่าความเข้มข้นของ RNA ในแต่ละตัวอย่างคำนวณให้อยู่ในรูปไมโครกรัมต่อมิลลิลิตร โดยใช้สมการ

$$[\text{RNA}] = \text{A}260 \times \text{dilution factor} \times 40 \mu\text{g/ml}$$

เมื่อ [RNA] คือความเข้มข้นของ RNA

ตรวจวัดคุณภาพความบริสุทธิ์ของ RNA ที่สักด้วยอัตราส่วนระหว่างค่า A260 / A280 ถ้าอัตราส่วนอยู่ระหว่าง 1.8 และ 2.0 แสดงว่า RNA ที่มีคุณภาพดี

#### 5.4 การตรวจสอบการแสดงออกของยีนโดยใช้เทคนิค RT- PCR

การตรวจสอบระดับการแสดงออกของยีนสามารถทำได้ 2 ระดับคือ ระดับ transcriptional และ ระดับ translation การตรวจสอบการแสดงออกของยีนในระดับ transcriptional สามารถทำได้โดยใช้เทคนิค Northern blot, RNase protection assay, hybridization หรือ RT-PCR

เทคนิค RT-PCR (Reverse transcription polymerase chain reaction) เป็นเทคนิคที่มีความไวสูงมากในการตรวจสอบ mRNA ในปัจจุบันสามารถใช้เทคนิคนี้ในการตรวจและวัดปริมาณระดับของ mRNA หรือความแตกต่างของการแสดงออกของยีนได้จากสารตัวอย่างเพียงเล็กน้อยในระดับ 0.01-0.1 พิโภครัมเมท่านน์ ในขณะที่เทคนิค Northern blot และ RNase protection assay สามารถตรวจสอบวัดได้เมื่อมีปริมาณของ RNA 1-10 และ 0.1-1 พิโภครัมตามลำดับ (Sagerstrom and Sive, 1996) หลักการของเทคนิคคือเปลี่ยน RNA ให้เป็น cDNA ก่อน โดยใช้ oligo(dT) primers และเอนไซม์ reverse transcriptase ซึ่งเรียกว่า reverse transcription เออนไซม์ reverse transcriptase ที่นิยมใช้อยู่ 2 ชนิดคือ Avian myeloblastosis virus (AMV) และ Malony murine leukemia virus (MoMuLV) reverse transcriptases ได้เป็น first-stranded cDNA จากนั้นจึงเพิ่มปริมาณโดยใช้ specific primer และ Tag DNA polymerase

การสังเคราะห์ cDNA สายแรกโดยถอดรหัสจาก total RNA ที่สกัดได้จากใบและรากหม่อนน้อยใช้สำาร์เจรูป Reverse transcription system kit (Promega) ที่มี oligo(dT) 15 primer และ AMV Reverse transcriptase เป็นตัวถอดรหัส ในปฏิกิริยา 20 มิลลิลิตร ประกอบด้วย RNA ทั้งหมด 1 ไมโครกรัม, เออนไซม์ AMV Reverse transcriptase 15 หน่วย, oligo(dT)15 primer 0.5 มิลลิกรัม, MgCl<sub>2</sub> 5 มิลลิโมลาร์, 1x Reverse transcription buffer, dNTP 1 มิลลิโมลาร์และ Recombinant RNasin® ribonuclease inhibitor 1 หน่วยต่อไมโครลิตร ใส่ในหลอดไมโครเซนติฟิวบนาด 1.5 มิลลิลิตร บ่มที่อุณหภูมิ 42 °C นาน 1 ชั่วโมงจึงนำไปห้องร้อนที่ 95 °C นาน 5 นาที เพื่อแยกสายพสมระหว่าง RNA กับ cDNA และหยุดปฏิกิริยาของเอนไซม์ AMV Reverse transcriptase จากนั้นบ่มตัวอย่างในน้ำแข็ง 5 นาที เจือจางสารละลาย cDNA สายแรกให้ครบ 100 มิลลิลิตร ด้วยน้ำกลั่นสองครั้ง (double distilled water) เพื่อใช้เป็นต้นแบบในการทำ PCR หรือเก็บที่ -20 °C จนกว่าจะใช้งาน

## 5.5 ไพรเมอร์สำหรับ PCR amplification of cDNA fragments จากใบหม่อน

### 5.5.1 การออกแบบไพรเมอร์ที่จำเพาะต่อยีนเลกตินในใบหม่อน

ออกแบบไพรเมอร์ที่มีความจำเพาะต่อยีนเลกติน (MLL) จาก cDNA ของยีนเลกติน ในใบหม่อน (Kankamol, 2003) โดยเปรียบเทียบกับยีนเลกติน ในพืชชนิดอื่นที่มีสายพันธุ์ใกล้ชิดกันเพื่อหาบริเวณอนุรักษ์ของยีนเลกติน มีลำดับเบสและขนาดดังในตารางที่ 2

### 5.5.2 การออกแบบไพรเมอร์ที่จำเพาะต่อยีน 26S rRNA

การออกแบบไพรเมอร์ที่จำเพาะต่อยีน 26S rRNA ของ *Morus sp.* ใช้หลักการเดียวกับการออกแบบไพรเมอร์ที่มีความจำเพาะต่อยีนเลกติน เนื่องจากยีน 26S rRNA เป็นยีนที่ไม่มีการเปลี่ยนแปลงระดับการแสดงออกหรือเริขกอิกอย่างว่า housekeeping genes จึงนำมาใช้เป็นเครื่องหมายสำหรับตรวจจับปริมาณของ cDNA ในแต่ละตัวอย่าง โดยออกแบบจากยีน 26S rRNA ของ *M. nigra* (AF479232) ซึ่งเป็น partial sequence มีลำดับเบสและขนาดดังในตารางที่ 2

### 5.5.2 การออกแบบไพรเมอร์สำหรับตรวจสอบยีนที่เกี่ยวข้องกับความเค็ม

โดยออกแบบไพรเมอร์จากยีนที่เกี่ยวข้องกับความเค็มโดยใช้ degenerate primer เพื่อนำมาตรวจสอบการแสดงออกของยีนซึ่งแบ่งเป็นกลุ่มดังนี้ กลุ่มที่ 1 คือยีนที่เกี่ยวข้องกับเอนไซม์ที่ใช้สังเคราะห์น้ำตาล (soluble sugar) ได้แก่ fructose 1,6-bisphosphatase gene (FBP), invertase gene (Inv) และ D-mannitol dehydrogenase gene (ManD) กลุ่มที่ 2 ได้แก่ยีนที่ผลิตโปรตีนในการตอบสนองต่อความเครียด ได้แก่ putative late-embryogenesis-abundant (LEA) gene กลุ่มที่ 3 คือยีนที่เกี่ยวข้องกับเมแทบอลิซึมของโพลีลีน ได้แก่ pyrroline-5-carboxylase synthetase gene (P5CS) มีขนาด และ pyrroline-5-carboxylase reductase gene (P5CR) และกลุ่มที่ 4 ได้แก่ยีนที่เกี่ยวข้องกับเมแทบอลิซึมของโคลีน ได้แก่ betain aldehyde dehydrogenase gene (BADH) โดยไพรเมอร์แต่ละคู่มีลำดับเบสและขนาดของผลิตภัณฑ์ PCR ดังในตารางที่ 2

### 5.6 PCR amplification of cDNA fragments

การเพิ่มปริมาณดีเอ็นเอด้วยเทคนิค PCR ใช้ cDNA สายแรกที่สังเคราะห์จากใบหม่อน เป็นสายต้นแบบ และใช้ไพรเมอร์ ดังในตารางที่ 5 ในปฏิกริยา 10 ไมโครลิตร ประกอบด้วย cDNA สายแรก 10 ไมโครกรัม, dNTPs 10 มิลลิโมลาร์, MgCl<sub>2</sub> 50 มิลลิโมลาร์, 1x ImmoBuffer, primer 10 พิโคโภม และ 1 หน่วย Immolase DNA polymerase ปรับปริมาตรสุดท้ายให้ครบ 10 มิลลิลิตร และ ผสมเบา ๆ ให้เข้ากัน ใช้สภาวะดังนี้ บ่มที่ 95 °ช นาน 7 นาทีเพื่อกระตุนให้ออนไซซ์ม์ทำงาน จากนั้น ทำ denaturing ที่ 94 °ช นาน 30 วินาที, annealing 50 °ช นาน 30 วินาที (สำหรับยีนเลคตินใช้อุณหภูมิ 56 °ช) และ 72 °ช นาน 30 วินาที จำนวน 30 รอบ และสุดท้าย extension ที่ 72 °ช นาน 4 นาที 1 รอบ ตรวจสอบระดับการแสวงของยีนเลคตินในใบหม่อนด้วยเทคนิคagarose gel อิเล็กโทรฟอร์เซต ใน 1.5 % อะกาโรสเจล เปรียบเทียบกับ 100 bp + 1.5 kb DNA plus ladder

ตารางที่ 5 คู่ไพรเมอร์และลำดับเบสที่ใช้ตรวจสอบการแสดงออกของยีนต่างๆ

ชื่อไพรเมอร์	ลำดับเบส	ขนาด (bp)	Tm
			(°ฉ)
M26SF (forward primer)	5'>GACTCAGAACTGGTACGG<3'	250	50
M26SR (reverse primer)	5'>ATAGTAGACAGGGACAGTGG<3'		
MLLF (forward primer)	5'> GACGGTTCATACACCGGAAT <3'	356	56
MLLR (reverse primer)	5'> GTCCAACCAATAGCCGACAC <3'		
FBPF(forward primer)	5'>CAACATYGACTGTGGYGT<3'	375	50
FBPR (reverse primer)	5'> ACCATACTTYCRATGATACT<3'		
InvF (forward primer)	5'>CAAGCATGYCCTCAAAATG<3'	710	50
InvR (reverse primer)	5'>ATTCAAAGAACGCCCTCCATA<3'		
ManDF (forward primer)	5'>GCTCCTYTVYTBTGTGC<3'	462	50
ManDR (reverse primer)	5'>AAAATCAAKCATYTCTTGTG>3'		
LEAF (forward primer)	5'>SAAGRRMYYDYRYSKMGAGA<3'	415	50
LEAR (reverse primer)	5'>SVABGYDBKHWCWYVDDCT<3'		
P5CSF (forward primer)	5'>AAGGCDTGTGHCGSTGTTGG<3'	1,370	50
P5CSR (reverse primer)	5'>TCVGCATGYCCRAGWACAGG<3'		
P5CRF (forward primer)	5'>ATGGWGGRGTDGCWGCWGG<3'	214	50
P5CRR (reverse primer)	5'>GCRGMAACAACDGCAYTHATC<3'		
BADHF (forward primer)	5'>ARCTTGGDGGDAAAAGYCC<3'	715	50
BADHR (reverse primer)	5'>TACCABCCCCATGGTTC<3'		

## ผลและวิจารณ์

### ผล

#### **1. การพัฒนาสูตรอาหารสำหรับเพาะเลี้ยงเนื้อเยื่อหม่อน**

##### **1.1 การเตรียมต้นหม่อนสำหรับทำการทดลอง**

การเพาะเลี้ยงหม่อนน้อยได้ทำการหาสภาวะที่เหมาะสมต่อการเจริญเติบโต ศึกษา กิจกรรมของอนไซม์ น้ำตาลและการแสดงออกระดับ RNA เมื่อยู่ในสภาวะที่มีเกลือโซเดียม คลอไรด์โดยใช้อาหารแข็งสูตร MS ที่มีฮอร์โมน BAP เพาะเลี้ยงในขวดเพาะเลี้ยงเนื้อเยื่อขนาด 120 มิลลิลิตร ขาดละ 2 ตัน เมื่อได้รับฮอร์โมน BAP หม่อนจะมีการแบ่งเซลล์ และแตกยอดมากขึ้น จากนั้นจึงตัดยอดหม่อนแล้วนำมายมาเลี้ยงในอาหารรุ่นสูตร MS ที่ไม่มีฮอร์โมน BAP โดยใช้รุ่นความ เชื้อมขั้น 0.8 % น้ำตาลซูโครส 3 % เมื่อหม่อนมีอายุ 2 สัปดาห์จะสูงประมาณ 2 เซนติเมตร มีใบ 3-5 ใบและเริ่มนีรากเล็กน้อยจึงนำไปใช้ในการทดลองต่อไป

##### **1.2 การหาสภาวะที่เหมาะสมต่อการเจริญเติบโตของหม่อน**

###### **1.2.1 การหาความเชื่อมขั้นของน้ำตาลที่เหมาะสมสำหรับการเจริญของหม่อนโดย เปรียบเทียบการเจริญเติบโตเมื่อใช้น้ำตาลซูโครสกับน้ำตาลทรายในท้องตลาด**

หาความเชื่อมขั้นของน้ำตาลซูโครสในอาหารให้เหมาะสมต่อการเจริญเติบโตของ หม่อน โดยใช้อาหารสูตร MS ที่มีฮอร์โมน BAP 1 มิลลิกรัมต่อลิตร มีรุ่น 0.8 % และมีความเชื่อมขั้น ของน้ำตาลต่างกันไปตามลำดับคือ 1, 2 และ 3 % จากการวัดการเจริญเติบโตจากความสูง จำนวนใบ และจำนวนยอดทุก 3 วัน ดังภาพที่ 9-11 พบว่าที่ความเชื่อมขั้นของน้ำตาล 2 และ 3 % หม่อนมีการ เจริญเติบโตใกล้เคียงกัน เมื่ออายุ 1 เดือนพบว่าหม่อนมีความสูงประมาณ 2.5 เซนติเมตร มีใบ ประมาณ 30 ใบและมียอดประมาณ 6 ยอด เมื่อเปรียบเทียบน้ำตาลที่ใช้ทั้ง 2 ชนิดคือน้ำตาลซูโครส และน้ำตาลทรายในท้องตลาดพบว่าการเจริญเติบโตของหม่อนใกล้เคียงกันทั้งความสูง จำนวนใบ และจำนวนยอด ดังนั้นจึงเลือกใช้น้ำตาลทรายในท้องตลาดที่มีความเชื่อมขั้น 3 % ใช้ในการทดลอง ต่อไป

### 1.2.2 การหาความเข้มข้นของฮอร์โมน BAP ที่เหมาะสมสำหรับการเจริญเติบโตของหม่อน

ตัดยอดหม่อนมาเลี้ยงในอาหารวุ้นสูตร MS ที่มีน้ำตาลซูโครัส 3 % มีวุ้น 0.8 % แต่มีความเข้มข้นของ BAP ต่างกันตามลำดับคือ 0, 0.1, 0.25, 0.5 และ 1.0 มิลลิกรัมต่อลิตร โดยคัดเลือกยอดที่มีขนาดจำนวนใบและความยาวเท่ากันปัจจุบันอาหารที่เตรียมไว้ 5 ขวดbatch 2 ตัน วัดการเจริญเติบโตจากความสูง จำนวนใบและจำนวนยอดทุก 3 วัน ดังภาพที่ 12-14 พบว่าปริมาณฮอร์โมน BAP ที่ทำให้หม่อนแตกยอดได้มากที่สุด 1.0 มิลลิกรัมต่อลิตรซึ่งความสูงของหม่อนจะตั้งที่สุด ในขณะที่ต้นที่ไม่ได้รับฮอร์โมน BAP จะไม่มีการแตกยอดเลย แต่จะเพิ่มความสูงแทน การเจริญเติบโตของหม่อนจะเริ่มคงที่ตั้งแต่วันที่ 20 และจึงนำยอดหม่อนไปเพาะเลี้ยงเพื่อทำการทดลองต่อไปได้

โดยสรุปอาหารวุ้นสูตร MS ที่เหมาะสมในการเพาะเลี้ยงเนื้อเยื่อหม่อน ประกอบด้วยวุ้น 0.8 % น้ำตาลซูโครัส 3 % BAP 1.0 มิลลิกรัมต่อลิตร ในสภาวะที่มีแสง 16 ชั่วโมง ( $150 \mu\text{mol m}^{-2} \text{s}^{-1}$ ) อุณหภูมิ 25 °C ความชื้น 70-80 % นาน 20 วัน สามารถนำยอดหม่อนไปเพาะเลี้ยง เพื่อทำการทดลองการตอบสนองต่อความเครียด การหาความเข้มข้นของวุ้นที่เหมาะสมนั้น ได้ทำการทดลองเตรียมอาหารวุ้นที่มีปริมาณวุ้น 0.8, 1 และ 1.5 % พบร่วมกับปริมาณวุ้น 0.8 % อาหารมีลักษณะที่เหมาะสมไม่อ่อนหรือแข็งจนเกินไป ส่วนปริมาณวุ้น 1 และ 1.5 % นั้นอาหารแข็งเกินไป และอาจมีผลต่อการเจริญเติบโตของหม่อนได้ ดังนั้นจึงเลือกใช้วุ้น 0.8 % ในการทดลองต่อไป

## 2. การตอบสนองความเครียดจากเกลือของหม่อน

### 2.1 การเตรียมต้นหม่อนสำหรับปลูกในสภาพที่มีเกลือความเข้มข้นต่างๆ กัน

เมื่อต้นหม่อนที่เลี้ยงในอาหารวุ้นสูตร MS ที่มีน้ำตาลซูโครส 3 % วุ้น 0.8 % และ BAP 1.0 มิลลิกรัมต่อลิตร มีอายุ 20 วันขึ้นมาปลูกในขวดใหญ่ขนาด 240 มิลลิลิตร ที่มีเวอร์มิคูล่าイト์ ปลอกด้วยเป็นวัสดุค้ำจุนหนัก 10 กรัม ผสมอยู่ขวดละ 2 ต้นใช้เวลาประมาณ 2 สัปดาห์ต้นหม่อนสูงประมาณ 2-3 เซนติเมตร มีรากและใบประมาณ 3-5 ใบ ตัดเลือกต้นที่มีขนาดความสูงและจำนวนใบเท่าๆ กัน ข้ายามาเลี้ยงในอาหารสูตรเดิมแต่ไม่เติมน้ำตาลก่อน 1 สัปดาห์ เพื่อให้ต้นหม่อนปรับสภาพให้คุ้นเคยกับสภาพแวดล้อมก่อนทำการทดลองในอาหารที่มีเกลือ (ไม่เติมน้ำตาล) พบว่าเมื่อเลี้ยงหม่อนในอาหารเหลวผสมกับวัสดุค้ำจุน ต้นหม่อนจะมีการเจริญเติบโตและมีรากเพิ่มขึ้นมากกว่าต้นหม่อนที่เลี้ยงในอาหารวุ้น เนื่องจากวัสดุค้ำจุนจะมีความโปร่งคลายคินมากกว่าอาหารวุ้น จึงทำให้รากหม่อนสามารถดูดซึมน้ำได้ดีกว่า

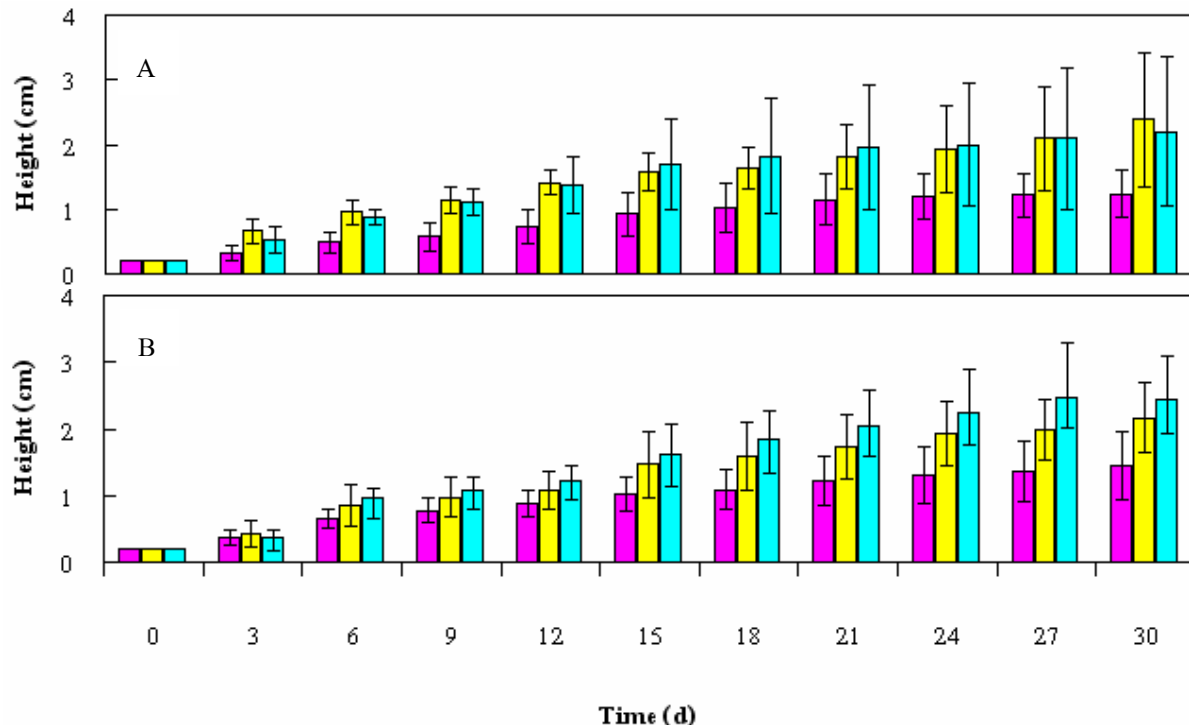
### 2.2 การหาระยะเวลาและลักษณะทางกายภาพของหม่อนเมื่อได้รับความเครียดจากเกลือ

ศึกษาลักษณะทางกายภาพของหม่อนในสภาวะที่มีเกลือความเข้มข้นต่างๆ ก่อนจะทำการทดลอง พบว่าหม่อนสามารถทนอยู่ในอาหารที่มีเกลือความเข้มข้น 600 มิลลิโมลาร์ได้ประมาณ 7 วัน โดยหม่อนจะเริ่มแสดงอาการเหี่ยวนิ่วในช่วง 7-12 ของขวดที่มีความเข้มข้นเกลือ 600 มิลลิโมลาร์และจะมีอาการเหี่ยวงเรื่อยๆ ในเริ่มซีดและมีจุดสีขาวแบบข้าม้าในวันที่ 3 และกระจายไปทั่วใบในวันที่ 7 ส่วนขวดที่มีความเข้มข้นเกลือ 300 และ 500 มิลลิโมลาร์จะเริ่มสังเกตเห็นอาการเหี่ยวนี้ต่อไป 1 วัน และในเริ่มมีสีขาวซีดในวันที่ 5 ส่วนต้นที่มีความเข้มข้น 100 มิลลิโมลาร์เริ่มเห็นอาการเหี่ยวนี้ต่อไปในวันที่ 7

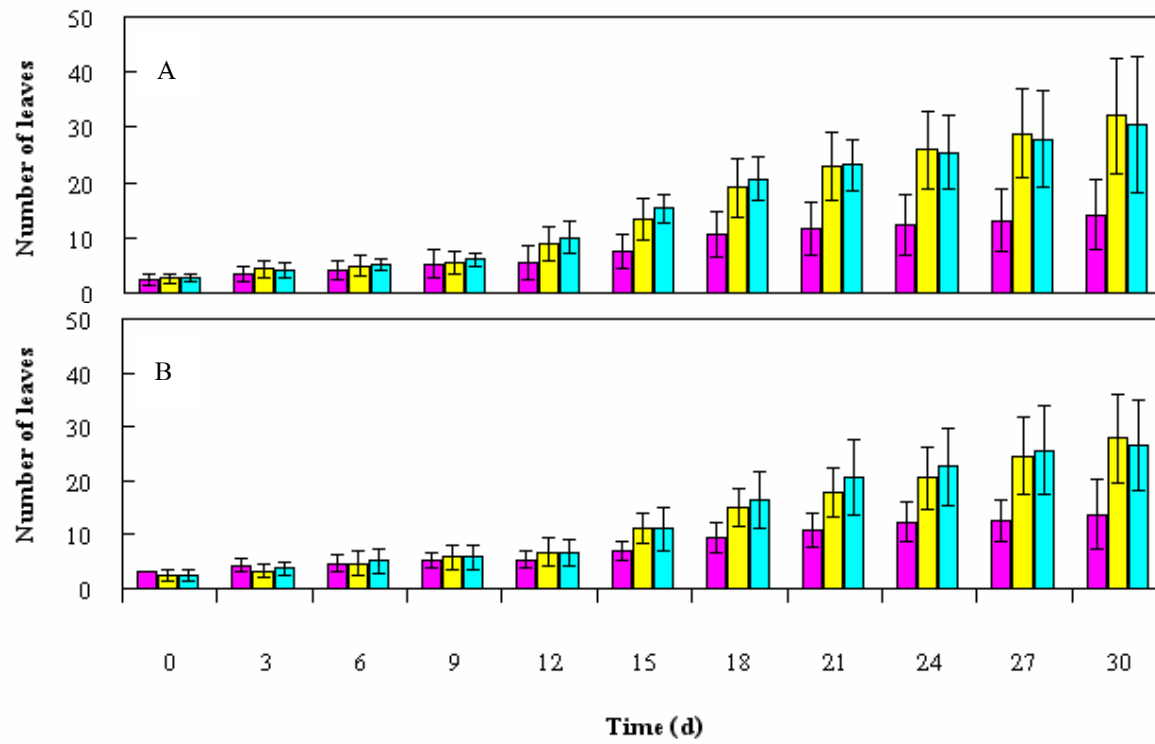
### 2.3 การเตรียมตัวอย่างหม่อนเพื่อศึกษาภัยการตอบสนองต่อความเครียดจากเกลือ

หลังจากปรับสภาพแวดล้อมต้นหม่อนครบ 1 สัปดาห์จึงข้ายามาปลูกในอาหารที่มีเกลือความเข้มข้น 0, 100, 300, 500 และ 600 มิลลิโมลาร์ ทั้งหมด 5 ชุดความเข้มข้น ความเข้มข้นละ 2 ขวด ขวดละ 2 ต้น โดยเก็บตัวอย่างในและรากหม่อนในแต่ละชุดความเข้มข้นชุดละ 3 ขวดต่อ 1 เวลา เมื่อเวลาผ่านไป 0, 1, 3, 6, 12, 24, 72, 120 และ 168 ชั่วโมง รวม 9 ครั้ง และเก็บเพิ่มที่เวลา 0.5

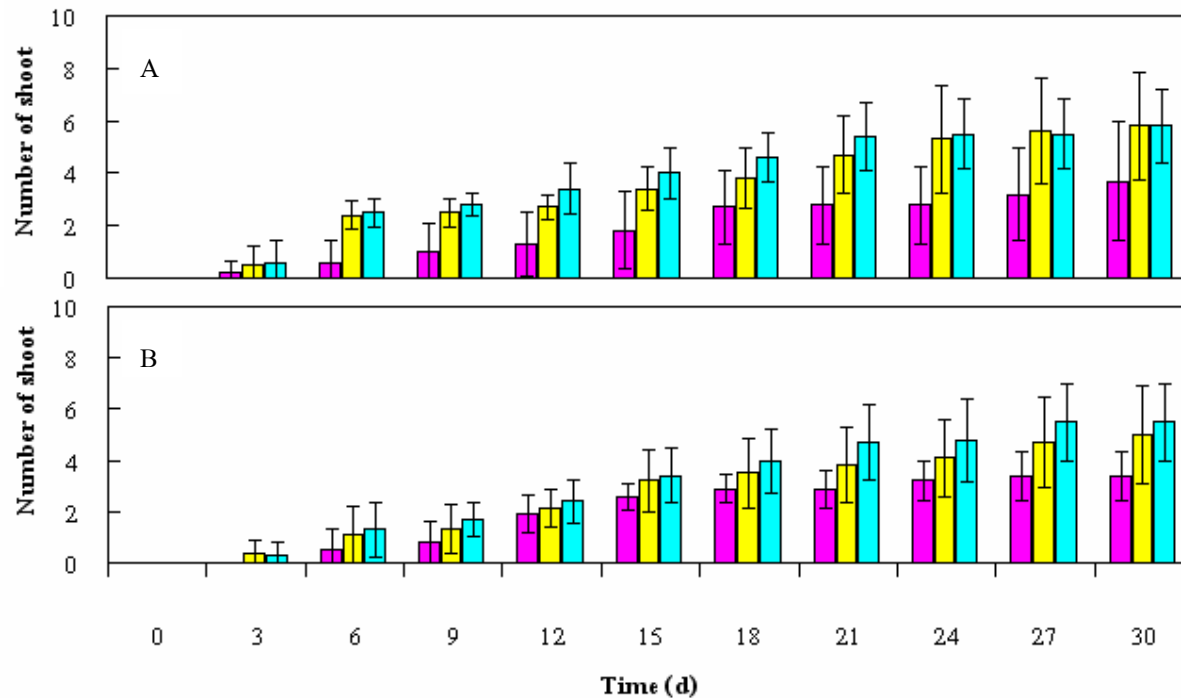
ชั่วโมงสำหรับใช้ในการสกัด RNA นำตัวอย่างใบและรากหม่อนสำหรับสกัดเอนไซม์และ RNA ล้างน้ำกลั่นให้สะอาดและซับให้แห้งใส่ในหลอดไม้ไครเซนติฟิวส์ขนาด 1.5 มิลลิลิตร แช่ในโตรเจนเหลวและเก็บที่ -70 °C ทันที โดยตัวอย่างที่นำไปสกัด RNA ให้เติม 2 % SDS ลงไป ก่อนที่จะแช่ในโตรเจนเหลว ในช่วงวันแรกที่เก็บตัวอย่างพบว่าต้นหม่อนที่อยู่ในสภาพที่มีเกลือ ต้นหม่อนจะอ่อนและเหี่ยวเล็กน้อย เนื่องจากขาดน้ำและยังปรับตัวกับความเค็มไม่ได้ แต่หลังจาก น้ำจืดถึงวันที่ 7 ต้นหม่อนจะเริ่มแข็งขึ้นแต่ยังมีอาการเหี่ยวตามความเข้มข้นของเกลือสูงก็จะยิ่งเหี่ยวมาก ตั้งภาพที่ 15



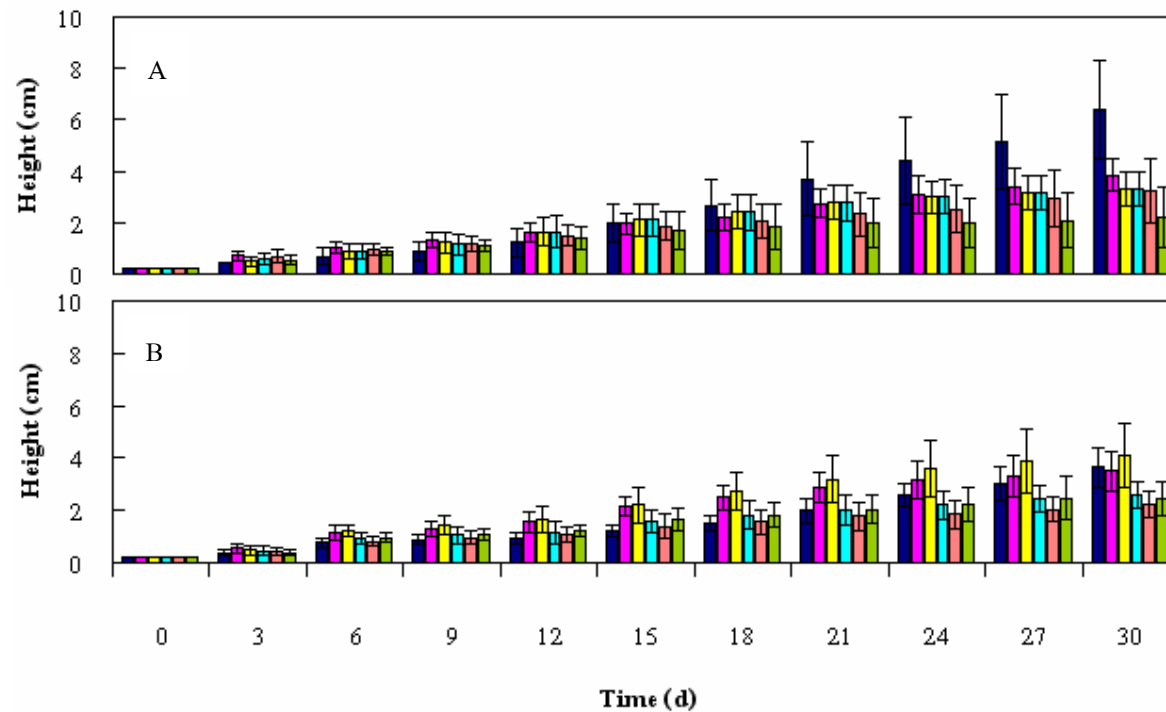
ภาพที่ 9 ผลของปริมาณน้ำตาลชูโปรดี (A) และน้ำตาลที่ห้องมิตรผล (B) ต่อความสูงของต้นหม่อนในเวลา 1 เดือน เมื่อน้ำตาล 1 % (■), น้ำตาล 2 % (□) และน้ำตาล 3 % (▨)



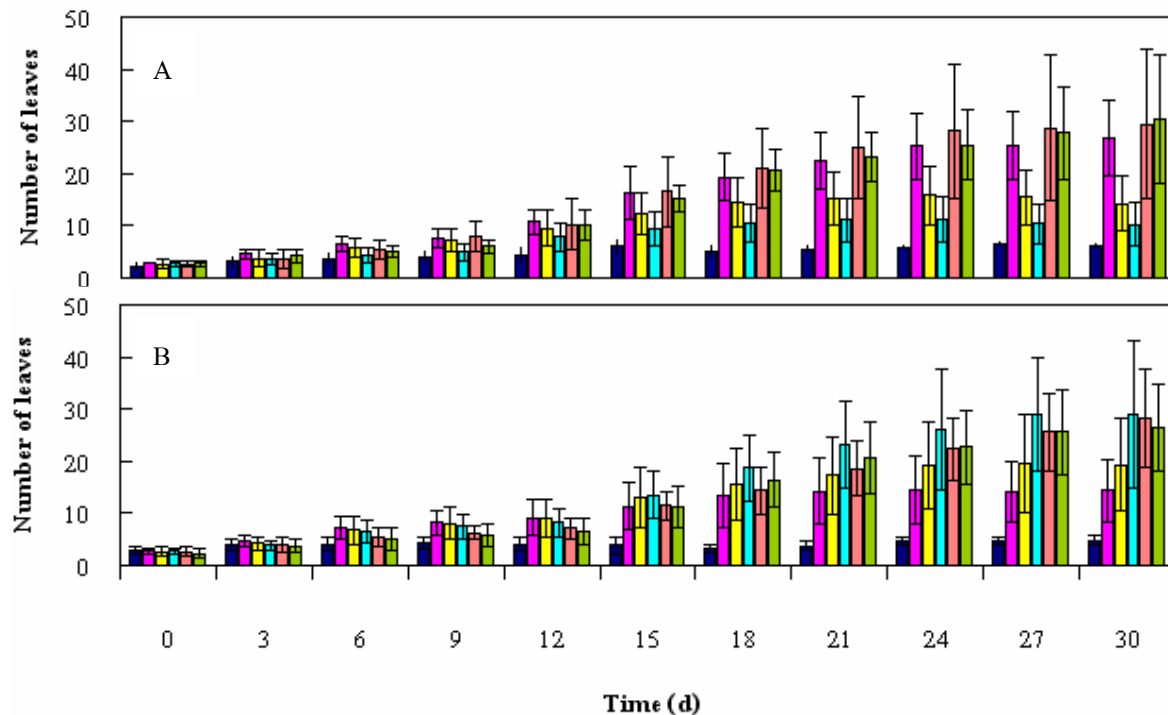
ภาพที่ 10 ผลของปริมาณน้ำตาลชูโคครส (A) และน้ำตาลเยี่ยห้อมิตรผล (B) ต่อจำนวนใบของต้นหม่อนในเวลา 1 เดือน เมื่อน้ำตาล 1 % (■), น้ำตาล 2 % (□) และน้ำตาล 3 % (□)



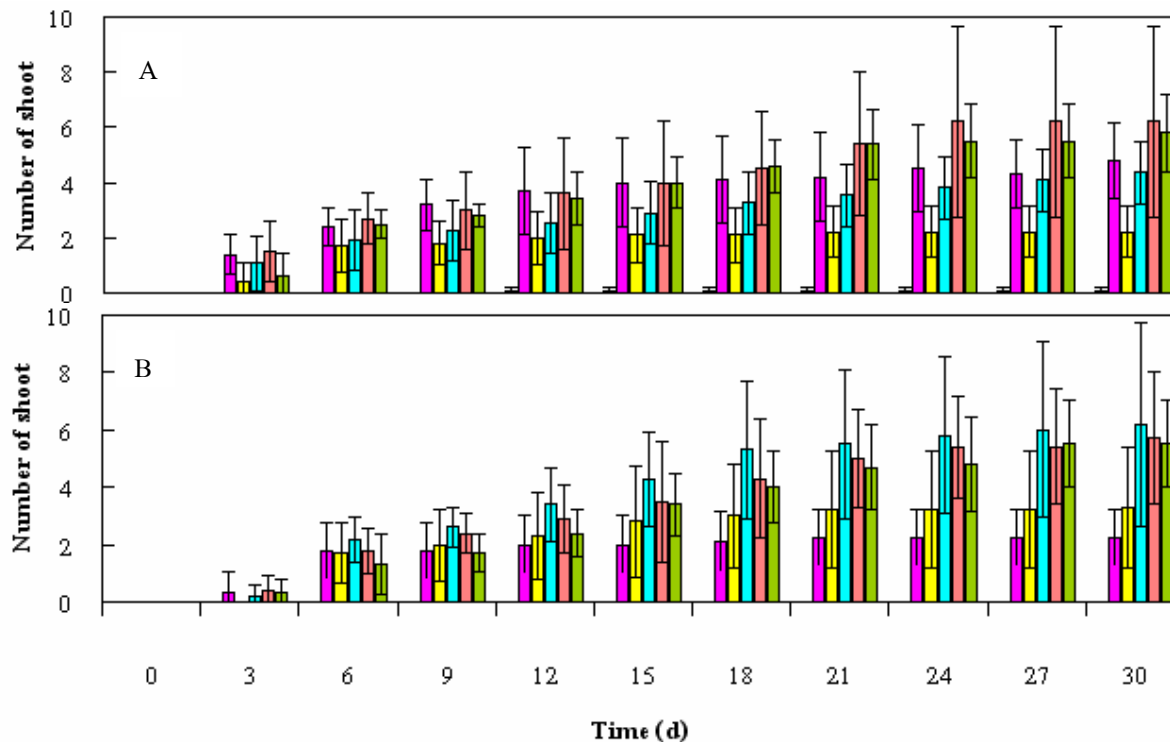
ภาพที่ 11 ผลของปริมาณน้ำตากซูโคครส (A) และน้ำตากเยื่อห้องมิตรผล (B) ต่อจำนวนยอดของต้นหม่อนในเวลา 1 เดือน เมื่อน้ำตาก 1 % (■), น้ำตาก 2 % (□) และน้ำตาก 3 % (□)



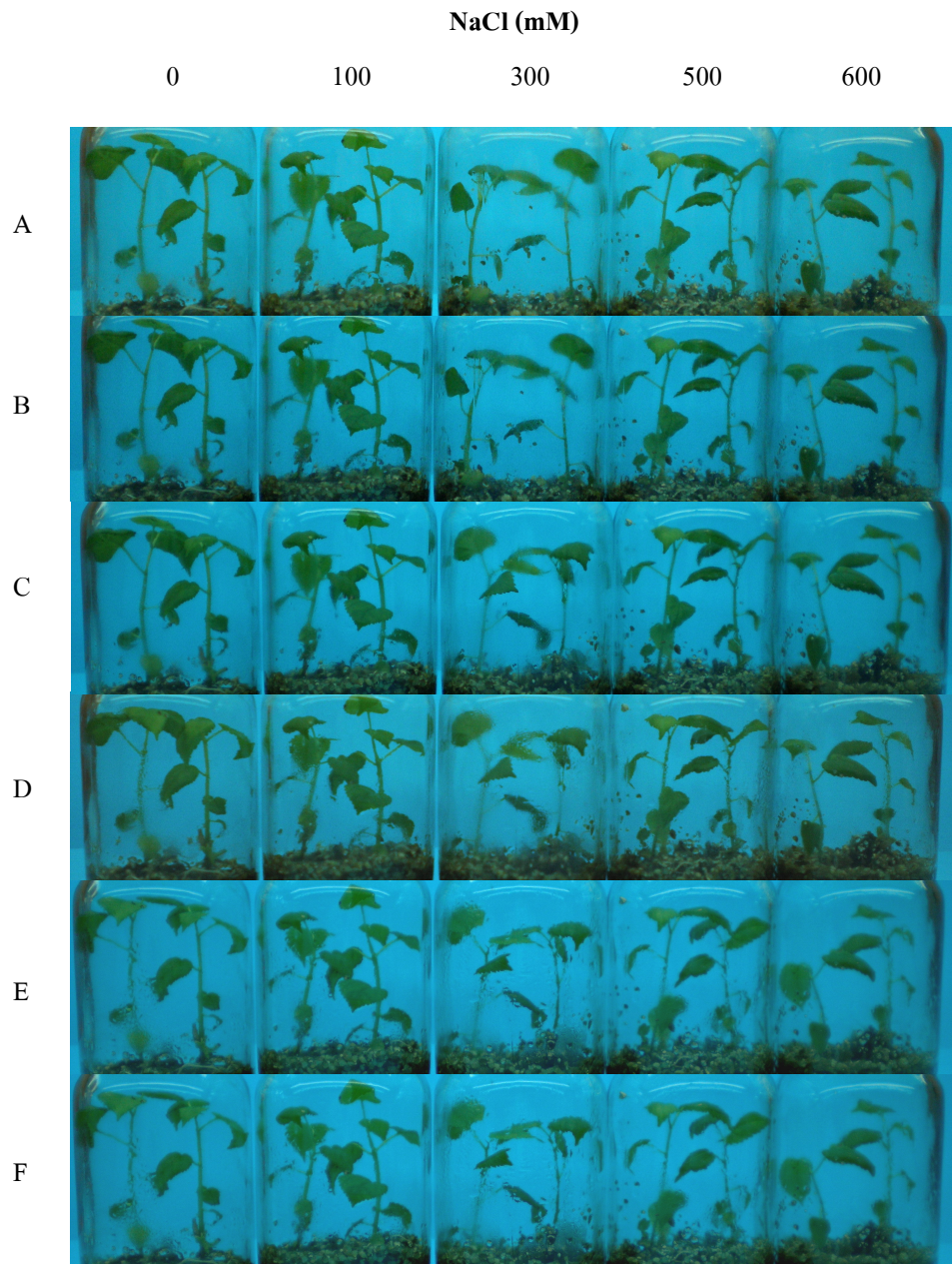
ภาพที่ 12 ผลของปริมาณ BAP ในอาหารที่ใช้น้ำตาลซูโครัส (A) และนำตาลท้องตลาดยี่ห้อมิตรผล (B) ต่อความสูงของต้นหม่อนในเวลา 1 เดือน เมื่อ BAP 0 mg/l (■), BAP 0.1 mg/l (■), BAP 0.25 mg/l (■), BAP 0.5 mg/l (■), BAP 0.75 mg/l (■) และ BAP 1.0 mg/l (■)



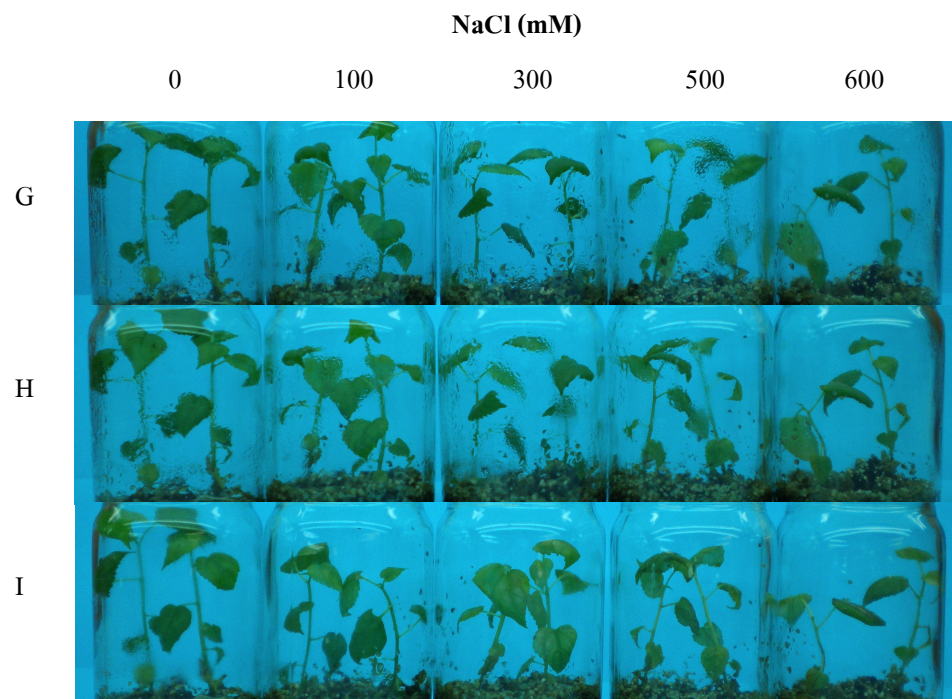
ภาพที่ 13 ผลของปริมาณ BAP ในอาหารที่ใช้น้ำตาลซูโครส (A) และน้ำตาลท้อกตาดีที่ห้อมิตรผล (B) ต่อจำนวนใบของต้นหม่อนในเวลา 1 เดือน เมื่อ BAP 0 mg/l (■), BAP 0.1 mg/l (■), BAP 0.25 mg/l (■), BAP 0.5 mg/l (■), BAP 0.75 mg/l (■) และ BAP 1.0 mg/l (■)



ภาพที่ 14 ผลของปริมาณ BAP ในอาหารที่ใช้น้ำดาลซูโครัส (A) และน้ำตาลท้องตลาดชีห์ห้อมิตรผล (B) ต่อจำนวนยอดของต้นหม่อนในเวลา 1 เดือน เมื่อ BAP 0 mg/l (■), BAP 0.1 mg/l (■), BAP 0.25 mg/l (■), BAP 0.5 mg/l (■), BAP 0.75 mg/l (■) และ BAP 1.0 mg/l (■)



**ภาพที่ 15** ลักษณะทางกายภาพของต้นหม่อนหลังขยายลงปฐกในอาหารที่มีความเข้มข้นของเกลือโซเดียมคลอไรด์ 0, 100, 300, 500 และ 600 mM ที่เวลาต่างๆ ดังนี้ 0 (A), 1 (B), 3 (C), 6 (D), 12 (E), 24 (F), 72 (G), 120 (H) และ 168 (I) ชั่วโมง



ภาพที่ 15 (ต่อ)

### 3. การตรวจสอบกิจกรรมของเอนไซม์ที่เกี่ยวข้องกับความเครียดของหม่อนในสภาวะที่มีเกลือ

#### 3.1 ATPase

จากการวัดกิจกรรมของเอนไซม์ ATPase ที่สักด้ากใบและรากของหม่อนโดยวัดกิจกรรมของเอนไซม์ ATPase ในเซลล์และ ATPase ในแวกิวโอลของหม่อนที่ได้รับความเครียดจากเกลือโซเดียมคลอไรด์ความเข้มข้น 0, 100, 300, 500 และ 600 มิลลิโมลาร์ ที่เวลาต่างๆ พบว่า กิจกรรมของเอนไซม์ ATPase ทั้งหมดในเซลล์ที่บวบเร燔ในและรากหม่อนดังภาพที่ 16 ชุดควบคุมมี กิจกรรมของเอนไซม์ ATPase น้อยมาก และเมื่อได้รับความเครียดจากเกลือที่ความเข้มข้น 100 มิลลิโมลาร์ กิจกรรมของเอนไซม์ยังคงที่ไม่เปลี่ยนแปลงทั้งในใบและราก แต่เมื่อเพิ่มความเข้มข้น ของเกลือเป็น 300 มิลลิโมลาร์ พบร่วมกิจกรรมของเอนไซม์ในรากกลับเพิ่มสูงขึ้น ขณะที่ใบมี กิจกรรมของเอนไซม์สูงขึ้นเพียงเล็กน้อย ในช่วงวันแรก และเมื่อเพิ่มความเข้มข้นของเกลือเป็น 500 มิลลิโมลาร์ พบร่วมกิจกรรมของเอนไซม์ทั้งในใบและรากต่างเพิ่มขึ้นอย่างชัดเจน (3.5 และ 5.5 เท่า ตามลำดับ) และมากที่สุดในรากวันที่ 7 โดยในรากยังคงมีกิจกรรมของเอนไซม์สูงกว่าในใบ ส่วนที่ ความเข้มข้นเกลือ 600 มิลลิโมลาร์ พบร่วมกิจกรรมของเอนไซม์ลดต่ำอย่างชัดเจนโดยกิจกรรมของเอนไซม์ในใบลดลงต่ำกว่าชุดควบคุมเล็กน้อย ส่วนในรากกิจกรรมของเอนไซม์ลดต่ำลงเช่นกันแต่ ยังคงสูงกว่ากิจกรรมของเอนไซม์ในชุดควบคุม

ส่วนเอนไซม์ ATPase ในแวกิวโอล ดังภาพที่ 17 มีกิจกรรมน้อยมากทั้งในใบและราก หม่อนเมื่อเทียบกับกิจกรรมของเอนไซม์ ATPase ทั้งหมดในเซลล์ โดยในรากชุดควบคุมมีกิจกรรมของเอนไซม์ ATPase ในแวกิวโอลน้อยกว่าในเซลล์ทั้งหมดประมาณ 2 เท่า โดยกิจกรรมของเอนไซม์ในรากที่ได้รับความเข้มข้นเกลือ 500 มิลลิโมลาร์ มีกิจกรรมสูงกว่ากิจกรรมในชุดควบคุม 3 เท่า ในขณะที่ความเข้มข้นเกลือ 300 และ 600 มิลลิโมลาร์ พบร่วมกิจกรรมของเอนไซม์สูงขึ้น 2 เท่า ส่วนที่ความเข้มข้น 100 มิลลิโมลาร์ กิจกรรมของเอนไซม์กลับลง 0.5 เท่า

#### 3.2 Glucosidase

จากการทดลองวัดกิจกรรมของเอนไซม์ glucosidase ที่สักด้ากใบและรากของหม่อน เมื่อได้รับความเครียดจากเกลือโซเดียมคลอไรด์ความเข้มข้น 0, 100, 300, 500 และ 600 มิลลิโมลาร์ ที่เวลาต่างๆ พบว่าเอนไซม์ glucosidase ดังภาพที่ 18 ในรากพบกิจกรรมของเอนไซม์น้อยมากและ

ไม่แตกต่างจากกิจกรรมในชุดควบคุมเลย ในขณะที่กิจกรรมของเอนไซม์ glucosidase ในใบเมื่อได้รับความเครียดจากเกลือความเข้มข้น 100 มิลลิโมลาร์ ในช่วง 3 วันแรกกิจกรรมของเอนไซม์เท่ากับชุดควบคุม แต่หลังจากวันที่ 3 เป็นต้นไปกิจกรรมของเอนไซม์เริ่มเพิ่มสูงขึ้นเล็กน้อย และเมื่อเพิ่มความเข้มข้นเกลือเป็น 300 มิลลิโมลาร์ พบว่ากิจกรรมของเอนไซม์เพิ่มสูงขึ้นอย่างชัดเจน (ประมาณ 2.5-4 เท่า) เมื่อเทียบกับชุดควบคุมและมีกิจกรรมสูงที่สุดในวันที่ 1 ในขณะที่เพิ่มความเข้มข้นของเกลือเป็น 500 มิลลิโมลาร์ พบว่าในช่วง 12 ชั่วโมงแรกกิจกรรมของเอนไซม์ใกล้เคียงกับกิจกรรมของเอนไซม์ในใบเมื่อได้รับความเข้มข้นของเกลือ 300 มิลลิโมลาร์ แต่หลังจากนั้น กิจกรรมของเอนไซม์กลับลดลงแต่ยังสูงกว่ากิจกรรมของเอนไซม์ในชุดควบคุมประมาณ 3 เท่า ส่วนในใบที่ได้รับความเข้มข้นของเกลือ 600 มิลลิโมลาร์ พบว่ามีกิจกรรมของเอนไซม์ลดต่ำลงและน้อยกว่ากิจกรรมของเอนไซม์ในชุดควบคุม

### 3.3 Glutathione-S-Transferase (GST)

จากการทดลองวัดกิจกรรมของเอนไซม์ GST ที่สักด้ากในและراكของหน่อน เมื่อได้รับความเครียดจากเกลือโซเดียมคลอไรด์ความเข้มข้น 0, 100, 300, 500 และ 600 มิลลิโมลาร์ ที่เวลาต่างๆ พบว่าเอนไซม์ GST มีกิจกรรมเพิ่มสูงขึ้นทึ้งในใบและراكดังภาพที่ 19 โดยในใบเมื่อได้รับความเครียดจากเกลือความเข้มข้น 100 มิลลิโมลาร์ กิจกรรมของเอนไซม์เท่ากับชุดควบคุม แต่เมื่อเพิ่มความเข้มข้นของเกลือเป็น 300 มิลลิโมลาร์ พบว่ากิจกรรมของเอนไซม์เพิ่มสูงขึ้น 4 เท่าเมื่อเทียบกับชุดควบคุม และมีกิจกรรมสูงที่สุดในวันที่ 7 เมื่อเพิ่มความเข้มข้นเกลือเป็น 500 มิลลิโมลาร์ พบว่ากิจกรรมของเอนไซม์เพิ่มสูงกว่าในชุดควบคุมแต่ต่ำกว่ากิจกรรมของเอนไซม์ในใบที่ได้รับความเข้มข้นของเกลือ 300 มิลลิโมลาร์ ในขณะที่ความเข้มข้น 600 มิลลิโมลาร์ กิจกรรมของเอนไซม์ลดต่ำกว่าชุดควบคุม

ส่วนกิจกรรมของเอนไซม์ GST ในراكเมื่อได้รับเกลือความเข้มข้น 100 มิลลิโมลาร์ กิจกรรมของเอนไซม์เท่ากับชุดควบคุม แต่เมื่อเพิ่มความเข้มข้นเกลือเป็น 300 มิลลิโมลาร์ พบว่า กิจกรรมของเอนไซม์เพิ่มสูงที่สุดในชั่วโมงที่ 3 และลดต่ำลงแต่ยังคงมีกิจกรรมสูงกว่าในชุดควบคุมมาก (3.7 เท่า) ในขณะที่เพิ่มความเข้มข้นเกลือเป็น 500 มิลลิโมลาร์ พบว่ามีกิจกรรมของเอนไซม์ (3.2 เท่า) ใกล้เคียงกับกิจกรรมของเอนไซม์ที่ความเข้มข้น 300 มิลลิโมลาร์ ส่วนที่ความเข้มข้นเกลือ 600 มิลลิโมลาร์ พบว่ากิจกรรมของเอนไซม์ลดต่ำกว่าชุดควบคุมในช่วงวันแรก แต่หลังจากนั้น กิจกรรมของเอนไซม์จะค่อยๆ เพิ่มขึ้นจนถึงวันที่ 7

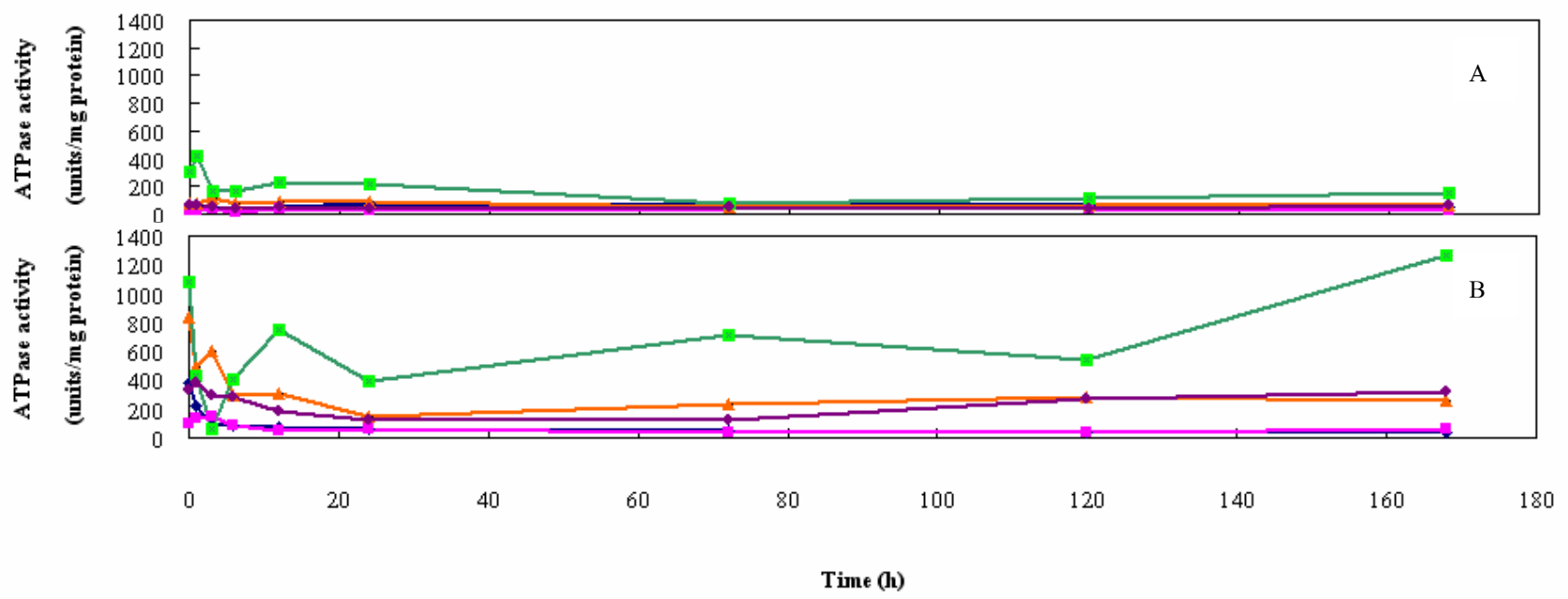
### 3.4 Peroxidase

จากการทดลองวัดกิจกรรมของเอนไซม์ peroxidase ในสภาพที่เป็นกรด (acidic peroxidase, pH 5) กลาง (neutral peroxidase, pH 7) และต่าง (basidic peroxidase, pH 10) ที่สักดิจากใบและรากของหม่อน เมื่อได้รับความเครียดจากเกลือโซเดียมคลอไรด์ความเข้มข้น 0, 100, 300, 500 และ 600 มิลลิโมลาร์ ที่เวลาต่างๆ โดยคาดว่าเอนไซม์ acidic peroxidase, neutral peroxidase และ basidic peroxidase จะเป็นเอนไซม์ที่อยู่บริเวณแนวคิวโอล, ไซโตพลาสซึม และเยื่อหุ้มเซลล์ตามลำดับ จากการทดลองพบว่ากิจกรรมของเอนไซม์ acidic peroxidase ในใบดังภาพที่ 20 (A) เมื่อได้รับเกลือเข้มข้น 100 มิลลิโมลาร์ กิจกรรมของเอนไซม์เพิ่มสูงขึ้นมากกว่าในชุดควบคุม (1.4 เท่า) โดยจะเพิ่มขึ้นในช่วงหลังจากวันที่ 1 เป็นต้นไป เมื่อเพิ่มความเข้มข้นเกลือเป็น 300 และ 500 มิลลิโมลาร์ พบร่วางกิจกรรมของเอนไซม์เพิ่มสูงขึ้นอีกและสูงกว่ากิจกรรมของเอนไซม์ในต้นที่ได้รับความเข้มข้นเกลือ 100 มิลลิโมลาร์ 2.4 และ 1.7 เท่าตามลำดับ ในขณะที่กิจกรรมของเอนไซม์ที่ความเข้มข้นเกลือ 600 มิลลิโมลาร์ ลดลงต่ำกว่าในชุดควบคุม ส่วนกิจกรรมของเอนไซม์ acidic peroxidase ในรากภาพที่ 20 (B) เมื่อได้รับเกลือเข้มข้น 100 และ 600 มิลลิโมลาร์ มีกิจกรรมใกล้เคียงกับชุดควบคุม ในขณะที่เพิ่มความเข้มข้นเกลือเป็น 300 มิลลิโมลาร์ กิจกรรมของเอนไซม์สูงกว่าในชุดควบคุม 3.4 เท่า ส่วนที่ความเข้มข้นเกลือ 500 มิลลิโมลาร์ พบร่วางกิจกรรมของเอนไซม์เพิ่มสูงขึ้น 3.5 เท่า โดยจะเพิ่มขึ้นในช่วงวันแรกแล้วจะค่อยๆ ลดลงจนเท่ากับชุดควบคุมในวันที่ 3 เป็นต้นไป

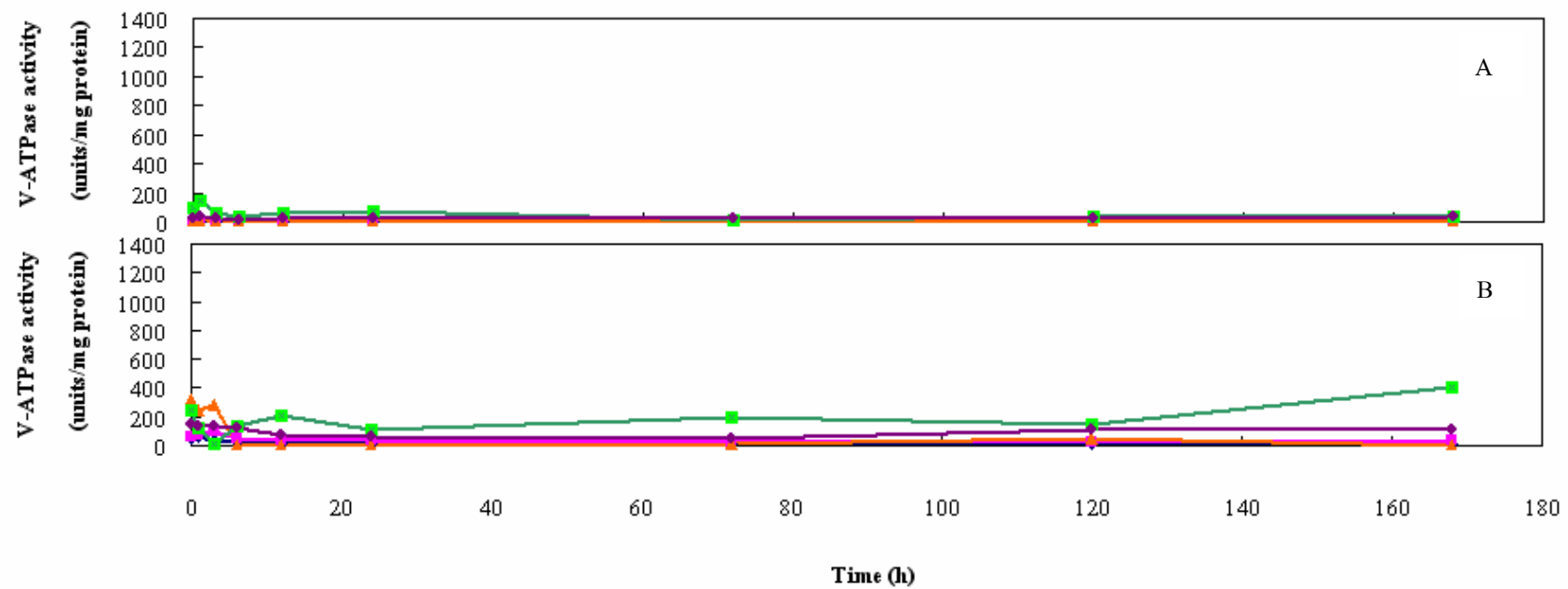
ในสภาพที่เป็นกลางพบว่ากิจกรรมของเอนไซม์ neutral peroxidase ที่ใบมีกิจกรรมสูงที่สุดเมื่อเทียบกับกิจกรรมของเอนไซม์ในสภาพที่เป็นกรดและต่าง โดยกิจกรรมของเอนไซม์ neutral peroxidase ที่ใบภาพที่ 21 (A) เมื่อได้รับเกลือเข้มข้น 100 และ 600 มิลลิโมลาร์ มีกิจกรรมใกล้เคียงกับชุดควบคุม ในขณะที่เมื่อได้รับความเครียดจากเกลือเข้มข้น 300 มิลลิโมลาร์ พบกิจกรรมของเอนไซม์เพิ่มสูงขึ้น 3.6 เท่า และสูงสุดในช่วงวันที่ 3 แต่หลังจากนั้นกิจกรรมของเอนไซม์จะค่อยๆ ลดลง ส่วนที่ความเข้มข้นเกลือ 500 มิลลิโมลาร์ พบร่วางกิจกรรมของเอนไซม์เพิ่มสูงขึ้นกว่าชุดควบคุม 3.5 เท่า โดยมีกิจกรรมสูงที่สุดในวันที่ 1 ส่วนกิจกรรมของเอนไซม์ neutral peroxidase ที่รากดังภาพที่ 21 (B) พบร่วางกิจกรรมของเอนไซม์น้อยกว่าที่ใบ แต่ให้ผลการทดลองที่คล้ายคลึงกันคือเมื่อได้รับเกลือเข้มข้น 100 และ 600 มิลลิโมลาร์ กิจกรรมของเอนไซม์ใกล้เคียงกับชุดควบคุม ในขณะที่เมื่อได้รับความเครียดจากเกลือเข้มข้น 300 และ 500 มิลลิโมลาร์ กิจกรรมของเอนไซม์เพิ่มสูงขึ้นกว่าชุดควบคุม ส่วนกิจกรรมของเอนไซม์ basidic peroxidase มีกิจกรรมน้อย

ที่สุดเมื่อเทียบกับกิจกรรมของเอนไซม์ peroxidase ในสภาวะอื่น โดยเมื่อหม่อ่น ได้รับความเครียดจากเกลือที่ความเข้มข้นต่างๆ พบว่ากิจกรรมของเอนไซม์ไม่แตกต่างจากชุดความคุณเลขทั้งในใน และراك ดังภาพที่ 22

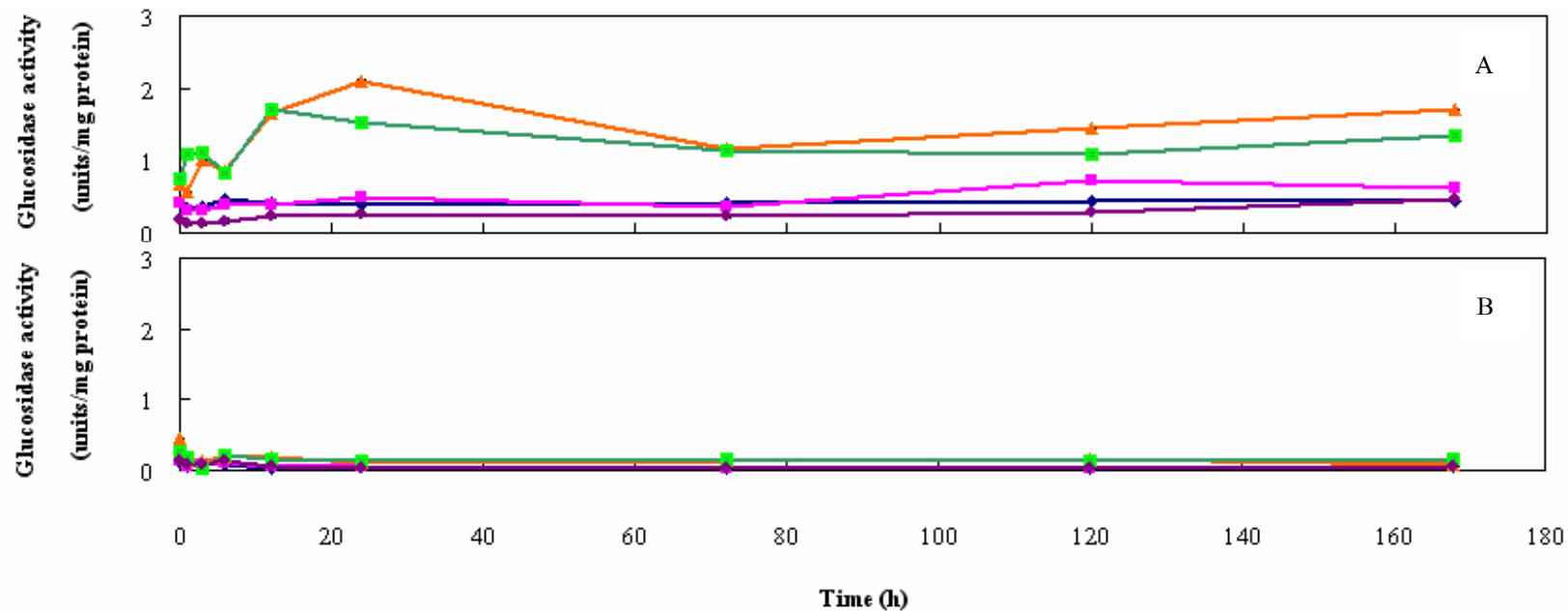
ผลการศึกษากลไกการตอบสนองต่อความเค็มของหม่อนน้อยโดยการวัดกิจกรรมของเอนไซม์ในใบและรากของหม่อนน้อยในสภาวะเครียดจากเกลือ โซเดียมคลอไรด์ ที่ความเข้มข้นต่างๆ (0, 100, 300, 500 และ 600 มิลลิโมลาร์) เป็นเวลา 7 วัน พบว่ากิจกรรมของเอนไซม์ ATPase, glucosidase, glutathione-S-transferase และ peroxidase ในใบและรากของหม่อนน้อยมีการตอบสนองต่อสภาวะความเข้มข้นของเกลือที่สูงขึ้น โดยในใบและรากหม่อนมีกิจกรรมของเอนไซม์ทุกชนิดสูงขึ้นที่ความเข้มข้นของเกลือ 300 และ 500 มิลลิโมลาร์ ขณะที่กิจกรรมของเอนไซม์ที่ความเข้มข้นของเกลือ 100 และ 600 มิลลิโมลาร์ ไม่ต่างจากชุดความคุณเลข นอกจากนี้ พบว่าในใบมีกิจกรรมของเอนไซม์ peroxidase และ glucosidase สูงกว่าในราก ในขณะที่พบว่า กิจกรรมของเอนไซม์ ATPase ในรากสูงกว่าในใบ และพบว่ากิจกรรมของเอนไซม์ GST ใกล้เคียงกันทั้งในใบและราก ดังนั้นจึงเลือกใช้เกลือที่ความเข้มข้น 300 และ 500 มิลลิโมลาร์ ในการศึกษา การแสดงออกของยืนต่างๆ ต่อไป จากข้อมูลดังกล่าวแสดงให้เห็นว่าหม่อนน้อยใช้กลไก antioxidation, detoxification และ osmoprotection ในใบ และอาจใช้ ion pump ในรากเพื่อรักษาแรงดันอostenomictic



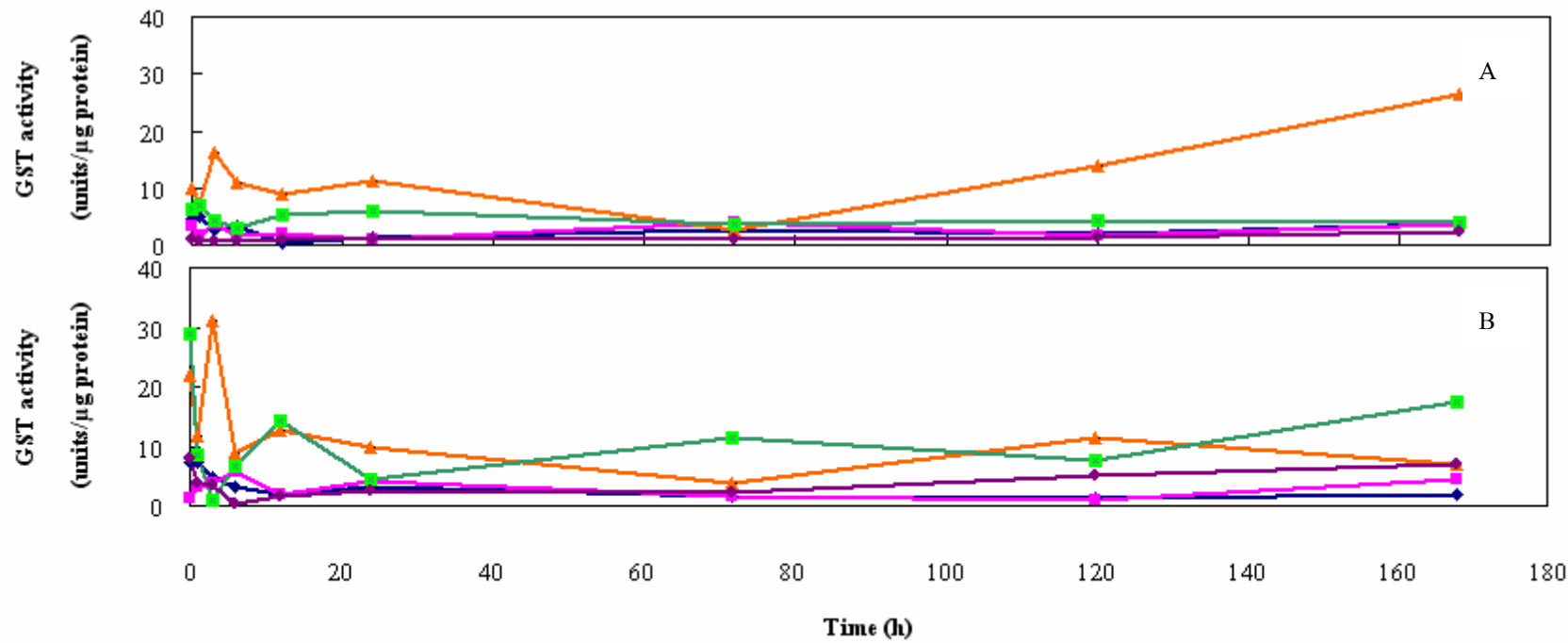
ภาพที่ 16 กิจกรรมของเอนไซม์ ATPase ทั้งหมดในเซลล์ที่ไม่ได้รับความเครียดจากเกลือโซเดียมคลอไรด์ที่ความเข้มข้น 0 (◆), 100 (■), 300 (▲), 500 (□) และ 600 mM (●) เป็นเวลา 7 วัน



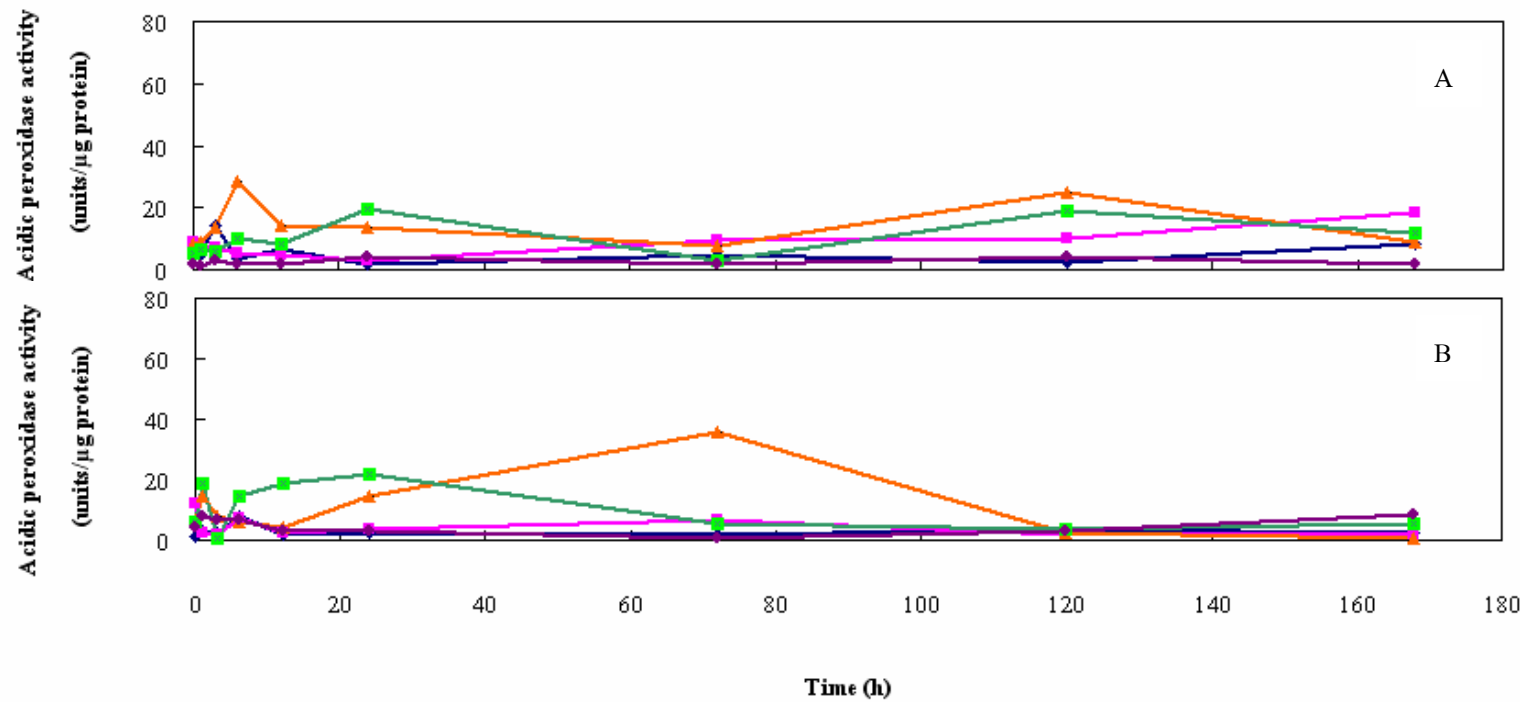
ภาพที่ 17 กิจกรรมของเอนไซม์ ATPase ในแวดล้อมในป่า (A) และราก (B) หลังจากได้รับความเครียดจากเกลือโซเดียมคลอไรด์ ที่ความเข้มข้น 0 (◆), 100 (■), 300 (▲), 500 (□) และ 600 mM (◆) เป็นเวลา 7 วัน



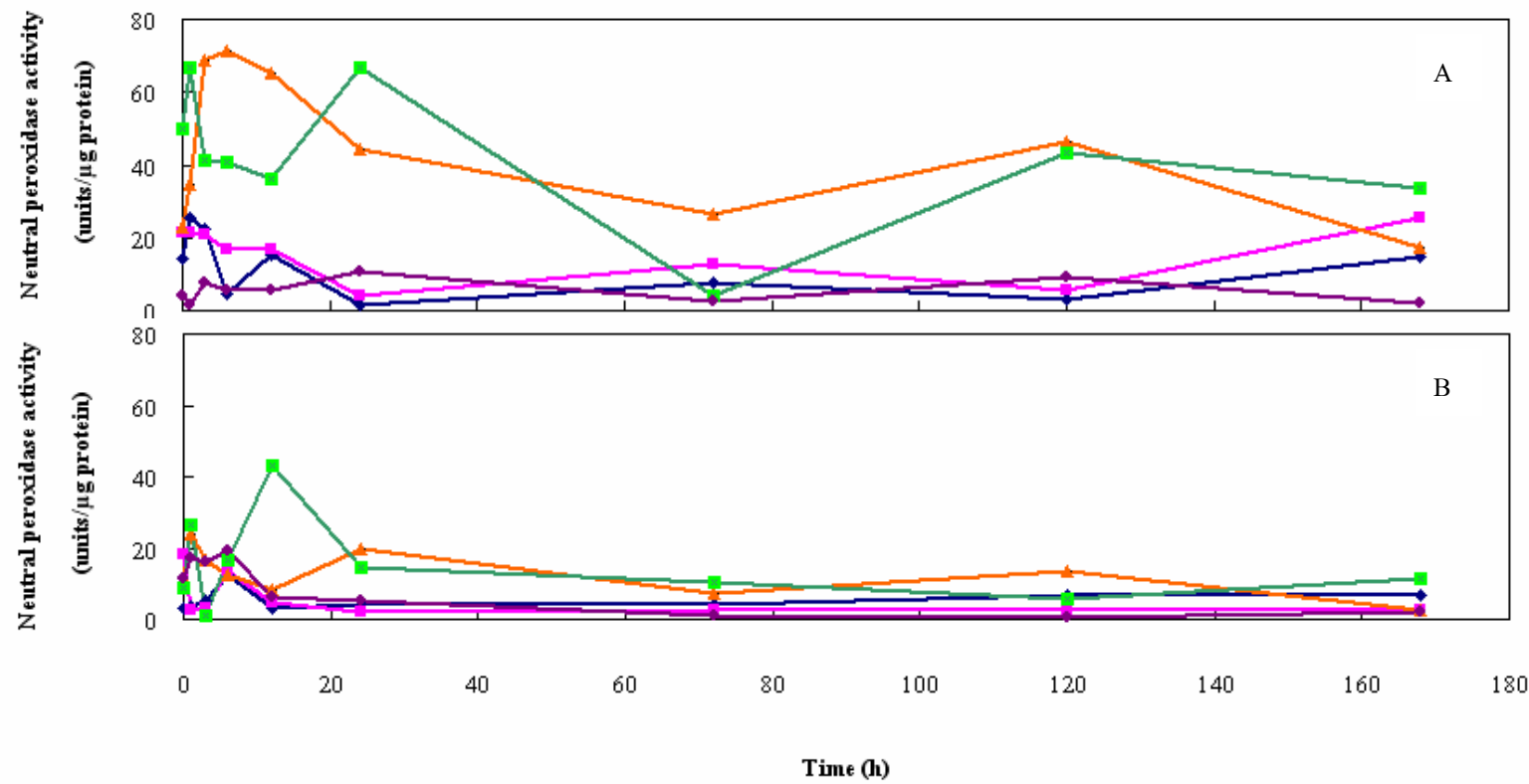
ภาพที่ 18 กิจกรรมของเอนไซม์ glucosidase ที่ใบ (A) และราก (B) หลังจากได้รับความเครียดจากเกลือโซเดียมคลอไรด์ที่ความเข้มข้น 0 (◆), 100 (□), 300 (▲), 500 (■) และ 600 mM (◆) เป็นเวลา 7 วัน



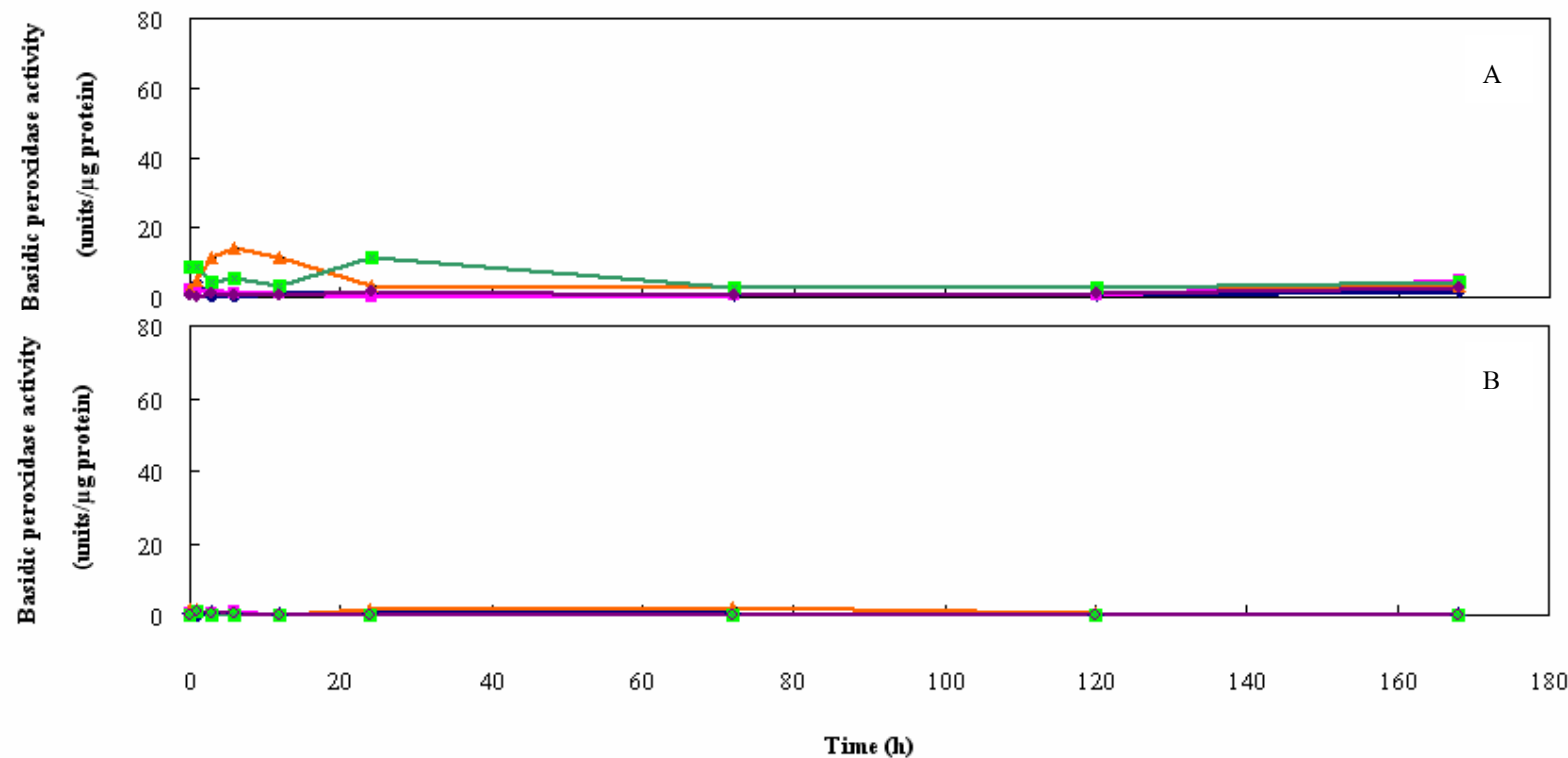
ภาพที่ 19 กิจกรรมของเอนไซม์ GST ที่ใบ (A) และราก (B) หลังจากได้รับความเครียดจากเกลือโซเดียมคลอไรด์ที่ความเข้มข้น 0 (◆), 100 (■), 300 (▲), 500 (■) และ 600 mM (◆) เป็นเวลา 7 วัน



ภาพที่ 20 กิจกรรมของเอนไซม์ acid peroxidase ที่ใบ (A) และราก (B) หลังจากได้รับความเครียดจากเกลือโซเดียมคลอไรด์ที่ความเข้มข้น 0 (■), 100 (▲), 300 (●), 500 (◆) และ 600 mM (◆) เป็นเวลา 7 วัน



ภาพที่ 21 กิจกรรมของเอนไซม์ neutral peroxidase ที่ใบ (A) และราก (B) หลังจากได้รับความเครียดจากเกลือโซเดียมคลอไรด์ที่ความเข้มข้น 0 (◆), 100 (■), 300 (▲), 500 (□) และ 600 mM (◆) เป็นเวลา 7 วัน



ภาพที่ 22 กิจกรรมของเอนไซม์ basidic peroxidase ที่ใบ (A) และราก (B) หลังจากได้รับความเครียดจากเกลือโซเดียมคลอไรด์ที่ความเข้มข้น 0 (—♦—), 100 (—□—), 300 (—△—), 500 (—■—) และ 600 mM (—◆—) เป็นเวลา 7 วัน

ตารางที่ 6 ค่าเฉลี่ยของความจำเพาะของอนไซม์ (specific activity) ในใบ

NaCl (mM)	ATPase	V-ATPase	Glucosidase	GST	Acidic peroxidase	Basidic peroxidase	Neutral peroxidase
	units/mg protein				units/ $\mu$ g protein		
0	57.54 ± 0.37	0.52 ± 3.48	0.41 ± 0.01	2.84 ± 13.34	5.95 ± 2.49	1.18 ± 1.76	12.17 ± 7.30
100	21.04 ± 0.21	0.00 ± 2.34	0.44 ± 0.02	2.55 ± 5.62	8.28 ± 1.51	1.53 ± 1.68	16.13 ± 5.17
300	76.99 ± 0.75	0.00 ± 8.78	1.23 ± 0.05	11.93 ± 17.91	14.36 ± 2.95	6.18 ± 3.19	44.10 ± 8.88
500	205.89 ± 1.40	64.85 ± 6.33	1.17 ± 0.04	4.85 ± 13.63	10.04 ± 2.09	5.62 ± 2.66	42.55 ± 13.57
600	50.43 ± 0.11	23.92 ± 1.36	0.22 ± 0.01	1.04 ± 3.69	2.38 ± 0.50	0.90 ± 0.86	5.35 ± 2.37

ตารางที่ 7 ค่าเฉลี่ยของความจำเพาะของอนไซม์ (specific activity) ในราก

NaCl (mM)	ATPase	V-ATPase	Glucosidase	GST	Acidic peroxidase	Basidic peroxidase	Neutral peroxidase
	units/mg protein				units/μg protein		
0	113.52 ± 2.90	53.81 ± 16.17	0.05 ± 0.01	3.54 ± 13.98	2.98 ± 0.72	0.33 ± 1.81	5.39 ± 5.80
100	77.28 ± 4.05	28.79 ± 0.74	0.06 ± 0.01	3.04 ± 4.35	4.37 ± 2.77	0.34 ± 1.21	5.87 ± 3.85
300	383.26 ± 8.49	99.70 ± 22.23	0.16 ± 0.01	13.15 ± 13.47	10.24 ± 13.91	0.74 ± 3.78	12.87 ± 14.49
500	622.10 ± 4.89	174.43 ± 6.70	0.16 ± 0.02	11.16 ± 11.09	10.51 ± 12.04	0.10 ± 3.11	15.38 ± 20.40
600	256.75 ± 1.48	105.25 ± 4.12	0.06 ± 0.01	3.78 ± 37.9	4.68 ± 3.86	0.19 ± 1.41	8.79 ± 6.36

#### 4. การวิเคราะห์น้ำตาลในหม่อนด้วยเทคนิค HPLC

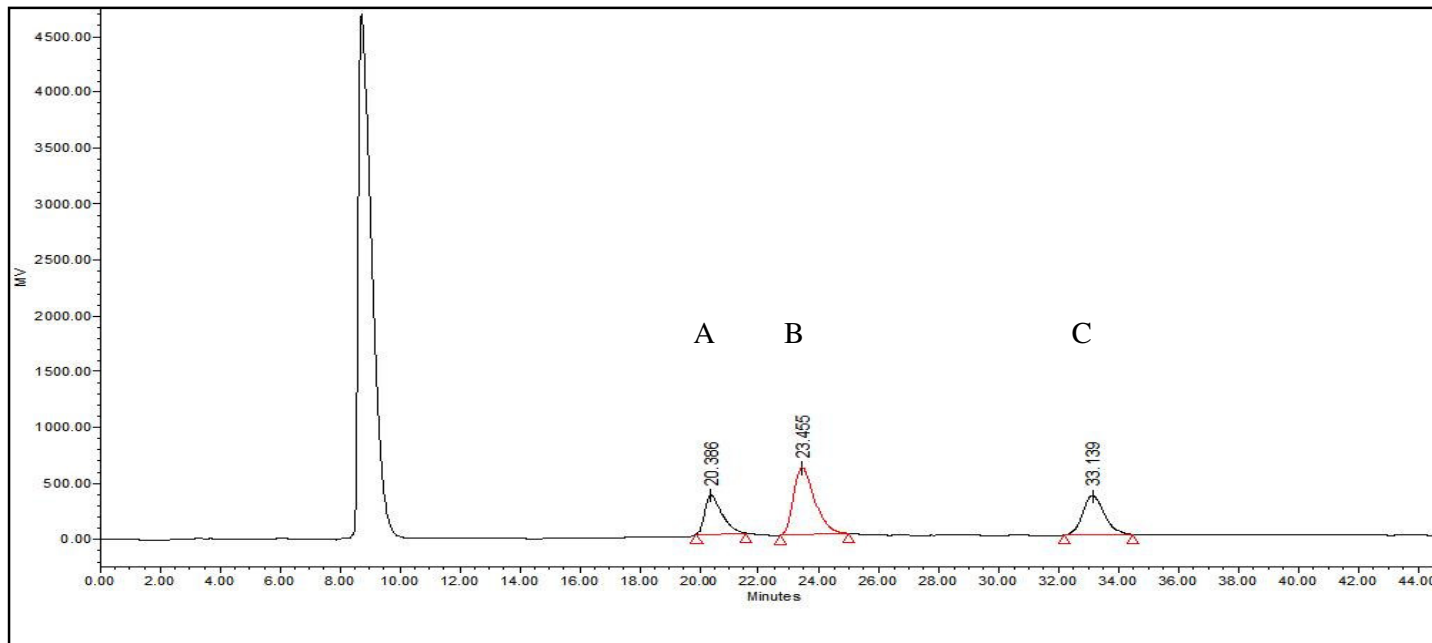
การวิเคราะห์ชนิดและปริมาณน้ำตาลในใบและรากหม่อนหลังจากได้รับความเครียดจากเกลือโซเดียมคลอไรด์ที่ความเข้มข้น 0, 100, 300, 500 และ 600 มิลลิโมลาร์ในเวลาต่างๆ ด้วยเทคนิค HPLC และใช้คอลัมน์ Hypersil APS-2 (5 ไมโครเมตร, 300 x 4.6 มิลลิเมตร) โดยมี 85% acetonitrile เป็นส่วนที่เคลื่อนที่ มือตราชารา ไหล 0.5 มิลลิลิตรต่อนาที เป็นเวลา 45 นาที เปรียบเทียบกับสารละลายน้ำตาลมาตรฐาน 4 ชนิด คือน้ำตาลฟрукโตส ซูโคส แม่นนิทอลและกลูโคส ดังในโกรมาトイแกรมในภาพที่ 23 จากโกรมาトイแกรมพบว่าไม่สามารถแยกชิ้นของน้ำตาลแม่นนิทอลและกลูโคสได้เนื่องจากน้ำตาลทั้งสองมี retention time ที่ใกล้เคียงกัน ดังนั้น peak ของน้ำตาลทั้งสองชนิดจึงรวมเป็น peak เดียวกัน โดยน้ำตาลฟruktoส แม่นนิทอลกับกลูโคส และซูโคส มี retention time 20.4, 23.4 และ 33.1 นาทีตามลำดับ จากการวิเคราะห์น้ำตาลในหม่อนพบว่าเมื่อหม่อนได้รับความเครียดจากเกลือโซเดียมคลอไรด์ที่ความเข้มข้นต่างๆ หม่อนจะมีการสร้างน้ำตาลทั้ง 4 ชนิด ไว้ในจำนวนมากขึ้น ขณะที่รากไม่พบการสร้างน้ำตาลชนิดใดเลย การหาปริมาณน้ำตาลฟruktoส ในใบหม่อนดังภาพที่ 24 (A) ปริมาณน้ำตาลฟruktoสที่พบในใบหม่อนชุดควบคุม (ไม่มีเกลือ) ที่เวลาต่างๆ พบว่ามีปริมาณอยู่ระหว่าง 0 – 0.1 มิลลิกรัม เมื่อเติมเกลือโซเดียมคลอไรด์ที่มีความเข้มข้น 100 มิลลิโมลาร์ ลงไปในอาหารเพาะเลี้ยงเนื้อเยื่อ พบร้าหม่อนมีการสร้างน้ำตาลฟruktoส เพิ่มขึ้นเมื่อเทียบกับชุดควบคุมตั้งแต่ชั่วโมงที่ 12 โดยมีปริมาณอยู่ระหว่าง 0 – 0.3 มิลลิกรัม เมื่อเพิ่มความเข้มข้นของเกลือโซเดียมคลอไรด์เป็น 300 มิลลิโมลาร์ พบร้าปริมาณน้ำตาลฟruktoสในใบหม่อนเพิ่มสูงกว่าชุดควบคุมในชั่วโมงที่ 24 และมีปริมาณอยู่ระหว่าง 0 – 0.4 มิลลิกรัม ในขณะที่หม่อนที่ได้รับเกลือโซเดียมคลอไรด์ที่มีความเข้มข้น 500 มิลลิโมลาร์ มีปริมาณน้ำตาลฟruktoสเพิ่มสูงกว่าชุดควบคุมตั้งแต่ชั่วโมงแรก และมีปริมาณน้ำตาลฟruktoสสูงสุดในวันที่ 7 โดยมีปริมาณน้ำตาลฟruktoสในช่วง 0 – 0.4 มิลลิกรัม ส่วนหม่อนที่ได้รับเกลือโซเดียมคลอไรด์ที่ความเข้มข้น 600 มิลลิโมลาร์ พบร้าหม่อนมีการสร้างน้ำตาลฟruktoสเพิ่มขึ้นอย่างชัดเจนตั้งแต่ชั่วโมงที่ 3 และเพิ่มขึ้นเรื่อยๆ จนสูงสุดในวันที่ 5 จึงลดต่ำลง โดยมีปริมาณน้ำตาลฟruktoสอยู่ระหว่าง 0 – 0.6 มิลลิกรัม

การหาปริมาณน้ำตาลซูโคสในใบหม่อนดังภาพที่ 24 (B) พบร้าในช่วง 12 ชั่วโมงแรก หม่อนไม่มีการสร้างน้ำตาลซูโคสเลยในทุกตัวอย่างยกเว้นที่ในชุดการทดลองที่มีเกลือโซเดียมคลอไรด์เข้มข้น 600 มิลลิโมลาร์ โดยหม่อนในชุดควบคุม (ไม่มีเกลือ) จะเริ่มการสร้างน้ำตาลซูโคสในชั่วโมงที่ 24 และมีปริมาณสูงสุดในวันที่ 7 โดยมีปริมาณอยู่ระหว่าง 0 – 0.2 มิลลิกรัม เมื่อ

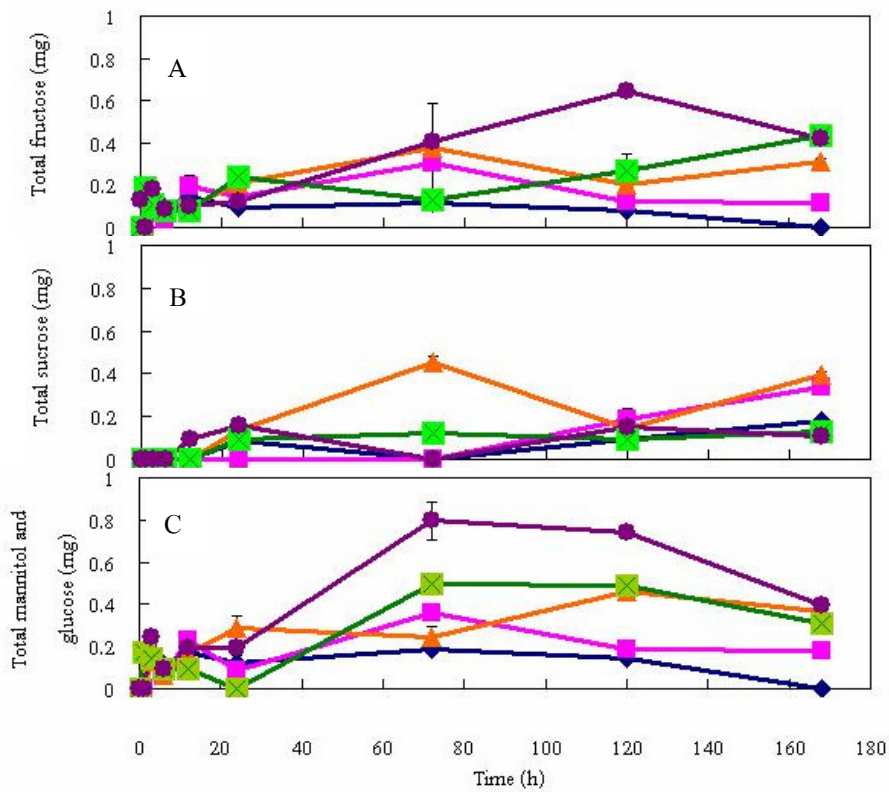
เติมเกลือโซเดียมคลอไรด์ที่มีความเข้มข้น 100 มิลลิโมลาร์ ลงไปในอาหารเพาะเลี้ยงเนื้อเยื่อ พบร่วมกับน้ำมันมีการสร้างน้ำตาลชูโกรสเพิ่มขึ้นในวันที่ 3 เมื่อเทียบกับชุดควบคุม โดยมีปริมาณอยู่ระหว่าง 0 – 0.3 มิลลิกรัม เมื่อเพิ่มความเข้มข้นของเกลือโซเดียมคลอไรด์เป็น 300 มิลลิโมลาร์ พบร่วมกับน้ำตาลชูโกรสในใบหม่อนเพิ่มสูงกว่าชุดควบคุมในชั่วโมงที่ 24 และเพิ่มสูงสุดในวันที่ 3 จากนั้นจะลดลงและเพิ่มขึ้นอีกในวันที่ 5 และ 7 ตามลำดับ โดยมีปริมาณอยู่ระหว่าง 0 – 0.4 มิลลิกรัม ในขณะที่หม่อนที่ได้รับเกลือโซเดียมคลอไรด์ที่มีความเข้มข้น 500 มิลลิโมลาร์ มีการสร้างน้ำตาลชูโกรสใน 24 ชั่วโมงแรกและมีปริมาณน้ำตาลชูโกรสค่อนข้างคงที่จนถึงวันที่ 7 มีปริมาณน้ำตาลชูโกรสในช่วง 0 – 0.1 มิลลิกรัม ส่วนหม่อนที่ได้รับเกลือโซเดียมคลอไรด์ที่ความเข้มข้น 600 มิลลิโมลาร์ พบร่วมกับน้ำตาลชูโกรสในชั่วโมงที่ 12 และเพิ่มขึ้นเล็กน้อยในชั่วโมงที่ 24 จากนั้นจะลดลงในวันที่ 3 แต่จะเพิ่มขึ้นอีกรึ้งในวันที่ 5 โดยมีปริมาณน้ำตาลชูโกรสอยู่ระหว่าง 0 – 0.2 มิลลิกรัม

ส่วนปริมาณน้ำตาลแม่นนิทอลและกลูโคส ที่พบร่วมกับน้ำตาลชูโกรส ที่เพิ่มในใบหม่อนชุดควบคุม (ไม่มีเกลือ) ที่เวลาต่างๆ ดังภาพที่ 24 (C) พบร่วมกับน้ำตาลชูโกรสที่ความเข้มข้น 0 – 0.2 มิลลิกรัม เมื่อเติมเกลือโซเดียมคลอไรด์ที่มีความเข้มข้น 100 มิลลิโมลาร์ ลงไปในอาหารเพาะเลี้ยงเนื้อเยื่อ พบร่วมกับน้ำตาลแม่นนิทอลและกลูโคสลดลงในช่วงชั่วโมง 24 แรกเมื่อเทียบกับชุดควบคุม แต่ปริมาณน้ำตาลแม่นนิทอลและกลูโคสจะเพิ่มขึ้นสูงสุดในวันที่ 3 และลดลงเรื่อยๆ จนถึงวันที่ 7 โดยมีปริมาณอยู่ระหว่าง 0 – 0.4 มิลลิกรัม เมื่อเพิ่มความเข้มข้นของเกลือโซเดียมคลอไรด์เป็น 300 มิลลิโมลาร์ พบร่วมกับน้ำตาลแม่นนิทอลและกลูโคสในใบหม่อนลดลงกว่าชุดควบคุมใน 12 ชั่วโมงแรกแต่จะเพิ่มขึ้นสูงสุดในวันที่ 3 และมีปริมาณอยู่ระหว่าง 0 – 0.5 มิลลิกรัม ในขณะที่หม่อนที่ได้รับเกลือโซเดียมคลอไรด์ที่มีความเข้มข้น 500 มิลลิโมลาร์ ปริมาณน้ำตาลแม่นนิทอลและกลูโคสจะค่อยๆ ลดลงเรื่อยๆ ในช่วงวันแรก แต่จะเพิ่มสูงสุดในวันที่ 3 และลดลงอีกจนถึงวันที่ 7 โดยมีปริมาณอยู่ระหว่าง 0 – 0.5 มิลลิกรัม ส่วนหม่อนที่ได้รับเกลือโซเดียมคลอไรด์ที่ความเข้มข้น 600 มิลลิโมลาร์ พบร่วมกับน้ำตาลแม่นนิทอลและกลูโคสเพิ่มขึ้นอย่างชัดเจนตั้งแต่ชั่วโมงที่ 3 และเพิ่มขึ้นเรื่อยๆ จนสูงสุดในวันที่ 5 จึงลดต่ำลง โดยมีปริมาณน้ำตาลแม่นนิทอลและกลูโคสอยู่ระหว่าง 0 – 0.8 มิลลิกรัม

โดยสรุปพบว่าปริมาณน้ำตาลทั้ง 4 ชนิดเพิ่มขึ้น เมื่อได้รับความเครียดจากเกลือที่ความเข้มข้นต่างๆ และพบว่ามีการผลิตน้ำตาลซูโคราน้อยกว่าน้ำตาลฟรุกโตส แม้บนพืชและกลุ่มสารจากนี้ยังพบน้ำตาลเดี่ยวชนิดอื่นหรืออนุพันธ์ของน้ำตาลไม่เลกูลเดี่ยวชนิดอื่น (Yancey et al., 1982; Chen and Murata, 2000) ที่มี retention time น้อยกว่าน้ำตาลฟรุกโตสในปริมาณที่สูงกว่าน้ำตาลทั้ง 4 ชนิดที่ศึกษาอีกด้วย ดังนั้นจึงไม่สามารถระบุชนิดของน้ำตาลที่เคลื่อนที่เร็วกว่าน้ำตาลฟรุกโตสได้



ภาพที่ 23 โกรนาโต้แกรมของน้ำตาลมาตราฐาน 4 ชนิด คือ น้ำตาลฟรุกโตส (A) น้ำตาลmannitol และกลูโคส (B) และน้ำตาลซูโครัส (C)

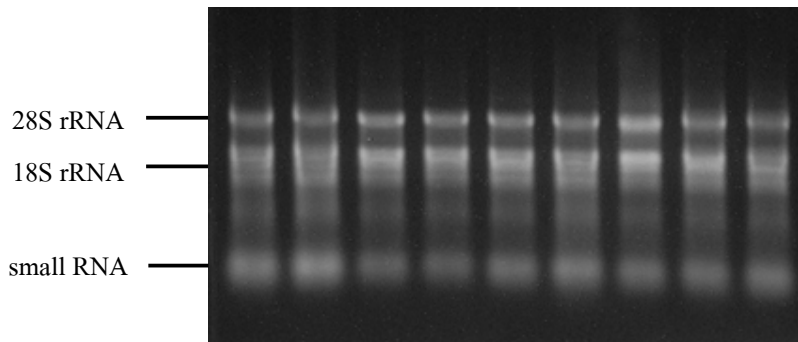


ภาพที่ 24 ปริมาณน้ำตาลฟรุกโตส (A) น้ำตาลซูโคส (B) น้ำตาลmannนิทอลและกลูโคส (B) ในใบหม่อนเมื่อได้รับความเครียดจากเกลือโซเดียมคลอไรด์ที่ความเข้มข้น 0 (—♦—), 100 (—■—), 300 (—▲—), 500 (—◆—) และ 600 mM (—●—) เป็นเวลา 7 วัน

## 5. การตรวจสอบการแสดงออกของยีนในระดับ RNA

### 5.1 การสกัด RNA

การสกัด total RNA จากใบหม่อนน้อย (*M. rotundiloba*) โดยใช้ TRIzol reagent โดยนำไปที่เก็บที่เวลา 0, 0.5, 1, 3, 6, 12, 24, 72, 120 และ 168 ชั่วโมง ภายหลังจากเติมเกลือโซเดียมคลอไรด์ที่ความเข้มข้น 0, 300 และ 500 มิลลิโอมาร์ตัวอย่างละ 100 มิลลิกรัม จำนวน 30 ตัวอย่าง และใช้เป็น template สำหรับทำ RT-PCR โดยมีอัตราส่วนของค่าการดูดกลืนแสงที่ 260/280 อยู่ระหว่าง 1.72 – 2.59 แสดงให้เห็นว่า RNA ที่สกัดได้ส่วนใหญ่มีคุณภาพดี แต่บางตัวอย่างที่อาจมีการปนเปื้อนบ้างเล็กน้อย และมีปริมาณ RNA อยู่ในช่วง 4.6- 53.7 ไมโครกรัมต่อ 100 มิลลิกรัม นำหนักสด ดังตารางที่ 3 เมื่อนำ RNA ไปแยกด้วยเทคนิคอิเล็กโทรโฟรีซิตในเจลอะกาโรสพบว่ามีแถบของ 18S และ 28S rRNA ดังภาพที่ 19



ภาพที่ 25 ตัวอย่าง total RNA เมื่อแยกด้วยเทคนิคอิเล็กโทรโฟรีซิต โดยใช้ total RNA ที่สกัดจากใบหม่อนน้อย (*M. rotundiloba*) 10 ไมโครกรัม ใน 1% อะกาโรสเจลที่มี MOPS buffer ที่ 100 โวลต์ 30 นาที และข้อมด้วยเอทิเดียมบอร์ไนต์

**ตารางที่ 8 ปริมาณและคุณภาพของ RNA ทั้งหมดที่สกัดจากใบหม่อนน้อยที่ได้รับเกลือโซเดียมคลอไรด์ที่ความเข้มข้น 0, 300 และ 500 มิลลิโนลาร์ ในเวลาต่างๆ**

Time (h)	Concentration of NaCl (mM)	A260/A280	RNA µg/100 mg tissue
0	0	1.892	10.0
	300	1.916	30.4
	500	2.019	15.3
0.5	0	2.077	22.2
	300	2.000	14.0
	500	1.900	7.9
1	0	1.842	4.7
	300	1.975	11.0
	500	1.932	12.0
3	0	1.984	18.2
	300	1.958	5.8
	500	2.100	18.0
6	0	1.820	53.7
	300	2.194	31.0
	500	1.987	28.5
12	0	2.122	22.6
	300	1.716	17.8
	500	1.897	7.8
24	0	2.023	13.0
	300	1.971	9.3
	500	1.986	18.5
72	0	2.353	21.3
	300	2.235	5.6
	500	2.318	7.3
120	0	2.435	7.1
	300	2.515	10.0
	500	2.514	12.2
168	0	2.593	9.9
	300	2.452	34.9
	500	2.304	24.5

## 5.2 การตรวจสอบการแสดงออกของยีนโดยใช้เทคนิค RT- PCR

### 5.2.1 การแสดงออกของยีนเลคตินในหม่อน

cDNA ที่ได้จากการถอดรหัสจาก RNA เมื่อนำมาเพิ่มปริมาณด้วยไพรเมอร์ที่มีความจำเพาะต่อยีนเลคติน โดยใช้เทคนิค PCR ซึ่งจะได้แคนดีอีนเอที่มีขนาด 356 bp และใช้ไพรเมอร์ที่ออกแบบจาก 26S rRNA ซึ่งเป็น housekeeping genes เป็นชุดควบคุมและมีแคนดีอีนเอขนาด 250 bp (ภาพที่ 20 E) โดยยีนเลคติน (ภาพที่ 20 A) ที่ได้รับความเครียดจากเกลือความเข้มข้น 500 มิลลิโมลาร์ มีการแสดงออกลดลงในครั้งชั่วโมงแรกและชั่วโมงที่ 12 การแสดงออกของยีนลดลงในครั้งชั่วโมงแรกและชั่วโมงที่ 12

ในขณะที่เมื่อฉุกเฉินการแสดงออกของยีนใน 48 ชั่วโมงที่ความเข้มข้นเกลือ 0, 50, 100, 200 และ 500 มิลลิโมลาร์ ดังภาพที่ 21 พบร่วมกันที่ความเข้มข้น 50 มิลลิโมลาร์ จะมีการแสดงออกของยีนเพิ่มขึ้นประมาณ 2 เท่า แต่เมื่อเพิ่มความเข้มข้นของเกลือ ไปเดิมคลื่นไրด์เป็น 100 มิลลิโมลาร์ การแสดงออกของยีนกลับลดลง และเมื่อเพิ่มความเข้มข้นของเกลือเป็น 200 มิลลิโมลาร์ พบร่วมกันที่ความเข้มข้นของยีนลดลง ในขณะที่การแสดงออกของยีนที่ได้รับเกลือเข้มข้น 400 มิลลิโมลาร์ กลับเพิ่มสูงขึ้นเล็กน้อย

### 5.2.2 การแสดงออกของยีนที่เกี่ยวข้องกับความเครียดจากเกลือในหม่อน

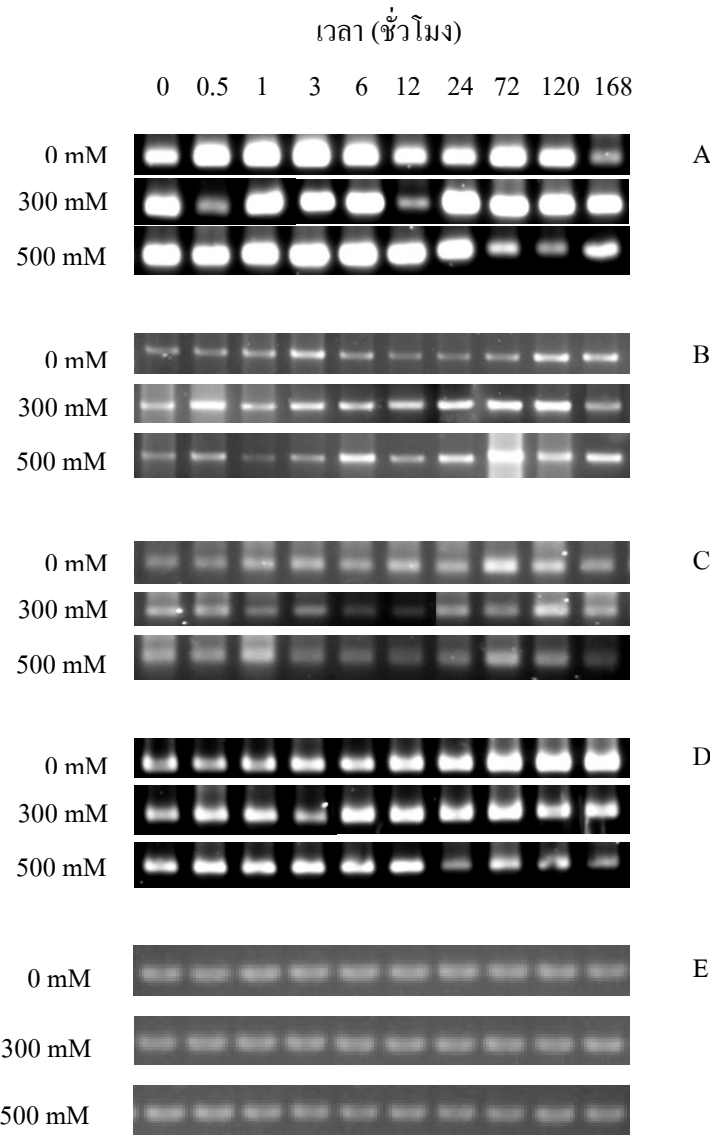
การตรวจสอบการแสดงออกของยีนที่เกี่ยวข้องกับความเครียดจากเกลือในหม่อนพบว่า มีบางยีนที่ไม่สามารถเพิ่มปริมาณได้คือ invertase gene (Inv), D-mannitol dehydrogenase gene (ManD), putative late-embryogenesis-abundant (LEA) gene และ betaine aldehyde dehydrogenase gene (BADH) ในขณะที่ fructose 1,6-bisphosphatase gene (FBP) pyrroline-5-carboxylase synthetase gene (P5CS) และ pyrroline-5-carboxylase reductase gene (P5CR) มีการแสดงออกที่แตกต่างกันไป

การแสดงออกของยีน P5CS (ภาพที่ 20 B) ที่ได้รับเกลือเข้มข้น 300 มิลลิโมลาร์ มีการแสดงออกเพิ่มขึ้นในครั้งชั่วโมงแรกอย่างชัดเจน แต่ในชั่วโมงถัดไปการแสดงออกจะค่อยๆ ลดลง แต่จะเพิ่มขึ้นอีกเล็กน้อยจนมากสุดในวันที่ 5 และลดลงในวันที่ 7 ส่วนการแสดงออกของยีน

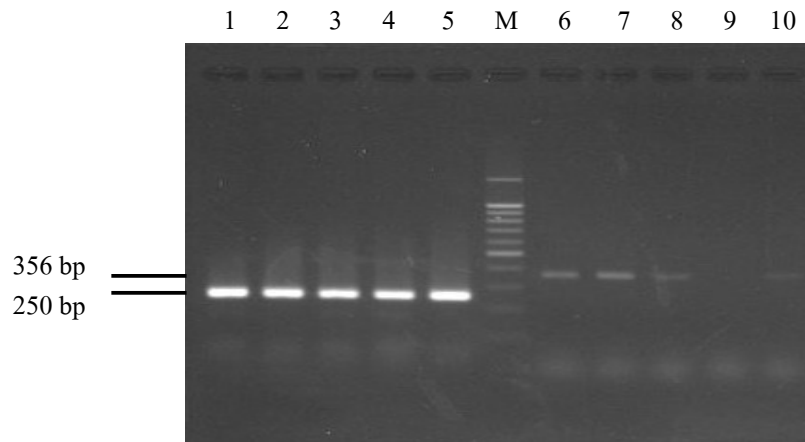
เมื่อได้รับเกลือ 500 มิลลิโอมาร์ มีการแสดงออกที่ชัดเจนในชั่วโมงที่ 6 และมีการแสดงออกเพิ่มขึ้น เว่อขันสูงสุดในวันที่ 3

ยืน P5CR (ภาพที่ 20 C) มีการแสดงออกไม่ชัดเจนนัก โดยต้นที่ได้รับเกลือ เพิ่มขึ้น 300 มิลลิโอมาร์ ในช่วงชั่วโมงแรกถึงชั่วโมงที่ 12 การแสดงออกของยืนค่อนข้างลดลงอย่างต่อเนื่อง แต่หลังจากนั้นในชั่วโมงที่ 24 กลับมีการแสดงออกของยืนเพิ่มสูงขึ้น ส่วนต้นที่ได้รับเกลือ เพิ่มขึ้น 500 มิลลิโอมาร์ มีการแสดงออกของยืนเพิ่มขึ้นในชั่วโมงที่ 1 และเริ่มลดลงในชั่วโมงต่อมา เรื่อยๆ จนกระทั่งในวันที่ 3 จึงมีการแสดงออกเพิ่มขึ้น

การแสดงออกของยืน FBP (ภาพที่ 20 D) ในชุดควบคุมจะเพิ่มขึ้นเมื่อเวลา เพิ่มขึ้น โดยมีการแสดงออกมากที่สุดในช่วงวันที่ 3-7 เมื่อได้รับเกลือที่ความเข้มข้น 300 และ 500 มิลลิโอมาร์ พบว่าการแสดงออกของยืนนี้จะลดลงตามความเข้มข้นของเกลือที่เพิ่มขึ้น ในช่วงวันที่ 3-7 ในขณะที่ความเข้มข้นเกลือ 500 มิลลิโอมาร์ ในช่วงวันแรกมีการแสดงออกของยืนมากกว่าช่วง 6 วันสุดท้าย



**ภาพที่ 26** การแสดงออกของยีนต่างๆ ในใบหมื่นไดี้แก่ ยีนเลคติน (A), pyrroline-5-carboxylase synthetase gene (P5CS) (B), pyrroline-5-carboxylase reductase gene (P5CR) (C) และ fructose 1,6-bisphosphatase gene (FBP) (D) หลังจากได้รับความเครียดจากเกลือ โซเดียมคลอไรด์ในเวลาต่างๆ โดยเปรียบเทียบกับยีน 26S rRNA (E) เป็นชุดควบคุม



**ภาพที่ 27 การแสดงออกของยีนเลกตินในไบหม่อนเมื่อได้รับเกลือโซเดียมคลอไรด์ที่ความเข้มข้นต่างๆ เป็นเวลา 48 ชั่วโมง เลนที่ M คือ 100 bp + 1.5 kb DNA ladder เลนที่ 1 คือยีน 26S rRNA ในหม่อนที่ได้รับเกลือเข้มข้น 0 mM เลนที่ 2 คือยีน 26S rRNA ในหม่อนที่ได้รับเกลือเข้มข้น 50 mM เลนที่ 3 คือยีน 26S rRNA ในหม่อนที่ได้รับเกลือเข้มข้น 100 mM เลนที่ 4 คือยีน 26S rRNA ในหม่อนที่ได้รับเกลือเข้มข้น 200 mM เลนที่ 5 คือยีน 26S rRNA ในหม่อนที่ได้รับเกลือเข้มข้น 400 mM เลนที่ 6 คือยีนเลกตินในหม่อนที่ได้รับเกลือเข้มข้น 0 mM เลนที่ 7 คือยีนเลกตินในหม่อนที่ได้รับเกลือเข้มข้น 50 mM เลนที่ 8 คือยีนเลกตินในหม่อนที่ได้รับเกลือเข้มข้น 100 mM เลนที่ 9 คือยีนเลกตินในหม่อนที่ได้รับเกลือเข้มข้น 200 mM และเลนที่ 10 คือยีนเลกตินในหม่อนที่ได้รับเกลือเข้มข้น 400 mM**

## วิจารณ์

คินเดียมเป็นปัจจุหาสำคัญที่ทำให้ผลผลิตทางการเกษตรลดลง ดังนั้นจึงมีความพยายามที่จะแก้ปัญหานี้ โดยการผลิตพืชทนเค็มให้สามารถเจริญเติบโตในพื้นที่ดินเค็มได้ (Flower, 2004) การศึกษากลไกการปรับตัวของหม่อนเมื่อได้รับความเครียดจากเกลือ โดยเลือกใช้หม่อนพันธุ์พื้นเมืองของไทยคือหม่อนน้อย ซึ่งเป็นพันธุ์ที่ทนแล้งได้ดี (Iwata, 1972) โดยนำไปเพาะเลี้ยงบนอาหารแข็งสูตร MS เพื่อความสะดวกในการควบคุมปัจจัยแวดล้อมที่อาจมีผลต่อการทดลอง และหาสภาวะที่เหมาะสมต่อการเพาะเลี้ยงเนื้อเยื่อหม่อน โดยการหาปริมาณน้ำตาลและchoro'ไมน์ BAP ที่เหมาะสมต่อการเจริญเติบโตของหม่อนไปพร้อมกันด้วย จากผลการทดลองที่ได้แสดงให้เห็นว่า น้ำตาลทรายในท้องตลาดให้ผลการเจริญเติบโตที่ไม่ต่างจากน้ำตาลซูโคร์สมากนัก ดังนั้นหากเกยตระกรหรือผู้ที่สนใจการเพาะเลี้ยงเนื้อเยื่อหม่อนต้องการลดต้นทุนในการเพาะเลี้ยงเนื้อเยื่อ ก็สามารถใช้น้ำตาลทรายในท้องตลาดแทนน้ำตาลซูโคร์สได้ ส่วนปริมาณchoro'ไมน์ BAP ซึ่งเป็น chor'o'ไมน์ที่เร่งให้เกิดการแตกยอดใช้สำหรับสูตรที่ต้องการขยายพันธุ์เพิ่มปริมาณต้นหม่อน ปริมาณ chor'o'ไมน์ BAP ที่เหมาะสมคือ 1.0 มิลลิกรัมต่อลิตร ในการศึกษาความเครียดจากเกลือเลือกใช้ต้นหม่อนที่มีอายุ 20 วัน เนื่องจากเป็นช่วงอายุที่หม่อนเริ่มจะออกการเจริญเติบโต จากนั้นจึงข้ามหม่อนมาเลี้ยงในอาหารสูตรเดิมแต่เปลี่ยนจากอาหารแข็งเป็นเวอร์มิครูล์ฟาร์ม เพื่อให้รากหม่อนสามารถดูดซึมน้ำและสัมผัสน้ำกับอากาศได้เหมือนกับอยู่ในดินจริงๆ (Tsong *et al.*, 2000) ซึ่งเหมาะสมสำหรับใช้ในการศึกษากลไกการปรับตัวของหม่อนเมื่อได้รับความเครียดจากเกลือ โดยการเติมเกลือโซเดียมคลอไรด์ความเข้มข้น 0, 100, 300, 500 และ 600 มิลลิโอมาร์ ลงในอาหารสูตรเดิมที่ไม่มีน้ำตาล เนื่องจากการให้พืชสัมผัสระหว่างตัวเอง และตอบสนองต่อความเค็มด้วยกลไกที่เกี่ยวข้องกับการสัมผัสระหว่างหม่อนในธรรมชาติ

ความเครียดจากเกลือมีผลต่อการเจริญเติบโตของพืช ทำให้เกิดไอออนที่เป็นพิษ  $\text{Na}^+$ ,  $\text{Cl}^-$ ,  $\text{SO}_4^{2-}$  และเกิดความเครียดจากการขาดน้ำ (osmotic stress) สารอาหารและสมดุลของกระบวนการเผาผลาญ (Zhu, 2002) และเมื่อเกิดการขาดน้ำก็จะทำให้ปากใบปิด กระบวนการหายใจ และการสัมผัสระหว่างตัวเอง แสดงผลลงจนเกิด oxidative stress ตามมาในที่สุด (Giridarakumer *et al.*, 1999) และ ROS นี้เองที่ทำให้เกิด oxidative damage ขึ้น โดยจะไปทำลายส่วนประกอบต่างๆ ของเซลล์ เช่น พนัคเมมเบรนที่เป็นไขมัน โปรตีน และกรดนิวคลีอิก (Halliwell and Gutteridge, 1986) เพื่อตัดความเสียหายที่เกิดจาก oxidative damage พืชจะสร้าง antioxidants เช่น reduced glutathione (GSH)

และเอนไซม์ต่างๆ เช่น superoxide dismutase (SOD), catalase (CAT), ascorbate peroxidase (APX), glutathione-S-transferase (GST) และ glutathione peroxidase (GPX) เพื่อกำจัด ROS ที่เกิดขึ้น (Hussain *et al.*, 2008) เอนไซม์ peroxidase เป็นส่วนหนึ่งของเอนไซม์ป้องกันที่ช่วยในการขัดสารพิษที่อยู่ในรูป activated oxygen โดยจะช่วยกำจัด hydrogen peroxide จากการทดลองศึกษา กิจกรรมของออกซิเดทีฟเอนไซม์บางชนิด คือ peroxidase พบว่ากิจกรรมของเอนไซม์เพิ่มสูงขึ้นทั้งในใบและรากของหม่อน โดยเฉพาะที่ความเข้มข้นเกลือ 300 และ 500 มิลลิโมลาร์ พบว่าเมื่อเอนไซม์ acidic peroxidase และ neutral peroxidase เพิ่มขึ้น โดยคาดว่าเป็นเอนไซม์ทั้งสองชนิดเป็นเอนไซม์ที่อยู่บริเวณแคววิโอลและไซโตพลาสซึมตามลำดับ โดยมีกิจกรรมของเอนไซม์ neutral peroxidase สูงสุดในใบ ขณะที่กิจกรรมของเอนไซม์ basidic peroxidase ทั้งในใบและราก ซึ่งคาดว่าเป็นเอนไซม์ที่อยู่บริเวณผนังเซลล์ มีการเปลี่ยนแปลงเพียงเล็กน้อยเท่านั้น Sudhakar *et al.* (2001) ได้รายงานถึงการศึกษา กิจกรรมของเอนไซม์ peroxidase และ catalase ในหม่อน *M. alba* โดยเปรียบเทียบระหว่างพันธุ์ที่ทนเค็มกับพันธุ์ไม่ทนเค็ม พบว่าอัตราการเพิ่มขึ้นของเอนไซม์ทั้งสองขึ้นอยู่กับความเข้มข้นและระยะเวลาที่ได้รับความเครียด และพันธุ์ที่ทนเค็มจะมีกิจกรรมของเอนไซม์สูงกว่าพันธุ์ที่ไม่ทนเค็ม นอกจากนี้ยังมีหลักฐานว่าระดับของ antioxidant มีความสัมพันธ์กับความทนต่อความเครียดของพืช ในใบหม่อนพันธุ์ที่ทนต่อความเครียด ได้ดีจะพบกิจกรรมของเอนไซม์ peroxidase สูงกว่าพันธุ์ที่ไม่ทนต่อความเครียด (1.6 เท่าที่ความเข้มข้นเกลือ 1.5 % ในวันที่ 8) ทั้งนี้เพื่อเป็นการป้องกันตัวเองจากความเครียด (Sudhakar *et al.*, 2001)

เอนไซม์ที่ช่วยในการขัดสารพิษอีกชนิดคือ GST โดย glutathione จะหน้าที่หลักในการป้องกันต่อต้านการเกิด oxidative stress โดยลดจำนวน  $H_2O_2$  ที่เกิดขึ้น (Foyer and Halliwell, 1976) จากการทดลองพบกิจกรรมของเอนไซม์ GST ทั้งในใบและรากหม่อน โดยพบกิจกรรมของเอนไซม์ GST ที่เพิ่มขึ้นอย่างชัดเจนในใบหม่อนที่ได้รับเกลือเข้มข้น 300 มิลลิโมลาร์ ส่วนในรากมีกิจกรรมของเอนไซม์ GST ในต้นที่ได้รับเกลือเข้มข้น 300 และ 500 มิลลิโมลาร์ สูงขึ้น เช่นเดียวกันแต่ไม่ชัดเจนเท่าที่ใบ ในขณะที่หม่อนที่ได้รับเกลือเข้มข้น 100 มิลลิโมลาร์ มีกิจกรรมไม่แตกต่างจากหม่อนในชุดควบคุม สอดคล้องกับรายงานของ Sudhakar *et al.* (2001) ซึ่งศึกษาเอนไซม์ GST ในใบหม่อน *M. alba* โดยเปรียบเทียบระหว่างพันธุ์ที่ทนเค็มกับพันธุ์ไม่ทนเค็ม พบว่าเมื่อได้รับความเครียดจากเกลือ 1.5 % พันธุ์ที่ทนเค็มมีกิจกรรมเพิ่มสูงขึ้น 16 เท่าสูงกว่าพันธุ์ไม่ทนเค็มซึ่งมีกิจกรรมเพิ่มสูงขึ้นเพียง 13 เท่า

เอนไซม์ ATPase ซึ่งเป็นเอนไซม์ที่เกี่ยวข้องกับกระบวนการรักษาสมดุลของไออ้อนในเซลล์ จากการทดลองโดยวัดกิจกรรมของเอนไซม์ทั้งหมดในเซลล์ (ATPase) และในแวกัวโอล (V-ATPase) พบว่ากิจกรรมของ ATPase ที่รากสูงมากกว่าใน การทดลองแสดงให้เห็นว่าในสภาวะปกติแบบจะไม่มีการทำงานของ ATPase เลย แต่เมื่อได้รับความเครียดจากเกลือ หม่อนจะมีการปรับตัวเพื่อรักษาสมดุล ไออ้อนที่บริเวณรากซึ่งเป็นบริเวณที่เซลล์รากหม่อนได้สัมผัสกับเกลือ โดยตรง และยังคงทำงานของ ATPase ที่สูงขึ้นด้วย โดยเฉพาะที่ความเข้มข้นเกลือ 500 มิลลิโมลาร์ มีกิจกรรมของ ATPase เพิ่มขึ้นอย่างชัดเจน ในขณะที่ความเข้มข้นเกลือ 600 มิลลิโมลาร์ กับไม่เป็นไปตามแนวโน้มในการตอบสนองต่อความเข้มข้นของเกลือสูงขึ้น ซึ่งอาจเกิดจากความเข้มข้นของเกลือที่สูงมากไปทำลายกลไกการทำงานของเซลล์ทำให้เซลล์บางส่วนตายไป ดังนั้นการผลิตสารต่างๆ ภายในเซลล์จึงน้อยลงไปด้วย ซึ่งสอดคล้องกับรายงานเกี่ยวกับยืน  $H^+$ -ATPase ในแวกัวโอลของ *M. crystallinum* ซึ่งประกอบด้วย 3 subunits คือ subunits A, B และ C เมื่อเทียบกับชุดควบคุม ในขณะที่ในแก้เมล็ดของ subunits C เท่านั้นที่มีการตอบสนองต่อความเครียดจากเกลือ (Low *et al.*, 1996) ส่วนในมันฝรั่ง (*Lycopersicon esculentum*) ได้มีการศึกษา cDNA ของยืน  $H^+$ -ATPase ในราก ใบแก้และใบอ่อนในการตอบสนองต่อความเครียดจากเกลือ พบว่ามีการแสดงออกของยืนในใบอ่อนมากกว่าในรากและใบแก้ (Kalampanayil and Wimmers, 2001)

นอกจากกลไกการป้องกันต่อความเครียดจากเกลือดังกล่าวข้างต้นแล้วพืชยังมีการตอบสนองต่อความเครียดจากเกลือโดยการผลิตและสะสมสารที่อยู่ในกลุ่มของ osmoprotective compounds โดยสาร osmolytes เหล่านี้จะช่วยรักษาสภาพของโปรตีนและโครงสร้างของเซลล์ และยังสามารถเพิ่มแรงดันอสโนมติกในเซลล์ได้ด้วย (Yancey *et al.*, 1982)

เอนไซม์ glucosidase เป็นเอนไซม์ที่ตัดพันธะไกลด์โคซิเดชีวะทั่วโลก ไม่เฉพาะ ซึ่งนำตัวมาจัดเป็นสารที่ช่วยรักษาสมดุลօสโมติกและโครงสร้างของเซลล์และโปรตีน (Chinnusamy *et al.*, 2005) จากการทดลองพบว่าเอนไซม์ glucosidase มีกิจกรรมสูงมากที่ใบ แต่ในรากกลับไม่มีกิจกรรมของเอนไซม์เลย ซึ่งให้ผลสอดคล้องกับการวิเคราะห์ปริมาณนำตัวในหม่อน คือพบนำตัวเฉพาะที่บริเวณใบเท่านั้น แสดงให้เห็นว่าหม่อนเลือกใช้กลไกในการรักษาความสมดุลօสโมติกที่ใบ แต่เลือกใช้กลไกการรักษาสมดุล ไออ้อนในราก การสะสมของสาร

compatible solutes จะช่วยรักษาและป้องกันสารที่มีโมเลกุลขนาดใหญ่ไม่ให้มารบกวนการทำงานของเซลล์ (Stewart and Lee, 1974)

จากการวิเคราะห์ปริมาณน้ำตาลในหม่อนพบว่าเมื่อหม่อนรับความเครียดจากเกลือ หม่อนจะมีการสะสมของน้ำตาลไว้ในใบ แต่ไม่สะสมไว้ในราก โดยน้ำตาลที่มีการสะสมเพิ่มขึ้นคือน้ำตาลฟрукโตส แม่นิทอลและกลูโคส ในขณะที่น้ำตาลซูโครามีปริมาณการสะสมน้อยกว่าน้ำตาลชนิดอื่น ซึ่งสอดคล้องกับรายงานในผักคั่นถ่ายฟรัง้ว่าความเครียดจากเกลือสามารถอับยั้งการสังเคราะห์ซูโครส แต่ไม่มีผลต่อเอนไซม์ที่สังเคราะห์แม่นิทอล แต่ในขณะเดียวกันอัตราการใช้แม่นิทอลจะลดลง (Buchana *et al.*, 2002) นอกจากนี้ยังมีรายงานใน umbu (*Spondias tuberosa*) เกี่ยวกับการสะสมของคาร์โบไฮเดรตที่เพิ่มขึ้นในลำต้นถึง 40 % เมื่อได้รับเกลือเข้มข้น 25 มิลลิโมลาร์ ในขณะที่ความเข้มข้นของเกลือที่ 50, 75 และ 100 มิลลิโมลาร์ ไม่มีการเปลี่ยนแปลงส่วนในรากมีการสะสมของคาร์โบไฮเดรตเพิ่มขึ้น 32 % ที่ความเข้มข้นของเกลือที่ 50, 75 และ 100 มิลลิโมลาร์ ในขณะที่ในพบรากการสะสมของคาร์โบไฮเดรตน้อยกว่าคือ 18 % และพบรากการสะสมของกรดอะมิโนในใบลดลงถึง 53 % ที่ความเข้มข้นเกลือ 100 มิลลิโมลาร์ แต่ในลำต้นกลับพบว่ามีการสะสมของกรดอะมิโนเพิ่มขึ้นถึง 110 % ที่ความเข้มข้นของเกลือที่ 75 และ 100 มิลลิโมลาร์ และเมื่อเปรียบเทียบปริมาณระหว่างคาร์โบไฮเดรตกับกรดอะมิโนในใบและรากพบว่ามีการสะสมของคาร์โบไฮเดรตมากกว่ากรดอะมิโน 3 และ 87 เท่า ตามลำดับ (Silva *et al.*, 2008) นอกจากนี้จากการวิเคราะห์ชนิดของน้ำตาลยังพบน้ำตาลชนิดอื่นที่มีไม่ใช่น้ำตาล 4 ชนิดที่ใช้ศึกษาซึ่งมีปริมาณที่สูงมาก ซึ่งอาจเป็นไปได้ว่าหม่อนอาจใช้น้ำตาลชนิดอื่นร่วมด้วยในการรักษาสภาพและแรงดันอสูตริกในเซลล์ด้วย ซึ่งควรจะทำการศึกษาต่อไป

ยืนที่เกี่ยวข้องกับการสร้างสาร osmoprotectants จะถูกควบคุมภายใต้ความเครียดจากเกลือ และความเข้มข้นของการสะสมสาร osmoprotectants มีความสัมพันธ์กับความทนต่อ osmotic stress (Zhu, 2002) จากการตรวจสอบการแสดงออกของยีน P5CS และ P5CR พบว่ามีการแสดงออกของยีน P5CS เพิ่มขึ้น ในขณะที่ยีน P5CR มีการแสดงออกที่ลดลงในบางช่วงเวลา ซึ่งสอดคล้องกับรายงานของ Kishor *et al.* (1995) ซึ่งทำการถ่ายยีน P5CS ลงในต้นยาสูบว่าทำให้มีการแสดง free proline เพิ่มขึ้นอย่างรวดเร็ว การที่ยีน P5CR ลดลงเป็นไปได้ว่าหม่อนอาจเลือกกลไกอีกอย่างในการผลิตโปรลีนคือผลิตจาก ornithine ดังภาพที่ 5 นอกจากนี้ยังมีหลักฐานว่า free proline จะไปยับยั้งยีน P5CS (Roosens *et al.*, 2000) และมีรายงานการศึกษาเกี่ยวกับการสะสมของ free proline และเอนไซม์ P5CR, proline oxidase และ proline dehydrogenase (PDH) ในหม่อน (*M. alba*) พันธุ์ทัน

เค็มกับพันธุ์ไม่ทนเค็มพบว่าพันธุ์ที่ทนเค็มจะมีการผลิต free proline เพิ่มมากกว่าพันธุ์ไม่ทนเค็ม และกิจกรรมของเอนไซม์ P5CR ที่เพิ่มขึ้นตามความเข้มข้นของเกลือที่สูงขึ้นด้วยเห็นเดียวกัน ในขณะที่กิจกรรมของเอนไซม์ proline oxidase และ PDH ซึ่งเป็นเอนไซม์ที่สลาย proline จะถูกขับยิ่ง (Kumar *et al.*, 2003)

การแสดงออกของยีน FBP ในหม่อนที่ได้รับเกลือความเข้มข้น 500 มิลลิโมลาร์ลดลงจากในช่วงวันแรก ซึ่งสอดคล้องกับปริมาณน้ำตาลฟрукโตสที่เพิ่มขึ้น เนื่องจากการแสดงออกของยีนที่ลดลงส่งผลให้ไม่มีการสังเคราะห์เอนไซม์ fructose 1, 6-bisphosphatase ซึ่งเป็นเอนไซม์ที่เปลี่ยนน้ำตาลฟruktoสไปเป็นกลูโคส

การแสดงออกของยีนเลคตินในการตอบสนองต่อความเครียดจากเกลือพบว่าต้นหม่อนที่ได้รับความเครียดจากเกลือเข้มข้น 500 มิลลิโมลาร์ มีการแสดงออกลดลงในช่วงวันที่ 3-7 ในขณะที่หม่อนที่ได้รับเกลือความเข้มข้น 300 มิลลิโมลาร์ มีการแสดงออกของยีนลดลงในครั้งช้าไว้กว่า และช้าโวโมงที่ 12 จากภาพที่ 21 พบว่าเมื่อเพิ่มความเข้มข้นของเกลือให้สูงขึ้นที่ระดับหนึ่งยีนเลคตินจะถูกขับยิ่งการทำงาน เช่นเดียวกับถัวเหลืองที่กำลังออกเมื่อวิเคราะห์ชนิดและปริมาณของโปรตีนที่เพิ่มขึ้นและลดลงเมื่อถัวเหลืองได้รับความเครียดจากเกลือ โดยพบว่ามีการสะสมเลคตินน้อยลง และเป็นไปได้ว่าไกลิโคโปรตีนที่เป็นสารตั้งต้นจะถูกนำไปใช้ในการซ่อมแซมเนื้อร่วนที่เสียหายจากความเครียดที่ได้รับจากเกลือ (Aghaei *et al.*, 2008) โดยคาดว่าเลคตินมีบทบาทสำคัญในระบบป้องกันตัวของพืช และสามารถต่อต้านการรุกรานของสิ่งแปรปรวนได้ (Peumans *et al.*, 1995)

ส่วนยีน Inv, ManD, LEA และ BADH ไม่สามารถเพิ่มปริมาณในหลอดทดลองได้ ซึ่งอาจมีสาเหตุมาจากไพรเมอร์ที่ใช้ในการออกแบบเป็นพืชชนิดอื่นที่ไม่ใช่หม่อน เนื่องจากในหม่อนยังไม่มีรายงานเกี่ยวกับยีนเหล่านี้ ดังนั้นจึงเป็นไปได้ว่าลำดับเบสของไพรเมอร์อาจจะไม่เหมาะสมกับหม่อน หรือตัวอย่างหม่อนที่เลือกใช้ทดสอบที่เลือกความเข้มข้นของเกลือ 300 และ 500 มิลลิโมลาร์ นั้นอาจไม่เหมาะสมกับการแสดงออกของยีนนี้ เช่นเดียวกับยีนเลคติน ซึ่งควรจะทำการศึกษาต่อไป

## สรุปและข้อเสนอแนะ

### สรุป

1. การหาสูตรอาหารที่เหมาะสมในการเพาะเลี้ยงเนื้อเยื่อหม่อนเพื่อบาധพันธุ์หม่อนในอาหารแข็งสูตร MS ในสภาวะที่มีแสง 16 ชั่วโมง ( $150 \mu\text{mol m}^{-2} \text{s}^{-1}$ ) อุณหภูมิ  $25^\circ\text{C}$  ความชื้นสัมพัทธ์ 70-80 % ใช้น้ำตาล 3 % ฮอร์โมน BAP 1.0 มิลลิกรัมต่อลิตร และวุ่น 0.8 % นอกจากนี้ยังสามารถใช้น้ำตาลยี่ห้อมิตรผลหรือน้ำตาลทรายทั่วไปแทนน้ำตาลซูโคสได้ โดยน้ำตาลยี่ห้อมิตรผลทำให้หม่อนมีการเจริญเติบโตที่ไม่แตกต่างจากน้ำตาลซูโครสมากนัก

2. การศึกษากลไกในการตอบสนองต่อความเครียดจากเกลือในหม่อนน้อย (*Morus rotundifolia*) โดยใช้เทคนิคการเพาะเลี้ยงเนื้อเยื่อ ทำการเพาะเลี้ยงในอาหารแข็งสูตร MS ในขวดขนาด 120 มิลลิลิตร นาน 2 สัปดาห์ จำนวนจึงขึ้นมาเลี้ยงในอาหารเหลวที่มีเวอร์มิคูล่าイトที่เป็นวัสดุค้ำจุน 1 สัปดาห์ จึงติดเกลือโซเดียมคลอไรด์ที่ความเข้มข้น 0, 100, 300, 500 และ 600 มิลลิโมลาร์ นาน 1 สัปดาห์ แล้วเก็บตัวอย่างใบและราก มาทำการวิเคราะห์กิจกรรมของเอนไซม์ น้ำตาลและการแสดงออกของยีนในระดับ RNA

2.1 การวิเคราะห์กิจกรรมของเอนไซม์ที่เกี่ยวข้องกับกลไกการทนเค็ม พบว่าที่ความเข้มข้นเกลือ 300 และ 500 มิลลิโมลาร์ มีกิจกรรมของเอนไซม์ peroxidases, glucosidase, glutathione-S-transferase และ ATPases สูงกว่าในชุดควบคุมในขณะที่ความเข้มข้น 100 และ 600 มิลลิโมลาร์ มีกิจกรรมของเอนไซม์เหล่านี้ใกล้เคียงกับชุดควบคุมทั้งในใบและราก ดังนั้นหม่อนจะใช้การสังเคราะห์เอนไซม์ที่ต่อต้านการออกซิไดซ์ (peroxidase) เพื่อกำจัดไฮโดรเจนเปอร์ออกไซด์ที่เป็นพิษต่อเซลล์ และใช้กลไกการกำจัดสารพิษโดยใช้การเชื่อมต่อสารพิษเข้ากับ glutathione เพื่อขับส่งออกนอกเซลล์หรือเก็บไว้ในแวร์คิวโอลต่อไปทั้งในใบและราก ในขณะที่หม่อนใช้กลไกในการปั๊มไอออนที่มากเกินออกจากเซลล์ด้วยโปรตีน ATPase ที่บริเวณรากที่เป็นบริเวณที่มีการสัมผัสกับไอออนของเกลือโดยตรง

2.2 การวิเคราะห์น้ำตาลซึ่งเป็นสาร osmoprotectants ในหม่อนเมื่อได้รับความเครียดจากเกลือ พบว่าหม่อนจะสะสมน้ำตาลมากกว่าในชุดควบคุม ซึ่งพบเฉพาะในใบ น้ำตาลที่พับได้แก่น้ำตาลฟรุกโตส แม่นนิทอล กลูโคส ซูโครสและน้ำตาลอื่นอีกอย่างน้อยหนึ่งชนิด และปริมาณน้ำตาลกลูโคสที่เพิ่มขึ้นสอดคล้องกับกิจกรรมของเอนไซม์ glucosidase ที่พบสูงขึ้นเฉพาะในใบแสดงว่าในหม่อนจะมีกลไกในการรักษาสมดุลօออสมติกและรักษาสภาพเซลล์โดยการสร้างน้ำตาล

2.3 การศึกษาการแสดงออกของยีนเลกตินในใบหม่อนโดยใช้ตัวอย่างที่ได้รับเกลือเพิ่มขึ้น 0 – 500 มิลลิโมลาร์และยืนที่เกี่ยวข้องกับกลไกการทนเค็มในระดับ RNA โดยเดือกไวเคราะห์เฉพาะตัวอย่างที่ได้รับเกลือที่ความเข้มข้น 300 และ 500 มิลลิโมลาร์

2.3.1 การแสดงออกของยีนเลกตินในใบหม่อน พบว่ายีนเลกตินในใบมีการแสดงออกเพิ่มขึ้นเมื่อได้รับเกลือเพิ่มขึ้น 50 มิลลิโมลาร์ ในเวลา 2 วัน จากนั้นเมื่อเพิ่มความเข้มข้นเกลือให้สูงขึ้นพบว่าการแสดงออกของยีนลดลง

2.3.2 การแสดงออกของยีนที่เกี่ยวข้องกับกลไกการสังเคราะห์น้ำตาลและสาร osmoprotectant พบว่า fructose 1,6-bisphosphatase gene (FBP) ที่ความเข้มข้นเกลือ 500 มิลลิโมลาร์มีการแสดงออกลดลงเมื่อเวลาเพิ่มขึ้นเมื่อเทียบกับชุดควบคุม ในขณะที่ไม่สามารถเพิ่มปริมาณ invertase gene (Inv), D-manitol dehydrogenase gene (ManD) และ betain aldehyde dehydrogenase gene (BADH) ในหลอดทดลองได้

2.3.3 การแสดงออกของยีนที่เกี่ยวข้องกับเมแทบอลิซึมของโพร์ลีนพบว่า pyrroline-5-carboxylase synthetase gene (P5CS) มีการแสดงออกเพิ่มขึ้น ในขณะที่ pyrroline-5-carboxylase reductase gene (P5CR) มีการแสดงออกลดลงเมื่อเทียบกับชุดควบคุม

2.3.4 การแสดงออกของยีนที่เกี่ยวข้องยืนที่มีการตอบสนองต่อความเครียดจากเกลือ พบว่าไม่สามารถเพิ่มปริมาณ putative late-embryogenesis-abundant (LEA) gene ในหลอดทดลองได้

### ข้อเสนอแนะ

ในการศึกษากลไกการปรับตัวของพืชเพื่อให้สามารถเข้ากับการเปลี่ยนแปลงของสิ่งแวดล้อมที่เกิดจากความเค็มจากเกลือ โดยการใช้เกลือเพียงชนิดเดียว ( $\text{NaCl}$ ) เป็นตัวแทนเกลือจากรัฐชาติ อาจให้ผลการทดลองที่แตกต่างไปจากการทดลองในพื้นที่จริง เพราะในความเป็นจริงแล้วดินเค็มในธรรมชาติจะมีไอออนของเกลือผสมรวมกันอยู่หลายชนิด ไม่ได้มีเพียงเกลือชนิดใดชนิดหนึ่งเท่านั้น (Niazi *et al.*, 2004) การศึกษากลไกในการปรับตัวของพืชที่เกิดขึ้นจากความเครียดในพื้นที่จริงอาจทำได้ยากเนื่องจากไม่สามารถควบคุมปัจจัยอื่นที่อาจส่งผลกระทบต่อตัวแปรที่ต้องการได้ แต่วิธีการหนึ่งที่อาจแก้ปัญหานี้ได้คือการใช้ดินจากพื้นที่จริงมาทำการทดลองในห้องปฏิบัติการที่สามารถควบคุมปัจจัยทางกายภาพได้

นอกจากนี้ควรมีการคัดเลือกพันธุ์หม่อนทนเค็ม เพื่อหาโปรตีนที่เกี่ยวข้องกับการทนเค็ม รวมถึงการพัฒนาเครื่องหมายโมเลกุลเพื่อใช้ในการตรวจสอบความทนเค็มของหม่อนด้วย

## เอกสารและสิ่งอ้างอิง

กคุมสื่อส่งเสริมการเกษตร ส่วนส่งเสริมการเกษตร ม.ป.ป. พืชทนเค็มและการปรับปรุงดินเค็ม.  
ฝ่ายโ Rodrพิมพ์ สำนักพัฒนาการถ่ายทอดเทคโนโลยี กรมส่งเสริมการเกษตร, กรุงเทพฯ.

สมศรี อรุณินท์. 2539. คินเค็มในประเทศไทย. กรมพัฒนาที่ดิน กระทรวงเกษตรและสหกรณ์,  
กรุงเทพฯ.

สมโพธิ อัครพันธุ์, สังรักษ์ เติงรัตนประเสริฐ และ บริชา แต่งพิว. 2539. เอกสารแนะนำ การปลูก  
หม่อนเลี้ยงใหม่. สถานีทดลองหม่อนใหม่ อุบลราชธานี, สถาบันวิจัยหม่อนใหม่, กรม  
วิชาการเกษตร, กระทรวงเกษตรและสหกรณ์. กรุงเทพฯ.

เสานีย์ ธรรมสอดี. 2545. การทดลองการผลิตเอนไซม์จากจุลินทรีย์. สถาบันวิจัยและพัฒนา  
วิทยาศาสตร์และเทคโนโลยีมหาวิทยาลัยมหิดล. โ Rodrพิมพ์สถาบันพัฒนาสาขาวิชานสุข  
อาเซียน, นครปฐม.

Ashraf, M. and P.J.C. Harris. 2004. Potential biochemical indicators of salinity tolerance in  
plants. **Plant Sci.** 166: 3-16.

Ayala, F., M. Ashraf and W. O'Leary. 1997. Plasma membrane H<sup>+</sup>-ATPase activity in salt-  
tolerant and salt-sensitive lines of spring wheat (*Triticum aestivum* L.). **Acta. Bot. Neerl.** 46: 315-324.

Barbieri, L., GB. Batelli and F. Stirpe. 1993. Ribosome-inactivating proteins from plants.  
**Biochem. Biophys Acta.** 1154: 237-282.

Bourne, Y., V. Zamboni, A. Barre, W.J. Peumans, E.J.M. Van Damme and P. Rouge. 1999.  
*Helianthus tuberosus* lectin reveals a widespread scaffold for mannose-binding lectins.  
**Structure** 7: 1473-482.

Buchana, B.B., W. Gruisse and R.L. Jones. 2002. **Biochemistry and Molecular Biology of plants.** 4<sup>th</sup> ed. Courier Companies, Inc., Maryland.

Caponetti, J.D., D.J. Gray and R.N. Trigioana. 1996. History of plant tissue and cell culture, pp. 3-8. In D.J. Gray and R.N. Trigioana, eds. **Plant Tissue Culture Concepts and Laboratory Exercise.** CRC Press, Inc. New York.

Chen, T.H.H., N. Murata. 2000. Enhancement of tolerance of abiotic stress by metabolic engineering of betaines and other compatible solutes. **Curr. Opin. Plant Biol.** 5: 250-257.

Chinnusamy, V., A. Jagendorf and J.K. Zhu. 2005. Understanding and improving salt tolerance in plants. **Crop Sci.** 45: 437-448.

Chinchiem, J. 1975. On the chemical composition of mulberry leaves in Thailand. **Bul. Thai Seri. Res. Train.** Center Korat, Thailand. 5: 30-31.

Chingkitti, N., A. Promboon, S. Ratanapo. 2006. Mulberry leaf lectin gene: Intron and specific primer development, pp. 507-512. **The Proceedings of 44<sup>th</sup> Kasetsart University Annual Conference (Subject: Science).** Kasetsart University, Bangkok.

Chrispeels, M.J. and N. V. Raikhel. 1991. Lectins, lectin genes, and their role in plant defense. **Plant Cell** 3: 1-9.

Ciopraga, J., O. Gozia, R. Tudor, L. Brezuica and R. J. Doyle. 1999. *Fusarium* sp. growth inhibitor by wheat germ agglutinin. **Biochem. Biophy. Acta.** 1428: 424-432.

Crowe, J.H., L.M. Crowe and J.F. Carpenter. 1993. Preserving dry biomaterials: the water replacement hypothesis. **Biopharm.** 6: 40-43.

- Delauney, A.J. and D.P.S. Verma. 1993. Proline biosynthesis and osmoregulation in plants. **Plant J.** 4: 215-223.
- Dionisiosese, M.L. and S. Tobita. 1998. Antioxidant response of rice seedlings to salinity stress. **Plant Sci.** 135: 1-9.
- Does, M.P., P.M. Houterman, H. L. Dekker and Ben J.C. Cornelissen. 1999. Processing, targeting, and antifungal activity of stinging nettle agglutinin in transgenic tobacco. **Plant Physiol.** 120: 421-431.
- Dupont, F.M. 1992. Salt induced changes in ion transport: regulation of primary pumps and secondary transporters, pp. 91-100. In D.T. Cooke and D.T. Clarkson, eds. **Transport and Receptor Proteins of Plant Membranes, Molecular Structure and Function.** Plenum Press, New York.
- Flowers, P., F. Troke and A.R. Yeo. 1977. The mechanism of salt tolerance in halophytes. **Annu. Rev. Plant Physiol.** 28: 89-121.
- \_\_\_\_\_, T.J. 2004. Improving crop salt tolerance. **J. Exp. Bot.** 55 : 307-319.
- Foyer, C. and B. Halliwell. 1976. The presence of glutathione and glutathione reductase in chloroplasts: a proposed role in ascorbic acid metabolism. **Planta** 133: 21-25.
- Goncalo, A., S. Filho, B.S. Ferreira, J.M. Dias, K.S. Queiroz, A.T. Branco, R.E. Bressan-Smith, J.G. Oliveira and A.B. Garcia. 2003. Accumulation of SALT protein in rice plants as a response to environmental stresses. **Plant. Sci.** 164: 623-628.
- Harinasut, P., D. Poonsapa, S. Srisunak, S. Pitukchaisopol and R. Charoensataporn 2000. Mechanisms of adaptation to increasing salinity of mulberry: Proline content and ascorbate peroxidase activity in leaves of multiple shoots. **Sci. Asia** 26: 207-211.

- \_\_\_\_\_, D. Poonsapa, K. Roengmonkol and R. Charoensataporn. 2003. Salinity effects on antioxidant enzymes in mulberry cultivar. **Sci. Asia** 29: 109-113.
- Hirano, K., T. Teraoka, H. Yamanaka, A. Harashima, A. Kumisaki, H. Takahashi and D. Hosokawa. 2000. Novel mannose-binding rice lectin composed of some isolectins and its relation to a stressinducible saltT gene. **Plant Cell Physiol.** 41: 258-267.
- Getsang, T., K. Choowongkomon, A. Promboon and S. Ratanapo. 2006. Three dimensional structure of mulberry leaf lectin, pp. 513-519. **The Proceedings of 44<sup>th</sup> Kasetsart University Annual Conference (Subject: Science).** Kasetsart University, Bangkok.
- Getsang, T. 2007. **Expression of Recombinant Mulberry Leaf Lectin in Bacterial Host and Computational Structure Analysis.** M.D. thesis, Kasetsart university.
- Giridarakumer, S., A. Lakshmi, K.V. Madhusudhan, S. Ramanjulu and C. Sudhakar. 1999. Photosynthesis parameters In two cultivars of mulberry differing in salt tolerance. **Photosynthica.** 36: 611-616.
- Goldstein, I.J., and R.D. Poretz. 1986. Isolation, Physicochemical Characterization, and Carbohydrate-Binding Specificity of Lectins, pp. 33-327. In I.E. Liener, N. Sharon and I.J. Goldstein, eds. **The Lectins: Properties Functions and Applications.** Biology and Medicine Academic Press, Orlando.
- Halliwell, B. and J.M.C. Gutteridge. 1986. Oxigen free radicals and iron in relation to biology and medicine: some problems and concepts. **Arch. Biochem.Biophys.** 246: 501-514.
- Hideki, N., T. Horie, I. Yonamine, A. Shinmyo and K. Yoshida1. 2005. Improving salt tolerance in plant cells. **Plant Biotechnol.** 22: 477–487.

Hirayama, C., K. Konno, N. Wasano, M. Nakamura. 2007. Differential effects of sugar-mimic alkaloids in Mulberry latex on sugar metabolism and disaccharidases of eri and domesticated silkworm: enzymatic adaptation of *Bombyx mori* to mulberry defense. **Insect Biochem. Mol. Biol.** 37: 1348-1358.

Hirt, H. 2004. Introduction, pp. 1-8. In H. Hirt and K. Shinozaki, eds. **Plant Responses to Abiotic Stress.** Springer Verlag, Berlin.

Hopkins, W.G. 1999. **Introduction to Plant Physiology.** 2<sup>nd</sup> ed. John Wiley & Sons, Inc. New York.

Hossain, M.A., S.M. Rafiqul Islam and N. Absar. 2004. Purification and characterization of lectins from mulberry seeds (*Morus alba* L.). **Pak. J. Biol. Sci.** 7: 1808-1813.

Hussain, T.M., T. Chandrasekhar, M. Hazara, Z. Sultan, B.K. Saleh and G.R. Gopal. 2008. Recent advances in salt stress biology: a review. **Biotechnol. Mol. Biol. Rev.** 3: 8-13.

Itoi, S. and L. Boonnab. 1974. Root rot of mulberry in Thailand: Symptoms and varietal resistance of mulberry. **Bul. Thai Seri. Res. Train.** Center Korat, Thailand. 4: 104-109.

Iwata, E. 1972. Survey on practical characters of Thai varieties of mulberry. **Bul. Thai Seri. Res. Train.** Center Korat, Thailand. 2: 16.

Kalampanayil, B.D. and L.E. Wimmers, 2001. Identification and characterization of a salt-stress-induced plasma membrane H<sup>+</sup>-ATPase in tomato. **Plant Cell Environ.** 24: 999-1005.

Kankamol, C. 2003. **Molecular Cloning and Expression of Mulberry Leaf Lectin (MLL) Genes.** Ph.D. thesis, Kasetsart university.

- Kishor, P.B.K., Z. Hong, G.H. Mial, C.A.A. Hu and D.P.S. Verma. 1995. Overexpression of 1-pyrroline-5-carboxylate synthetase increases proline production and confers osmoprotolerance in transgenic plants. **Plant Physiol.** 108: 1387-1394.
- Kumar, S.G., A.M. Reddy and C. Sudhakar. 2003. NaCl effects on proline metabolism in two high yielding genotypes of mulberry (*Morus alba* L.) with contrasting salt tolerance. **Plant Sci.** 165: 1245-1251.
- Lanka, S. 2001. Agrarian Reforms and Agricultural Productivity. In Chaudhry, M.G. ed. **Report of the APO Study Meeting on Agrarian Reforms and Agricultural Productivity.** Pakistan Institute of Development Economics, Islamabad, Pakistan.
- Larcher, W. 2003. **Physiological Plant Ecology: Ecophysiology and Stress Physiology of Functional Groups** (translated from German). 4<sup>th</sup> ed. Springer Verlag, Berlin.
- Leaver, M.J., D.J. Clarke and S.G. George. 1992. Molecular studies of the phase II xenobiotic conjugative enzymes of marine Pleuronectid flatfish. **Aquat. Toxicol.** 22: 265–278.
- Low, R., B. Rockel, M. Kirsch, R. Ratajczak, S. Hortensteiner, E. Martinoia, U. Lüttge and T. Rausch. 1996. Early Salt Stress Effects on the Differential Expression of Vacuolar H<sup>+</sup>-ATPase Genes in Roots and Leaves of *Mesembryanthemum crystallinum*. **Plant Physiol.** 110: 259-265.
- Lowry, O.H., N.J. Rosebrough, A.L. Farr and R.J. Randall. 1951. Protein measurement with the folin phenol reagent. **J. Biol. Chem.** 193:265–275.
- Lyman, E.S., L. Bin and V. Renganathan. 1995. Purification and characterization of a cellulose-binding β-Glucosidase from cellulose-degrading cultures of *Phanerochaete chrysosporium*. **Appl. Environ. Microbiol.** 61:2976-2980.

Maji, M.D. and S.M.H. Qadri. 1999. Bacterial disease of mulberry (*Morus* sp.). **Sericologia** 39 : 1-7.

Mahuren, J.D., S.P. Coburn, A. Slominski and J. Wortsman. 2001. Microassay of phosphate provides a general method for measuring the activity of phosphatases using physiological, nonchromogenic substrates such as lysophosphatidic acid. **Anal. Biochem.** 298: 241-245.

Mannervik, B. and C. Gutenberg. 1981. Glutathione transferase (Human placenta). **Methods Enzymol.** 77: 231–235.

Murashige, T. and F. Skoog. 1962. A revised medium for rapid growth and bioassay with tobacco tissue culture. **Physiol. Plant.** 15: 473-497.

Murdock, L.L., J.E. Huesing, S.S. Nielsen, R.C. Parl and R.E. Shade. 1990. Biological effect of plant lectins on the *Cowpea weevil*. **Phytochemistry** 29: 85-89.

Nakano, Y., and K. Asada. 1981. Hydrogen peroxide is scavenged by ascorbate-specific peroxidase in spinach chloroplasts. **Plant Cell Physiol.** 22: 867–880.

Niazi, B.H., M. Athar and J. Rozema. 2004. Salt tolerance in fodderbeet and seabeet: analysis of biochemical relations. **Bulg. J. Plant Physiol.** 30 : 78-88.

Parida, A.K. and A.B. Das. 2005. Salt tolerance and salinity effects on plants. **Ecotoxicol. Environ. Saf.** 60 : 324-349.

Peumans, W.J. and E.J.M. Van Damme. 1995. Lectins as plant defense proteins. **Plant Physiol.** 109: 347-352.

- \_\_\_\_\_, B. Hause and E.J.M. Van Damme. 2000. The galactose-binding and mannose-binding jacalin-related lectins are located in different sub-cellular compartments. **FEBS Lett.** 477: 186-192.
- \_\_\_\_\_, W. Zhang, A. Barre, C. Houles Astoul, P. J. Balint-Kurti, P. Rovira, P. Rouge, G. D. May, F. V. Leuven P. Truffa-Bachi and E.J.M. Van Damme. 2000. Fruit-specific lectin from banana and plantain. **Planta** 211: 546-554.
- Pusztai, A., S.W.B. Ewen, G. Grant, W.J. Peumans, E.J.M. Van Damme, L. Rubio and S. Bardocz. 1990. The relationship between survival and binding of plant lectins during small intestine passage and their effectiveness as growth factors. **Digestion** 46: 308-316.
- Raikhel, NV., HI. Lee and WF. Broekaert. 1993. Structure and of chitin binding proteins. **Ann. Rev. Plant Physiol. Plant Mol. Biol.** 44: 591-615.
- Ratanachata, S. 1972. Some varietal characters of mulberries in Thailand. **Bul. Thai Seri. Res. Train.** Center Korat, Thailand. 4: 33-42.
- Ratanapo, S., W. Ngamjunyaporn and M. Chulavatnatol. 1998. Sialic acid binding lectins from leaf of mulberry (*Morus alba*). **Plant Sci.** 139: 141-148.
- \_\_\_\_\_, \_\_\_\_\_ and \_\_\_\_\_. 2001. Interaction of a mulberry leaf lectin with a phytopathogenic bacterium, *P. syringae* pv *mori*. **Plant Sci.** 160: 739-744.
- \_\_\_\_\_, Y. Thawalvichit and A. Promboon. 2005. Inhibitory effects of mulberry leaf lectins to silkworm proteases. **Kasetsart J. (Nat. Sci.)** 39: 125-135.
- Roosens, N.H., R. Willem, Y. Li, I.I. Verbruggen, M. Biesemans and M. Jacobs. 2000. Proline metabolism in the wild-type and in a salt tolerant mutant of *Nicotiana plumbaginifolia* studied by  $(13)^C$ -nuclear magnetic resonance imagine. **Plant Physiol.** 121: 1281-1290.

Rinderle, S.J., I.J. Goldstein, K.L. Matta and R.M. Ratcliffe. 1989. Isolation and characterization of amaranthin, a lectin present in the seeds of *Amaranthus caudatus*, that recognizes the T- (or cryptic T)-abtigen. **J. Biol. Chem.** 264: 16123-16131.

Sagerstrom, C.S. and H.L. Sive. 1996. RNA Blot Analysis, pp. 83-103. In P.A. Krieg, ed. **A Laboratory Guide to RNA : Isolation, Analysis, and Synthesis**. John Wiley & Sons, Inc., Publication, New York.

Sairam, R. K. and A. Tyagi. 2004. Physiology and molecular biology of salinity stress tolerance in plants. **Curr. Sci.** 86: 407-421.

Sastry, M.V.K., P. Banerjee, S.R. Patanjali, G.V. Swarnalatha and A. Surolia. 1986. Analysis of the saccharide binding to *Artocarpus integrifolia* lectin reveals specific recognition of T-antigen ( $\beta$ -D-Gal (1,3) D-GalNAc). **J. Biol. Chem.** 210: 970-978.

Shimizu, T., M. Yasawa and N.Takeda. 1992. Aromatic amino acids in the leaves of *Morus alba* and their possible medicinal value. **Sericologia**. 32: 633-636.

Sharon, N. and H. Lis. 1990. Legume lectins – a large family of homologous proteins. **FASEB J.** 4: 3198-3208.

Silva, E.C., R.J.M.C. Nogueira, F.P. Araujo, N.F. Melo and A.D.A. Neto. 2008. Physiological responses to salt stress in young umbu plants. **Environ. Exp. Bot.** 63: 147-157.

Stewart, G.R. and J.A. Lee. 1974. The role of proline accumulation in halophytes. **Planta** 120: 279-289.

Subnis, D.D. and J.W. Hart. 1978. The isolation and some properties of a lectin (haemagglutinin) from Cucurbita phloem exudates. **Planta** 142: 97-101.

Sudhakar, C., A. Lakshmi and S. Giridarakumar. 2001. Changes in the antioxidant enzyme efficacy in two high yielding genotypes of mulberry (*Morus alba* L.) under NaCl salinity. **Plant Sci.** 161: 613-619.

Taiz, L. and E. Zeiger. 1991. **Plant Physiology.** The Benjamin / Cummings Publishing Company, Inc., California.

Tewary, P.K., A. Sharma, M.K. Raghunath and A. Sarkar. 2000. In vitro response of promising mulberry (*Morus* sp.) genotypes for tolerance to salt and osmotic stress. **Plant Growth Regul.** 30: 17-21.

Tsong,-A.Y., S.D. Yeh, Y.H. Cheng and J.S. Yang. 2000. Efficient rooting for establishment of papaya plantlets by micropropagation. **Plant Cell** 61: 29-35.

Turhan, E., H. Gulen and A. Eris. 2008. The activity of antioxidative enzymes in three strawberry cultivars related to salt-stress tolerance. **Acta. Physiol. Plant** 30: 201–208.

United State Salinity Laboratory Staff. 1954. **Diagnosis and Improvement of Saline and Alkali Soil.** U.S. Dep. Agr., New York.

Van Damme, E.J.M., K. Smith and W.J. Peumans. 1995. The Mannose-Binding Monocot Lectins and Their Genes, pp. 59-80. In A. Pusztai and S. Bardocz, eds. **Lectins Biomedical Perspectives.** Taylor and Francis, Inc., London.

\_\_\_\_\_, A. Barre, P.Verhaert, P.Rouge and W.J. Peumans. 1996. Molecular cloning of the mitogenic mannose/maltose-specific rhizome lectin from *Calystegia sepium*. **FEBS Lett.** 397: 352-356.

- \_\_\_\_\_, \_\_\_\_, A.M. Mazard, P. Verhaert, A. Horman, H. Debray, P. Rouge and W.J. Peumans. 1999. Characterization and molecular cloning of the lectin from *Helianthus tuberosus*. **Eur. J. Biochem.** 259: 135-142.
- \_\_\_\_\_, B. Hause, J. Hu, A. Barre, P. Rouge, P. Proost and W.J. Peumans. 2002. Two distinct jacalin-related lectins with a different specificity and subcellular location are major vegetative storage proteins in the bark of the black mulberry tree. **Plant Physiol.** 130: 757-769.
- \_\_\_\_\_, A. Barre, P. Rouge and W.J. Peumans. 2004. Cytoplasmic/nuclear plant lectins: a new story. **Trends Plant Sci.** 9: 484-489.
- Vijayan, K., S.P. Chakraborti and P.D. Ghosh. 2003. In vitro screening of mulberry (*Morus spp.*) for salinity tolerance. **Plant Cell Rep.** 22: 350-357.
- Williams, R.J. and A.C. Leopold. 1989. The glassy state in corn embryos. **Plant Physiol.** 89: 977-981.
- Wilson, C.W., P.E., Shaw and C.W., Campbell. 1982. Determination of organic acid and sugars in guava (*Psidium guajava L.*) cultivars by high-performance liquid chromatography. **J. Sci. Food Agric.** 33: 777-780.
- Yancey, P.H., M.E. Clark, S.C. Hand, R.D. Bowlus and G.N. Somero. 1982. Living with water stress: evolution of osmolyte system. **Science** 217: 1214-1222.
- Yang, H. and T.H. Czapla. 1993. Isolation and characterization of cDNA clones encoding jacalin isolectins. **J. Biol. Chem.** 268: 5905-5910.

Zhang, W., W.J. Peumans, A. Barre, C.H. Astoul, P. Rovira, P. Rouge, P. Proost, P. Truffa-Bachi, A.A. Jalali and E.J. Van Damme. 2000. Isolation and characterization of a jacalin-related mannose binding lectin from salt-stressed rice (*Oryza sativa*) plants. **Planta** 210: 970-978.

Zhu, J.K. 2002. Salt and drought stress signal transduction in plants. **Annu. Rev. Plant Biol.** 53: 247-273.

### ภาคผนวก

**ภาคผนวก ก**  
**การเตรียมอาหารเพาะเลี้ยงเนื้อเยื่อและสารเคมี**

1. การเตรียมอาหารสูตร MS medium agar (Murashige and Skoog, 1962)

Stock	สารเคมี	ปริมาณ	ปริมาตรที่ใช้
		(กรัมต่อลิตร)	(มิลลิลิตรต่อลิตร)
1	Ammonium nitrate ( $\text{NH}_4\text{NO}_3$ )	16.50	100
	Potassium nitrate ( $\text{KNO}_3$ )	19.00	
	Calcium chloride ( $\text{CaCl}_2 \cdot 2\text{H}_2\text{O}$ )	4.40	
	Magnesium sulfate ( $\text{MgSO}_4 \cdot 7\text{H}_2\text{O}$ )	3.70	
	Potassium dihydrogen orthophosphate ( $\text{KH}_2\text{PO}_4$ )	1.70	
2	Manganese(II)sulfate ( $\text{MnSO}_4 \cdot \text{H}_2\text{O}$ )	1.69	10
	Zinc sulfate ( $\text{ZnSO}_4 \cdot 7\text{H}_2\text{O}$ )	0.86	
	Boric acid ( $\text{H}_3\text{BO}_3$ )	0.62	
3	Cobalt(II)chloride ( $\text{CoCl}_2 \cdot 6\text{H}_2\text{O}$ )	0.0125	2
	Potassium iodide (KI)	0.4150	
	Copper(II)sulfate ( $\text{CuSO}_4 \cdot 5\text{H}_2\text{O}$ )	0.0125	
	Sodium molybdate ( $\text{Na}_2\text{MoO}_4 \cdot 2\text{H}_2\text{O}$ )	0.1250	
4	Disodium ethylenediamine tetraacetic acid ( $\text{Na}_2\text{EDTA} \cdot 2\text{H}_2\text{O}$ )	7.45	5
	Iron(II)sulfate $\text{FeSO}_4 \cdot 7\text{H}_2\text{O}$	5.57	
	Nicotinic acid	0.20	10
	Pyridoxine hydrochloride	10.00	10
	Glycine	0.05	10
	Myo-inositol	0.05	10
	Thiamine hydrochloride	0.10	1
	6-Benzylaminopurine (BAP)	0.10	1
	Sucrose	30	-
	Agar	8	-

## 2. การเตรียมสารละลายน้ำฟเฟอร์

### 2.1 การเตรียม 0.2 M acetate buffer, pH 5

สารละลาย A : 0.2 M acetic acid ( $\text{CH}_3\text{COOH}$ )

ปีเปตต์  $\text{CH}_3\text{COOH}$  11.55 มิลลิลิตร ในน้ำกลั่น 1,000 มิลลิลิตร

สารละลาย B : 0.2 M sodium acetate ( $\text{CH}_3\text{COONa}$ )

ชั่ง  $\text{CH}_3\text{COONa}$  16.4 กรัม ในน้ำกลั่น 1,000 มิลลิลิตร

ค่อยๆ เติมสารละลาย B ลงในสารละลาย A ที่ละน้อยผสมให้เข้ากัน

และวัด pH ของสารละลายผสมไปเรื่อยๆ จนได้ pH 5 ด้วย pH meter

### 2.2 การเตรียม 0.2 M phosphate buffer, pH 7

สารละลาย A: 0.2 M monobasic sodium phosphate ( $\text{NaH}_2\text{PO}_4 \cdot 2\text{H}_2\text{O}$ )

ชั่ง  $\text{NaH}_2\text{PO}_4 \cdot 2\text{H}_2\text{O}$  31.2 กรัม ในน้ำกลั่น 1,000 มิลลิลิตร

สารละลาย B: 0.2 M dibasic sodium phosphate ( $\text{Na}_2\text{HPO}_4 \cdot 7\text{H}_2\text{O}$ )

ชั่ง  $\text{Na}_2\text{HPO}_4 \cdot 7\text{H}_2\text{O}$  53.65 กรัม ในน้ำกลั่น 1,000 มิลลิลิตร

ค่อยๆ เติมสารละลาย B ลงในสารละลาย A ที่ละน้อยผสมให้เข้ากัน

และวัด pH ของสารละลายผสมไปเรื่อยๆ จนได้ pH 7 ด้วย pH meter

### 2.3 การเตรียม 0.1 M Tris-HCl buffer, pH 6.5

สารละลาย A: 0.1 M Tris:  $\text{C}_4\text{H}_{11}\text{NO}_3$

ชั่ง Tris 12.114 กรัม ในน้ำกลั่น 1,000 มิลลิลิตร

สารละลาย B: 0.1 M HCl

ปีเปตต์ HCl 8.06 มิลลิลิตร ในน้ำกลั่น 1000 มิลลิลิตร

ค่อยๆ เติมสารละลาย B ลงในสารละลาย A ที่ละน้อยผสมให้เข้ากัน

และวัด pH ของสารละลายผสมไปเรื่อยๆ จนได้ pH 7 ด้วย pH meter

### 3. การเตรียมสารสำหรับวัดกิจกรรมของเอนไซม์

สารเคมีสำหรับวัดกิจกรรมของเอนไซม์ ATPase ทึ้งหมดในเซลล์

(3 mM ATP, 0.2 mM ammonium molybdate และ 5 mM magnesium sulfate)

ATP	82.7	มิลลิกรัม
Ammonium molybdate	12.0	มิลลิกรัม
Magnesium sulfate	62.0	มิลลิกรัม
ละลายสารเคมีใน 50 mM Tris-HCl buffer (pH 6.5) ปริมาตร 50 มิลลิลิตร		

สารเคมีสำหรับวัดกิจกรรมของเอนไซม์ ATPase ในแวกว่าโอล

(3 mM ATP, 0.2 mM ammonium molybdate, 5 mM magnesium sulfate

และ 100 mM potassium nitrate)

ATP	82.7	มิลลิกรัม
Ammonium molybdate	12.0	มิลลิกรัม
Magnesium sulfate	62.0	มิลลิกรัม
Potassium nitrate	50.6	มิลลิกรัม
ละลายสารเคมีใน 50 mM Tris-HCl buffer (pH 6.5) ปริมาตร 50 มิลลิลิตร		

การเตรียม color reagent

(8.5 mM ammonium molybdate, 1.62 mM malachite green, 200 mM perchloric acid และ

0.06 % tween 20)

Ammonium molybdate	2.10	กรัม
Malachite green	0.15	กรัม
Perchloric acid	4.4	มิลลิลิตร
Tween 20	0.12	มิลลิลิตร

ละลายสารเคมีในน้ำกลั่นและปรับปริมาตรจนครบ 200 มิลลิลิตร

สารละลายที่ได้จะตกลอกก่อนจึงต้องกรองและควรใช้ทันที

สารเคมีสำหรับวัดกิจกรรมของเอนไซม์ glucosidase  
(1 mM PNPG)

*p*-Nitrophenyl-2-D-glucopyranoside (PNPG) 30.0 มิลลิกรัม  
ละลายสารเคมีใน 100 mM sodium acetate buffer (pH 5.0) ปริมาตร 100 มิลลิลิตร

สารละลายสำหรับทดสอบเอนไซม์ glucosidase  
(5 mM sodium carbonate)

Sodium carbonate 26.5 มิลลิกรัม  
ละลายสารเคมีในน้ำกลั่นและปรับปริมาตรจนครบ 50 มิลลิลิตร

สารเคมีสำหรับวัดกิจกรรมของเอนไซม์ glutathione-S-transferase  
(1 mM GSH และ 1 mM CDBN)

Glutathione (GSH) 30.7 มิลลิกรัม  
1-Chloro-2, 4-dinitrobenzene (CDNB) 20.2 มิลลิกรัม  
ละลายสารเคมีใน 50 mM sodium phosphate buffer (pH 7.0)  
ปริมาตร 100 มิลลิลิตร

สารเคมีสำหรับวัดกิจกรรมของเอนไซม์ peroxidase  
(2.358 mM guaiacol และ 0.174 mM hydrogen peroxide จาก stock 11.6 mM)

Guaiacol 29.0 มิลลิกรัม  
Hydrogen peroxide 1.5 มิลลิลิตร  
ละลายสารเคมีใน 50 mM sodium phosphate buffer (pH 7.0)  
ปริมาตร 100 มิลลิลิตร ทำทั้งหมด 3 ชุด โดยใช้วัดค่า pH 5, 7 และ 10

การเตรียมสารละลายน้ำgen peroxide

(11.6 mM hydrogen peroxide)

Hydrogen peroxide	13	ไมโครลิตร
		ปรับปริมาณด้วยน้ำกลั่นจนครบ 10 มิลลิลิตร

4. การเตรียมสารสำหรับงานด้านโภคภัณฑ์

10 x MOPS buffer

(0.4 M Morpholinopropane sulfonic acid, 0.1 M Sodium acetate และ 10 mM Na<sub>2</sub> EDTA)

Morpholinopropane sulfonic acid	83.7 กรัม
Sodium acetate	13.6 กรัม
Na <sub>2</sub> EDTA H <sub>2</sub> O	1.87 กรัม
ปรับให้ pH 7.2 ด้วย 1 M NaOH และเติม DDW ให้ครบ 1 ลิตร	

50 x TAE buffer (stock)

Tris base	240.2 กรัม
Glacial acetic acid	57.0 มิลลิลิตร
0.5 M EDTA (pH 8.0)	100.0 มิลลิลิตร
ละลายสารเคมีใน DDW และปรับปริมาณให้ครบ 1 ลิตร	
(ความเข้มข้นของสารละลายน้ำที่ใช้คือ 1 เท่า)	

Ethidium bromide (10 mg/ml)

Ethidium bromide	1.0 กรัม
DDW	10.0 มิลลิลิตร
เก็บสารละลายน้ำไว้ในที่มืดในอุณหภูมิห้อง	

6 x gel-loading dye buffer

0.25 % bromophenol blue,

0.25 % xylene cyanol FF

30 % glycerol

ລະລາຍສາຮເຄມື່ອງແລະປັບປິນມາດຕະໄຫ້ກຽບຄູ່ຂອງ DDW

## ภาคผนวก ข

### วิธีการวิเคราะห์

#### 1. การวิเคราะห์หาปริมาณโปรตีนโดยใช้ BSA เป็นสารละลายน้ำมาตรฐาน

##### 1.1 สารเคมี

1.1.1 ชั้งสารละลายน้ำ BSA ด้วยเครื่องชั่งสารอย่างละเอียด 0.2000 กรัม ละลายน้ำในน้ำกลั่นและปรับปริมาตรใน volumetric flask ขนาด 100 มิลลิลิตร สำหรับใช้เป็น stock solution จากนั้นนำมาเลือจางให้ได้สารละลายน้ำมาตรฐานที่มีปริมาณ BSA ตั้งแต่  $1 - 10 \mu\text{g}$  ไมโครกรัมต่อ ไมโครลิตร

##### 1.1.2 การเตรียมสารละลาย Lowry

###### สาร A: Copper-tartrate-carbonate (CTC) solution

- ละลายน้ำ copper sulfate 0.1 กรัม และ tartaric acid 0.2 กรัม ในน้ำกลั่น 50 มิลลิลิตร
- ละลายน้ำ sodium carbonate 40 กรัม ในน้ำกลั่น 50 มิลลิลิตร คือยา เทสารละลายน้ำ sodium carbonate ลงใน copper sulfate-tartrate solution ช้าๆ โดยวนสารละลายไปด้วย

###### สาร B: 0.8 M NaOH

###### สาร C: 5 % SDS

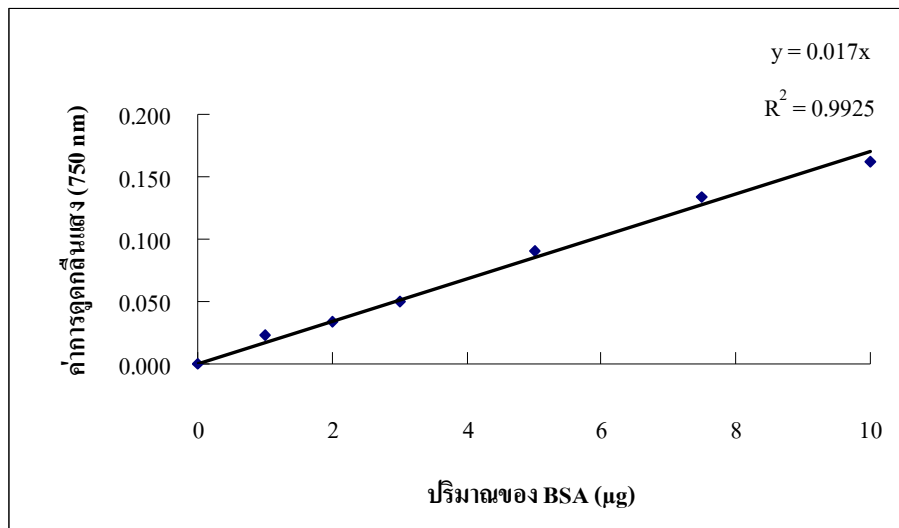
###### สาร D: สารพสม (อัตราส่วนของสาร A: B: C; 1: 1: 2, v/v/v)

###### สาร E: folin-ciocalteu phenol (อัตราส่วน folin: water; 1: 5, v/v)

## 1.2 วิธีการวิเคราะห์

1.2.1 สร้างกราฟมาตราฐานของ BSA โดยเจือจากสารละลายน้ำตราชาน BSA ให้มีความเข้มข้น 1, 2, 3, 5, 7.5 และ 10 ไมโครกรัมต่อไมโครลิตร นำค่าการดูดกลืนแสงที่ได้มาสร้างเป็นกราฟมาตราฐาน โดยให้แกน X เป็นไมโครกรัมโปรตีน ส่วนแกน Y เป็นค่าการดูดกลืนแสง

1.2.2 นำสารละลายน้ำตัวอย่าง 5 ไมโครลิตร มาทำปฏิกิริยากับสาร D ปริมาตร 200 ไมโครลิตร บ่มที่อุณหภูมิห้องเป็นเวลา 30 นาที จากนั้นเติมสาร E ปริมาตร 50 ไมโครลิตร บ่มที่อุณหภูมิห้องเป็นเวลา 30 นาที จากนั้นนำไปวัดค่าการดูดกลืนแสงที่ความยาวคลื่น 750 นาโนเมตร โดยใช้ 50 mM sodium phosphate buffer, pH 7.0 ซึ่งทำปฏิกิริยากับสารเคมีต่างๆ พร้อมกับสารตัวอย่างเป็นสารละลายเปล่า (blank) และนำค่าการดูดกลืนแสงของตัวอย่างมาเปรียบเทียบหาความเข้มข้นของ BSA จากกราฟมาตราฐาน และคำนวณหาปริมาณโปรตีนที่มีในตัวอย่าง



ภาพผนวกที่ ข1 กราฟมาตรฐานของ Bovine serum albumin

**ตารางภาคผนวก ช1 ปริมาณโปรตีนและค่าความจำเพาะของเอนไซม์ ATPase ในใบ**

NaCl (mM)	Time (h)	Volume (μl)	Total protein (mg)	ATPase		P-ATPase	
				Total activity (units)	Specific activity (units/mg)	Total activity (units)	Specific activity (units/mg)
0	0	400	0.45	25.49	56.64	1.66	3.69
	1	400	0.36	22.50	62.50	0	0
	3	400	0.46	23.81	51.76	0	0
	6	400	0.51	21.15	41.47	0	0
	12	400	0.42	23.19	55.21	0	0
	24	400	0.31	25.54	82.39	0	0
	72	400	0.46	27.51	59.80	0	0
	120	400	0.43	25.62	59.58	0	0
	168	400	0.51	24.74	48.51	0.52	1.02
100	0	400	0.57	11.99	21.04	0	0
	1	400	0.43	11.43	26.58	0	0
	3	400	0.41	14.80	36.10	1.72	4.20
	6	400	0.60	11.01	18.35	0	0
	12	400	0.38	16.14	42.47	4.14	10.89
	24	400	0.49	12.00	24.49	0	0
	72	400	0.47	18.17	38.66	4.40	9.36
	120	400	0.46	14.72	32.00	1.88	4.09
	168	400	0.57	17.93	31.46	3.30	5.79
300	0	400	0.27	19.51	72.26	0	0
	1	400	0.22	16.52	75.09	0	0
	3	400	0.16	17.84	111.50	0	0
	6	400	0.20	15.17	75.85	0	0
	12	400	0.19	17.21	90.58	0	0
	24	400	0.23	19.57	85.09	0	0.00

ตารางภาคผนวก ข1 (ต่อ)

NaCl (mM)	Time (h)	Volume (μl)	Total protein (mg)	ATPase		P-ATPase	
				Total activity (units)	Specific activity (units/mg)	Total activity (units)	Specific activity (units/mg)
300	72	400	0.43	21.53	50.07	0	0
	120	400	0.29	19.65	67.76	0	0
	168	400	0.29	18.77	64.72	0	0
500	0	400	0.19	57.37	301.95	19.35	101.84
	1	400	0.15	63.69	424.60	22.65	151.00
	3	400	0.33	56.78	172.06	19.76	59.88
	6	400	0.33	52.76	159.88	12.93	39.18
	12	400	0.25	57.56	230.24	16.92	67.68
	24	400	0.25	53.03	212.12	18.96	75.84
	72	400	0.54	40.91	75.76	5.19	9.61
	120	400	0.43	50.78	118.09	16.03	37.28
	168	400	0.33	52.23	158.27	13.64	41.33
600	0	400	1.17	70.74	60.46	33.49	28.62
	1	400	1.25	73.47	58.78	39.64	31.71
	3	400	1.53	70.51	46.08	30.65	20.03
	6	400	1.65	66.63	40.38	27.41	16.61
	12	400	1.35	67.19	49.77	31.52	23.35
	24	400	1.70	62.83	36.96	32.76	19.27
	72	400	1.39	71.04	51.11	32.16	23.14
	120	400	1.52	63.57	41.82	30.72	20.21
	168	400	1.06	72.62	68.51	34.32	32.38

**ตารางภาคผนวก ข2 ปริมาณโปรตีนและค่าความจำเพาะของอนไซม์ ATPase ในราก**

NaCl (mM)	Time (h)	Volume (μl)	Total protein (mg)	ATPase		P-ATPase	
				Total activity (units)	Specific activity (units/mg)	Total activity (units)	Specific activity (units/mg)
0	0	400	0.11	41.41	373.06	17.70	159.46
	1	400	0.19	41.61	219.00	17.78	93.58
	3	400	0.43	39.06	91.05	23.10	53.85
	6	400	0.43	37.86	88.46	14.39	33.62
	12	400	0.58	39.71	68.58	21.51	37.15
	24	400	0.63	35.46	56.11	20.55	32.52
	72	400	0.78	37.64	48.38	19.80	25.45
	120	400	0.99	36.33	36.85	20.67	20.96
	168	400	0.89	35.74	40.16	24.69	27.74
100	0	400	0.29	28.91	101.44	5.13	18.00
	1	400	0.25	31.79	129.76	12.81	52.29
	3	400	0.24	33.58	141.09	17.77	74.66
	6	400	0.32	28.49	87.93	10.91	33.67
	12	400	0.68	32.25	47.57	10.38	15.31
	24	400	0.55	33.44	61.25	10.29	18.85
	72	400	0.85	32.35	38.15	11.33	13.36
	120	400	1.09	34.53	31.65	9.73	8.92
	168	400	0.63	35.40	56.64	15.03	24.05
300	0	400	0.10	80.75	841.15	30.41	316.77
	1	400	0.17	80.79	486.69	40.55	244.28
	3	400	0.13	80.63	601.72	37.60	280.60
	6	400	0.13	38.52	289.62	0	0
	12	400	0.13	39.62	302.44	0	0
	24	400	0.22	33.79	152.90	0	0

**ตารางภาคผนวก ข2 (ต่อ)**

NaCl (mM)	Time (h)	Volume (μl)	Total protein (mg)	ATPase		P-ATPase	
				Total activity (units)	Specific activity (units/mg)	Total activity (units)	Specific activity (units/mg)
300	72	400	0.17	40.84	234.71	1.64	9.43
	120	400	0.15	43.02	284.90	6.98	46.23
	168	400	0.17	43.89	255.17	0	0
500	0	400	0.08	82.67	1073.64	18.76	243.64
	1	400	0.19	81.45	424.22	24.09	125.47
	3	400	1.49	83.38	56.11	25.04	16.85
	6	400	0.20	81.75	404.70	26.32	130.30
	12	400	0.11	81.01	750.09	21.92	202.96
	24	400	0.21	80.81	386.65	22.24	106.41
	72	400	0.12	81.14	705.57	21.88	190.26
	120	400	0.15	80.94	536.03	22.69	150.26
	168	400	0.06	80.76	1261.88	25.84	403.75
600	0	400	0.24	81.75	335.04	36.57	149.88
	1	400	0.22	82.19	380.51	28.62	132.50
	3	400	0.27	80.74	299.04	35.89	132.92
	6	400	0.28	80.14	284.18	34.24	121.42
	12	400	0.45	81.09	182.22	33.22	74.65
	24	400	0.65	80.93	124.51	38.57	59.34
	72	400	0.69	81.75	117.97	34.86	50.30
	120	400	0.30	81.10	272.15	33.80	113.42
	168	400	0.26	81.63	315.17	29.23	112.86

**ตารางภาคผนวก ข3 ปริมาณโปรตีนและค่าความจำเพาะของเอนไซม์ glucosidase ในไข่**

NaCl (mM)	Time (h)	Volume (μl)	Total protein (mg)	Total activity (units)	Specific activity (units/mg)
0	0	400	0.45	0.19	0.42
	1	400	0.36	0.13	0.36
	3	400	0.46	0.17	0.37
	6	400	0.51	0.23	0.45
	12	400	0.42	0.18	0.43
	24	400	0.31	0.12	0.39
	72	400	0.46	0.19	0.41
	120	400	0.43	0.18	0.42
	168	400	0.51	0.22	0.43
100	0	400	0.57	0.23	0.40
	1	400	0.43	0.13	0.30
	3	400	0.41	0.12	0.29
	6	400	0.60	0.23	0.38
	12	400	0.38	0.14	0.37
	24	400	0.49	0.24	0.49
	72	400	0.47	0.18	0.38
	120	400	0.46	0.33	0.72
	168	400	0.57	0.36	0.63
300	0	400	0.27	0.18	0.67
	1	400	0.22	0.12	0.55
	3	400	0.16	0.16	1.00
	6	400	0.20	0.17	0.85
	12	400	0.19	0.31	1.63
	24	400	0.23	0.47	2.04

ตารางภาคผนวก ข3 (ต่อ)

NaCl (mM)	Time (h)	Volume (μl)	Total protein (mg)	Total activity (units)	Specific activity (units/mg)
300	72	400	0.43	0.50	1.16
	120	400	0.29	0.42	1.45
	168	400	0.29	0.49	1.69
500	0	400	0.19	0.14	0.74
	1	400	0.15	0.16	1.07
	3	400	0.33	0.37	1.12
	6	400	0.33	0.27	0.82
	12	400	0.25	0.43	1.72
	24	400	0.25	0.38	1.52
	72	400	0.54	0.62	1.15
	120	400	0.43	0.46	1.07
	168	400	0.33	0.45	1.36
600	0	400	1.17	0.20	0.17
	1	400	1.25	0.15	0.12
	3	400	1.53	0.18	0.12
	6	400	1.65	0.27	0.16
	12	400	1.35	0.30	0.22
	24	400	1.70	0.43	0.25
	72	400	1.39	0.31	0.22
	120	400	1.52	0.45	0.30
	168	400	1.06	0.48	0.45

ตารางภาคผนวก ข4 ปริมาณโปรตีนและค่าความจำเพาะของเอนไซม์ glucosidase ในราก

NaCl (mM)	Time (h)	Volume (μl)	Total protein (mg)	Total activity (units)	Specific activity (units/mg)
0	0	400	0.11	0.01	0.09
	1	400	0.19	0.01	0.05
	3	400	0.43	0.03	0.07
	6	400	0.43	0.03	0.07
	12	400	0.58	0.02	0.03
	24	400	0.63	0.03	0.05
	72	400	0.78	0.03	0.04
	120	400	0.99	0.04	0.04
	168	400	0.89	0.04	0.04
100	0	400	0.29	0.03	0.11
	1	400	0.25	0.01	0.04
	3	400	0.24	0.02	0.08
	6	400	0.32	0.03	0.09
	12	400	0.68	0.03	0.04
	24	400	0.55	0.03	0.05
	72	400	0.85	0.03	0.04
	120	400	1.09	0.04	0.04
	168	400	0.63	0.03	0.05
300	0	400	0.10	0.04	0.42
	1	400	0.17	0.02	0.12
	3	400	0.13	0.02	0.15
	6	400	0.13	0.03	0.23
	12	400	0.13	0.02	0.15
	24	400	0.22	0.02	0.09

ตารางภาคผนวก ข4 (ต่อ)

NaCl (mM)	Time (h)	Volume (μl)	Total protein (mg)	Total activity (units)	Specific activity (units/mg)
300	72	400	0.17	0.02	0.11
	120	400	0.15	0.02	0.13
	168	400	0.17	0.01	0.06
500	0	400	0.08	0.02	0.26
	1	400	0.19	0.03	0.16
	3	400	1.49	0.03	0.02
	6	400	0.20	0.04	0.20
	12	400	0.11	0.02	0.19
	24	400	0.21	0.03	0.14
	72	400	0.12	0.02	0.17
600	120	400	0.15	0.02	0.13
	168	400	0.06	0.01	0.16
	0	400	0.24	0.03	0.12
	1	400	0.22	0.02	0.09
	3	400	0.27	0.02	0.07
	6	400	0.28	0.03	0.11
	12	400	0.45	0.02	0.04
700	24	400	0.65	0.02	0.03
	72	400	0.69	0.01	0.01
	120	400	0.30	0.01	0.03
	168	400	0.26	0.01	0.04

ตารางภาคผนวก ข5 ปริมาณโปรตีนและค่าความจำเพาะของอนไซม์ GST ในใบ

NaCl (mM)	Time (h)	Volume (μl)	Total protein (μg)	Total activity (units)	Specific activity (units/μg)
0	0	400	445.14	2.11	4.74
	1	400	363.37	1.77	4.87
	3	400	463.78	1.25	2.70
	6	400	506.67	1.65	3.26
	12	400	421.37	0.11	0.26
	24	400	308.92	0.46	1.49
	72	400	456.22	1.20	2.63
	120	400	427.31	0.85	1.99
	168	400	509.08	1.82	3.58
100	0	400	567.55	1.94	3.42
	1	400	430.36	0.68	1.58
	3	400	410.76	1.54	3.75
	6	400	597.43	1.08	1.81
	12	400	380.24	0.74	1.95
	24	400	485.14	0.51	1.05
	72	400	470.20	1.94	4.13
	120	400	460.72	0.74	1.61
	168	400	571.56	2.11	3.69
300	0	400	270.36	2.68	9.91
	1	400	216.87	1.59	7.33
	3	400	160.32	2.62	16.34
	6	400	201.29	2.16	10.73
	12	400	188.27	1.71	9.08
	24	400	226.03	2.51	11.10

ตารางภาคผนวก ข5 (ต่อ)

NaCl (mM)	Time (h)	Volume (μl)	Total protein (μg)	Total activity (units)	Specific activity (units/μg)
300	72	400	429.40	1.20	2.79
	120	400	292.21	4.04	13.83
	168	400	288.03	7.57	26.28
500	0	400	187.79	1.20	6.39
	1	400	149.56	1.02	6.82
	3	400	333.65	1.42	4.26
	6	400	327.55	0.97	2.96
	12	400	253.33	1.37	5.41
	24	400	249.96	1.48	5.92
	72	400	540.56	1.99	3.68
120	400	425.54	1.76	4.14	
	168	400	333.33	1.37	4.11
	0	400	1174.46	1.20	1.02
	1	400	1246.91	0.97	0.78
	3	400	1528.35	0.85	0.56
600	6	400	1646.42	0.85	0.52
	12	400	1354.05	1.25	0.92
	24	400	1696.87	1.42	0.84
	72	400	1393.09	1.48	1.06
	120	400	1523.05	2.16	1.42
168	400	1056.54	2.39	2.26	

**ตารางภาคผนวก ข6 ปริมาณโปรตีนและค่าความจำเพาะของอนไซม์ GST ในราก**

NaCl (mM)	Time (h)	Volume (μl)	Total protein (μg)	Total activity (units)	Specific activity (units/μg)
0	0	400	110.52	0.80	7.24
	1	400	189.88	1.37	7.22
	3	400	429.07	1.99	4.64
	6	400	428.27	1.31	3.06
	12	400	579.11	1.08	1.86
	24	400	632.29	1.94	3.07
	72	400	777.67	1.20	1.54
	120	400	986.02	1.37	1.39
	168	400	889.96	1.65	1.85
100	0	400	285.14	0.40	1.40
	1	400	245.14	0.80	3.26
	3	400	237.75	0.91	3.83
	6	400	323.54	1.82	5.63
	12	400	678.23	1.37	2.02
	24	400	545.70	2.33	4.27
	72	400	847.71	1.42	1.68
	120	400	1091.25	0.97	0.89
	168	400	625.38	2.73	4.37
300	0	400	96.22	2.11	21.93
	1	400	165.78	1.94	11.70
	3	400	133.65	4.16	31.13
	6	400	133.01	1.20	9.02
	12	400	130.92	1.65	12.60
	24	400	221.20	2.16	9.76

ตารางภาคผนวก ข6 (ต่อ)

NaCl (mM)	Time (h)	Volume (μl)	Total protein (μg)	Total activity (units)	Specific activity (units/μg)
300	72	400	173.81	0.68	3.91
	120	400	151.32	1.71	11.30
	168	400	171.89	1.20	6.98
500	0	400	76.63	2.22	28.97
	1	400	191.81	1.65	8.60
	3	400	1485.94	1.59	1.07
	6	400	202.09	1.37	6.78
	12	400	107.63	1.54	14.31
	24	400	208.84	0.91	4.36
	72	400	114.70	1.31	11.42
	120	400	150.68	1.14	7.57
	168	400	64.10	1.11	17.32
600	0	400	243.69	1.94	7.96
	1	400	216.06	0.81	3.75
	3	400	270.36	0.98	3.62
	6	400	281.93	0.11	0.39
	12	400	444.82	0.64	1.44
	24	400	649.64	1.56	2.40
	72	400	693.17	1.49	2.15
	120	400	298.47	1.56	5.23
	168	400	259.12	1.84	7.10

ตารางภาคผนวก ข7 ปริมาณโปรตีนและค่าความจำเพาะของเอนไซม์ acidic peroxidase ในใบ

NaCl (mM)	Time (h)	Volume (μl)	Total protein (μg)	Total activity (units)	Specific activity (units/μg)
0	0	400	445.14	3.17	7.12
	1	400	363.37	1.67	4.60
	3	400	463.78	6.58	14.19
	6	400	506.67	1.82	3.59
	12	400	421.37	2.68	6.36
	24	400	308.92	0.49	1.59
	72	400	456.22	2.29	5.02
	120	400	427.31	1.13	2.64
	168	400	509.08	4.29	8.43
100	0	400	567.55	5.10	8.99
	1	400	430.36	3.06	7.11
	3	400	410.76	3.04	7.40
	6	400	597.43	3.32	5.56
	12	400	380.24	1.82	4.79
	24	400	485.14	1.41	2.91
	72	400	470.20	4.33	9.21
	120	400	460.72	4.71	10.22
	168	400	571.56	10.50	18.37
300	0	400	270.36	2.23	8.25
	1	400	216.87	1.87	8.62
	3	400	160.32	2.17	13.54
	6	400	201.29	5.77	28.67
	12	400	188.27	2.73	14.50
	24	400	226.03	3.11	13.76

ตารางภาคผนวก ข7 (ต่อ)

NaCl (mM)	Time (h)	Volume (μl)	Total protein (μg)	Total activity (units)	Specific activity (units/μg)
300	72	400	429.40	3.43	7.99
	120	400	292.21	7.25	24.81
	168	400	288.03	2.62	9.10
500	0	400	187.79	1.05	5.59
	1	400	149.56	1.01	6.75
	3	400	333.65	2.00	5.99
	6	400	327.55	3.22	9.83
	12	400	253.33	2.15	8.49
	24	400	249.96	4.93	19.72
	72	400	540.56	1.65	3.05
	120	400	425.54	8.11	19.06
	168	400	333.33	3.97	11.91
600	0	400	1174.46	2.02	1.72
	1	400	1246.91	1.31	1.05
	3	400	1528.35	4.42	2.89
	6	400	1646.42	2.92	1.77
	12	400	1354.05	2.42	1.79
	24	400	1696.87	7.21	4.25
	72	400	1393.09	2.70	1.94
	120	400	1523.05	6.71	4.41
	168	400	1056.54	1.72	1.63

**ตารางภาคผนวก ข8 ปริมาณโปรตีนและค่าความจำเพาะของเอนไซม์ acidic peroxidase ในราก**

NaCl (mM)	Time (h)	Volume (μl)	Total protein (μg)	Total activity (units)	Specific activity (units/μg)
0	0	400	110.52	0.11	1.00
	1	400	189.88	0.62	3.27
	3	400	429.07	1.01	2.35
	6	400	428.27	3.39	7.92
	12	400	579.11	0.88	1.52
	24	400	632.29	1.35	2.14
	72	400	777.67	1.52	1.95
	120	400	986.02	3.88	3.94
	168	400	889.96	2.40	2.70
100	0	400	285.14	3.39	11.89
	1	400	245.14	0.60	2.45
	3	400	237.75	0.41	1.72
	6	400	323.54	2.34	7.23
	12	400	678.23	1.46	2.15
	24	400	545.70	1.99	3.65
	72	400	847.71	5.47	6.45
	120	400	1091.25	1.93	1.77
	168	400	625.38	1.29	2.06
300	0	400	96.22	0.64	6.65
	1	400	165.78	2.40	14.48
	3	400	133.65	1.07	8.01
	6	400	133.01	0.81	6.09
	12	400	130.92	0.56	4.28
	24	400	221.20	3.19	14.42

ตารางภาคผนวก ข8 (ต่อ)

NaCl (mM)	Time (h)	Volume (μl)	Total protein (μg)	Total activity (units)	Specific activity (units/μg)
300	72	400	173.81	6.20	35.67
	120	400	151.32	0.34	2.25
	168	400	171.89	0.06	0.35
500	0	400	76.63	0.45	5.87
	1	400	191.81	3.60	18.77
	3	400	1485.94	0.73	0.49
	6	400	202.09	2.92	14.45
	12	400	107.63	2.04	18.95
	24	400	208.84	4.52	21.64
	72	400	114.70	0.62	5.41
	120	400	150.68	0.56	3.72
	168	400	64.10	0.34	5.30
600	0	400	243.69	0.96	3.94
	1	400	216.06	1.69	7.82
	3	400	270.36	1.80	6.66
	6	400	281.93	1.89	6.70
	12	400	444.82	1.24	2.79
	24	400	649.64	1.78	2.74
	72	400	693.17	0.24	0.35
	120	400	298.47	0.88	2.95
	168	400	259.12	2.12	8.18

ตารางภาคผนวก ๙ ปริมาณโปรตีนและค่าความจำเพาะของเอนไซม์ basidic peroxidase ในใบ

NaCl (mM)	Time (h)	Volume (μl)	Total protein (μg)	Total activity (units)	Specific activity (units/μg)
0	0	400	445.14	0.79	1.77
	1	400	363.37	1.56	4.29
	3	400	463.78	0	0
	6	400	506.67	0	0
	12	400	421.37	0.41	0.97
	24	400	308.92	0.28	0.91
	72	400	456.22	0.15	0.33
	120	400	427.31	0.21	0.49
	168	400	509.08	0.94	1.85
100	0	400	567.55	1.37	2.41
	1	400	430.36	0.66	1.53
	3	400	410.76	0.79	1.92
	6	400	597.43	0.66	1.10
	12	400	380.24	0.41	1.08
	24	400	485.14	0	0
	72	400	470.20	0.21	0.45
	120	400	460.72	0.24	0.52
	168	400	571.56	2.74	4.79
300	0	400	270.36	0.60	2.22
	1	400	216.87	1.03	4.75
	3	400	160.32	1.82	11.35
	6	400	201.29	2.87	14.26
	12	400	188.27	2.12	11.26
	24	400	226.03	0.75	3.32

ตารางภาคผนวก ๗๙ (ต่อ)

NaCl (mM)	Time (h)	Volume (μl)	Total protein (μg)	Total activity (units)	Specific activity (units/μg)
300	72	400	429.40	1.09	2.54
	120	400	292.21	0.81	2.77
	168	400	288.03	0.90	3.12
500	0	400	187.79	1.59	8.47
	1	400	149.56	1.26	8.42
	3	400	333.65	1.52	4.56
	6	400	327.55	1.69	5.16
	12	400	253.33	0.81	3.20
	24	400	249.96	2.81	11.24
	72	400	540.56	1.33	2.46
	120	400	425.54	1.26	2.96
	168	400	333.33	1.37	4.11
600	0	400	1174.46	0.56	0.48
	1	400	1246.91	0.21	0.17
	3	400	1528.35	1.31	0.86
	6	400	1646.42	1.05	0.64
	12	400	1354.05	0.71	0.52
	24	400	1696.87	2.29	1.35
	72	400	1393.09	0.58	0.42
	120	400	1523.05	1.35	0.89
	168	400	1056.54	2.89	2.74

ตารางภาคผนวก ช10 ปริมาณโปรตีนและค่าความจำเพาะของเอนไซม์ basidic peroxidase ในราก

NaCl (mM)	Time (h)	Volume (μl)	Total protein (μg)	Total activity (units)	Specific activity (units/μg)
0	0	400	110.52	0.09	0.81
	1	400	189.88	0	0.00
	3	400	429.07	0.15	0.35
	6	400	428.27	0.21	0.49
	12	400	579.11	0.13	0.22
	24	400	632.29	0.28	0.44
	72	400	777.67	0.26	0.33
	120	400	986.02	0.17	0.17
	168	400	889.96	0.13	0.15
100	0	400	285.14	0.19	0.67
	1	400	245.14	0.09	0.37
	3	400	237.75	0.09	0.38
	6	400	323.54	0.32	0.99
	12	400	678.23	0.13	0.19
	24	400	545.70	0.11	0.20
	72	400	847.71	0.09	0.11
	120	400	1091.25	0.17	0.16
	168	400	625.38	0	0.00
300	0	400	96.22	0.13	1.35
	1	400	165.78	0.24	1.45
	3	400	133.65	0	0.00
	6	400	133.01	0	0.00
	12	400	130.92	0	0.00
	24	400	221.20	0.30	1.36

ตารางภาคผนวก ช10 (ต่อ)

NaCl (mM)	Time (h)	Volume (μl)	Total protein (μg)	Total activity (units)	Specific activity (units/μg)
300	72	400	173.81	0.36	2.07
	120	400	151.32	0.06	0.40
	168	400	171.89	0	0
500	0	400	76.63	0	0
	1	400	191.81	0.17	0.89
	3	400	1485.94	0	0
	6	400	202.09	0	0
	12	400	107.63	0	0
	24	400	208.84	0	0
	72	400	114.70	0	0
	120	400	150.68	0	0
	168	400	64.10	0	0
600	0	400	243.69	0	0
	1	400	216.06	0.17	0.79
	3	400	270.36	0.17	0.63
	6	400	281.93	0.09	0.32
	12	400	444.82	0	0
	24	400	649.64	0	0
	72	400	693.17	0	0
	120	400	298.47	0	0
	168	400	259.12	0	0

ตารางภาคผนวก ช11 ปริมาณโปรตีนและค่าความจำเพาะของเอนไซม์ neutral peroxidase ในใบ

NaCl (mM)	Time (h)	Volume (μl)	Total protein (μg)	Total activity (units)	Specific activity (units/μg)
0	0	400	445.14	6.45	14.49
	1	400	363.37	9.33	25.68
	3	400	463.78	10.31	22.23
	6	400	506.67	2.21	4.36
	12	400	421.37	6.50	15.43
	24	400	308.92	0.43	1.39
	72	400	456.22	3.52	7.72
	120	400	427.31	1.37	3.21
	168	400	509.08	7.63	14.99
100	0	400	567.55	12.09	21.30
	1	400	430.36	9.20	21.38
	3	400	410.76	8.53	20.77
	6	400	597.43	9.93	16.62
	12	400	380.24	6.37	16.75
	24	400	485.14	2.08	4.29
	72	400	470.20	6.09	12.95
	120	400	460.72	2.57	5.58
	168	400	571.56	14.60	25.54
300	0	400	270.36	6.24	23.08
	1	400	216.87	7.50	34.58
	3	400	160.32	11.02	68.74
	6	400	201.29	14.32	71.14
	12	400	188.27	12.24	65.01
	24	400	226.03	10.03	44.37

**ตารางภาคผนวก ช11 (ต่อ)**

NaCl (mM)	Time (h)	Volume (μl)	Total protein (μg)	Total activity (units)	Specific activity (units/μg)
300	72	400	429.40	11.32	26.36
	120	400	292.21	13.57	46.44
	168	400	288.03	4.95	17.19
500	0	400	187.79	9.41	50.11
	1	400	149.56	9.99	66.80
	3	400	333.65	13.76	41.24
	6	400	327.55	13.36	40.79
	12	400	253.33	9.20	36.32
	24	400	249.96	16.66	66.65
	72	400	540.56	2.08	3.85
600	120	400	425.54	18.48	43.43
	168	400	333.33	11.25	33.75
	0	400	1174.46	4.63	3.94
	1	400	1246.91	1.65	1.32
	3	400	1528.35	11.58	7.58
700	6	400	1646.42	9.39	5.70
	12	400	1354.05	7.67	5.66
	24	400	1696.87	17.73	10.45
	72	400	1393.09	3.24	2.33
	120	400	1523.05	13.63	8.95
	168	400	1056.54	2.34	2.21

ตารางภาคผนวก ข12 ปริมาณโปรตีนและค่าความจำเพาะของเอนไซม์ neutral peroxidase ในราก

NaCl (mM)	Time (h)	Volume (μl)	Total protein (μg)	Total activity (units)	Specific activity (units/μg)
0	0	400	110.52	0.34	3.08
	1	400	189.88	0.64	3.37
	3	400	429.07	2.14	4.99
	6	400	428.27	5.32	12.42
	12	400	579.11	1.80	3.11
	24	400	632.29	2.62	4.14
	72	400	777.67	3.11	4.00
	120	400	986.02	6.54	6.63
	168	400	889.96	6.00	6.74
100	0	400	285.14	5.17	18.13
	1	400	245.14	0.69	2.81
	3	400	237.75	0.79	3.32
	6	400	323.54	4.35	13.45
	12	400	678.23	3.24	4.78
	24	400	545.70	1.22	2.24
	72	400	847.71	2.38	2.81
	120	400	1091.25	2.89	2.65
	168	400	625.38	1.67	2.67
300	0	400	96.22	1.11	11.54
	1	400	165.78	3.94	23.77
	3	400	133.65	2.21	16.54
	6	400	133.01	1.67	12.56
	12	400	130.92	1.11	8.48
	24	400	221.20	4.39	19.85

ตารางภาคผนวก ช12 (ต่อ)

NaCl (mM)	Time (h)	Volume (μl)	Total protein (μg)	Total activity (units)	Specific activity (units/μg)
300	72	400	7.02	7.02	7.02
	120	400	13.61	13.61	13.61
	168	400	2.50	2.50	2.50
500	0	400	9.00	9.00	9.00
	1	400	26.38	26.38	26.38
	3	400	1.06	1.06	1.06
	6	400	16.77	16.77	16.77
	12	400	43.20	43.20	43.20
	24	400	14.46	14.46	14.46
	72	400	10.46	10.46	10.46
	120	400	5.71	5.71	5.71
	168	400	11.39	11.39	11.39
600	0	400	11.16	11.16	11.16
	1	400	17.17	17.17	17.17
	3	400	16.16	16.16	16.16
	6	400	19.33	19.33	19.33
	12	400	6.02	6.02	6.02
	24	400	5.42	5.42	5.42
	72	400	1.27	1.27	1.27
	120	400	0.44	0.44	0.44
	168	400	2.16	2.16	2.16

2. การวิเคราะห์หาปริมาณฟอสเฟตโดยใช้  $\text{KH}_2\text{PO}_4$  เป็นสารละลายน้ำร้อน

2.1 สารเคมี

2.1.1 เตรียม Stock solution ของ 1 M  $\text{KH}_2\text{PO}_4$  โดยชั่งสารละลายน้ำร้อน 13.6090 กรัม ละลายด้วยน้ำกลั่น และปรับปริมาตรใน volumetric flask ขนาด 10 มิลลิลิตร จากนั้นนำมาเจือจางให้ได้สารละลายน้ำร้อนที่มีปริมาณ  $\text{KH}_2\text{PO}_4$  ตั้งแต่ 1 – 10 ไมโครโมลต่อไมโครลิตร

2.1.2 การเตรียมสารละลายน้ำรับหาปริมาณฟอสเฟต (ชุดที่ 1)

3 mM ATP	82.7	มิลลิกรัม
0.2 mM ammonium molybdate	12.0	มิลลิกรัม
5 mM magnesium sulfate	62.0	มิลลิกรัม
ละลายน้ำในน้ำกลั่นและปรับปริมาตรด้วย 50 mM Tris-HCl buffer (pH 6.5) ให้ครบ 50 มิลลิลิตร		

2.1.3 การเตรียมสารละลายน้ำรับหาปริมาณฟอสเฟต (ชุดที่ 2)

3 mM ATP	82.7	มิลลิกรัม
0.2 mM ammonium molybdate	12.0	มิลลิกรัม
5 mM magnesium sulfate	62.0	มิลลิกรัม
100 mM potassium nitrate	50.6	มิลลิกรัม
ละลายน้ำในน้ำกลั่นและปรับปริมาตรด้วย 50 mM Tris-HCl buffer (pH 6.5) ให้ครบ 50 มิลลิลิตร		

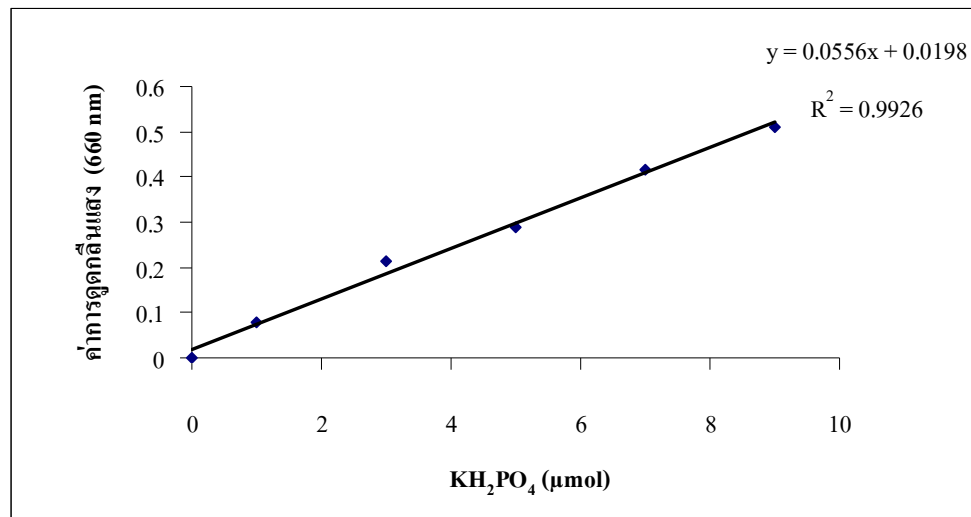
### 2.1.4 การเตรียม color reagent

8.5 mM ammonium molybdate	2.10	กรัม
1.62 mM malachite green	0.15	กรัม
200 mM perchloric acid	4.40	มิลลิลิตร
0.06 % tween 20	0.12	มิลลิลิตร
คลายสารเคมีในน้ำกลั่นและปรับปริมาณครบ 200 มิลลิลิตร		
สารละลายที่ได้จะตกลอกอนจึงต้องกรองและควรใช้ทันที		
ไม่ควรเก็บไว้นานเกิน 3 สัปดาห์		

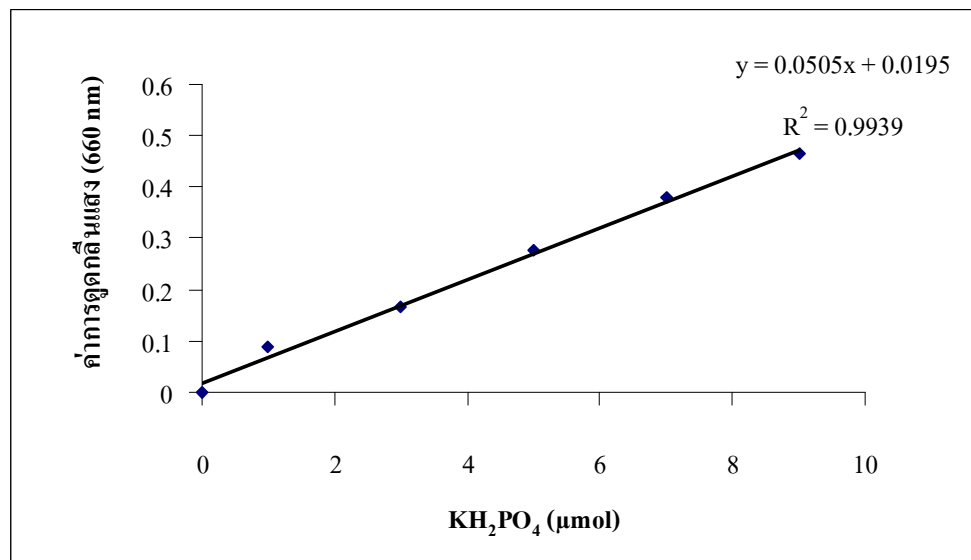
## 2.2 วิธีการวิเคราะห์

2.2.1 สร้างกราฟมาตราฐานของ  $\text{KH}_2\text{PO}_4$  โดยเจือจางสารละลายมาตราฐาน  $\text{KH}_2\text{PO}_4$  ให้มีความเข้มข้น 1, 2, 3, 5, 7.5 และ 10 ไมโครโมลต์/ไมโครลิตร นำค่าการดูดกลืนแสงที่ได้มาสร้างเป็นกราฟมาตราฐาน โดยให้แกน X เป็นไมโครโมลของ  $\text{KH}_2\text{PO}_4$  ส่วนแกน Y เป็นค่าการดูดกลืนแสง

2.2.2 นำสารละลายตัวอย่าง 5 ไมโครลิตร มาทำปฏิกิริยา กับสารชุดที่ 1 ปริมาตร 50 ไมโครลิตร บ่มที่อุณหภูมิ 37 °C เป็นเวลา 30 นาที จากนั้นเติม color reagent ปริมาตร 200 ไมโครลิตร และนำไปวัดค่าการดูดกลืนแสงที่ความยาวคลื่น 660 นาโนเมตร โดยใช้ 50 mM sodium phosphate buffer, pH 7.0 ซึ่งทำปฏิกิริยา กับสารเคมีต่างๆ พร้อมกับสารตัวอย่างเป็นสารละลายเปล่า (blank) และนำค่าการดูดกลืนแสงของตัวอย่างมาเปรียบเทียบหากความเข้มข้นของฟอสเฟตจากกราฟมาตราฐาน และคำนวนหาปริมาณฟอสเฟตที่มีในตัวอย่าง



ภาพพนวนที่ ข2 กราฟมาตราฐานของสารละลายน H<sub>2</sub>PO<sub>4</sub> ชุดที่ 1



ภาพพนวนที่ ข3 กราฟมาตราฐานของสารละลายน H<sub>2</sub>PO<sub>4</sub> ชุดที่ 2

3. การวิเคราะห์หาปริมาณน้ำตาลโดยใช้ฟรุกโตส แม่นนิทอล กลูโคสและซูโครสเป็นสารละลายมาตรฐาน

### 3.1 สารเคมี

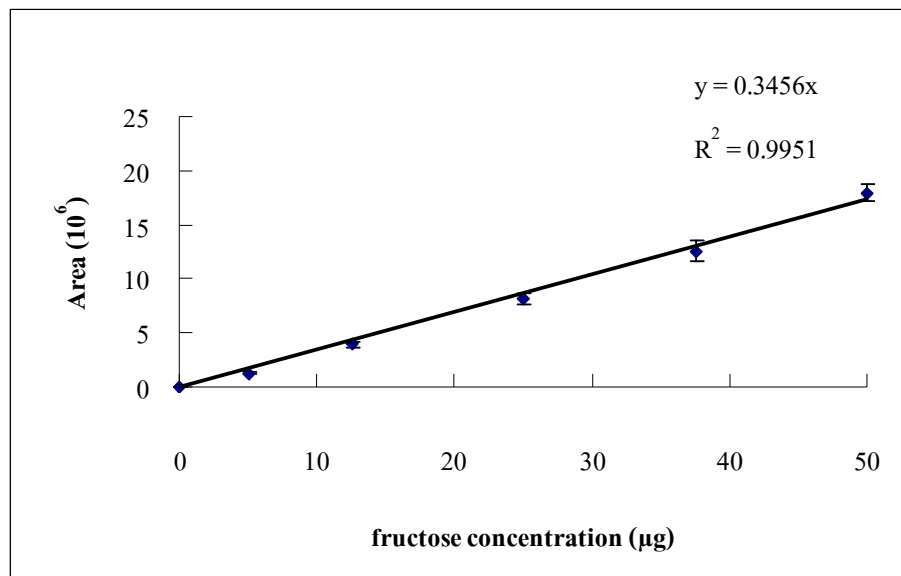
3.1.1 ชั้งสารละลายน้ำตาลแต่ละชนิด คือฟรุกโตส แม่นนิทอล กลูโคสและซูโครส ด้วยเครื่องชั้งสารอย่างละเอียด 0.1250 กรัม ละลายด้วยน้ำกลั่นและปรับปริมาตรใน volumetric flask ขนาด 25 มิลลิลิตร สำหรับใช้เป็น stock solution จากนั้นนำมาจืดจางให้ได้สารละลายมาตรฐานที่มีปริมาณน้ำตาลแต่ละชนิดตั้งแต่ 5 – 50 ไมโครกรัมต่อลิตรและกรองผ่านเมมเบรนขนาด 0.45 ไมโครเมตร

3.1.2 การเตรียมส่วนที่เคลื่อนที่ ใช้อัตราส่วน acetonitrile: nano pure water เท่ากับ 85: 15 ผสมให้เข้ากันและนำไปกรองก่อนใช้

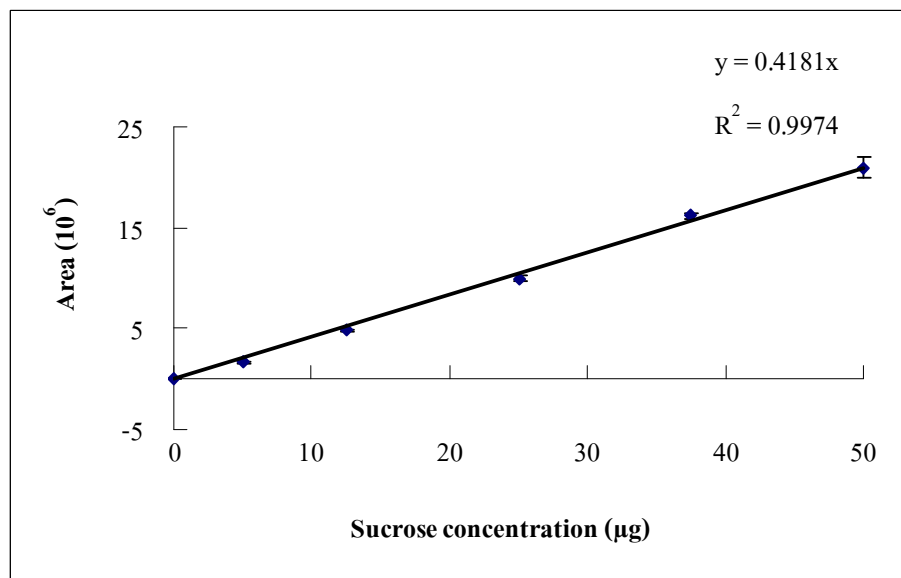
### 3.2 วิธีการวิเคราะห์

3.2.1 สร้างกราฟมาตรฐานของน้ำตาลโดยจัดเรียงสารละลายมาตรฐานของ คือฟรุกโตส แม่นนิทอล กลูโคส และซูโครสให้มีความเข้มข้น 5, 12.5, 25, 37.5 และ 50 ไมโครกรัมต่อลิตร นำค่าพื้นที่ได้กราฟมาสร้างเป็นกราฟมาตรฐาน โดยให้แกน X เป็นมิลลิกรัมน้ำตาล ส่วนแกน Y เป็นค่าพื้นที่ได้กราฟ

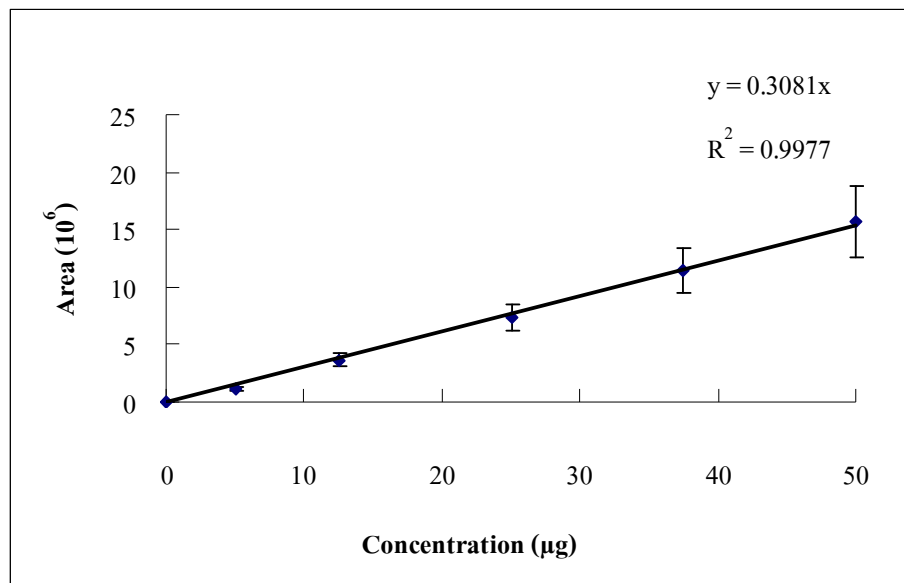
3.2.2 การวิเคราะห์ชนิดและปริมาณน้ำตาลด้วยเทคนิค HPLC โดยมีสารละลายตัวอย่าง 50 ไมโครลิตร เข้าสู่เครื่อง HPLC ที่ใช้กอลัมน์ Hypersil APS-2 และ 85 % acetonitrile เป็นส่วนที่เคลื่อนที่ มีอัตราการไหล 0.5 มิลลิลิตรต่อนาที ซึ่งจะอ่านค่าความเหลื่อมล้ำน์โดยใช้ Refractive index detector นำค่าพื้นที่ได้กราฟของตัวอย่างมาเปรียบเทียบหาความเข้มข้นของน้ำตาลแต่ละชนิด จากกราฟมาตรฐาน และคำนวณหาปริมาณน้ำตาลที่มีในตัวอย่าง นำค่า retention time มาหาชนิดของน้ำตาล โดยค่า retention time ของฟรุกโตส แม่นนิทอลกับกลูโคส และซูโครสมีค่า 20.4, 23.4 และ 33.1 นาที ตามลำดับ



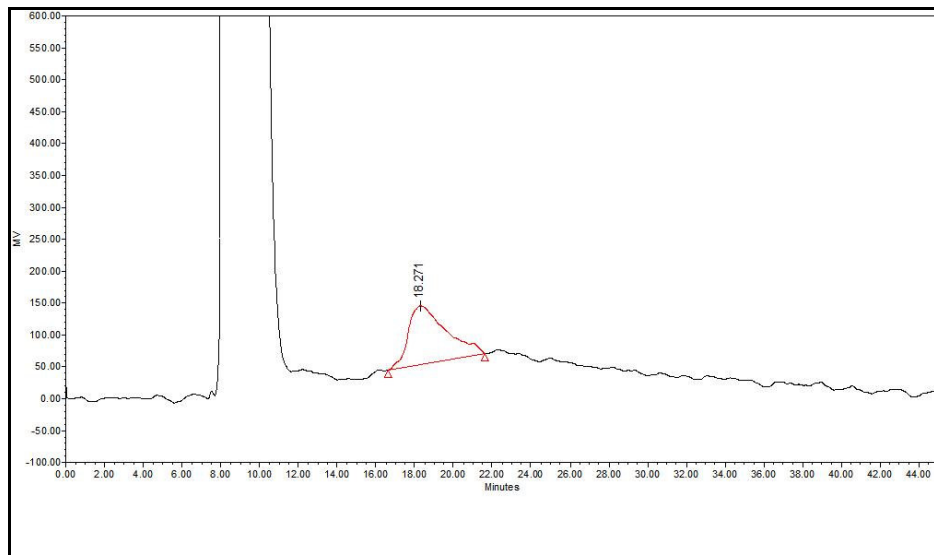
ภาพพนวนที่ ข4 กราฟมาตราฐานของสารละลายน้ำตาลฟรุกโตส



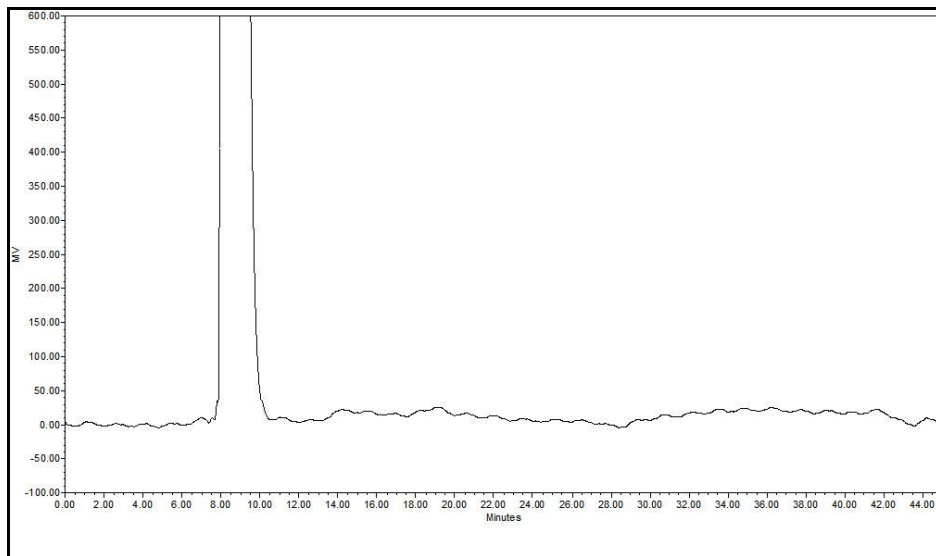
ภาพพนวนที่ ข5 กราฟมาตราฐานของสารละลายน้ำตาลซูครส



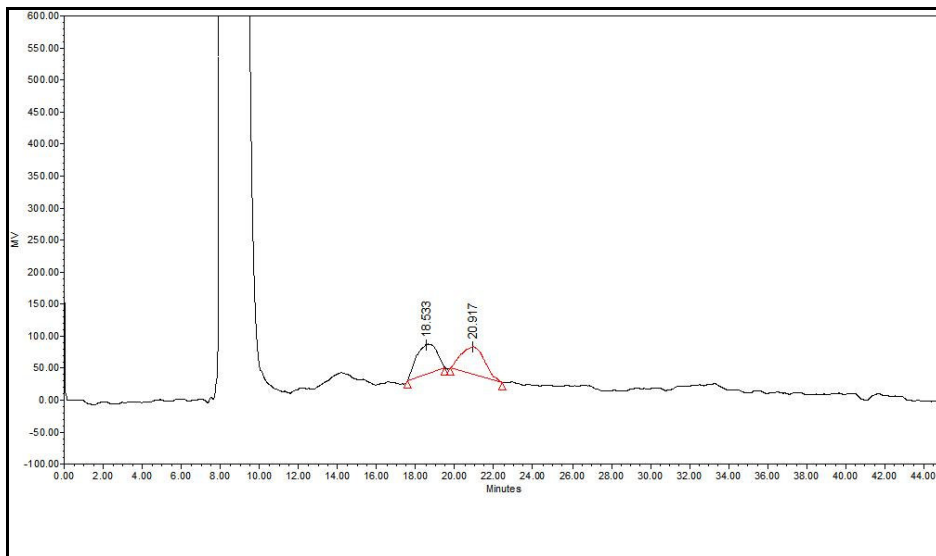
ภาพผนวกที่ ข6 กราฟมาตรฐานของสารคละคายนำ้ดาลแม่นนิทอลและกลูโคส



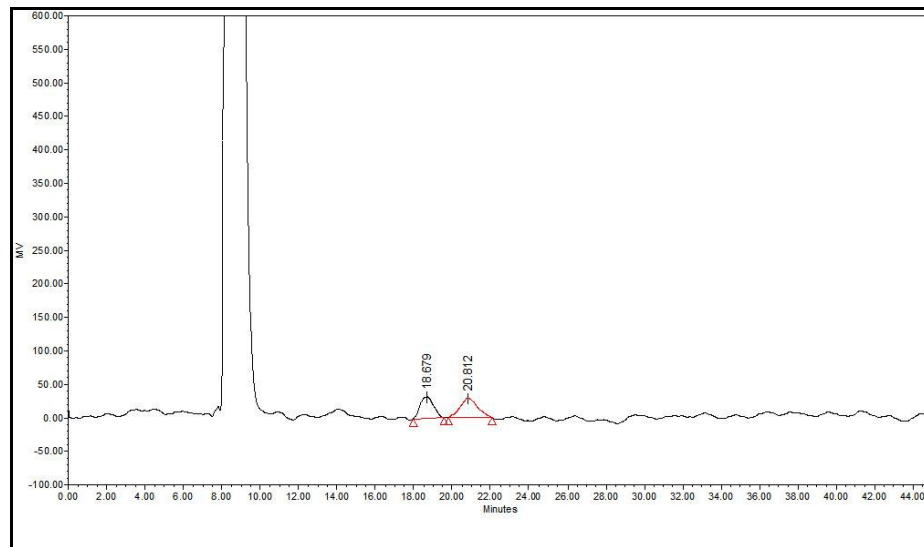
ภาพผนวกที่ ข7 โคม่าโทแกรมของนำ้ดาลในใบหมื่นชุดควบคุม (0 mM NaCl) ที่เวลา 0 ชั่วโมง



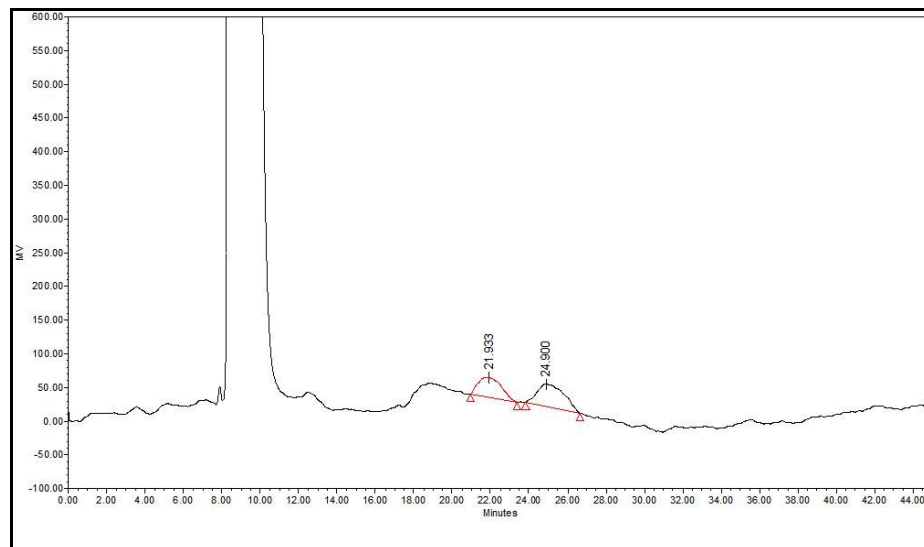
ภาพผนวกรที่ ข8 โคม่าโตแกรมของน้ำตาลในใบหม่อนชุดควบคุม (0 mM NaCl) ที่เวลา 1 ชั่วโมง



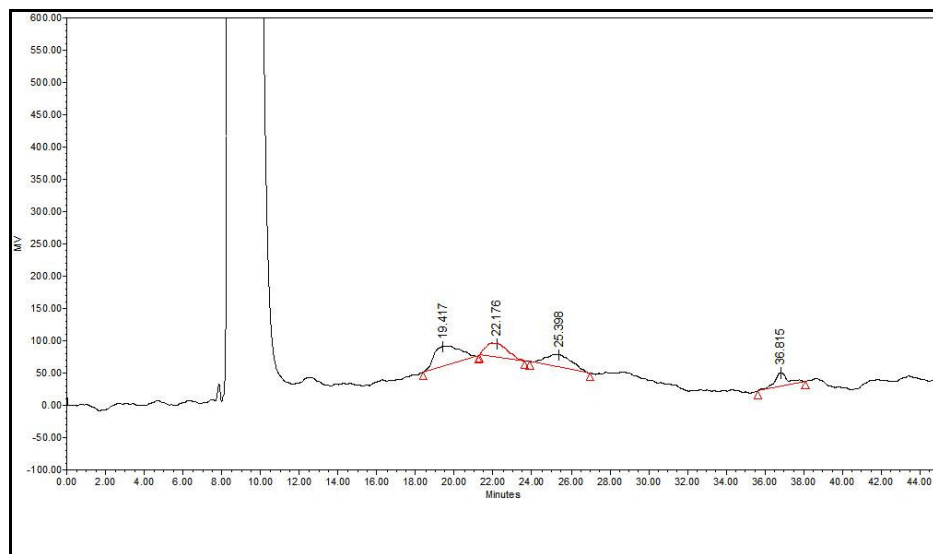
ภาพผนวกรที่ ข9 โคม่าโตแกรมของน้ำตาลในใบหม่อนชุดควบคุม (0 mM NaCl) ที่เวลา 3 ชั่วโมง



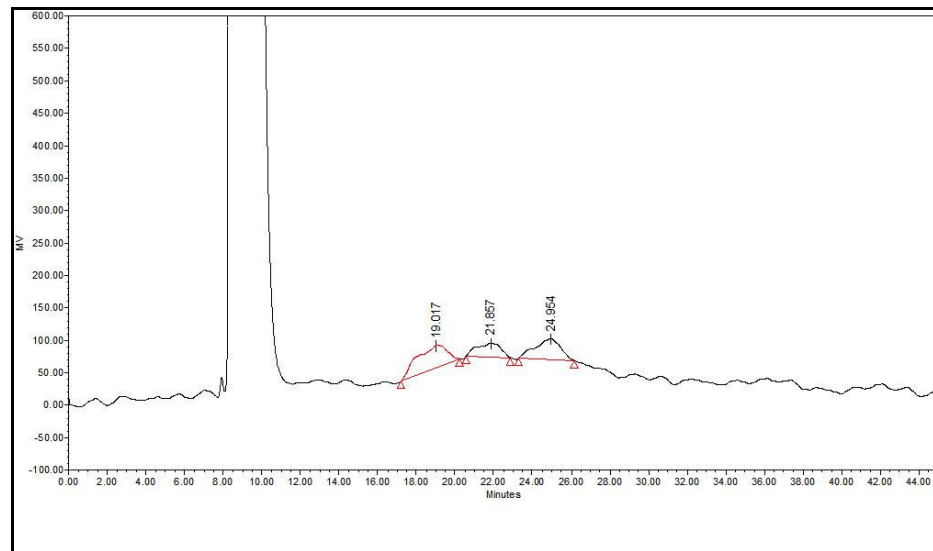
ภาพพนวกที่ ข10 โปรแกรมติดแกรมของน้ำดาลในใบหม่อนชุดควบคุม (0 mM NaCl) ที่เวลา 6 ชั่วโมง



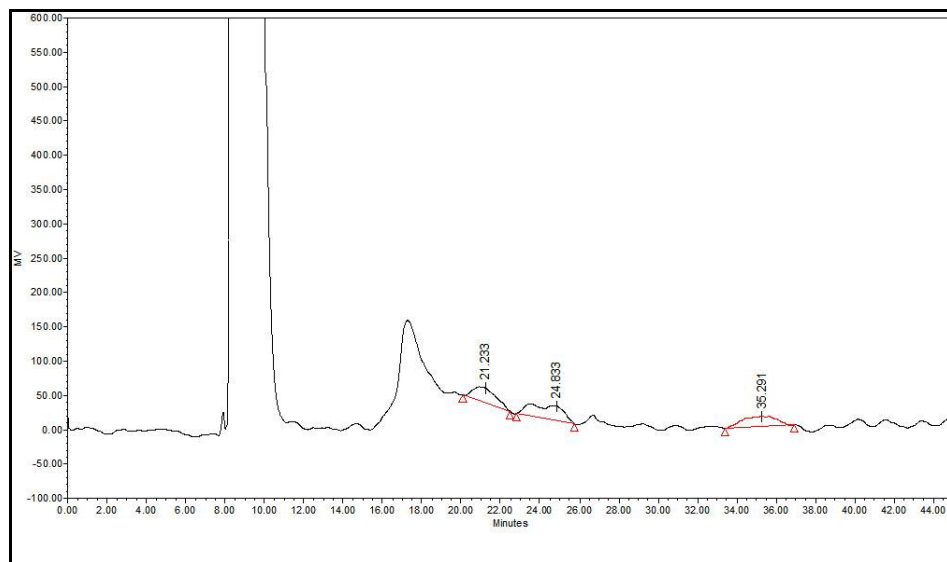
ภาพพนวกที่ ข11 โปรแกรมติดแกรมของน้ำดาลในใบหม่อนชุดควบคุม (0 mM NaCl) ที่เวลา 12 ชั่วโมง



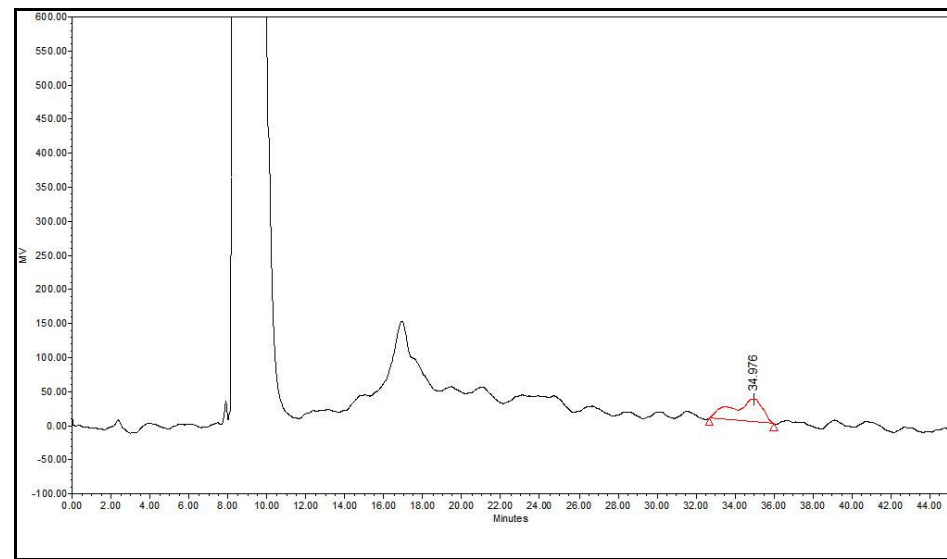
ภาพผนวกรที่ ข12 โกรมาโตแกรมของน้ำตาลในไบหม่อนชุดควบคุม ( $0 \text{ mM NaCl}$ ) ที่เวลา 24 ชั่วโมง



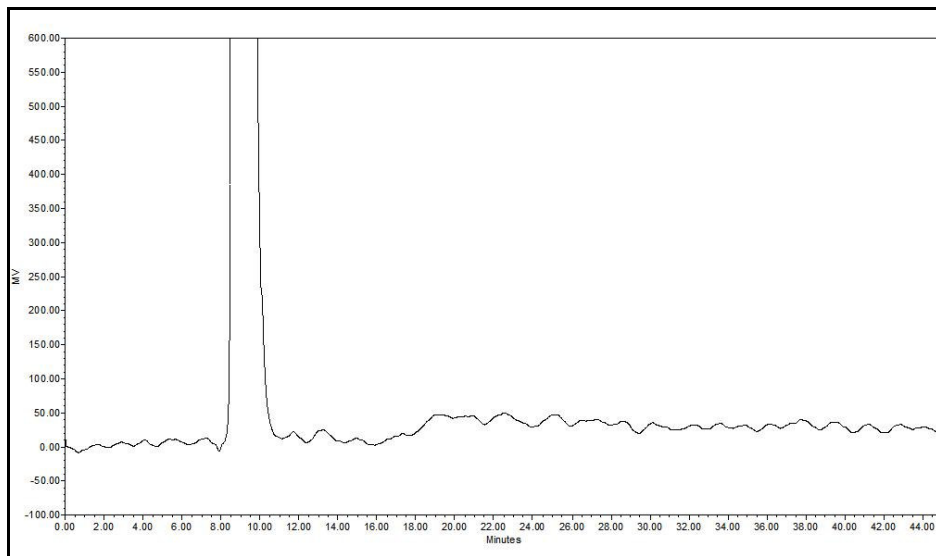
ภาพผนวกรที่ ข13 โกรมาโตแกรมของน้ำตาลในไบหม่อนชุดควบคุม ( $0 \text{ mM NaCl}$ ) ที่เวลา 3 วัน



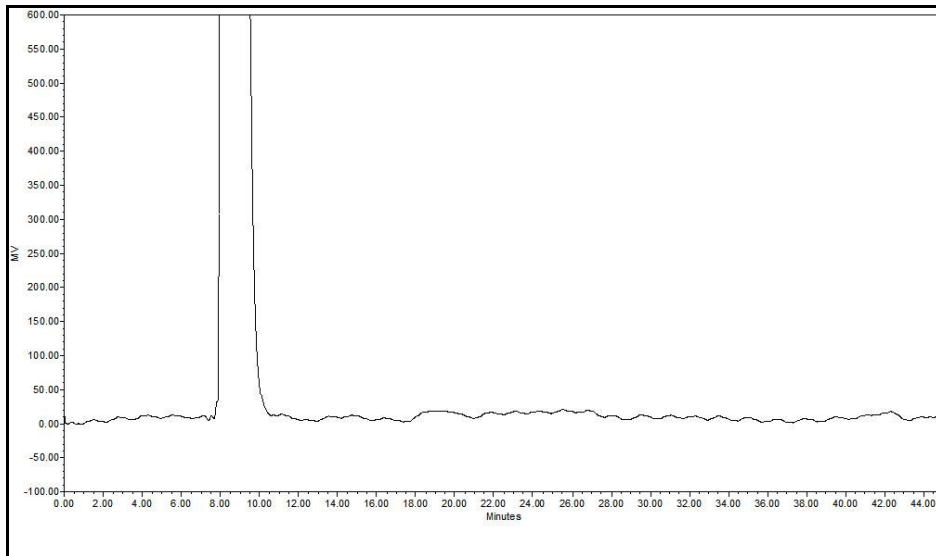
ภาพผนวกรที่ ช14 โกรมาโตแกรมของน้ำตาลในใบหม่อนชุดควบคุม ( $0 \text{ mM NaCl}$ ) ที่เวลา 5 วัน



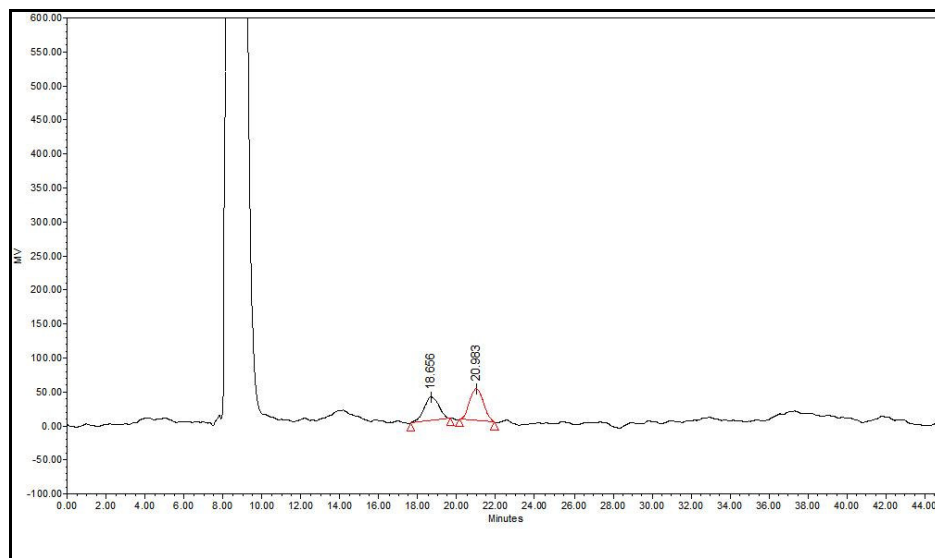
ภาพผนวกรที่ ช15 โกรมาโตแกรมของน้ำตาลในใบหม่อนชุดควบคุม ( $0 \text{ mM NaCl}$ ) ที่เวลา 7 วัน



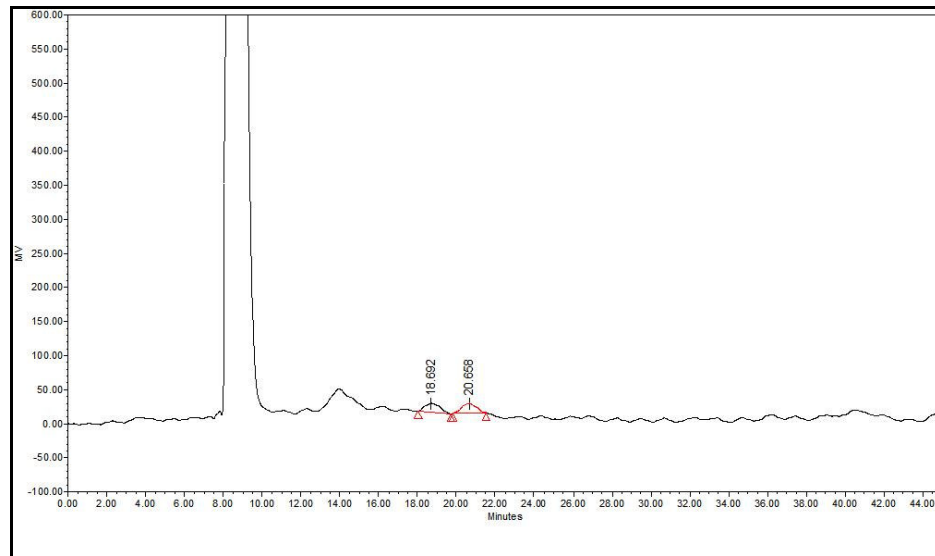
ภาพพนวกที่ ข16 โกรมาโตแกรมของน้ำตาลในใบหม่อนเมื่อได้รับเกลือ 100 mM ที่เวลา 0 ชั่วโมง



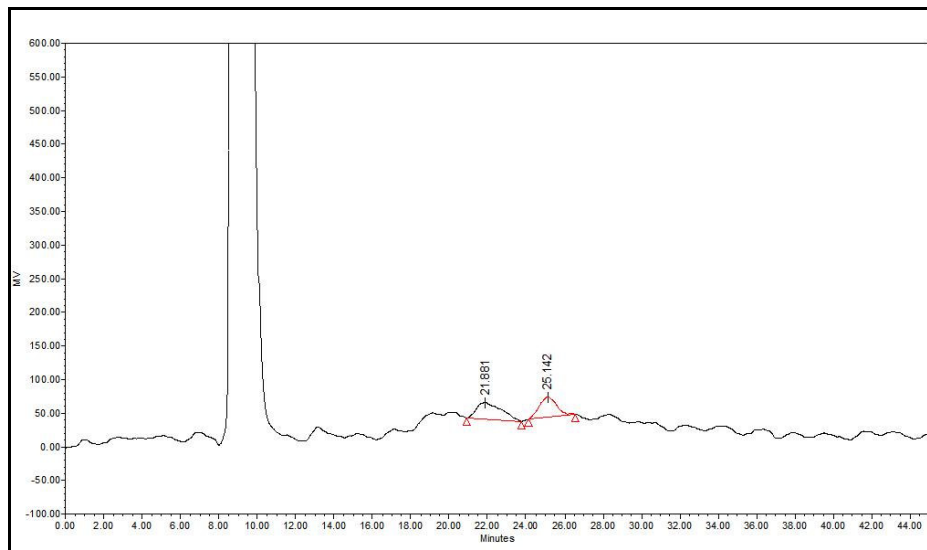
ภาพพนวกที่ ข17 โกรมาโตแกรมของน้ำตาลในใบหม่อนเมื่อได้รับเกลือ 100 mM ที่เวลา 1 ชั่วโมง



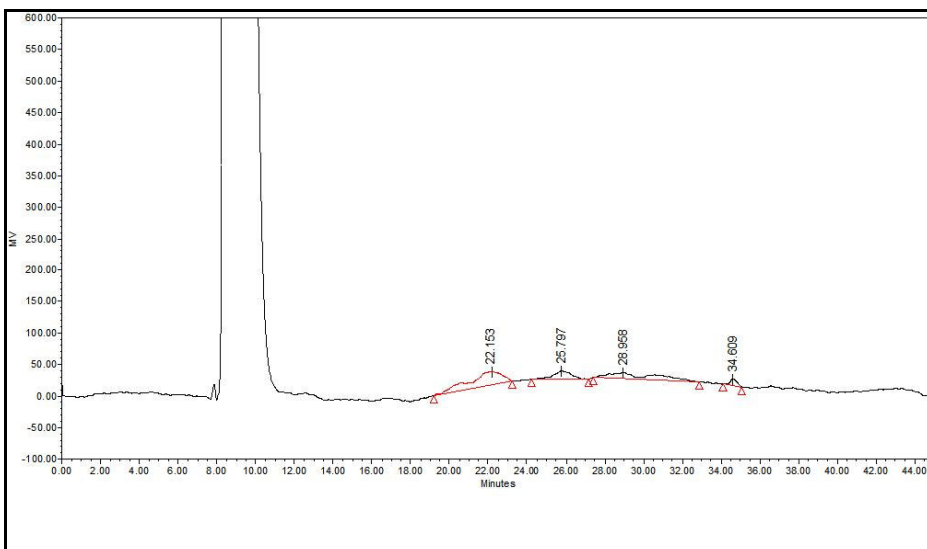
ภาพพนวกที่ ข18 โกรมาโตแกรมของน้ำตาลในใบหม่อนเมื่อได้รับเกลือ 100 mM ที่เวลา 3 ชั่วโมง



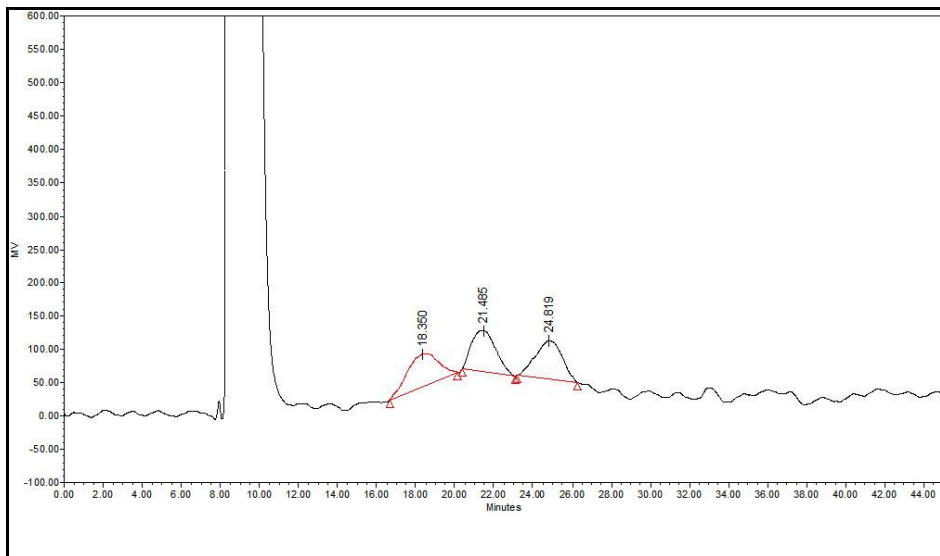
ภาพพนวกที่ ข19 โกรมาโตแกรมของน้ำตาลในใบหม่อนเมื่อได้รับเกลือ 100 mM ที่เวลา 6 ชั่วโมง



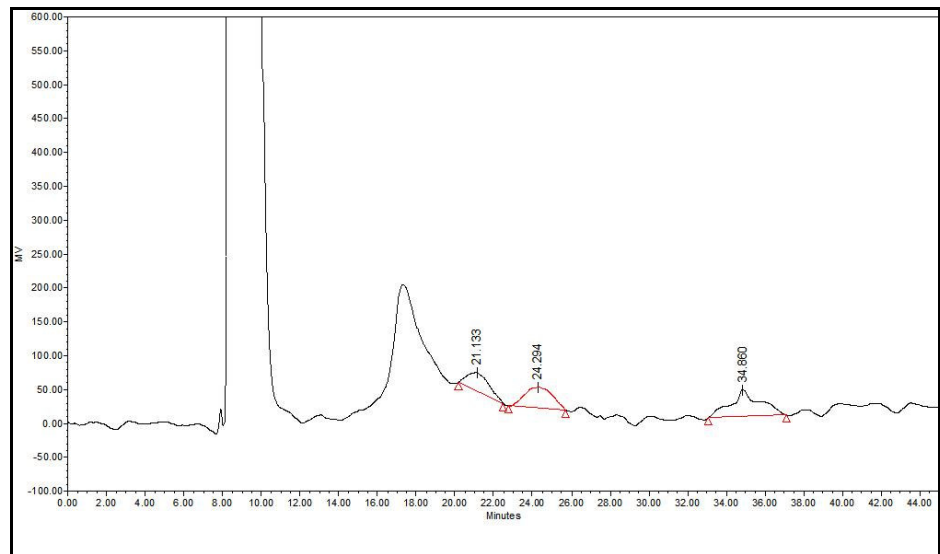
ภาพพนวกที่ ข20 โครม่าโตแกรมของน้ำตาลในไข่ม่อนเมื่อได้รับเกลือ 100 mM ที่เวลา 12 ชั่วโมง



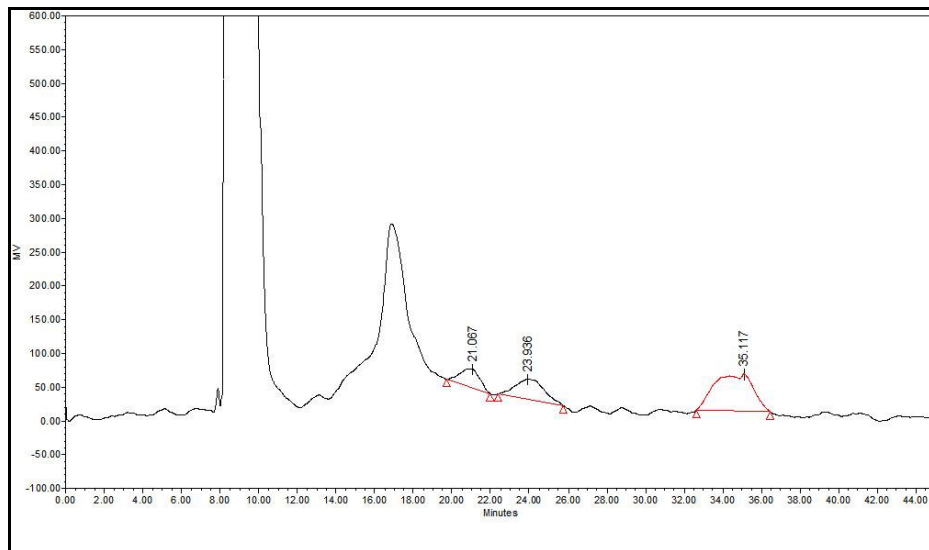
ภาพพนวกที่ ข21 โครม่าโตแกรมของน้ำตาลในไข่ม่อนเมื่อได้รับเกลือ 100 mM ที่เวลา 24 ชั่วโมง



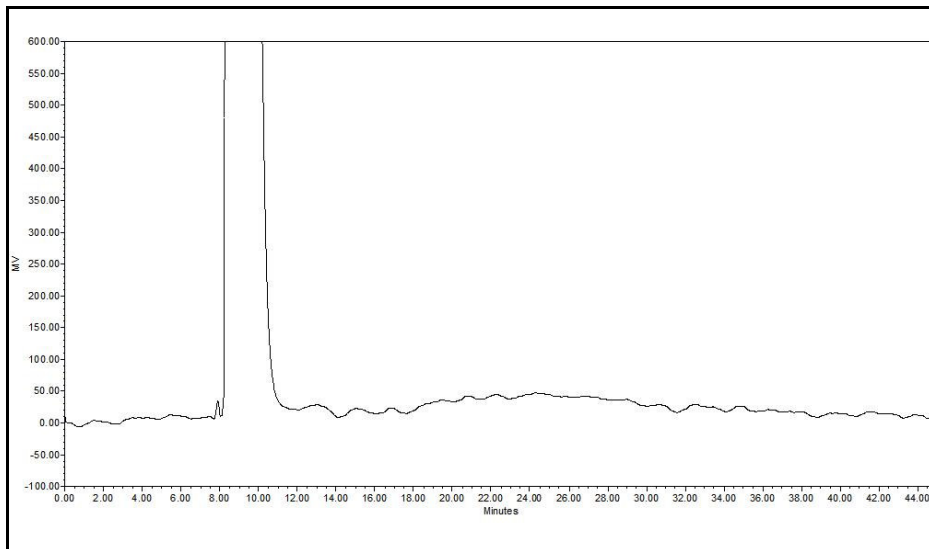
ภาพพนวกที่ ข22 โกรมาโตแกรมของน้ำดาลในใบหม่อนเมื่อได้รับเกลือ 100 mM ที่เวลา 3 วัน



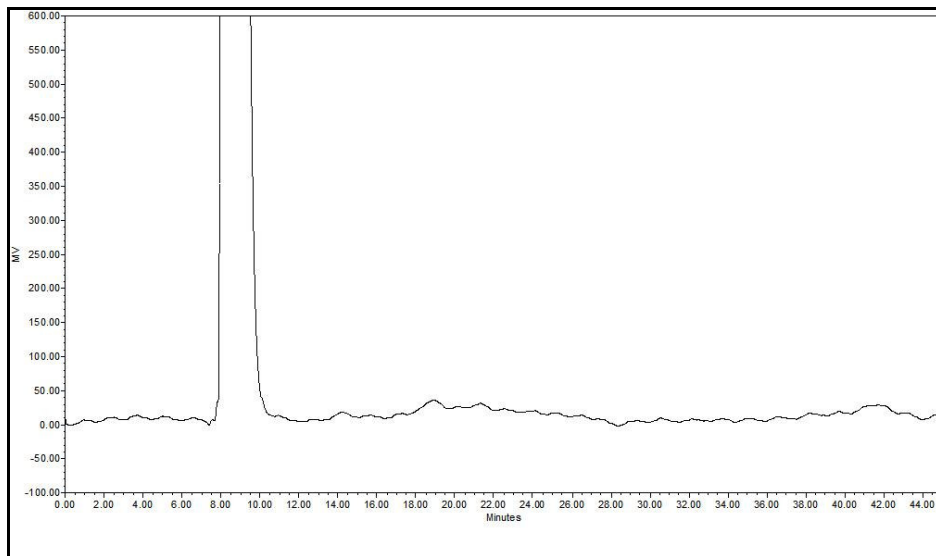
ภาพพนวกที่ ข23 โกรมาโตแกรมของน้ำดาลในใบหม่อนเมื่อได้รับเกลือ 100 mM ที่เวลา 5 วัน



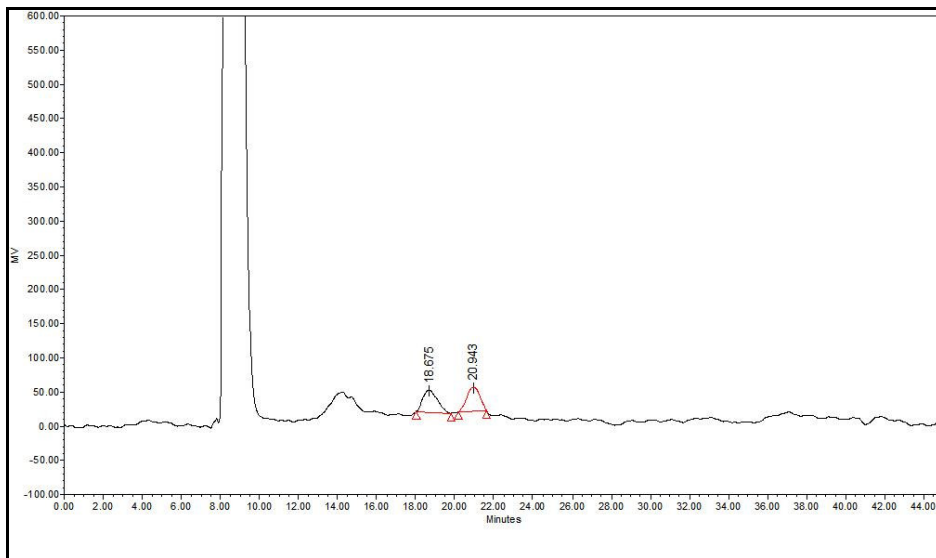
ภาพพนวกที่ ข24 โกรมาโตแกรมของน้ำตาลในใบหม่อนเมื่อได้รับเกลือ 100 mM ที่เวลา 7 วัน



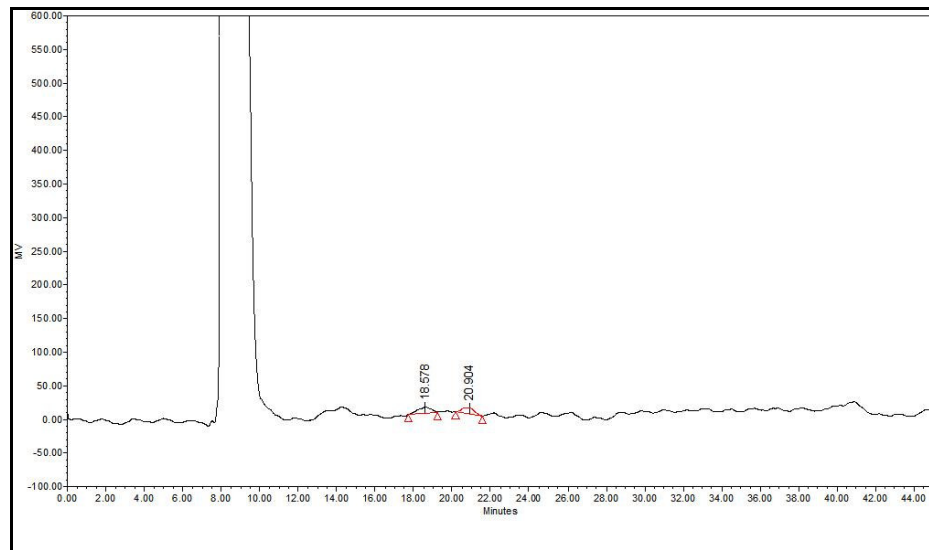
ภาพพนวกที่ ข25 โกรมาโตแกรมของน้ำตาลในใบหม่อนเมื่อได้รับเกลือ 300 mM ที่เวลา 0 ชั่วโมง



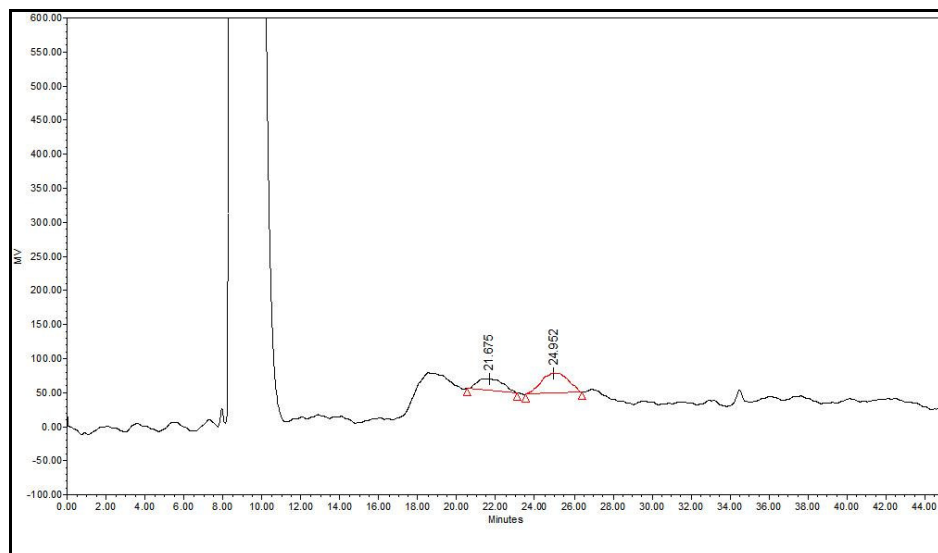
ภาพพนวกที่ ข26 โกรมาโตแกรมของน้ำตาลในไบหม่อนเมื่อได้รับเกลือ 300 mM ที่เวลา 1 ชั่วโมง



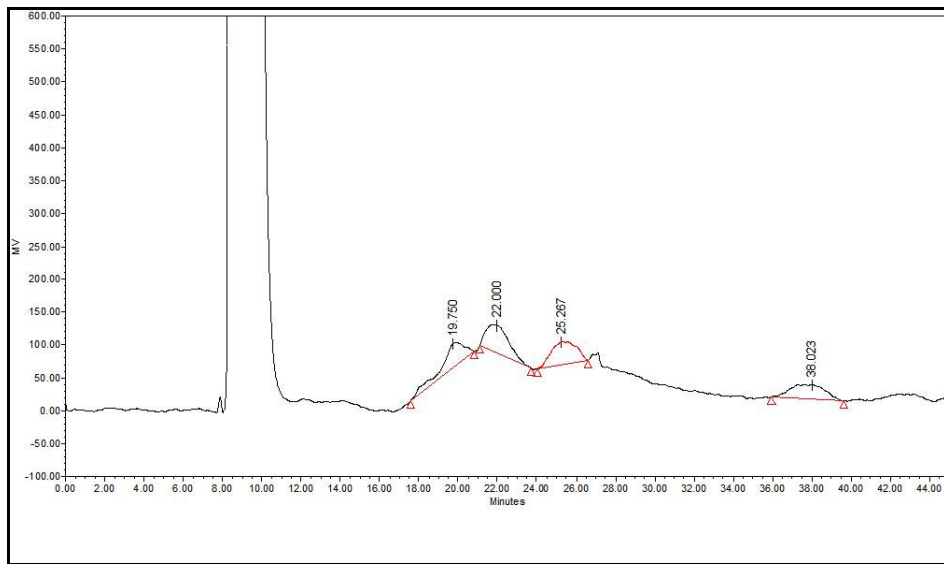
ภาพพนวกที่ ข27 โกรมาโตแกรมของน้ำตาลในไบหม่อนเมื่อได้รับเกลือ 300 mM ที่เวลา 3 ชั่วโมง



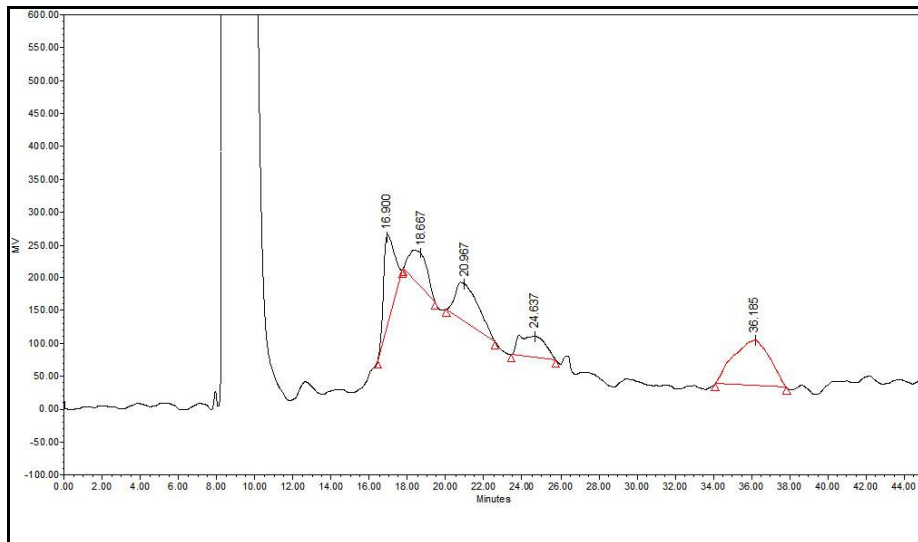
ภาพผนวกที่ ข28 โกรมาโตแกรมของน้ำตาลในใบหม่อนเมื่อได้รับเกลือ 300 mM ที่เวลา 6 ชั่วโมง



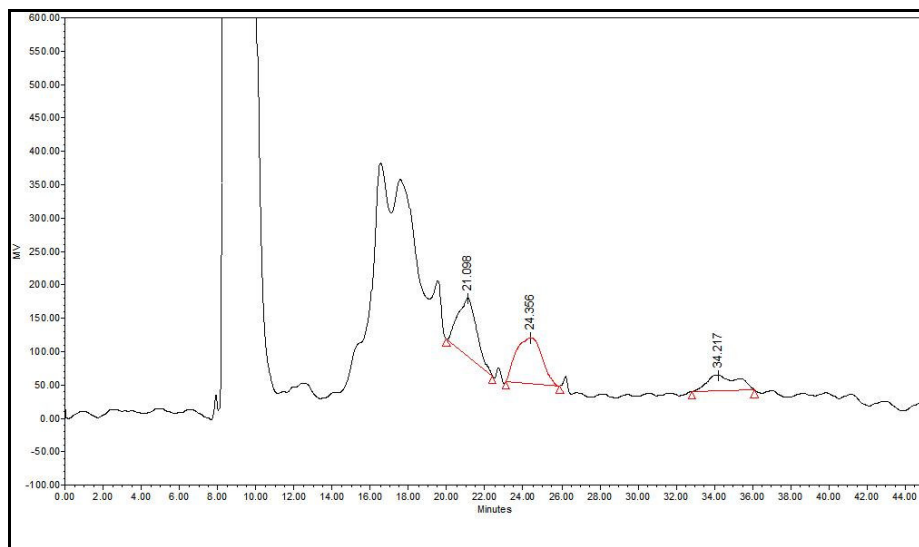
ภาพผนวกที่ ข29 โกรมาโตแกรมของน้ำตาลในใบหม่อนเมื่อได้รับเกลือ 300 mM ที่เวลา 12 ชั่วโมง



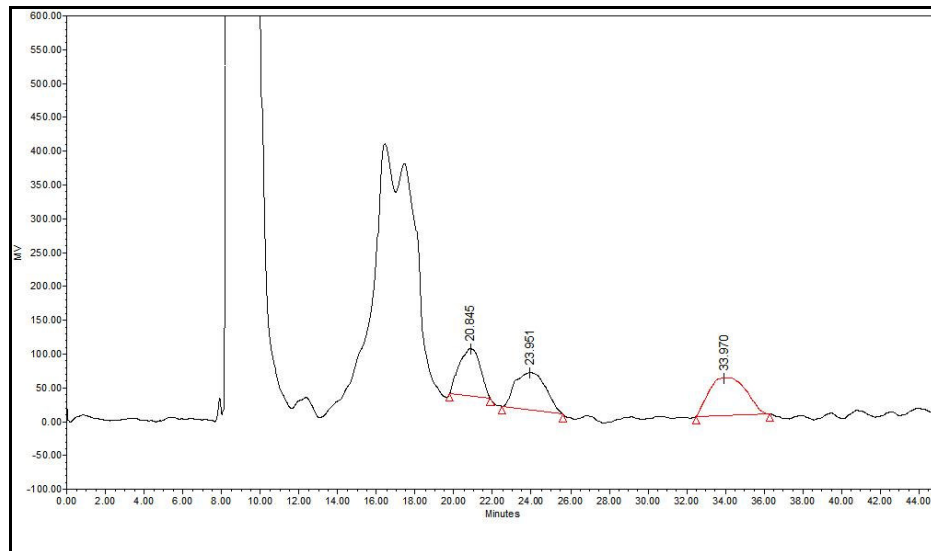
ภาพพนวกที่ ข30 โกรมาโตแกรมของน้ำตาลในใบหม่อนเมื่อได้รับเกลือ 300 mM ที่เวลา 24 ชั่วโมง



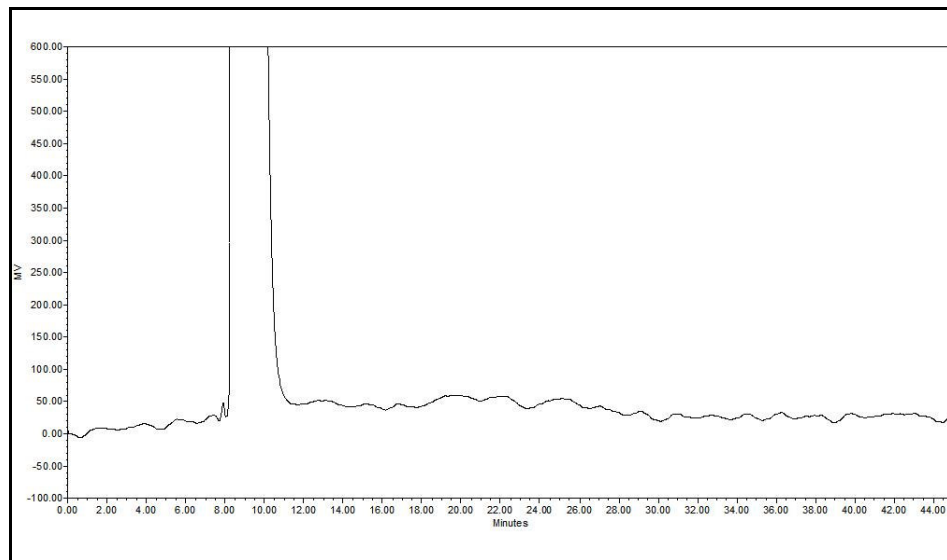
ภาพพนวกที่ ข31 โกรมาโตแกรมของน้ำตาลในใบหม่อนเมื่อได้รับเกลือ 300 mM ที่เวลา 3 วัน



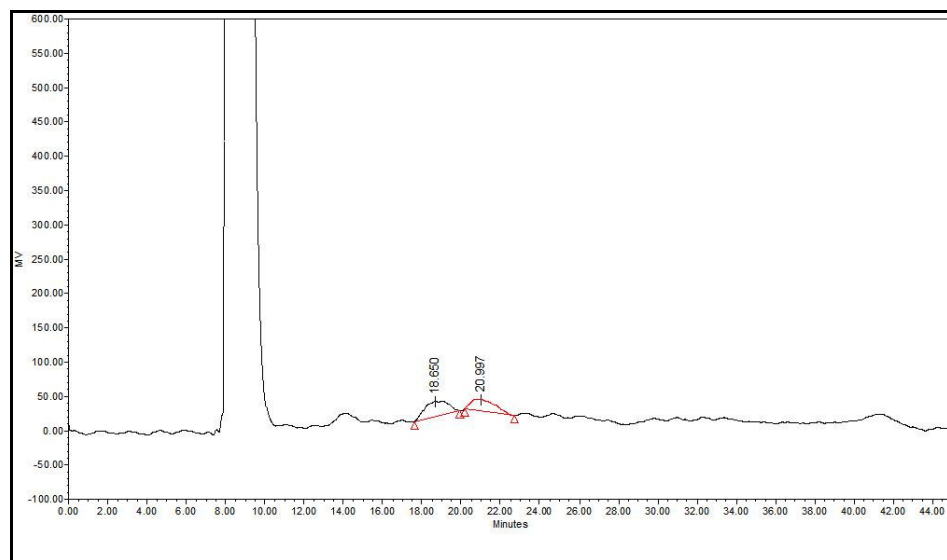
ภาพพนวกที่ ข32 โคมาโต้แกรมของน้ำตาลในไบหม่อนเมื่อได้รับเกลือ 300 mM ที่เวลา 5 วัน



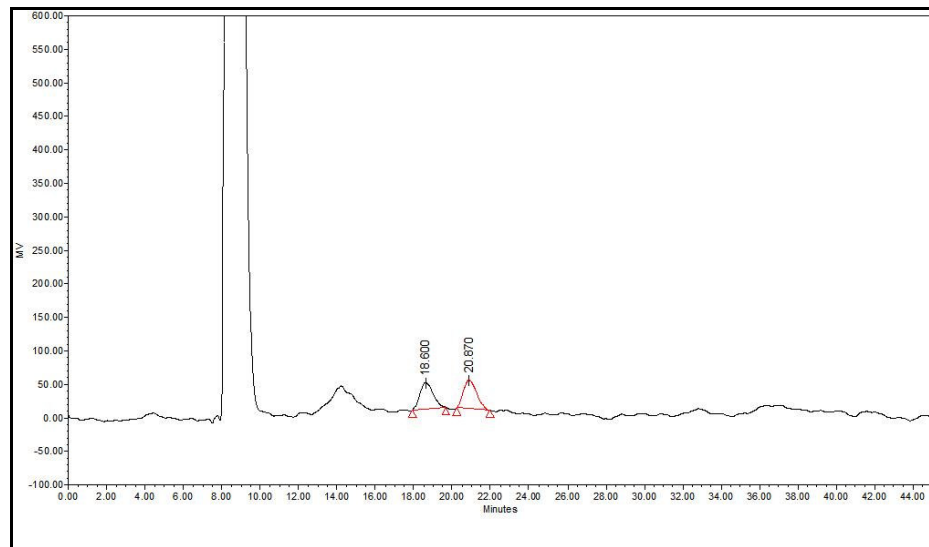
ภาพพนวกที่ ข33 โคมาโต้แกรมของน้ำตาลในไบหม่อนเมื่อได้รับเกลือ 300 mM ที่เวลา 7 วัน



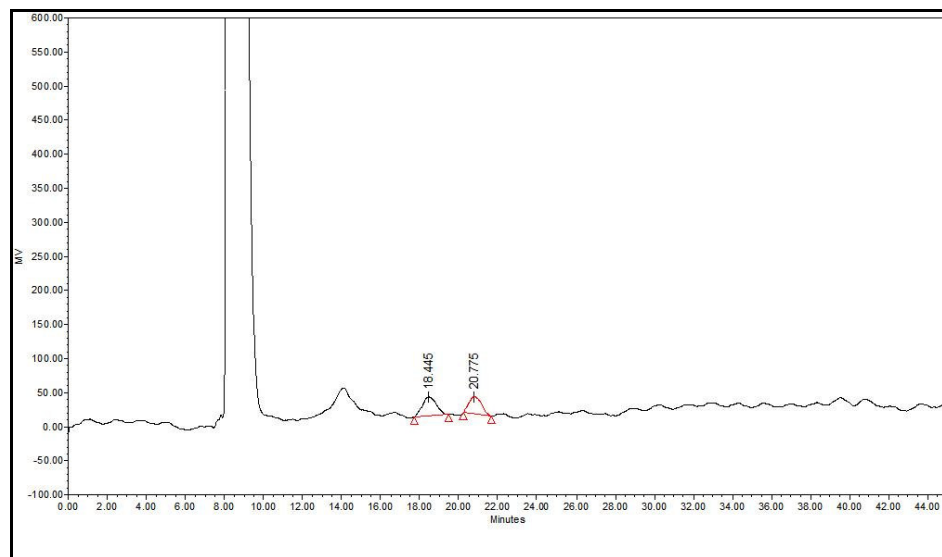
ภาพผนวกรที่ ช34 โกรมาโตแกรมของน้ำตาลในใบหม่อนเมื่อได้รับเกลือ 500 mM ที่เวลา 0 ชั่วโมง



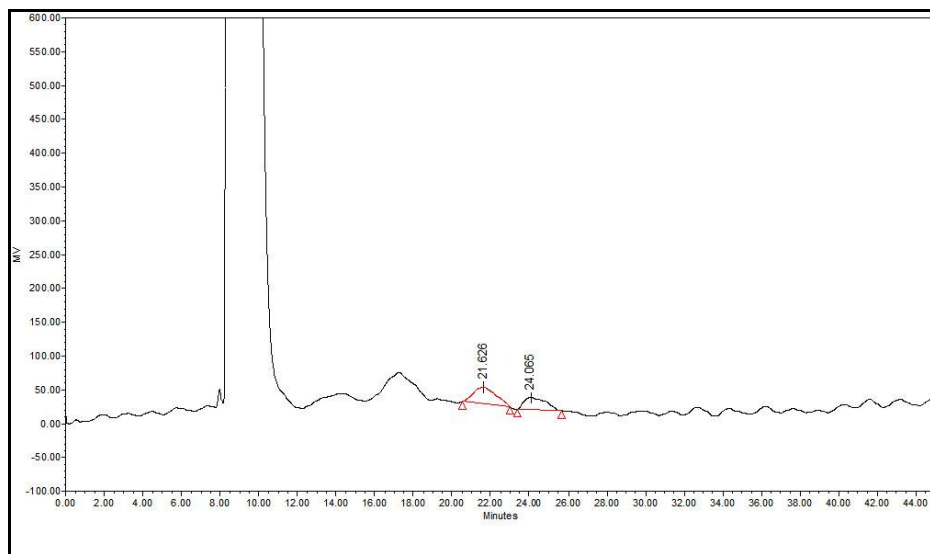
ภาพผนวกรที่ ช35 โกรมาโตแกรมของน้ำตาลในใบหม่อนเมื่อได้รับเกลือ 500 mM ที่เวลา 1 ชั่วโมง



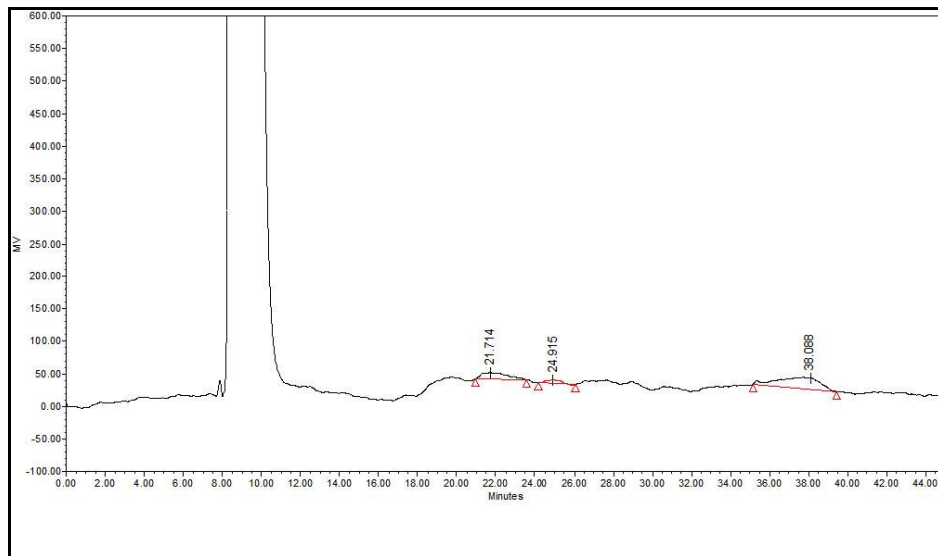
ภาพพนวกที่ ข36 โคมาราโตแกรมของน้ำตาลในใบหม่อนเมื่อได้รับเกลือ 500 mM ที่เวลา 3 ชั่วโมง



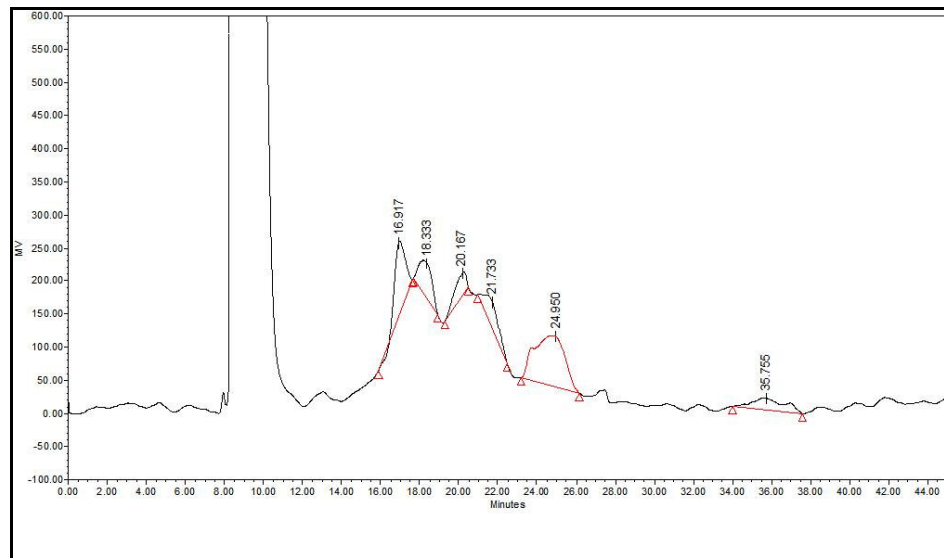
ภาพพนวกที่ ข37 โคมาราโตแกรมของน้ำตาลในใบหม่อนเมื่อได้รับเกลือ 500 mM ที่เวลา 6 ชั่วโมง



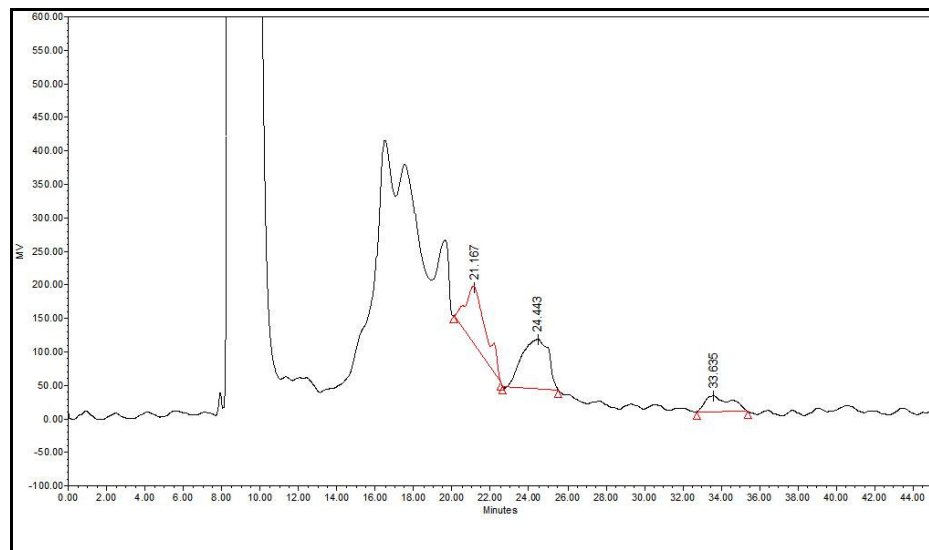
ภาพพนวกที่ ข38 โกรมาโตแกรมของน้ำตาลในใบหม่อนเมื่อได้รับเกลือ 500 mM ที่เวลา 12 ชั่วโมง



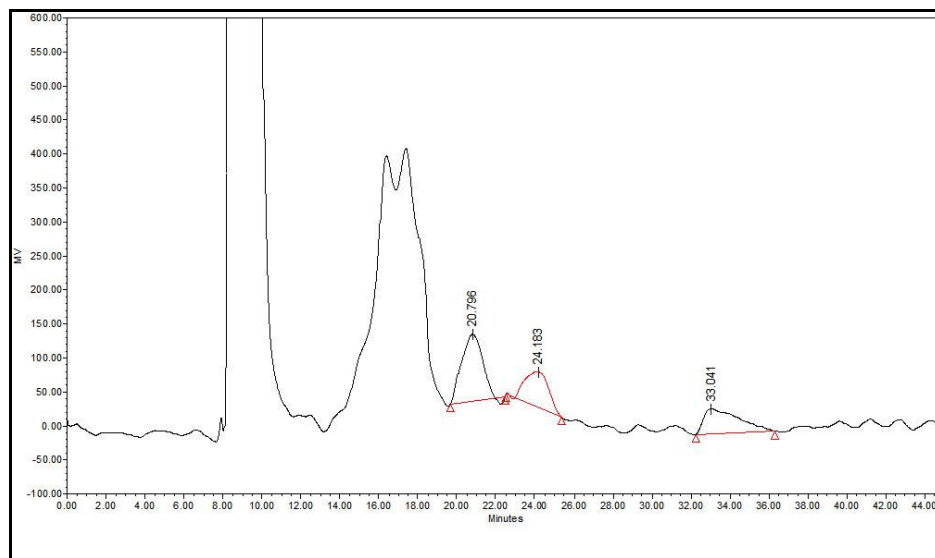
ภาพพนวกที่ ข39 โกรมาโตแกรมของน้ำตาลในใบหม่อนเมื่อได้รับเกลือ 500 mM ที่เวลา 24 ชั่วโมง



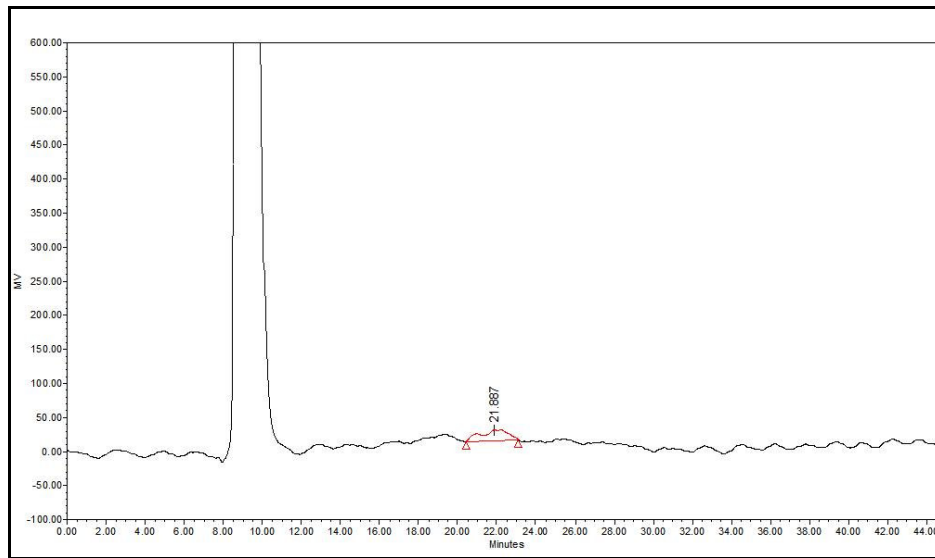
ภาพพนวกที่ ข40 โกรมาโตแกรมของน้ำตาลในใบหม่อนเมื่อได้รับเกลือ 500 mM ที่เวลา 3 วัน



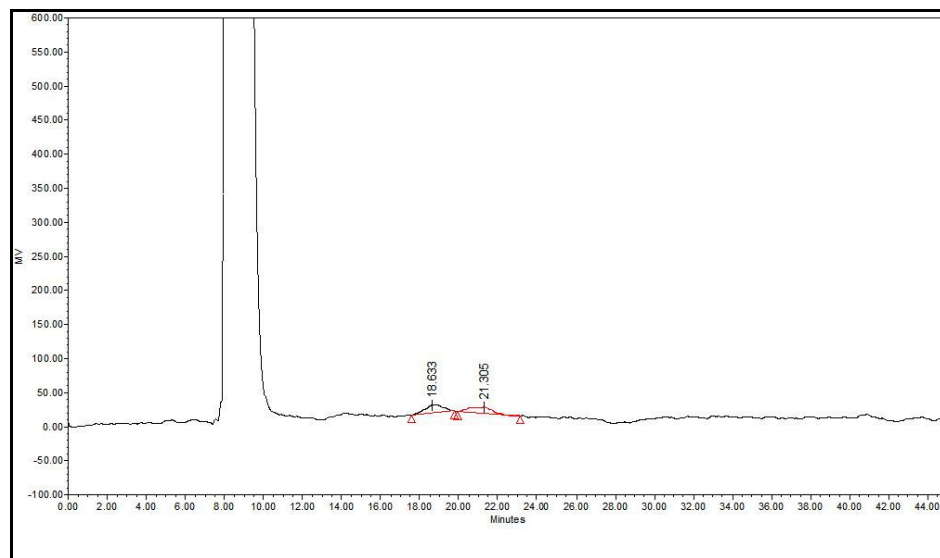
ภาพพนวกที่ ข41 โกรมาโตแกรมของน้ำตาลในใบหม่อนเมื่อได้รับเกลือ 500 mM ที่เวลา 5 วัน



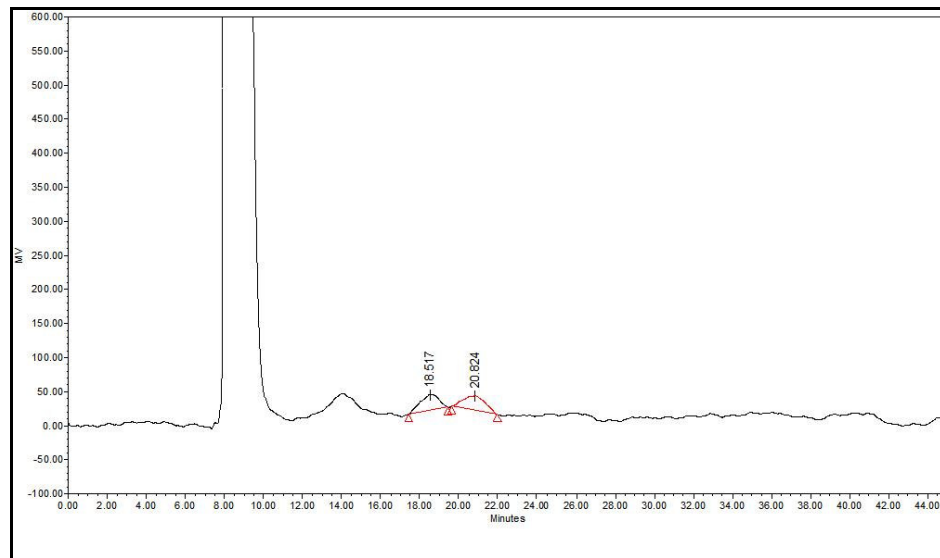
ภาพพนวกที่ ข42 โกรมาโตแกรมของน้ำตาลในใบหม่อนเมื่อได้รับเกลือ 500 mM ที่เวลา 7 วัน



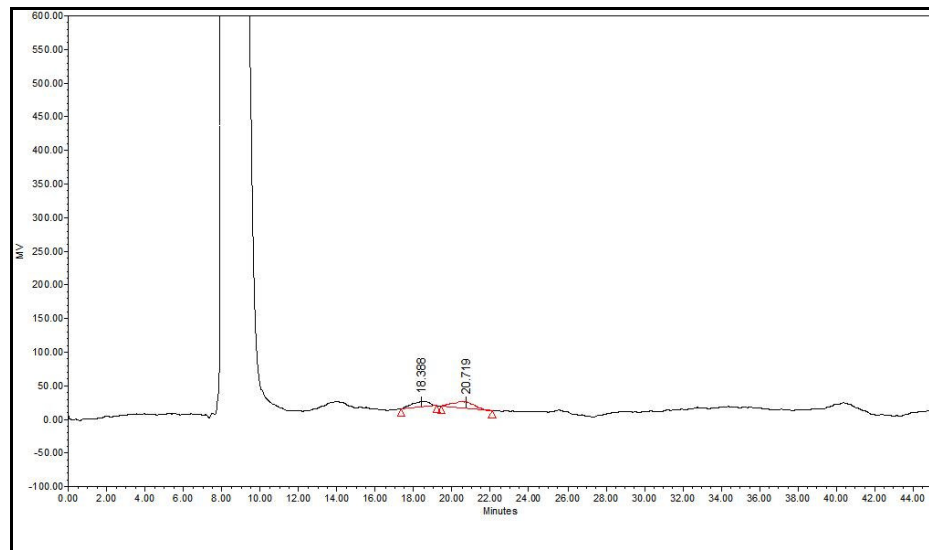
ภาพพนวกที่ ข43 โกรมาโตแกรมของน้ำตาลในใบหม่อนเมื่อได้รับเกลือ 600 mM ที่เวลา 0 ชั่วโมง



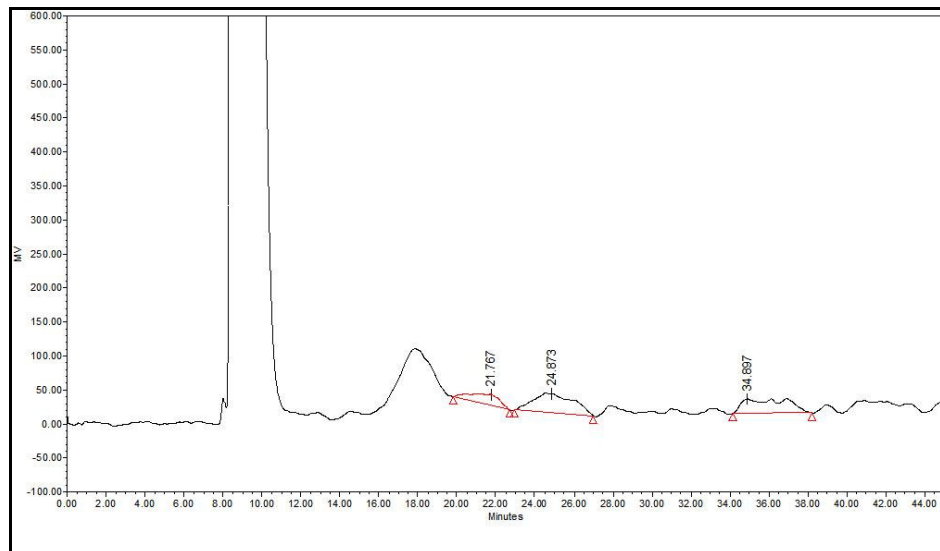
ภาพพนวกที่ ข44 โกรมาโตแกรมของน้ำตาลในใบหม่อนเมื่อได้รับเกลือ 600 mM ที่เวลา 1 ชั่วโมง



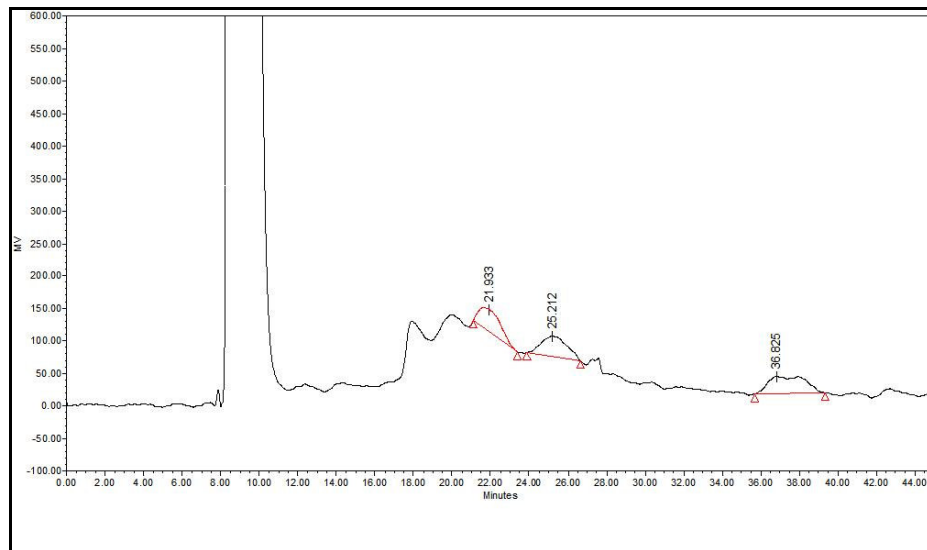
ภาพพนวกที่ ข45 โกรมาโตแกรมของน้ำตาลในใบหม่อนเมื่อได้รับเกลือ 600 mM ที่เวลา 3 ชั่วโมง



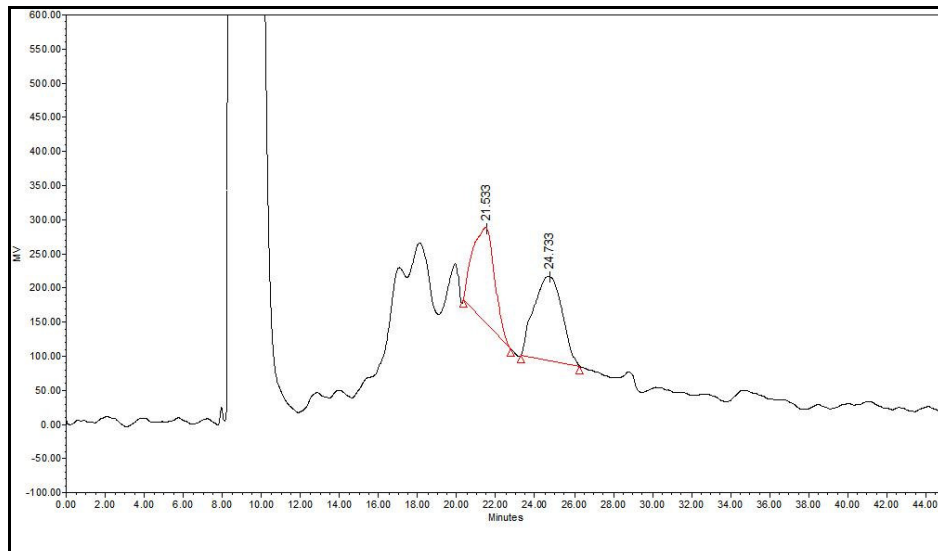
ภาพพนวกที่ 46 โปรแกรมติดแกรมของน้ำตาลในใบหม่อนเมื่อได้รับเกลือ 600 mM ที่เวลา 6 ชั่วโมง



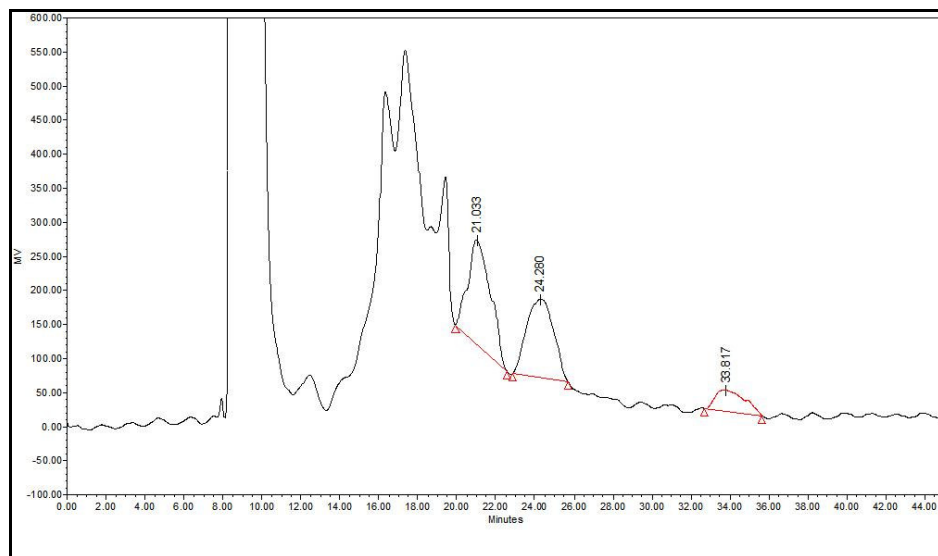
ภาพพนวกที่ 47 โปรแกรมติดแกรมของน้ำตาลในใบหม่อนเมื่อได้รับเกลือ 600 mM ที่เวลา 12 ชั่วโมง



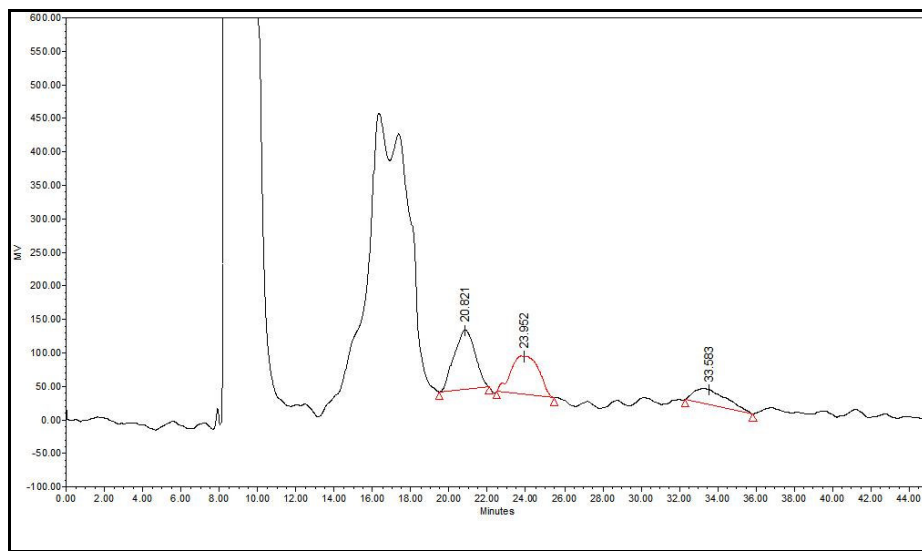
ภาพพนวกที่ ข48 โกรมาโทแกรมของน้ำตาลในใบหม่อนเมื่อได้รับเกลือ 600 mM ที่เวลา 24 ชั่วโมง



ภาพพนวกที่ ข49 โกรมาโทแกรมของน้ำตาลในใบหม่อนเมื่อได้รับเกลือ 600 mM ที่เวลา 3 วัน



ภาพพนวกที่ ข50 โปรแกรมติดแกรมของน้ำตาลในไบหม่อนเมื่อได้รับเกลือ 600 mM ที่เวลา 5 วัน



ภาพพนวกที่ ข51 โปรแกรมติดแกรมของน้ำตาลในไบหม่อนเมื่อได้รับเกลือ 600 mM ที่เวลา 7 วัน

## ประวัติการศึกษา และการทำงาน

ชื่อ – นามสกุล	นางสาวเนตรนภา ฉิ่งกิตติ Miss Netnapa Chingkitti
วัน เดือน ปี ที่เกิด	22 กรกฎาคม 2524
สถานที่เกิด	กรุงเทพมหานคร
ประวัติการศึกษา	วท.บ.(ชีวเคมี), มหาวิทยาลัยเกษตรศาสตร์
ตำแหน่งหน้าที่การงานปัจจุบัน	นิสิตปริญญาโท
สถานที่ทำงานปัจจุบัน	ภาควิชาชีวเคมี มหาวิทยาลัยเกษตรศาสตร์
ทุนการศึกษาที่ได้รับ	ทุนสนับสนุนบัณฑิตวิทยาลัย ทุนวิจัยมหาบัณฑิตของสกอ.
ผลงาน	
- February 2006	“Mulberry Leaf Lectin Gene: Intron and Specific Primer Development” The Proceedings of 44 <sup>th</sup> Kasetsart University Annual Conference (Subject: Science) pp. 507-512.
- December 2006	“Mulberry leaf lectin: purification, cloning and modeling”. The 20 <sup>th</sup> Congress of the International Sericulture Commission Conference. Papers Volume III. Bangalore, India, pp. 147-149. (oral presentation)
- March 2008	“Salt-stress Response Mechanism of <i>Morus rotundifolia</i> Koidz” Asia-Pacific Congress of Sericulture and Insect Biotechnology. Nagoya, Japan. (poster presentation)
- April 2008	“Salt-Stress Response Mechanism of Mulberry, <i>Morus rotundifolia</i> Koidz” 6 <sup>th</sup> international Workshop on the Molecular Biology of stress Responses. Bangkok, Thailand, (poster presentation)